

Analiza buke na istraživačkom polarnom kruzeru

Kajfeš, Ita

Master's thesis / Diplomski rad

2022

Degree Grantor / Ustanova koja je dodijelila akademski / stručni stupanj: **University of Zagreb, Faculty of Mechanical Engineering and Naval Architecture / Sveučilište u Zagrebu, Fakultet strojarstva i brodogradnje**

Permanent link / Trajna poveznica: <https://urn.nsk.hr/urn:nbn:hr:235:748938>

Rights / Prava: [Attribution-ShareAlike 4.0 International/Imenovanje-Dijeli pod istim uvjetima 4.0 međunarodna](#)

Download date / Datum preuzimanja: **2025-03-31**

Repository / Repozitorij:

[Repository of Faculty of Mechanical Engineering and Naval Architecture University of Zagreb](#)



SVEUČILIŠTE U ZAGREBU
FAKULTET STROJARSTVA I BRODOGRADNJE

DIPLOMSKI RAD

Ita Kajfeš

Zagreb, 2022.

SVEUČILIŠTE U ZAGREBU
FAKULTET STROJARSTVA I BRODOGRADNJE

DIPLOMSKI RAD

Mentor:

Izv. prof. dr. sc. Nikola Vladimir, dipl. ing.

Studentica:

Ita Kajfeš

Zagreb, 2022.

Izjavljujem da sam ovaj rad izradila samostalno koristeći znanja stečena tijekom studija i navedenu literaturu.

Zahvaljujem se prije svega svojem mentoru na ukazanoj pomoći, podijeljenom znanju i iznimnoj susretljivosti tijekom izrade ovog rada. Također, želim se zahvaliti dečku na svakodnevnoj potpori i motivaciji. Posljednje, ali ne manje važno, hvala obitelji, prijateljima i kolegama iz Drinjačke na podršci tijekom cijelog studiranja.

Ita Kajfeš



SVEUČILIŠTE U ZAGREBU
FAKULTET STROJARSTVA I BRODOGRADNJE

Središnje povjerenstvo za završne i diplomske ispite



Povjerenstvo za diplomske ispite studija strojarstva za smjerove:

Procesno-energetski, konstrukcijski, inženjersko modeliranje i računalne simulacije i brodostrojarski

Sveučilište u Zagrebu	
Fakultet strojarstva i brodogradnje	
Datum	Prilog
Klasa: 602 - 04 / 22 - 6 / 1	
Ur.broj: 15 - 1703 - 22 -	

DIPLOMSKI ZADATAK

Student:

Ita Kajfeš

JMBAG: 0035209128

Naslov rada na hrvatskom jeziku:

Analiza buke na istraživačkom polarnom kruzeru

Naslov rada na engleskom jeziku:

Noise assessment of a polar expedition cruise vessel

Opis zadatka:

Akustički proračuni predstavljaju važan dio integralnog postupka osnivanja broda i njihovo provođenje nužno je za predviđanje eventualnih problema povezanih s bukom u eksploraciji broda. Buku, koja nastaje uslijed rada brodskih strojeva i uredaja, potrebno je držati u propisanim granicama, kako bi se osigurao adekvatan komfor posade i putnika. To je osobito izraženo kod brodova namijenjenih prijevozu putnika ili kod brodova za posebne namjene kao što su istraživački brodovi. Za istraživački brod za kružna putovanja u polarnim uvjetima kapaciteta 200 putnika i duljine $L_{OA} = 128,0$ m, potrebno je napraviti prognozu razina buke metodom hibridne statističke analize energije koristeći komercijalni programski paket Designer-NOISE. Zadatak treba sadržavati: opis osnovne problematike vezane za buku na brodovima, pregled metoda za analizu buke (s naglaskom na korištenu metodu), opis korištenog programskega paketa, opis projektnog zahtjeva i odgovarajućih kriterija, značajke zadanog broda i osnovne izvore buke, detaljan opis numeričkog modela i načina integracije izvora buke u model (način temeljenja, dimenzije temelja, itd.), te analizu rezultata. Rezultate je potrebno usporediti s rezultatima proračuna drugim metodama koji su dostupni na Fakultetu strojarstva i brodogradnje.

U radu je potrebno navesti korištenu literaturu i eventualno dobivenu pomoć.

Zadatak zadan:

29. rujna 2022.

Datum predaje rada:

1. prosinca 2022.

Predviđeni datumi obrane:

12. – 16. prosinca 2022.

Zadatak zadao:

Izv. prof. dr. sc. Nikola Vladimir

Predsjednik Povjerenstva:

Prof. dr. sc. Tanja Jurčević Lulić

SADRŽAJ

SADRŽAJ	I
POPIS SLIKA	III
POPIS TABLICA.....	V
POPIS OZNAKA	VI
SAŽETAK.....	VII
SUMMARY	VIII
1. UVOD.....	1
2. OSNOVNI POJMOVI U AKUSTICI	4
2.1. Definicija i mjerenje zvuka	4
2.1.1. Intenzitet zvuka	6
2.1.2. Razina intenziteta zvuka	6
2.1.3. Razina zvučnog tlaka	7
2.1.4. Razina glasnoće zvuka	7
2.1.5. Valna duljina, frekvencija i brzina zvuka	8
2.2. Zvučni filtri	9
2.3. Mjerenje zvuka na brodu.....	10
3. BUKA NA BRODU	12
4. METODE PROGNOZE BUKE NA BRODOVIMA	14
4.1. Metoda konačnih elemenata.....	14
4.2. Metoda energetskih konačnih elemenata	16
4.3. Metoda statističke analize energije	16
5. DESIGNER-NOISE	19
6. ZAKONSKA REGULATIVA	22
6.1. Det Norske Veritas	26
6.2. Lloyds'd Register.....	28
6.3. Bureau Veritas.....	29
7. IZRADA MODELA	31
7.1. Tehnički podaci analiziranog broda	31
7.2. Izrada geometrijskog modela	31
7.3. Akustičke značajke modela.....	33

7.4. Izvori buke	35
7.4.1. Glavni motori	35
7.4.2. Dizel-generatori	36
7.4.3. Propulzori	38
7.4.4. HVAC sustav	39
8. REZULTATI	41
9. ZAKLJUČAK	56
LITERATURA	57
PRILOZI	60

POPIS SLIKA

Slika 1	Utjecaj buke iz okoliša na stanovništvo u Europi [3].....	2
Slika 2	Spektralna krivulja praga osjeta prosječnog uha [9]	5
Slika 3	Usporedba standardnih krivulja jednake razine glasnoće s prethodnima [12].....	8
Slika 4	Ilustracija longitudinalnog vala	9
Slika 5	Odziv različitih filtera [14].....	9
Slika 6	Vizualno objašnjenje rada A filtera [15]	10
Slika 7	Utjecajni faktori na razinu buke na brodu [16]	12
Slika 8	Propagacija buke na brodu [17].....	13
Slika 9	Prikaz propagacije buke kroz brodsку konstrukciju koristeći MKE [20]	15
Slika 10	Zasebni podsustav (lijevo) i dva povezana podsustava (desno) [22]	17
Slika 11	Grafičko sučelje programskog paketa <i>Designer-NOISE</i>	19
Slika 12	Dopušteno izlaganje buci prema [29].....	23
Slika 13	Aksonometrijski prikaz topološkog modela analiziranog broda	32
Slika 14	Prikaz brodskog trupa.....	33
Slika 15	Bočni prikaz modela.....	33
Slika 16	Svojstva panela.....	34
Slika 17	Poprečni presjeci modela na $x=48$ m (lijevo) i $x = 88,8$ m (desno)	34
Slika 18	Prikaz unutarnje strukture modeliranog broda	35
Slika 19	Ulagani podaci pogonskih motora kao izvora buke	36
Slika 20	Ulagani podaci dizel-generatora kao izvora buke	37
Slika 21	Pozicioniranje električnih motora i dizel-generatora na palubi 0.....	37
Slika 22	Ulagani podaci brodskog vijka kao izvora buke	38
Slika 23	Pozicioniranje brodskih vijaka na modelu	38
Slika 24	Pozicioniranje pramčanih potisnika na modelu.....	39
Slika 25	Ulagani podaci pramčanog potisnika kao izvora buke.....	39
Slika 26	Smještaj usisnog i ispušnog ventilatora.....	40
Slika 27	Ulagani podaci ventilatora na usisu kao izvora buke	40
Slika 28	Razine buke u tv salonu prema DNV-u.....	42
Slika 29	Razine buke u tv salonu izračunate u Designer NOISE-u.....	43
Slika 30	Razine buke u prostoriji za pripremu putnika za ekspedicije prema DNV-u.....	44

Slika 31	Razine buke u prostoriji za pripremu putnika za ekspedicije izračunate u Designer-NOISE-u	45
Slika 32	Razine buke u kabinama za osobe s posebnim potrebama prema DNV-u.....	46
Slika 33	Razine buke u kabinama za osobe s posebnim potrebama izračunate u Designer-NOISE-u.....	47
Slika 34	Razine buke u kabinama časnika prema DNV-u.....	48
Slika 35	Razine buke u kabinama časnika izračunate u Designer-NOISE-u	49
Slika 36	Razine buke u restoranu prema DNV-u	50
Slika 37	Razine buke u restoranu izračunate u Designer-NOISE-u	51
Slika 38	Razine buke u putničkim kabinama prema DNV-u	52
Slika 39	Razine buke u putničkim kabinama izračunate u Designer-NOISE-u	53
Slika 40	Razine buke u panoramskom salonu prema DNV-u	54
Slika 41	Razine buke u panoramskom salonu u Designer-NOISE-u	55

POPIS TABLICA

Tablica 1	Razina intenziteta zvuka i intenzitet zvuka za neke uobičajene izvore	7
Tablica 2	Dostupni konstrukcijski materijali u bazi podataka	20
Tablica 3	Usporedba dopuštenih razina buke prema različitim rezolucijama.....	24
Tablica 4	Oznake kvalitete za buku, vibracije i temperaturnu ugodnost prema DNV-u	27
Tablica 5	Prostor za smještaj putnika - dozvoljene razine buke	27
Tablica 6	Prostor za smještaj posade – dozvoljene razine buke.....	28
Tablica 7	Nespecificirani prostor na brodu – dozvoljene razine buke	28
Tablica 8	Dopuštene razine buke prema LR-u	29
Tablica 9	Dopuštene razine buke na brodu prema BV-u	30
Tablica 10	Osnovne značajke analiziranoga broda	31
Tablica 11	Usporedba rezultata razina buke	41

POPIS OZNAKA

Oznaka	Jedinica	Opis
E_i	J	pohranjena vibracijska energija
f	Hz	frekvencija
$\{F\}$	N	vektor sila
I	W/m^2	intenzitet zvuka
I_0	W/m^2	referentni intenzitet zvuka
$[K]$	N/m	matrica krutosti
L	dB	razina intenziteta zvuka
$[M]$	kg	matrica masa
p	Pa	zvučni tlak
p_0	Pa	referentni zvučni tlak
P_i, P_j	W	rezultantna snaga ulaznog podražaja na sustav
P_{ii}, P_{jj}	W	gubitci promatranog sustava
P_{ij}, P_{ji}	W	snaga izmijenjena između podsustava
SPL	dB	razina zvučnog tlaka
v	m/s	brzina širenja vala
η_i	-	koeficijent unutarnjih gubitaka
η_{ij}	-	koeficijent gubitka spoja
λ	m	valna duljina
$\{\xi\}$	m	vektor pomaka
ω	s^{-1}	frekvencija vibriranja

SAŽETAK

Radom glavnog stroja, brodskog vijka te ostalih brodskih strojeva, kao neželjena posljedica nastaje buka koja smanjuje ugodu na brodu, a u nekim slučajevima može ometati normalno funkcioniranje posade i putnika. Stoga je potrebno, kako bi se postigla što veća kvaliteta ugode za posadu i putnike, dovesti razinu buke u dozvoljene granice. U okviru ovog diplomskog rada izvršena je prognoza razine buke metodom hibridne statističke analize za istraživački brod za kružna putovanja u polarnim uvjetima za posebne namjene kapaciteta 200 putnika i duljine $L_{OA} = 128$ m. Za navedenu analizu korišten je komercijalni programski paket Designer-NOISE. Predstavljeni su osnovni pojmovi u brodskoj akustici te je prikazana zakonska regulativa koju zajedno definiraju Međunarodna pomorska organizacija (IMO) i klasifikacijska društva. Detaljno je opisan postupak izrade modela, i popis izvora buke koji su prisutni na brodu. U konačnici su dobiveni rezultati uspoređeni s proračunom razina buke koje je za isti brod, ali različitom metodom, provelo klasifikacijsko društvo Det Norske Veritas (DNV).

Ključne riječi: buka, istraživački brod, polarni kruzer, metoda hibridne statističke analize energije.

SUMMARY

As an unwanted consequence, the operation of the main propulsion engine, the ship's propeller and other machinery, creates noise that reduces comfort on the ship, and in some cases can disturb the crew and passengers in their everyday activities. Therefore, in order to achieve the highest quality of comfort for the crew and passengers, it is necessary to keep the noise level within the specified limits. In this thesis, a noise level prediction calculation was made using the hybrid statistical energy analysis method for a research ship operating in polar conditions with a capacity of 200 passengers and a length of $L_{OA} = 128$ m. The commercial software package Designer-NOISE was used for performing the analysis. The basic terms in ship acoustics are presented and the legal regulations jointly defined by international organizations and classification societies are given. The process of making the model is described in detail, as well as the list of noise sources that are present on the ship. In the end, the obtained results were compared with the calculation of noise levels, which was carried out by Det Norske Veritas (DNV) for the same ship but using a different method.

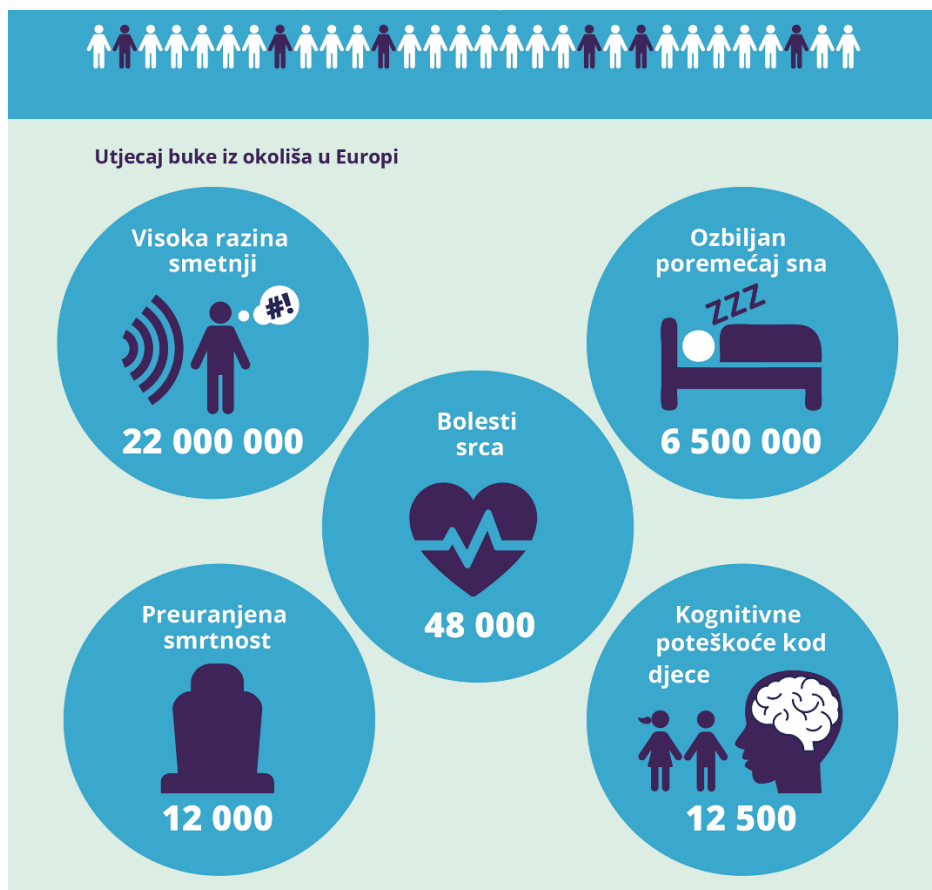
Key words: noise, research ship, polar cruise vessel, hybrid statistical energy analysis method.

1. UVOD

Neizbjježna pojava te rastući globalni problem uslijed urbanizacije svjetskog stanovništva postala je buka. Prisutna je na ulici uslijed prometa ili radova, u prostorima namijenjenima za društvena okupljanja kao što su barovi, klubovi i koncertne dvorane, na radnim mjestima, itd. S obzirom da je skoro svaki izvor buke, proizveo, osmislio, organizirao, ili stvorio čovjek, čovjeka se može i okarakterizirati, da svojim tehničkim i društvenim djelovanjem predstavlja primarni izvor buke. Danas se buku smatra vrstom zagađenja okoliša i ona postaje rastući problem u razvijenim zemljama, a dugotrajno izlaganje visokoj razini buke može imati ozbiljne zdravstvene posljedice. Također, njezina prisutnost na radnom mjestu predstavlja štetne radne uvjete. Zbog navedenih problema, regulatornim mjerama definira se granica dopuštene buke, što osigurava sigurnost i ugodu u različitim aspektima čovjekova života pa tako i u brodogradnji i pomorskoj tehnici. Regulacija buke postojala je još u davno rimske doba, kad je pod vladavinom Cezara zabranjena noćna vožnja bučnih vagona ulicama glavnoga grada [1]. Stoga, vrlo važan kriterij pri gradnji brodova, uz vibracije, predstavlja i buka. Osim negativnog utjecaja na pojedine komponente broda, ona se može reflektirati i na komfor, zdravlje i sigurnost posade i putnika te okoliš i podvodni životinjski svijet. Unaprjeđenjem znanosti i tehnologije, proizvedeni strojevi u mogućnosti su razviti sve veće snage, a time generiraju veću buku. Sa zahtjevima za sve veće i brže brodove, rastu dakle, i zahtjevi za redukcijom buke. Među raznovrsnim strojevima i uređajima koji na brodu stvaraju buku, bitno je izdvojiti glavne izvore, a to su: glavni stroj, dizel-električni generatori, reduktor, sustavi klimatizacije i ventilacije te brodska vijak. Ugodnu i mirnu plovidbu izrazito je važno osigurati kod putničkih brodova i brodova za posebne namjene kao što su istraživački brodovi, o kakvom je riječ u ovom diplomskom radu.

Pretjerana buka, osim što napreže, ili čak uništava sluh, negativno utječe i na druge organe i funkcije ljudskog tijela [2]. Viši tonovi, odnosno zvukovi viših frekvencija pokazali su se štetnijima za ljudsko zdravlje. Oštećenje unutarnjeg uha nastupa uslijed dugotrajne izloženosti visokim razinama buke, a privremena posljedica takvog oštećenja je pomak praga čujnosti koji se nakon toga oporavlja i vraća u normalu. Ukoliko je izlaganje buci periodično, slušni organ nema dovoljno vremena za oporavak i postupno gubi sposobnost obnove te dolazi do dugotrajnih oštećenja sluha. Osim gubitka sluha, nerijetke posljedice su smetnje u orijentaciji, nervozna, nesanica, tinitus odnosno zujanje u ušima, ili kardiovaskularni problemi. Europska

agencija za okoliš tvrdi kako 20% stanovništva, odnosno svaka peta osoba živi u područjima u kojima se razine buke smatraju štetnima za zdravlje [3]. Slika 1 prikazuje probleme uzrokovane bukom zajedno s brojem europskog stanovništva koji je doživio takve probleme.



Slika 1 Utjecaj buke iz okoliša na stanovništvo u Europi [3]

Smanjenjem propisanih granica buke osigurava se veći komfor posade i putnika te se uklanjamaju štetni utjecaju na brodsku konstrukciju i okolinu. U tu svrhu, Međunarodna pomorska organizacija (eng. *International Maritime Organization*, IMO), u Poglavlje IX Konvencije SOLAS, uvodi Kodeks o razini buke [4] koji je usvojen 2012. godine Rezolucijom MSC.337(91) [5], a stupio je na snagu 2014. godine. Iste je godine odbor IMO-a za zaštitu pomorskog okoliša (eng. *Marine Environment Protection Committee*, MEPC) odobrio Upute za redukciju podvodne buke od strane komercijalne plovidbe [6]. Uz međunarodne organizacije, klasifikacijska društva također propisuju granice zahtijevane razine buke na brodovima, pa su tako uslijed povećanog interesa za putničke brodove i brodove za kružna putovanja razvili nova pravila pod nazivom „*Comfort Class*“ tj. klase udobnosti, čime su

dodatno snižene granice buke i vibracija s ciljem ostvarenja ugodnijeg boravka na brodu. Vodeću ulogu po pitanju regulacije buke među klasifikacijskim društvima ima Det Norske Veritas (DNV), koji je prvi izdao regulative ovakve vrste. S vrlo sličnim pristupom ga prate Lloyd's Register of Shipping i Bureau Veritas, koji također uvode udobnost putnika i posade kao bitan kriterij s ciljem dovođenja komfora na višu razinu.

Propagacija buke je prolaz zvučne uzbude od izvora do mjesta mjerena buke i moguće ju je ostvariti na dva načina. Prvi je propagacija kroz zrak (eng. *airborne*), odnosno širenje zvučnih valova kroz zrak kao medij. Dolaskom zvučnog vala do prepreke kao što je npr. zid, val predaje dio svoje energije koja poprima oblik vibriranja krutih tijela te se na taj način ostvaruje propagacija buke kroz konstrukciju kao drugi način njezinog širenja. Ovaj način širenja buke predstavlja veći problem pri njezinom reducirajući na složenoj konstrukciji.

U svrhu prognoziranja razine buke koriste se različite empirijske i numeričke metode od kojih su najčešće: metoda konačnih elemenata, energijska metoda konačnih elemenata i statistička metoda, pri čemu svaka od njih ima određene prednosti i nedostatke

U ovom diplomskom radu izvršena je prognoza buke metodom hibridne statističke analize energije koristeći komercijalni programski paket Designer-NOISE. Predmet analize je istraživački brod za kružna putovanja u polarnim uvjetima za posebne namjene kapaciteta 200 putnika i duljine $L_{OA} = 128$ m. Rezultati su uspoređeni s rezultatima proračuna drugim metodama koji su raspoloživi na Fakultetu strojarstva i brodogradnje.

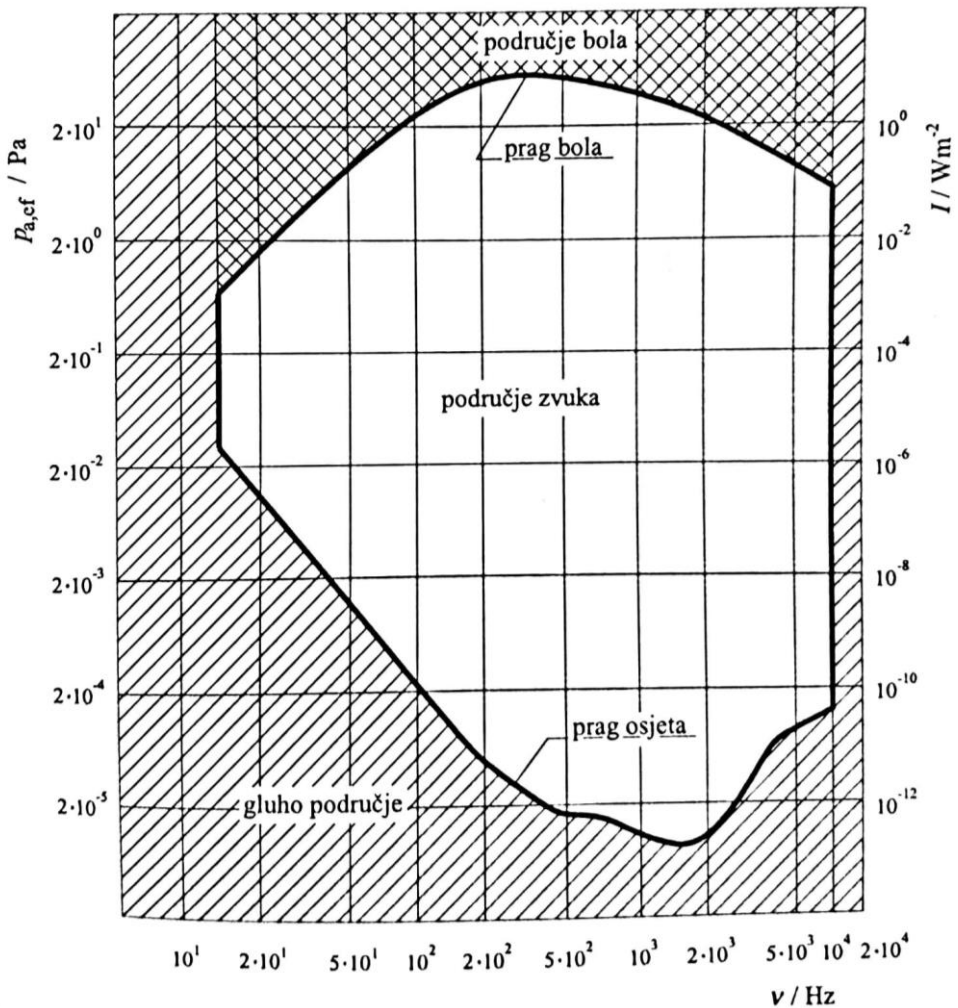
2. OSNOVNI POJMOVI U AKUSTICI

Strojevi i uređaji na brodu, uzročnici su nepoželjne buke i vibracija zbog čega postaju bitan faktor već u početnoj fazi projektiranja. Prema provedenom istraživanju, škripa, buka motora, i „zviždanje“ sustava za grijanje hlađenje i ventilaciju su najčešće prijavljivani neželjeni zvukovi odnosno buka na brodu [7]. Grana fizike koja proučava načine dobivanja zvuka, zakone njegovog širenja te detektiranje zvuka, naziva se akustika. Za bolje razumijevanje akustike na brodu, u ovom poglavlju objašnjeni su osnovni pojmovi.

2.1. Definicija i mjerjenje zvuka

Zvuk definiran sa stajališta fizike predstavlja niz promjena tlaka i pomicanja čestica unutar elastičnog medija kojim se taj zvuk širi. Po drugoj, fiziološkoj definiciji, zvuk je sve ono što čujemo, tj. to je osjećaj koji čovjek zaprima preko organa sluha, izazvan promjenama tlaka zraka [8]. Naravno, svaka promjena tlaka zraka neće izazvati osjećaj zvuka u ljudskom uhu, moguće je da su promjene suviše spore, ili suviše brze. Pretjerano spore promjene tlaka proizvode zvukove nižih frekvencija i stvaraju infrazvuk, dok prebrze promjene posjeduju veliku frekvenciju i uzrokuju zvuk koji se naziva ultrazvuk. Frekvencija je veličina koja označava broj izlazaka i povrataka neke čestice u ravnotežu, a izražava se u hercima (Hz). Čujni spektar ljudskog slušnog organa prostire se između približno 16 i 20 000 Hz i time je smješten između područja infrazvuka i ultrazvuka. Kod novorođenčadi gornja je granica čujne frekvencije najviša, oko 24 kHz i kasnije opada s godinama sve do 5 kHz. Osim selektivne frekvencije koju ljudsko uho može registrirati, područje zvuka također ovisi i o njegovom intenzitetu.

Osjetljivost uha ispituje se tako da se intenzitet sinusnog tona, određene frekvencije, povećava do vrijednosti kod koje opažač uhom čuje upadni val. Dosegnut je tada prag osjetljivosti opažača uha za danu frekvenciju. Ako se intenzitet zvuka i dalje povećava, konačno opažač više ne osjeća zvuk već bol u ušima - tada je dosegnut prag bolnog osjeta. Ponavljujući eksperiment s različitim frekvencijama dobivaju se dvije krivulje: krivulja praga čujnosti ili spektralna osjetljivost uha i krivulja praga bola [9]. Ponavljanjem ovakvog testiranja na većem broju ispitanika, moguće je grafički prikazati područje zvuka prosječnog ljudskog uha kao što je prikazano na Slici 2.



Slika 2 Spektralna krivulja praga osjeta prosječnog uha [9]

Na Slici 2 može se primijetiti da je prag osjeta najizraženiji pri višim frekvencijama dok najviši prag bola ljudsko uho registrira kod srednjih frekvencija u spektru čujnih frekvencija. Također je zanimljivo primijetiti kako je raspon intenziteta zvuka koji čovjek može čuti, pri minimalnoj frekvenciji nekoliko puta manji od onoga pri maksimalnoj frekvenciji.

Fluidi se poput krutih tijela opiru lokalnoj kompresiji ili dilataciji, a s prestankom djelovanja uzroka promjena, vraćaju se u prvobitno stanje. Shodno tome, predviđljivo je da će vibracije krutih tijela u fluidu izazvati longitudinalne valove pomaka. Pojava dobiva naročitu važnost kad se uoči da su ti valovi ono što uho zamjećuje kao zvuk [9]. S obzirom na to da zvuk predstavlja longitudinalni valni poremećaj, ta se energija prenosi isključivo uzastopnim zgušćivanjem i razrjeđivanjem stupaca zraka, tj. malim lokalnim promjenama tlaka [10]. Iako

nema prijenosa mase kod širenja zvuka medijem, zvučni val i dalje prenosi impuls sile i energiju. Zbog postojanja prijenosa energije, moguće je govoriti o intenzitetu zvuka.

2.1.1. Intenzitet zvuka

Intenzitet, ili jakost zvuka I označava energiju koju val prenese kroz jediničnu površinu u jedinici vremena. Jednostavnije rečeno, to je omjer zvučne snage koju nosi zvučni val i ploštine presjeka zvučnog snopa [11]. Mjerna jedinica kojom označavamo ovu veličinu je dakle, W/m^2 . Ljudsko uho je neobično osjetljiv instrument i može registrirati zvuk u širokom rasponu intenziteta, tako npr. pri frekvenciji od 1 kHz čovjek može opaziti zvukove intenziteta od 10^{-12} W/m^2 pa sve do 1 W/m^2 , što čini razliku od čak 12 redova veličine. Ljudski slušni organ registrira logaritamske promjene intenziteta, a ne linearne, iz tog razloga je uvedena veličina razine intenziteta zvuka.

2.1.2. Razina intenziteta zvuka

Razina intenziteta zvuka, ili samo razina zvuka pojam je koji u svakodnevnom govoru zamjenjujemo izrazom glasnoća. Razina intenziteta zvuka mjeri se u decibelima (dB) i definirana je sljedećom jednadžbom:

$$L = 10 \log \frac{I}{I_0} \quad (1)$$

Referentni zvučni intenzitet I_0 dogovorno je određen kao prosječni prag osjetljivosti pri frekvenciji 1 Hz i iznosi 10^{-12} W/m^2 . Omjer dviju veličina iste vrste je čisti broj bez mjerne jedinice, no ukoliko se iskoristi njegov logaritam, tada je konačan broj izražen u belima. Radi praktičnih razloga u akustici se koristi deset puta manja jedinica i upravo zato je razina intenziteta zvuka mjerena u decibelima. U Tablici 1 prikazani su primjeri zvukova s pripadajućim intenzitetima zvuka i razinama intenziteta zvuka. Brojčani prikaz pojedinih razina intenziteta za zadane intenzitete zvuka daje bolji uvid u razumijevanje uha kao logaritamskog osjetila. Ova veličina i dalje objektivno određuje svojstvo zvuka, ali je zbog logaritamske skale vrlo blizu subjektivnom opisu glasnoće zvuka.

Tablica 1 Razina intenziteta zvuka i intenzitet zvuka za neke uobičajene izvore

Razina intenziteta dB	Intenzitet W/m ²	Izvor zvuka
0	10^{-12}	granica osjetljivosti
10	10^{-11}	normalno disanje, treperenje lišća
20	10^{-10}	tiho šaputanje na udaljenosti 1 m
30	10^{-9}	tih dom
40	10^{-8}	prosječan ured, tiši ured
50	10^{-7}	prosječan ured
60	10^{-6}	normalan razgovor, prosječan promet
70	10^{-5}	bučniji ured
80	10^{-4}	živahan promet
90	10^{-3}	podzemna željeznica
100	10^{-2}	strojna radionica
110	10^0	pneumatska bušilica, granica boli
120	10^1	mitraljeska paljba
130	10^2	manji mlazni avion pri uzletu udaljen 30 m
170	10^5	svemirska raketa prilikom uzleta

2.1.3. Razina zvučnog tlaka

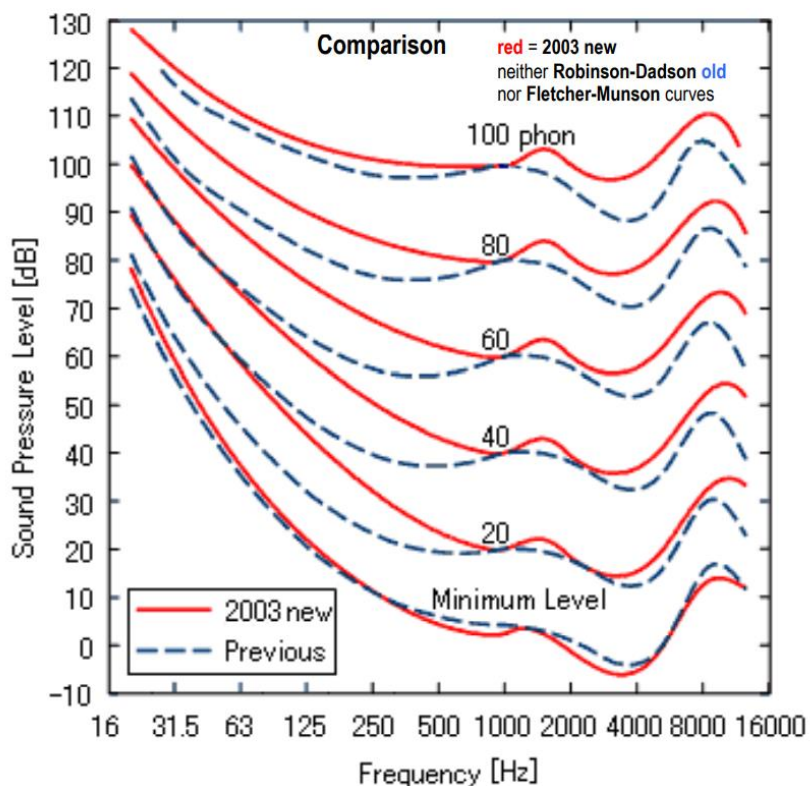
Razina zvučnog tlaka (eng. *Sound Pressure Level*,) *SPL* služi za iskazivanje logaritamskog omjera zvučnog tlaka naspram referentnog zvučnog tlaka koji iznosi $p_0 = 20 \mu\text{Pa}$, a to je onaj tlak koji proizvodi zvuk referentnog intenziteta zvuka I_0 . Kao i kod razine intenziteta zvuka, koristi se deset puta manja mjerna jedinica decibel.

$$SPL = 20 \log \left(\frac{p}{p_0} \right) \quad (2)$$

2.1.4. Razina glasnoće zvuka

Kao subjektivna veličina za mjerjenje zvuka, uvodi se razina glasnoće zvuka, ili u nekoj literaturi nazivana akustički nivo. Ona osim o intenzitetu zvuka, dodatno ovisi i o frekvenciji i izražava

se u mjernoj jedinici fon, odnosno decifon. Mjerjenje razine glasnoće nekog tona, šuma, ili buke može se izvesti tako da se taj zvuk uhom uspoređuje sa sinusnim tonom frekvencije 100 Hz kojemu se mijenja intenzitet sve dok se ne postigne, više-manje jednak osjet jakosti obaju zvukova [9]. U tom trenutku može se reći da oba zvuka imaju jednaki akustički nivo ili razinu glasnoće izraženu u fonima. Za svaku frekvenciju će isti intenzitet zvuka rezultirati različitom razinom glasnoće što se jasno vidi na Slici 3 koja prikazuje krivulje jednakog akustičkog nivoa. Dakle, svaka krivulja prikazuje jednak subjektivan osjećaj glasnoće pri različitim frekvencijama pa se te krivulje nazivaju izofone. Dugi niz godina su Robinson-Dadson krivulje uzete kao standardne izofone, sve do 2003. godine kad je ISO revidirao stare krivulje. Slika 3 prikazuje usporedbu starih i novih krivulja jednakake razine glasnoće.

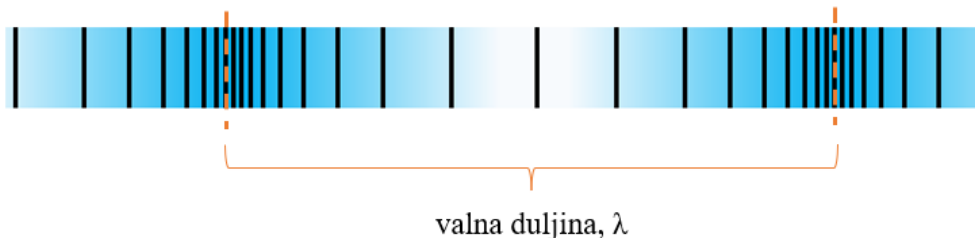


Slika 3 Usporedba standardnih krivulja jednakake razine glasnoće s prethodnima [12]

2.1.5. Valna duljina, frekvencija i brzina zvuka

Kao što je već spomenuto, zvuk predstavlja jedan primjer longitudinalnog vala koji nastaje širenjem poremećaja tlaka kroz fluid odnosno zrak. Slika 4 prikazuje ilustraciju primjera longitudinalnog vala. Moguće je okomite crne linije zamisliti kao stupce zraka, gušće linije

predstavljaju veći tlak i obrnuto. Kad bi se pronašle dvije uzastopne linije s maksimalnim ili minimalnim tlakom, njihova udaljenost predstavljalja bi valnu duljinu λ .



Slika 4 Ilustracija longitudinalnog vala

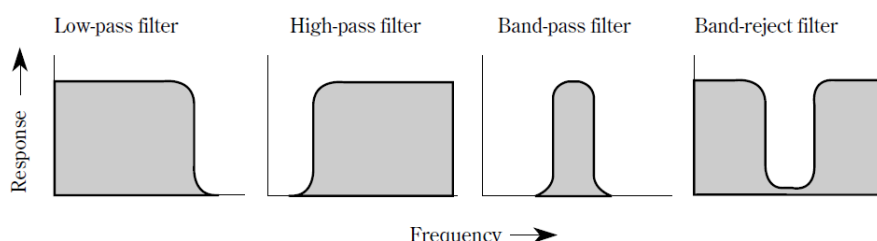
Jedna valna duljina ujedno i označava jedan titraj odnosno 1 Hz. Frekvencija vala f bit će jednaka broju titraja koje val ostvari u sekundi. Ukoliko je poznata brzina širenja vala v moguće je s poznatom frekvencijom izračunati valnu duljinu i obrnuto, pomoću jednadžbe:

$$v = f \cdot \lambda \quad (3)$$

Brzina zvuka u zraku pri temperaturi od 20° poznata je i iznosi $v = 343$ m/s [13].

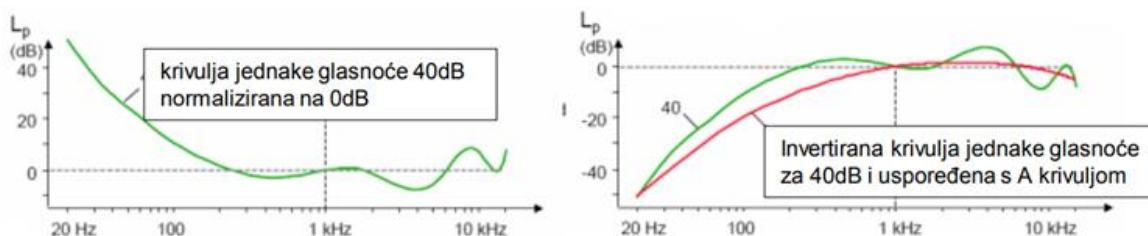
2.2. Zvučni filtri

Za mjerjenje zvuka, potrebno je u točku promatranja postaviti elektroakustički uređaj kao što je zvukomjer koji prima impulse zvučnog tlaka i pretvara ih u električni signal. Radi boljih i jasnijih rezultata, električni signal obrađuju uređaji koji se nazivaju težinski filtri koji su sastavni dio instrumenta zvukomjera. Njihova uloga je selektivno propuštanje frekvencije ovisno o sferi interesa. Slika 5 prikazuje dijagrame koji opisuju rad različitih filtera. Redom slika prikazuje: niskofrekventne, visokofrekventne, pojasevine filtere i isključivo-pojasne filtere. Zbog nelinearnosti čovjekovog slušnog organa, linearno mjerjenje razine zvučnog tlaka ne bi odražavalo čovjekovu percepciju zvuka. U svrhu stvaranja realnije slike zvuka prilikom mjerjenja koriste se filtri.



Slika 5 Odziv različitih filtera [14]

Zvukomjer je objektivni mjerač razine zvuka i ukoliko nema implementiran filter dobivene veličine rezultata mjerjenja, neće se slagati sa subjektivnom percepcijom glasnoće ljudskog uha. Najčešće korišten filter je A filter čija se osjetljivost mijenja s frekvencijom oponašajući pritom ljudsko uho. Na Slici 6 prikazana je jedna izofona prema Robinson-Dadson krivuljama, njezina invertirana krivulja te je s njome uspoređena krivulja A filtera. Na taj način je slikovito objašnjena funkcija i rad A filtera. Oznaka filtera naznačuje se nakon mjerne razine intenziteta, tako npr. za A filter mjerne jedinica glasi dBA.



Slika 6 Vizualno objašnjenje rada A filtera [15]

U praksi se korištenje A filtera pokazalo mjerodavno za ocjenu razine glasnoće buke pa se danas većina zakonskih regulativa definira na temelju izmjerениh razina zvuka pomoću upravo tog filtera. Razina buke koja se dobila filtriranjem zvučnog tlaka A filterom izražava se u dBA. Analogan postupak vrijedi za mjerne jedinice zvuka filtrirane drugim filterima, npr B, C, D.

2.3. Mjerenje zvuka na brodu

Klasifikacijska društva precizno definiraju zahtjeve i uvjete u kojima je potrebno provesti ispitivanje buke te koje informacije moraju biti evidentirane. Osoba odgovorna za takvo testiranje direktno, ili indirektno dolazi iz odgovornog društva, te mora biti educirana u području akustike isto kao za rukovanje potrebnim uredajima i alatima.

Za provođenje ispitivanja buke na brodu, potrebno je osigurati plovidbu pri operativnoj brzini uz ravan kurs i rad glavnog motora pri barem 80% nazivne radne snage motora. Brod treba biti natovaren, ili u stanju balasta. Nužno je da svi instrumenti za navigaciju budu uključeni i u uporabi kao i za vrijeme normalne plovidbe, isto se odnosi i na sustav za klimatizaciju, grijanje, hlađenje i ventilaciju. Sve prostorije moraju biti potpuno opremljene za vrijeme testiranja,

prozori i vrata u pravilu zatvorena. Ukoliko brod posjeduje opremu za iskrcaj tereta, potrebno je provjeriti razine buke u fazi iskrcaja također. Što se tiče vanjskih uvjeta, vremenske prilike ne smiju utjecati na konačne rezultate mjerena i minimalna dubina jednaka je pet puta većem iznosu od gaza na krmi [4]. Za vrijeme mjerena, mikrofon bi se trebao nalaziti na visini između 1,2 m i 1,6 m iznad palube.

3. BUKA NA BRODU

Kao što je već u uvodu spomenuto, glavne izvore buke na brodu predstavljaju glavni i pomoćni strojevi, brodski vijak, reduktori, sustavi ventilacije i klimatizacije, ispušni sustavi itd. U pravilu najveći udio generirane buke pripada glavnem stroju i brodskom vijku, no na brodu koji je analiziran u ovom radu, za glavni stroj je odabran električni pogon koji ne stvara velike razine buke poput klasičnog dizel-motora. Stoga će uz brodski vijak bitan utjecaj imati dizel-generatori. Razina buke na brodu ovisi o tri utjecajna faktora; izvor buke, put širenja i prijemnik. Ovako zamišljeni koncept prikazuje Slika 7.

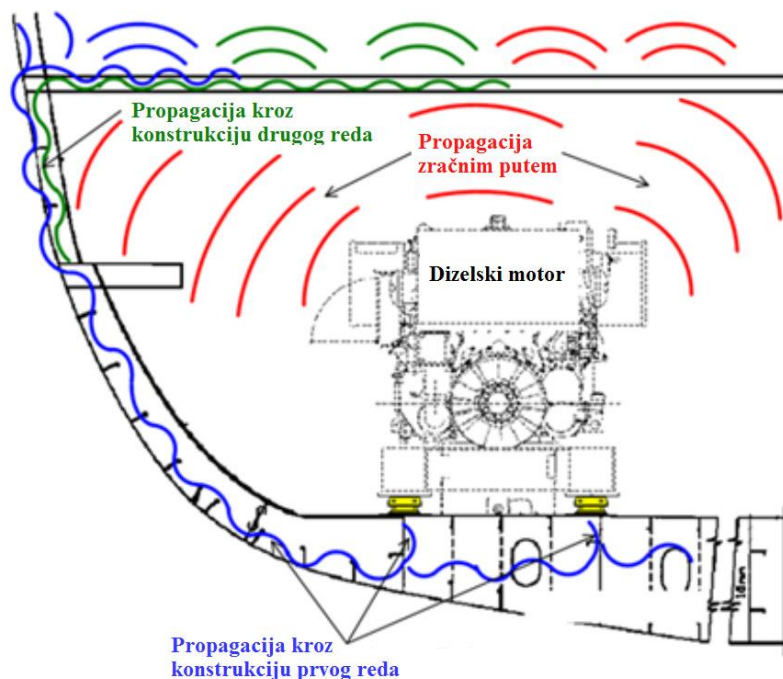


Slika 7 Utjecajni faktori na razinu buke na brodu [16]

Brodska konstrukcija predstavlja zvučnu stazu kojom se buka širi od izvora do prijemnika i kao takva ima veliki utjecaj na konačne rezultate, stoga projektanti imaju odgovornost sagledavanja akustičkih svojstava konstrukcije. Pojam prijemnik može označavati uređaj koji očitava razine buke kao što bi to radila klasifikacijska društva ili brodovlasnici, ali može označavati i živo biće; putnik, član posade, ili pak životinje u vodi. U slučaju potrebe za reduciranjem razina buke na brodu, moguće je utjecati na bilo koji od navedena tri faktora.

Kao što je ranije spomenuto, način propagacije buke može biti ostvaren kroz konstrukciju ili kroz zrak. Slikovito objašnjenje načina širenja buke prikazuje Slika 8. Temelj izvora predstavlja kontakt izvora s konstrukcijom i upravo se preko temelja buka počinje širiti konstrukcijom. Ovakav način propagacije naziva se širenje buke kroz konstrukciju prvog reda. Ukoliko buka

koja se širi zrakom naiđe na pregradu, postoji mogućnost izazivanja sekundarnih vibracija koje će zatim s druge strane pregrade generirati zvuk. U slučaju da postoji propagacija buke kroz strukturu koja ne polazi od točke kontakta izvora s konstrukcijom, takav se način propagacije naziva širenje buke kroz konstrukciju drugog reda.



Slika 8 Propagacija buke na brodu [17]

4. METODE PROGNOZE BUKE NA BRODOVIMA

Propisani zahtjevi za kontrolu buke podižu kriterije posljednjih godina te svako klasifikacijsko društvo razvija svoje smjernice i pravila kojima je potrebno udovoljiti. Za implementaciju novih propisa vezanih uz maksimalnu razinu buke, nužno je već u projektnoj fazi provesti potrebne proračune te primijeniti mjere smanjenja buke i vibracija ukoliko ti rezultati prelaze dopuštene granice. Pri završetku projekta gradnje broda, provodi se mjerjenje buke i vibracija koje će potvrditi ili opovrgnuti točnost prethodno obavljenih proračuna.

Složena struktura brodskog trupa koja zajedno sa svom montiranom opremom generira buku i vibracije čini složeni dinamički sustav [18]. Proračun buke i vibracija u takvom sustavu uključuje određivanje frekvencije odziva, amplitude vibracija, i u konačnici, razine zvuka koji se prenosi zrakom. Pristup ovakvoj problematici analitičkom metodom iziskuje strahovito puno vremena i truda te potpuno ispada nepraktičan, moguće i uzaludan. U potrazi za novim i jednostavnijim načinima za rješavanje takvih problema, prepoznato je više numeričkih metoda, od kojih će u ovom radu biti objasnjene 3 najutjecajnije, a to su: metoda konačnih elemenata, metoda statističke energije i metoda energetskih konačnih elemenata.

4.1. Metoda konačnih elemenata

Metoda konačnih elemenata, MKE (eng. Finite element analysis) kreće s diskretizacijom vibroakustičnog sustava na konačan broj elemenata od kojih je svaki manji od najmanje amplitude elastičnog vala. Ova metoda je ostvarila najširu primjenu kod predviđanja buke u području niskih frekvencija. Pristup se temelji na transformaciji spregnutih diferencijalnih jednadžbi gibanja u sustav algebarskih izraza [19]. Pomaci elementa opisani su odgovarajućim polinomima, dok su mesta spajanja elemenata određena jednakostima u pomacima ili naprezanjima duž granica spojenih elemenata. Matrična jednadžba koja se koristi za opisivanje ovakvog sustava glasi:

$$([K] + j\omega[R] \cdot \omega^2[M])\{\xi\} = \{F\} \quad (4)$$

Gdje su:

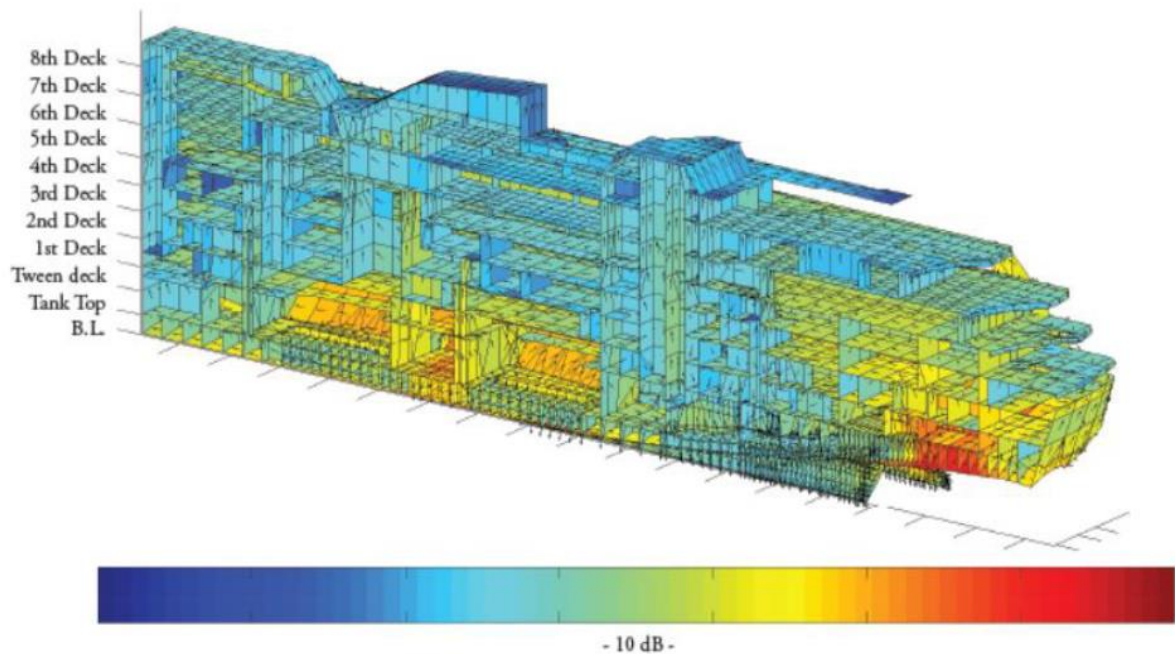
- | | |
|-------|--|
| $[K]$ | - matrica krutosti sustava |
| $[R]$ | - matrica apsorbirane energije vibracija |

$[M]$ - matrica masa

$\{F\}$ - vektor sila koje djeluju na strukturu

$\{\xi\}$ - vektor strukturnih pomaka kojeg je potrebno odrediti

Proces izrade modela za analizu metodom konačnih elemenata provodi se u tri faze. Prvi korak obuhvaća izradu 3D modela koji će poslužiti kao geometrija za izradu mreže konačnih elemenata. Zatim se definiraju pločasti konačni elementi koji moraju definirati prethodno napravljen model. Konačno se provodi analiza u određenom programskom paketu. Slika 9 prikazuje tipičan model mreže konačnih elemenata.



Slika 9 Prikaz propagacije buke kroz brodsku konstrukciju koristeći MKE [20]

Glavni nedostatak ove metode jest potreba za vrlo snažnom računalnom potporom te činjenica da bi zbog malih valnih duljina vibracija bilo potrebno izraditi model presitnih pločastih elemenata. Iako su buka i vibracije vrlo srodne problematike, pojas njihovih frekvencija na brodu se uvelike razlikuje. Prema [21] za MKE preporučljiva su barem 3 konačna elementa po valnoj duljini te primjena kod problema s maksimalnom frekvencijom od 200 Hz. Stoga, ova metoda pronalazi primjenu u problemu vibracija niskih frekvencija dok za analizu buke postaje

prekomplikirana. Nedostaci MKE upravo su bili poticaj za pronalazak novih i boljih načina provođenja analize buke.

4.2. Metoda energetskih konačnih elemenata

Metoda energetskih konačnih elemenata (eng. Energy Finite Element Analysis, EFEA) relativno je nov pristup usmjeren analiziranju i simuliranju širenja visokih frekvencija i buke kroz složenu konstrukciju kao što je brod. U ovoj se metodi formulira energetska bilanca za diferencijalni dio elementa čime se dobije parcijalna diferencijalna jednadžba drugog reda u kojoj je varijabla gustoća energije spojenih elemenata [22]. Za numeričko rješavanje sustava jednadžbi koristi se metoda konačnih elemenata.

Za razliku od MKE, u ovoj je metodi dovoljna gruba mreža konačnih elemenata za modeliranje brodske konstrukcije, što je svakako, njezina najveća prednost. Time se gubi potreba za snažnom računalnom potporom i smanjuje se vrijeme izrade modela. U idealnom slučaju, geometrijska mreža bi bila ista kao i za ostale strukturne analize koje se izvode tijekom projektiranja konstrukcije broda, tj. pomoću FEM analize niskofrekventnih vibracija [23].

4.3. Metoda statističke analize energije

Klasifikacijska društva odabrala su metodu statističke energije (eng. *Statistical Energy Analysis*, SEA) kao preporuku za provjeru visokih razina buke. Ova metoda se bazira na disipaciji energije, a riječ „statistička“ polazi od činjenice da su varijable određene statistički, a vrijednosti rezultata predviđene [22]. Metoda se već dugi niz godina primjenjuje u analizi visokih frekvencija konstrukcija, a danas je integrirana u mnoge programske pakete za izvođenje takvih analiza. Osnovna ideja metode je podjela složene konstrukcije u nekoliko povezanih podsustava i modeliranje protoka energije među njima [24]. Za svaki podsustav postavljen je zakoni očuvanja energije uzimajući u obzir, prosječnu prostornu brzinu vibriranja, brzinu disipacije energije, brzinu izmjene energije i brzinu unosa energije uslijed djelovanja vanjskih sila. Podsustav je analizirani element strukture koji mora ispunjavati dva uvjeta:

- sposobnost samostalnog vibriranja,
- posjedovanje vlastite frekvencije [22].

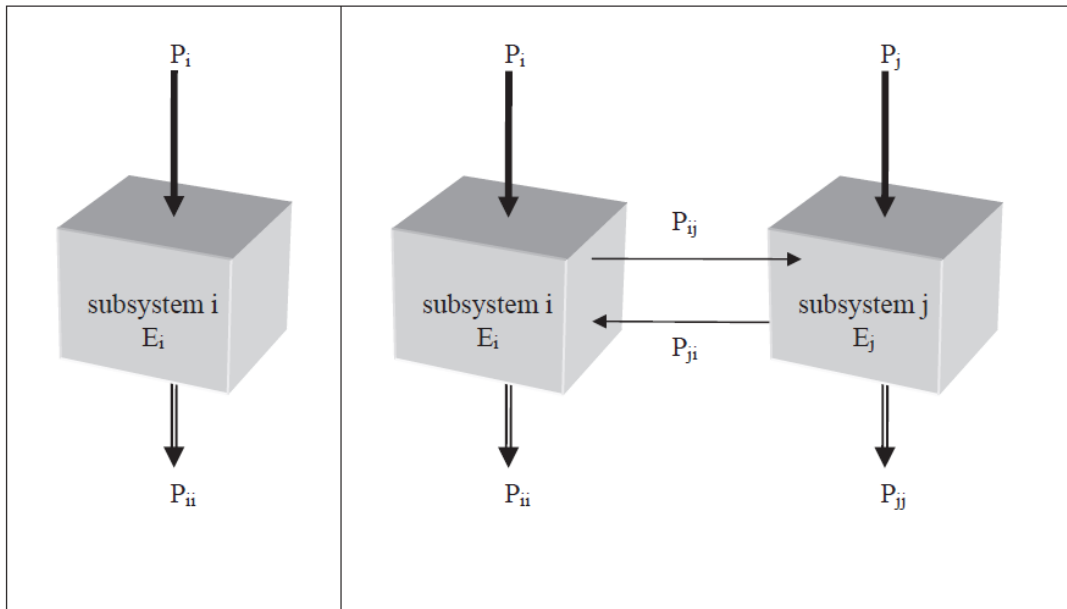
Recimo da na podsustav „i“ djeluje resultantna snaga P_i kao što na lijevoj strani prikazuje Slika 10. Nakon ulaska te snage, dio se pohranjuje u obliku vibracijske energije E_i , a dio će sačinjavati gubitci P_{ii} koji se mogu izračunati pomoću koeficijenta unutarnjih gubitka η_i :

$$P_{ii} = \omega \cdot \eta_i \cdot E_i \quad (5)$$

Ukoliko se definira stacionarno stanje onda ulazna energija mora biti jednaka izlaznoj:

$$P_i = P_{ii} \quad (6)$$

Ako se u razmatranje ubaci još jedan podsustav „j“ koji je u interakciji s onim prvim, stvar se neznatno komplikira. Slika 10 na desnoj strani prikazuje jedan takav primjer povezana dva podsustava.



Slika 10 Zasebni podsustav (lijevo) i dva povezana podsustava (desno) [22]

Zakon očuvanja energije vrijedi i dalje:

$$P_i + P_j = P_{ii} + P_{jj} \quad (7)$$

Budući da su podsustavi povezani, između njih postoji izmjena vibracijske energije koja se može definirati pomoću koeficijenta gubitaka spoja η_{ij} :

$$P_{ij} = \omega \cdot \eta_{ij} \cdot E_i \quad (8)$$

$$0 = P_{ij} - P_{ji} \quad (9)$$

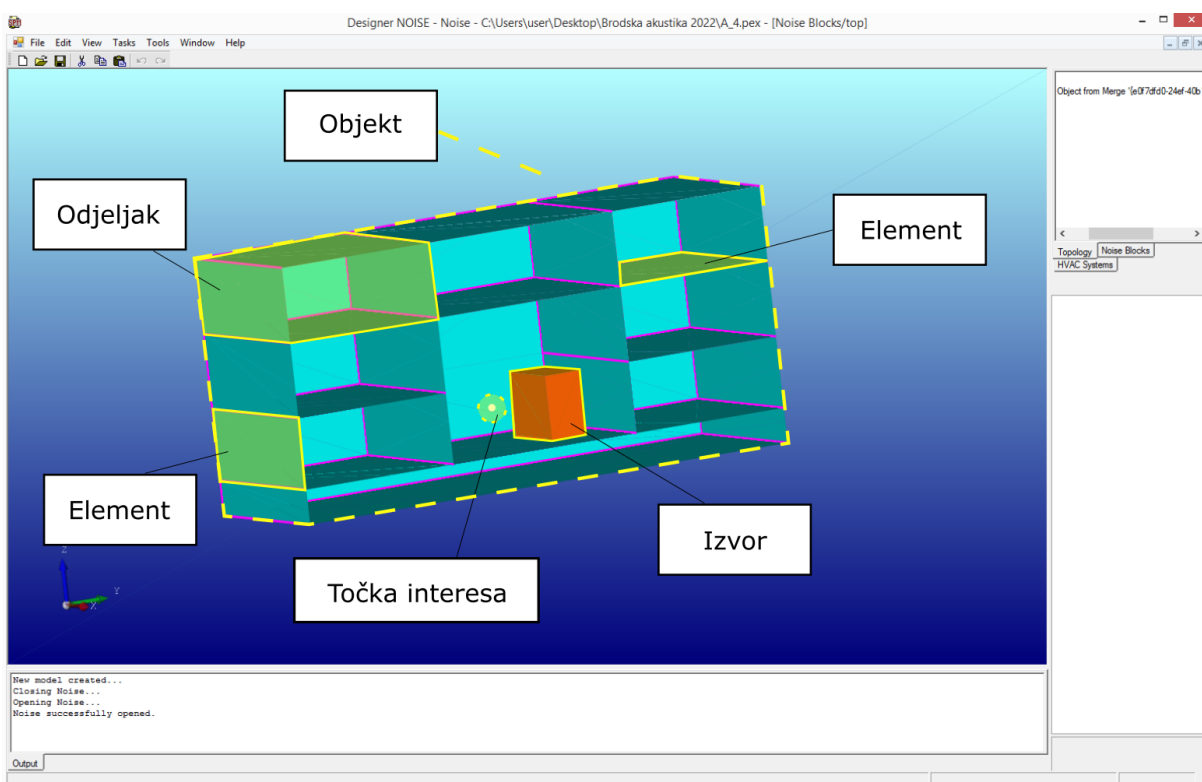
Daljnjim dodavanjem podsustava, formira se sustav linearnih jednadžbi koje se rješavaju matrično, a čije rješenje daje srednje energije za pojedine podsustave.

Uočljivo je da su SEA i EFEM slične metode uz tu razliku da se kod SEA pretpostavlja da gustoća energije ne ovisi o položaju unutar elementa. S matematičkog gledišta, jednadžbe očuvanja energije izražene su algebarski, i konačna matrica predstavlja sustav linearnih jednadžbi. S druge strane, kod EFEM, bilanca energije je definirana za različite dijelove elementa što rezultira diferencijalnim jednadžbama drugog reda za pojedini element.

Budući da je SEA metoda primjenjiva kod buke visokih frekvencija, a FEM dovoljno točna za onu niskih frekvencija, kombinacijom tih dviju metoda i stvaranjem tzv. hibridne metode statističke energije stvara se alat za dovoljno dobru predikciju vibracija i buke srednjih frekvencija. Takva SEA-FEM hibridna metoda analize sposobna je dati točnu procjenu utjecaja buke za niske, srednje i visoke frekvencije [25]. Upravo se na ovoj metodi temelji korišteni programski paket Designer-NOISE koji je korišten za analizu buke u ovom diplomskom radu i o kojem je riječ u sljedećem poglavlju.

5. DESIGNER-NOISE

Kao što je već prethodno rečeno, programska podrška korištena za izradu ovog diplomskog rada je programski paket *Designer-NOISE*, čiji se rješavač temelji na hibridnoj metodi statističke energije. Ovaj alat razvijen je s ciljem pružanja programske podrške inženjerima koja će dovoljno brzo i precizno provesti analizu predviđanja buke na brodovima ali i drugim kompleksnim tankostjenim konstrukcijama. Obzirom da je korištenje programa specifično predviđeno za rad u brodskoj industriji, svi specifični izvori lako se modeliraju kao što su: glavni brodski stroj, brodski vijak, HVAC sustavi, bočni propulzori itd. Za izradu modela, dostupno je 3-D grafičko sučelje što omogućuje brz i jednostavan unos parametara modela te njegovu izradu kao što prikazuje Slika 11 na kojoj su istaknuti i definirani sastavni dijelovi akustičkog modela. Objekt predstavlja cijelokupni topološki model kojem su pridodana svojstva debljine lima, njegove dimenzije i vrsta materijala. Objekt je sastavljen od više manjih odjeljaka koji nastaju zatvaranjem određenog volumena okolnim elementima. U gotov objekt se postavljaju izvor buke, u ovom slučaju je prikazan strojni element i točka interesa u kojoj se mjeri razina zvučnog tlaka.



Slika 11 Grafičko sučelje programskog paketa *Designer-NOISE*

Mogu se procijeniti uzroci buke u bilo kojem odjeljku te je moguće istražiti različite opcije obrade, uključujući elastično montiranu opremu, dodavanje apsorbirajuće izolacije, ili materijala za prigušenje [26]. Na taj način, projektantima se nudi uvid u akustičko stanje brodske konstrukcije te mogućnost za optimiranjem istog i jednostavnim ispunjavanjem zadanih ciljeva te održavanjem buke u propisanim granicama. Mjerodavni prikaz propagacije buke u projektnoj fazi stvara uvjete za bolje planiranje u pogledu izbora opreme, materijala izolacije i sl. U programu su na raspolaganju dva načina rada:

- „Topologija“ – služi isključivo za izradu geometrijskog modela bez ikakvih svojstava
- „Buka i vibracije“ – način u kojem se definiraju debljina i vrsta materijala, dimenzije ploha i sl. te se dodaju izvori buke, izolacija ako postoji i u konačnici se provodi sama analiza.

Nakon izrade modela, potrebno je definirati svojstva površina tako da im se dodjeli određena debljina, materijal i dimenzije. Dostupni konstrukcijski materijali u bazi podataka programskega paketa prikazuje Tablica 2. Zatim se dodaju izvori, gdje je potrebno specificirati volumen, lokaciju, razine emitiranog zvučnog tlaka te ubrzanje vibracija.

Tablica 2 Dostupni konstrukcijski materijali u bazi podataka

Materijal	Konstrukcijski materijal	Materijal za izolacijske ploče	Modul elastičnosti, GPa	Gustoća, kg/m ³	Poissonov omjer
Čelik	da	da	210	7800	0,29
Aluminij	da	da	72	2800	0,3
Titan	da	da	120	4500	0,32
Stakloplastika	da	da	21	1700	0,25
Kompozitna ploča	ne	da	/	proizvoljno	/
HTL	ne	da	/	1780	/
Drvo	ne	da	12	500	0,35
Pleksiglas	ne	da	43	1200	0,4
Šperploča	ne	da	3,4	800	0,35
Plastika	ne	da	13	1400	0,3
Marinit	ne	da	3	800	0,3

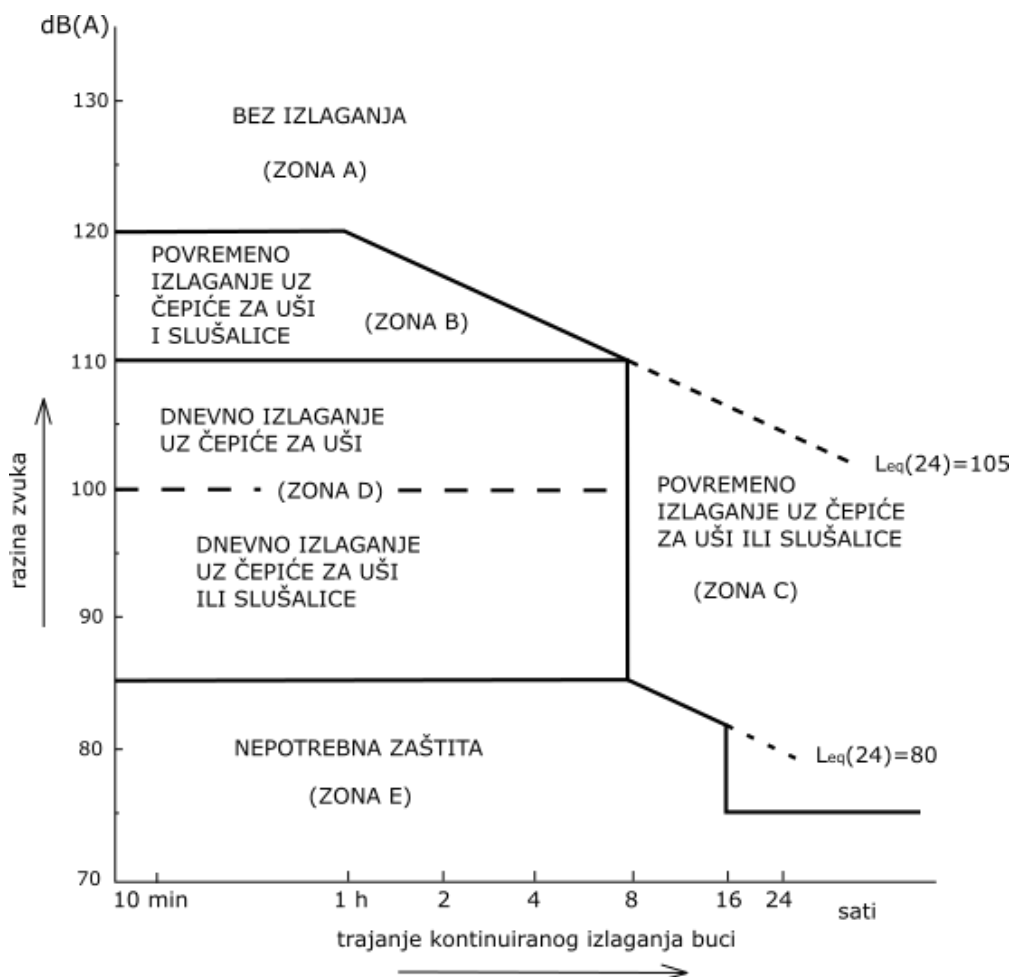
Zbog vrlo specifične primjene programa, minimalizirana je zahtijevana količina informacija od korisnika odnosno pojednostavljen je unos potrebnih parametara. Što se tiče postavljanja izolacije, na raspolaganju je velika baza podataka različitih izolacijskih i apsorpcijskih materijala koje je dovoljno samo odabrati, bez poznavanja njihovih točnih akustičkih svojstava. U rezultatima je moguće identificirati točne odjeljke broda koji ne zadovoljavaju korisnički definirane kriterije te identificirati udjele doprinosa buci pojedinih izvora kako bi se lakše provela sanacija problema.

6. ZAKONSKA REGULATIVA

Buka je danas postala globalni problem s kojim se već desetljećima intenzivno bave različita nacionalna i međunarodna regulatorna tijela pa tako i krovna udruga koja se bavi zdravljem ljudi, Svjetska zdravstvena organizacija WHO [27]. Kad je riječ o pomorskoj industriji, valja reći da najvažniju i najutjecajniju ulogu ima IMO. Prvi koraci prema redukciji buke na brodovima napravljeni su 70-ih godina prošlog stoljeća kad je na snagu stupila IMO Rezolucija A.343(IX) [28]. Obzirom na današnju regulativu, restrikcije su bile znatno blaže odnosno sve razine buke su dane kao preporuke za daljnje projekte, a ne kao dopuštene granice. Slijedila su zatim nova saznanja o štetnim utjecajima buke na posadu i putnike pa je IMO 1981. godine preciznije definirao metode mjerena i potrebne opreme Rezolucijom A.468(XII) [29]. Ovom rezolucijom, ulazi se mnogo detaljnije u problematiku buke na brodu, točno su definirane upute za provođenje potrebnih mjerena, granice buke po kategoriziranim prostorima na brodu, upute za dodatnu zaštitu od buke čepićima i slušalicama. Jasno je naglašeno kako propisane granice razina buke više nisu preporuke nego eksplicitni zahtjevi. Očekivano, ograničenje buke neće biti jednako za svaku lokaciju na brodu pa je u tu svrhu brodski prostor podijeljen u 5 kategorija:

- radni prostori,
- navigacijski prostori,
- uslužni prostori,
- prostori u kojima nije uobičajena prisutnost ljudi.
- prostori bez prisutnosti ljudi

Također, obaveza je svakog broda provesti ispitivanje buke, a izvješće mora biti u skladu s predloškom koji je definiran u Rezoluciji A.468(XII). Zanimljiva stavka iz ove rezolucije jesu preporuke za dodatnu zaštitu od buke ukoliko unatoč izolaciji i preventivnim mjerama nije moguće zadovoljiti propisane granice te dođe do predugog izlaganja štetnoj razini buke, ili nastane buka koja trenutačno oštećuje sluh. Slika 12 prikazuje graf koji definira okolnosti u kojima je potrebno koristiti zaštitu kao što su zaštitne slušalice ili čepići za uši. Vidi se da za razine buke do 75 dB, nije potrebna nikakva dodatna zaštita slušnog organa, dok se za veće razine intenziteta zvuka preporuča korištenje zaštite za uši i smanjuje se dopuštena vremenska izloženost buci. Ukoliko izloženost buci od 85 dB(A) traje manje od 8 sati, također nije potrebna zaštita. Kako frekvencija zvuka nije specificirana, ovaj se graf primjenjuje na svim frekvencijama.



Slika 12 Dopoljeno izlaganje buci prema [29]

Za sada konačnu verziju pravilnika o regulaciji buke ne brodu, IMO donosi 2014 Rezolucijom MSC.337(91) [5] pod nazivom „*Code on noise levels on board ships*“, ili poznatiju pod imenom „IMO Noise Code“. Dopuštene granice buke blago su pooštene u usporedbi s prethodnom rezolucijom. Tablica 3 prikazuje usporedbu propisanih zahtjeva posljednje dvije rezolucije. Izmjene se uglavnom tiču velikih brodova od 10 000 GT i više, i to posebice prostorija za smještaj putnika i posade. Obrazloženje za postavljanje strožih zahtjeva kod većih brodova je iz jednostavnog razloga što zbog veće prostranosti, postoji i veća udaljenost od glavnih izvora buke pa je moguće postići i niže razine buke u prostorima namijenjenima za boravak ljudi. Spuštanjem dopuštene granice za prostorije u kojima borave putnici i posada, limitira se štetno djelovanje na zdravlje ljudi te se istodobno pruža veći komfor za vrijeme plovidbe. Uz prethodno spomenutu podjelu brodskog prostora, može se vidjeti da Tablica 3 prikazuje i podjelu na podgrupe.

Tablica 3 Usporedba dopuštenih razina buke prema različitim rezolucijama

Prostori na brodu	IMO	MSC-337(91)	
	Veličina broda	Veličina broda	
	≥ 1600 GT	1600 do 10000 GT	≥ 10000 GT
Radni prostori			
Prostori sa strojevima (redovita prisutnost ljudi)	90	110	110
Prostori sa strojevima (neredovita prisutnost ljudi)	110		
Prostori za upravljanje strojevima	75	75	75
Radionice	85	85	85
Nedefinirani radni prostori	90	90	85
Navigacijski prostori			
Navigacijski most i prostorije s kartama	65	65	65
Slušne postaje, krila navigacijskog prostora	70	70	70
Radio sobe	60	60	60
Prostorije s radarima	65	65	65
Prostori za smještaj putnika i posade			
Kabine i bolničke prostorije	60	60	55
Kantine	65	65	60
Prostori za rekreaciju	65	65	60
Otvoreni rekreacijski prostori	75	75	75
Uredi	65	65	60
Uslužni prostori			
Kuhinja s opremom za obradu hrane koja nije u funkciji	75	75	75
Plohe za posluživanje hrane i ostave	75	75	75
Prostori u kojima nije uobičajena prisutnost ljudi			
Nedefinirani prostori	90	90	90

Osim navedenih rezolucija koje je donio IMO, postoji niz međunarodnih normi koje diktiraju regulativu u vezi akustike na brodu. U nastavku su nabrojene i ukratko objašnjene:

- ISO 226:2003, „*Normal equal-loudness-level contours*“ [12] – specificirane su kombinacije razine intenziteta zvuka i frekvencija koje rezultiraju jednakim razinama glasnoće, drugim riječima definirane su krivulje izofona kao što je prethodno prikazano na Slici 3. Tako definirane krivulje vrijede uz uvjete: u odsutnosti slušatelja, zvučno se polje sastoji od ravničkih progresivnih valova; izvor zvuka nalazi se ispred slušatelja; zvučni signali sastoje se od čistih tonova; razina zvučnog tlaka mjeri se u središtu glave slušatelja (bez njeove prisutnosti); slušanje je binauralno; slušatelji su otološki normalne osobe u dobi od 18 do 25 godina.
- ISO 20283-3:2006, „*Pre-installation vibratory noise measurement of shipboard equipment*“ [30] – odnosi se na putničke, trgovačke brodove, jahte i brze brodove. Norma definira zahtjeve i upute za provođenje testiranja vibracija uslijed rada brodske opreme prilikom tvorničkog ispitivanja opreme.
- ISO 354:2003, „*Measurement of sound absorption in reverberation room*“ [31] – opisuje metode mjerjenja koeficijenta apsorbkcije zvuka akustičkih materijala koji se koriste za tretiranje zidova i stropova.
- ISO 1999:2013, „*Acoustics – Estimation of noise-induced hearing loss*“ [32] – opisuje kombinacije razina buke i perioda izloženosti koji bi uzrokovali trajni gubitak slуха.
- ISO 2923:1996, „*Acoustics – Measurement of noise on board vessels*“ [33] – opisuje metode i uvjete za mjerjenje buke na brodovima.
- ISO 8000-8:2007, „*Quantities and units – Part 8: Acoustics*“ [34] – određuje nazive, simbole, mjerne jedinice i definicije veličina koje se koriste u akustici.
- IEC 61672-1:2013, „*Electroacoustics – Sound level meters – Part 1: Specifications*“ [35] – navodi specifikacije za elektroakustične radne karakteristike triju tipova mernih instrumenata za mjerjenje zvuka:

1. zvukomjeri za vremensko ponderiranje koji mjere eksponencijalne, vremenski i frekvencijski ponderirane razine zvuka,
2. integrirajući zvukomjeri koji mjere vremenski uprosječene, frekvencijski ponderirane razine zvuka,
3. integrirajući zvukomjeri koji mjere frekvencijski ponderirane vrijednosti izloženosti zvuku.

Svi navedeni propisi, upute, i savjeti predstavljaju nit vodilju klasifikacijskim društvima za postavljanje zahtjeva koji će doprinijeti redukciji buke i vibracija na brodu i ostvarenju ugodnije plovidbe za posadu i putnike. U nastavku je dan pregled propisa u vezi dopuštenih granica buke na brodu koje su propisala tri različita klasifikacijska društva: DNV, Lloyd's Register (LR), i Bureau Veritas (BV). Obzirom da su rezultati provedene analize uspoređeni s onima koje je za zadani brod ponudio DNV, najveći fokus usmjeren je na DNV-ove propise.

6.1. Det Norske Veritas

Det Norske Veritas (DNV) zajedno s Germanischer Lloyd-om (GL) prva su klasifikacijska društva koja implementiraju pravila u vezi regulacije buke i vibracija. U skladu s tom idejom, definiraju tzv. klase udobnosti. Cilj uvođenja notacije klase udobnosti (COMF) je osigurati sustavnu procjenu kvalitete života obzirom na buku, vibracije cijele strukture i unutarnju temperaturu za putnike i posadu na brodu [36]. Zahtjevi nad ta tri uvjeta podijeljeni su u tri klase od kojih je svakoj pridodana ocjena razine udobnosti (eng. *comfort rating number*, crn) brojkama od 1 do 3 gdje 1 označava najvišu razinu postignute ugodnosti, a 3 zadovoljavajuću. Kad je riječ o ostvarenju temperaturne ugode, ova klasifikacija vrijedi za sve brodove. S druge strane, za buku i vibracije ova se klasifikacija ne primjenjuje na jahte i vojne brodove koji imaju posebne označke kvalitete bez podjele u različite razrede kakvoće. Zahtjevi za klasu ugodnosti za buku i vibracije razine 3, i dalje su u granicama postavljenima U IMO Rezoluciji MSC.337(91). Oznake kvalitete obzirom na buku vibracije, i postignutu temperaturnu ugodnost za različite brodove prikazuje Tablica 4 prema [36].

Tablica 4 Oznake kvalitete za buku, vibracije i temperaturnu ugodnost prema DNV-u

Klasni zapis	Oznaka kvalitete	Svrha	Primjena
COMF	C-crn	Uvjeti kvalitete života obzirom na unutarnju temperaturu	Svi brodovi
	V-crn	Uvjeti kvalitete života obzirom na buku i vibracije	Svi brodovi osim jahti i vojnih brodova
	Y-S	Uvjeti kvalitete života obzirom na buku i vibracije	Jahte i superjahte
	Y-M	Uvjeti kvalitete života obzirom na buku i vibracije	Megajahte
	NAV	Uvjeti kvalitete života obzirom na buku i vibracije	Vojni brodovi

Nadalje, svaki brod mora imati evidentiranu dokumentaciju koja mora sadržati:

- plan uređenja – raspored smještajnih prostorija, njihova izolacija, pozicioniranje vrata,
- specifikacije – informacije o panelima i vratima na mjestu kabina,
- izvješće mjerjenja – rezultati laboratorijskih ispitivanja izolacijskih svojstava,
- plan pokusne vožnje – plan i upute za mjerjenje buke,
- izvješće pokusne vožnje – potrebne stavke izvješća.

Ukoliko su na brodu postignute različite klase udobnosti, ona najveća odnosno najnepovoljnija će determinirati ukupnu klasu udobnosti. Tablica 5 i Tablica 6 prikazuju dozvoljene razine buke za prostorije namijenjene za smještaj putnika i posade za slučaj smještaja posade, vrijednosti tablice odnose se samo na brodove veće od 10 000 GT. Tablica 7 prikazuje dozvoljene razine buke za nespecificirane prostorije.

Tablica 5 Prostor za smještaj putnika - dozvoljene razine buke

Lokacije	Ocjena razine udobnosti (crn)		
	1	2	3
	Dopuštena razina buke [dBA]		
Kabine za putnike, prva klasa	44	47	50
Kabine za putnike, standardne	49	52	55
Javni prostor	55	58	60
Otvorena paluba	65	68	70

Tablica 6 Prostor za smještaj posade – dozvoljene razine buke

Lokacije	Ocjena razine udobnosti (cm)		
	1	2	3
	Dopuštena razina buke [dBA]		
Most	60	60	65
Radio soba	55	55	60
Kabine za članove posade	50	53	55
Dijeljeni prostor posade	55	58	60
Bolnica	55	55	55
Uredi	55	58	60
Sobe za upravljanje strojevima	65	70	75
Otvoreni rekreacijski prostor	70	73	75
Radionice	85	85	85

Tablica 7 Nespecificirani prostor na brodu – dozvoljene razine buke

Vrsta prostora	Dopuštena razina buke u [dBA]
Prostor za spavanje	60
Prostor za visoke razine koncentracije	65
Prostor za opuštenu komunikaciju	70
Prostor gdje je moguća komunikacija uz povišenje glasa, ali bez rizika oštete sluha, niti potrebe za korištenjem zaštite za uši	85

6.2. Lloyds'd Register

Klasifikacijsko društvo Lloyd's Register utvrđuje kriterij za ocjenu buke i vibracija na brodovima koji se primjenjuje u sklopu Pravila i propisa za klasifikaciju brodova [37]. LR nudi dvije mogućnosti za definiranje zadovoljavajućih uvjeta na brodu glede buke i vibracija:

- klasni zapis – potvrđuje da su razine buke i vibracija na brodu u skladu s propisanim granicama te da je osigurano sustavno periodično ispitivanje buke i vibracija za vrijeme cijelog životnog vijeka broda,
- certifikat o sukladnosti – potvrđuje da su razine buke i vibracija u skladu s propisanim granicama.

Klasni zapis najčešće je primjenjen na putničkim brodovima te su definirane tri različite oznake:

- „Crew Accommodation Comfort“, CAC – kriterij za putnički smještaj,
- „Passenger Accommodation Comfort“ PAC – kriterij za smještaj posade,
- „Passenger and Crew Accommodation Comfort“, PCAC – kriterij za smještaj putnika i posade.

Uz oznake CAC i PAC dodijeljena je brojka od 1 do 3 koje iskazuju razinu prihvatljivosti buke i vibracija na brodu, gdje oznaka 1 ukazuje na postignutu najvišu razinu ugode, a oznaka 3 zadovoljavajuću. Uz oznaku PCAC dodjeljuju se dvije brojke od kojih prva upućuje na postignutu klasu za putnički smještaj, a druga za smještaj posade. Dopuštene razine buke na brodu dane su u Tablica 8 Tablici 8

Tablica 8 Dopuštene razine buke prema LR-u

Prostor	Dopuštena razina buke prema ocjeni ugodnosti			
	1	2	3	
Putničke kabine	obične	49	52	55
	prva klasa	45	47	50
Javni prostor	sve osim trgovina	55	58	62
	trgovine	60	62	65
Centar za medicinsku pomoć	50	55	60	
Kazalište	50	55	60	
Otvorena paluba	67	72	72	
Bazeni i sl.	70	75	75	

6.3. Bureau Veritas

Prema Rules for the Classification of Steel Ships [38], za kriterije buke uvedena je oznaka klase COOMF-NOISE koja se odnosi za pojedine kategorije brodova. Navedenoj oznaci pridodaje se brojka od 1 do 3 gdje 1 označava najvišu postignutu razinu ugodnosti, a 3 zadovoljavajuću. Moguća je podjela oznake klase ovisno o prostoru na koji se odnosi:

- COMF-NOISE Pax – postignuta ugodnost putnika,
- COMF-NOISE Crex – postignuta ugodnost posade.

U Tablici 9 prikazane su najveće dopuštene razine buke za pojedini prostor na brodu koje je definirao BV.

Tablica 9 Dopuštene razine buke na brodu prema BV-u

Prostori	Razine zvuka, dB(A)		
	1	2	3
Putničke kabine, prva klasa	45	47	50
Putničke kabine, obične	49	53	56
Restoran, kafići, prostorije tipa B	55	58	62
Trgovine, hodnici	60	63	65
Putnički prostor (tip A)	65	68	72
Putnički prostor (tip C)	53	56	59
Vanske instalacije	65	70	75
Kormilarnica	60	63	65
Radio soba	55	57	60
Kabine posade	52	55	60
Uredi	57	60	63
Javni prostori posade	57	60	63
Bolnica	55	57	60
Otvoreni prostor za rekreaciju posade	70	73	75
Kontrolna soba glavnog stroja	70	73	75
Kuhinja	70	73	76
Radionice	85	85	85
Stubište, prolazi	70	73	75

7. IZRADA MODELAA

Za izradu modelu korištena je tehnička dokumentacija istraživačkog broda koji je izgrađen kao gradnja NB487 u brodogradilištu Brodosplit d.d. U Prilogu 1 nalazi se sva korištena tehnička dokumentacija koju je u svrhu izrade ovog rada ustupilo brodogradilište Brodosplit d.d. Izrada modela započinje sa stvaranjem geometrijskog modela u „Topološkom“ načinu rada, a zatim se s gotovom geometrijom u načinu rada „Buka i vibracije“ objektu dodaju značajke modela bitne za prognozu buke na brodu.

7.1. Tehnički podaci analiziranog broda

Osnovne značajke analiziranog istraživačkog broda za kružna putovanja u polarnim uvjetima prikazuje Tablica 10.

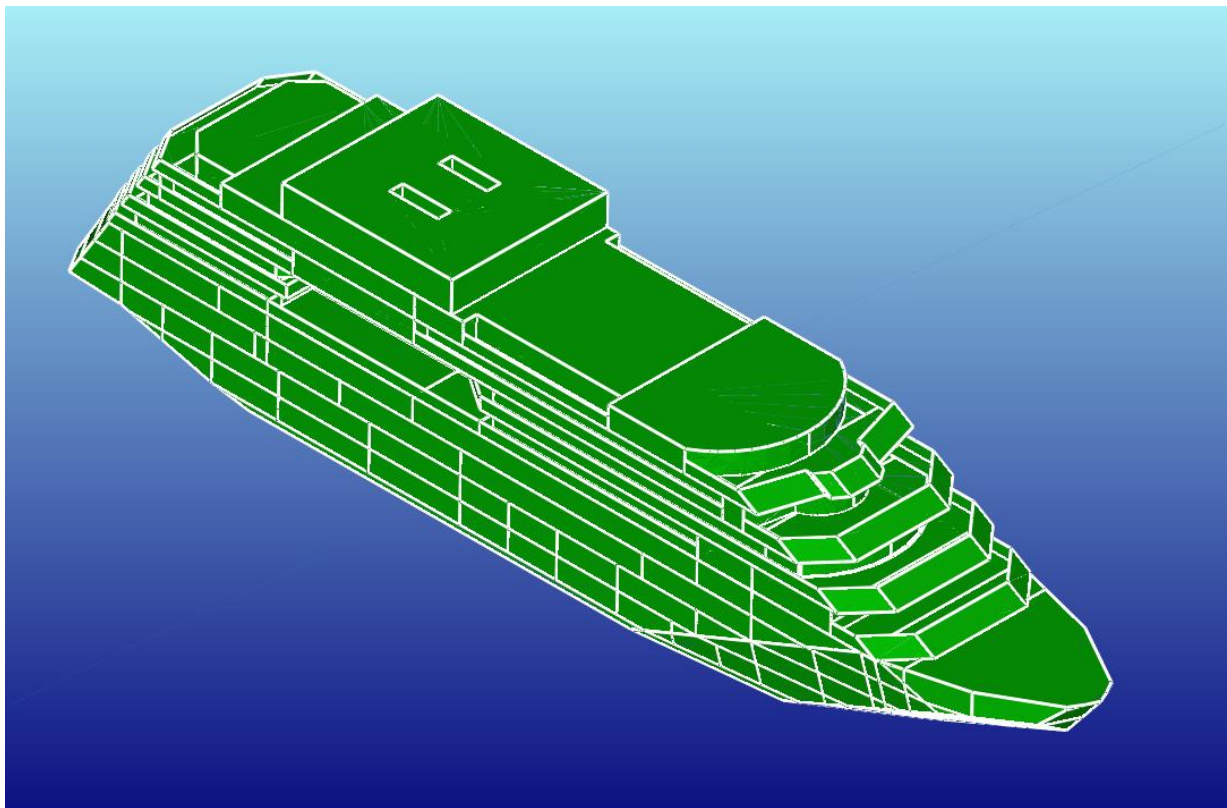
Tablica 10 Osnovne značajke analiziranoga broda

Duljina preko svega,	127,9	m
Duljina između okomice	115	m
Širina	21,5	m
Gaz maksimalni	5,25	m
Gaz projektni	5,1	m
Brzina	16	čv
Tonaža	13768	GT
Klasa	DNV GL	-
Kapacitet	200	br. putnika
Instalirana snaga	15162	kW

7.2. Izrada geometrijskog modela

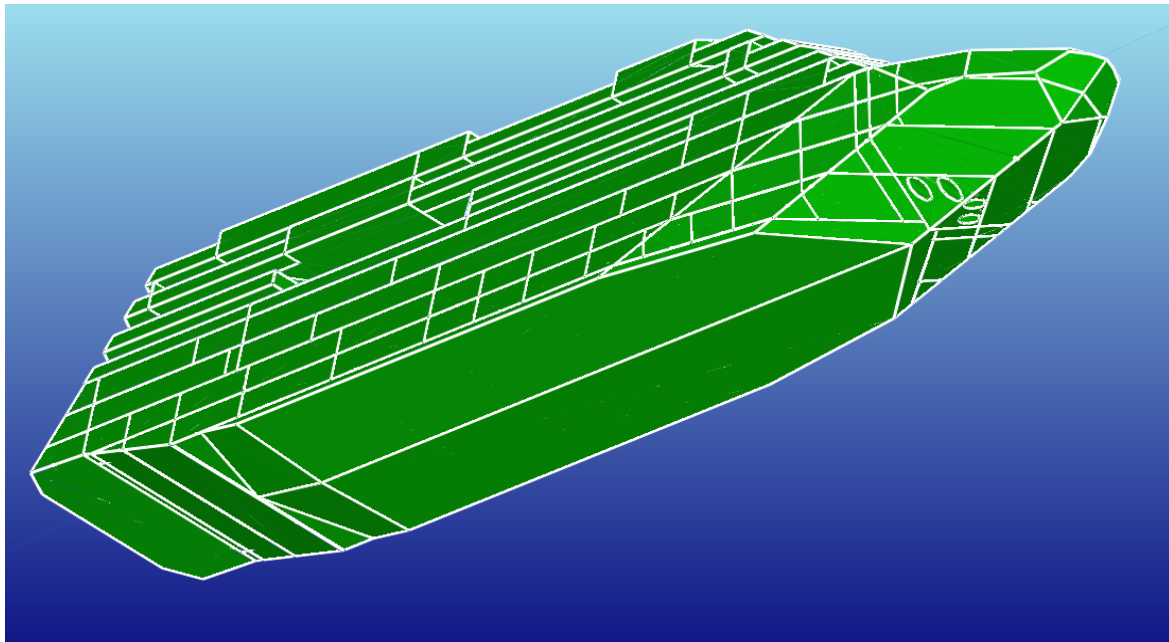
Za kreiranje modela broda potrebno je poznavati geometrijske strukturne informacije kao što su raspored paluba, poprečnih i uzdužnih pregrada, topološki izgled, razmak između okvira. Za razliku od uobičajenih alata koji omogućuju izradu trodimenzionalnog modela, u programskom paketu Designer-NOISE taj je proces krajnje pojednostavljen. Započinje sa dodavanjem jednostavnih geometrijskih oblika koji se zatim međusobno spajaju, izrezuju i oblikuju kako

bi se u konačnici dobila željena geometrija. Zatim se dodaju plohe kojima se model podijeli u odjeljke. U topološkom modelu se dakle, definiraju površine koje predstavljaju palube, pregrade i bočnu ljusku broda. Slika 13 prikazuje izrađen geometrijski model analiziranog broda u izometrijskom prikazu.

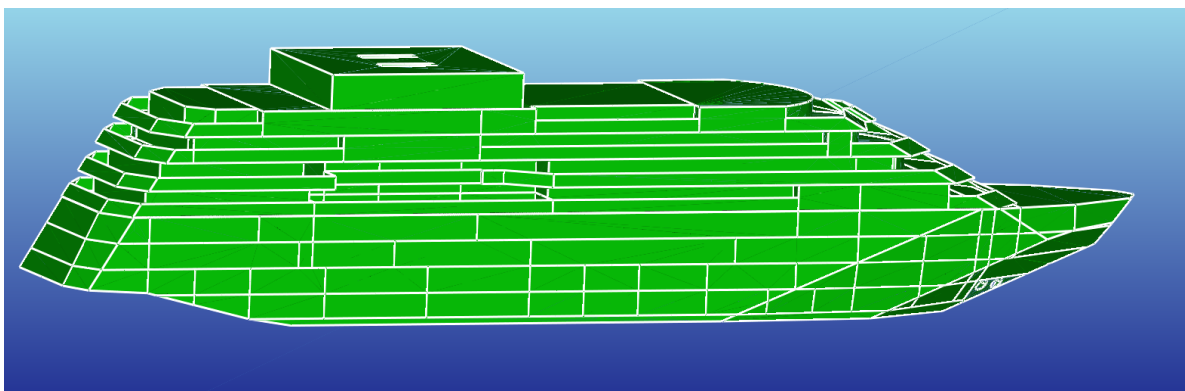


Slika 13 Aksonometrijski prikaz topološkog modela analiziranog broda

Za postizanje vjerodostojnih rezultata model je potrebno izraditi na način da između pojedinog izvora i točke mjerjenja buke budu sadržani svi odjeljci kojima buka putuje do referentne točke. Stoga, detalji forme trupa nemaju utjecaj na akustička svojstva brodske konstrukcije pa time i konačne rezultate. Uvezviš to u obzir, topologija trupa je blago pojednostavljena te su pri izradi zanemareni pramčani bulb i kormilo. Slika 14 prikazuje pogled od dolje iz kojeg se jasno vidi forma brodskog trupa, a odmah u nastavku slijedi Slika 15 koja prikazuje bočni pogled brodskog modela. Slika 18 daje uvid u unutarnju konstrukciju izrađenog modela na kojoj se mogu prepoznati palube kao horizontalne pregrade, poprečne pregrade raspodijeljene po svakoj palubi te vertikalni prolazi namijenjeni za lift i sustav ispuha dimnih plinova. Dva poprečna presjeka na Slici 17 detaljnije prikazuju unutarnju konstrukciju modela.



Slika 14 Prikaz brodskog trupa



Slika 15 Bočni prikaz modela

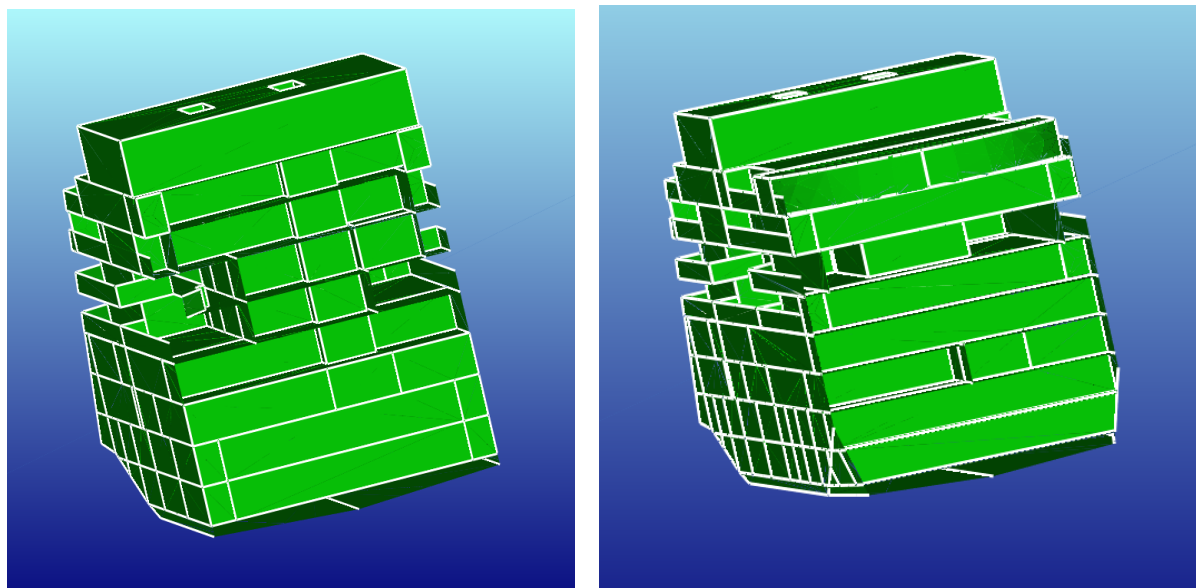
7.3. Akustičke značajke modela

Imajući gotov geometrijski model prikazan kao jedan objekt, prelazi se u način rada „Buka i vibracije“, gdje se za početak definiraju karakteristike i svojstva limova. Dimenzije čeličnih limenih panela za izradu modela iznose $2 \times 0,6$ m, a debljine variraju od 5 mm na gornjim palubama sve do 20 mm na pramčanom piku. Također, potrebno je definirati je li ostvaren kontakt s vodom za pojedini element. Kontakt s vodom se smatra ostvaren ukoliko je barem 50% površine u kontaktu s vodom. Budući da maksimalni gaz iznosi 5,25 m i uzevši u obzir moguće valove i zapljuškivanja prepostavljen je kontakt s vodom sve do druge palube na visini

od 7 m od osnovice. Slika 16 prikazuje odabrane parametre za izradu akustičkog modela koja se primjenjuju na cjelokupni model. Nakon zadavanja svojstava za cjelokupni model, moguće je svakom elementu zasebno izmijeniti određene parametre. Na taj su način definirane različite debljine paluba, oplate i pregrada te elementi koji su u dodiru s vodom.

Identity	
BlockId	1
Name	istrazivacki brod
ProjectId	1
VariantId	3
Property	
PanelLength	2.000 m
PanelWidth	0.600 m
StructuralMaterialType	Steel
Thickness	8.0 mm
WaterContact	Dry

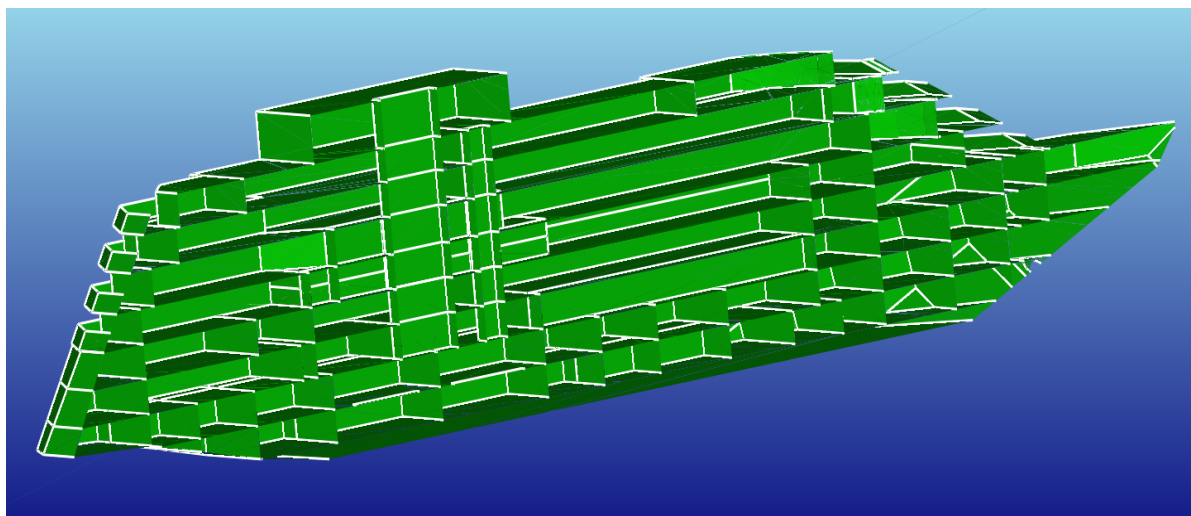
Slika 16 Svojstva panela



Slika 17 Poprečni presjeci modela na $x = 48$ m (lijevo) i $x = 88,8$ m (desno)

Prvih set parametara na Slici 16 je identifikacijske prirode i kao takvi ne utječu na ishod rezultata. Materijali korišteni za izradu broda su čelici AH-36 i NV-A, no za potrebe izrade modela dovoljno je odabratи čelik kao vrstu materijala. Stvoreni akustički model sastavljen je od 668 elemenata koji tvore 95 odjeljaka. Za svaki odjeljak moguće je odrediti:

- vrstu odjeljka – strojarnica, ured, salon i sl.,
- je li odjeljak točka interesa u pogledu razine buke,
- kriterij na razinu buke.



Slika 18 Prikaz unutarnje strukture modeliranog broda

7.4. Izvori buke

7.4.1. Glavni motori

Glavni stroj postavljen je na pokrov dvodna odnosno palubu 0 i sastoji se od dva električna motora snaga 2956 kW od kojih svaki pokreće jedan propulzor. Električna propulzija ne generira veliku razinu buke poput motora s unutarnjim izgaranjem ali svakako nije zanemariva. Za modeliranje motora kao izvora buke potreban je unos sljedećih podataka:

- položaj izvora,
- dimenzije izvora i temelja,
- način temeljenja,
- uprosječene razine zvučnog tlaka po oktavama, izmjerene blizu izvora (u ovom slučaju na udaljenosti 1 m od izvora),
- uprosječene razine vibracija po oktavama, ispod ili iznad temelja.

Slika 19 prikazuje potrebne parametare za modeliranje električnog motora. Uprosječene razine zvučnog tlaka po oktavama preuzete su iz DNV-ovog izvještaja analize buke za isti brod koji su izmjerene za zadani izvor pri 80% nazivne snage.

Identity	
Name	
Source ID	2
Base Element ID	4
Compartment ID	1
Is Active?	True
Source Type	Machinery
Library Source	None
Parameters - Coordinate System	
Foundation Origin	{ 20.900 , -6.850 , 1.350 } m
Local X-axis	{ 0.000 , 0.000 , 1.000 } m
Local Z-Axis	{ -1.000 , 0.000 , 0.000 } m
Rotation Angle	0.0
Parameters - Noise	
Source Length	2.230 m
Source Width	2.395 m
Source Height	2.435 m
Source R	1.000 m
Source Noise Levels	75,76,73,70,68,65,61,56,52
Airborne Source Offset	{ 0.0 , 0.0 , 0.0 } mm
Parameters - Vibration	
Mass	9.100 tonne
Source Vibration Levels	75,76,73,70,68,65,61,56,52
Foundation Length	2.230 m
Foundation Width	2.395 m
Foundation R0	2.435 m
Source Data Type	AboveMount
Mounting Type	Hard
Source Element	
Type of Base Element	StandardDeck
Large Panel Length	4.000 m
Large Panel Width	3.000 m
Stiffener Moment of Inertia	4000.0 cm^4

Slika 19 Ulazni podaci pogonskih motora kao izvora buke

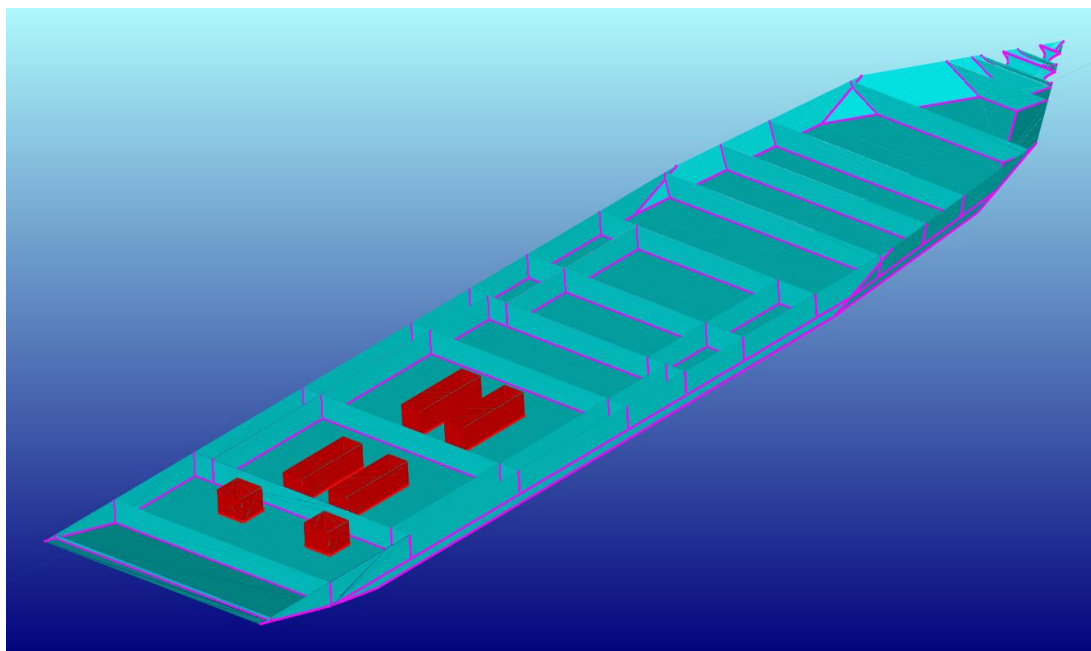
7.4.2. Dizel-generatori

Za pokrivanje električnih potreba na brodu instalirana su 4 dizel-generatora. Nalaze se kao i uobičajeno, u stražnjem djelu broda, također na pokrovu dvodna. Dva su generatora snage 2560 kW, dok druga dva imaju nešto manju snagu od 2065 kW. Zahtijevani ulazni podaci za modeliranje izvora potpuno su identični kao i za električne motore, a njihove vrijednosti mogu se očitati na Slici 20. Uprosječeni zvučni tlak po oktavama također je preuzet iz DNV-ovog izvješća analize buke.

Identity	
Name	gemset3
Source ID	9
Base Element ID	10
Compartment ID	-1
Is Active?	True
Source Type	Machinery
Library Source	None
Parameters - Coordinate System	
Foundation Origin	{ 39.600 ,1.150 ,1.350 } m
Local X-axis	{ 1.000 ,0.000 ,0.000 } m
Local Z-Axis	{ 0.000 ,1.000 ,0.000 } m
Rotation Angle	0.0
Parameters - Noise	
Source Length	6.667 m
Source Width	1.850 m
Source Height	2.962 m
Source R	1.000 m
Source Noise Levels	77,76,77,77,72,66,60,58,50
Airborne Source Offset	{ 0.0 ,0.0 ,0.0 } mm
Parameters - Vibration	
Source Vibration Levels	77,76,77,77,72,66,60,58,50
Foundation Length	6.667 m
Foundation Width	1.850 m
Foundation R0	1.000 m
Source Data Type	AboveMount
Mounting Type	Resilient
Isolation Mount	None
Source Element	
Large Panel Length	6.000 m
Large Panel Width	3.000 m
Stiffener Moment of Inertia	4000.0 cm^4

Slika 20 Ulazni podaci dizel-generatora kao izvora buke

Glavni motori i dizel generatori nalaze se u neposrednoj blizini na palubi 0, njihovo pozicioniranje vidi se iz horizontalnog presjeka broda kao što prikazuje Slika 21.



Slika 21 Pozicioniranje električnih motora i dizel-generatora na palubi 0

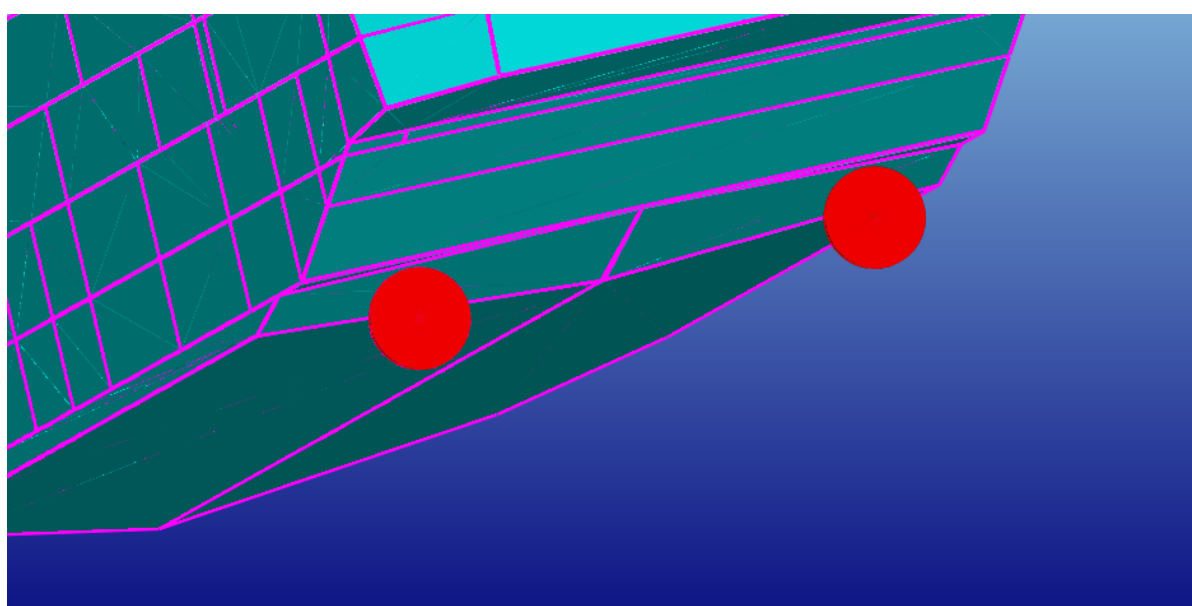
7.4.3. Propulzori

Propulzija broda je ostvarena s dva brodska vijka od kojih je svaki pogonjen zasebnim električnim motorom. Najveća snaga koju može ostvariti pojedini vijak iznosi 3000 kW, a najveća brzina vrtnje je 170 o/min. Za izradu modela brodskog vijka potrebni su sljedeći podaci:

- brzina broda,
- promjer vijka,
- udaljenost brodskog vijka od oplate,
- broj okretaja vijka po minuti,
- broj lopatica,
- kavitacijska brzina.

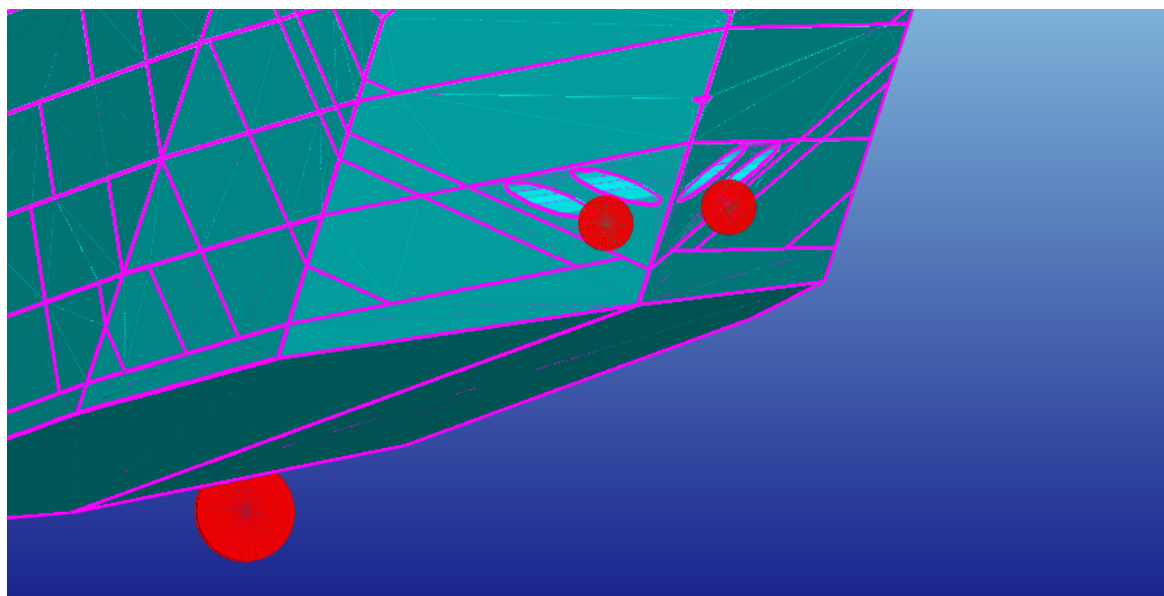
Identity	
Name	
Source ID	8
Base Element ID	88
Compartment ID	10
Is Active?	True
Source Type	Propeller
Library Source	None
Parameters - Propeller	
Ship Speed	8.76 m/s
Prop Diameter	3.200 m
Prop Tip Clearance	400.0 mm
Prop RPM	166
Cavitation Inception Speed	4.00 m/s
No. Propeller Blades	5

Slika 22 Ulagani podaci brodskog vijka kao izvora buke



Slika 23 Pozicioniranje brodskih vijaka na modelu

Dva pramčana potisnika smještena su u pramčanom piku. Njihovo pozicioniranje na modelu prikazuje Slika 24, a ulazni podaci su vidljivi na Slici 25.



Slika 24 Pozicioniranje pramčanih potisnika na modelu

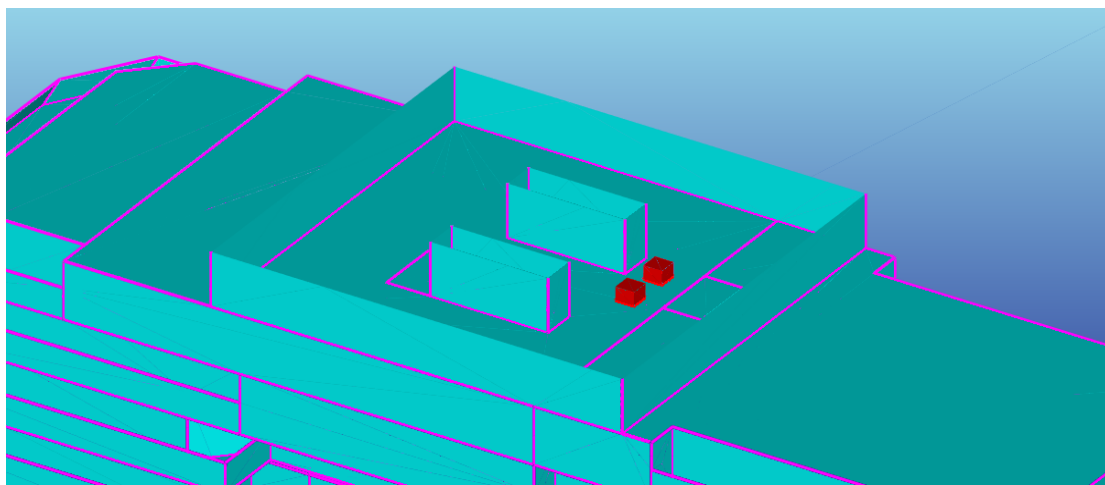
Name	pramčani potisnik1
Source ID	8
Base Element ID	434
Compartment ID	46
Is Active?	True
Source Type	Propeller
Library Source	None
Parameters - Propeller	
Ship Speed	8.75 m/s
Prop Diameter	1.650 m
Prop Tip Clearance	50.0 mm
Prop RPM	369
Cavitation Inception Speed	7.00 m/s
No. Propeller Blades	4

Slika 25 Ulazni podaci pramčanog potisnika kao izvora buke

7.4.4. HVAC sustav

Od sustava za ventilaciju grijanje i hlađenje dostupni su podaci o usisnom i ispušnom ventilatoru koji su smješteni na palubi 8 kojoj putnici nemaju pristup. Ovaj će izvor najveći utjecaj imati na otvorene prostore na palubi 7 zato što se nalazi u neposrednoj blizini. Slika 26

prikazuje pozicioniranje ventilatora na modelu, a potrebni podaci za unos ponovno su identični onima za električne motore i njihove vrijednosti prikazane su na Slici 27.



Slika 26 Smještaj usisnog i ispušnog ventilatora

Identity	
Name	vent-usis
Source ID	3
Base Element ID	343
Compartment ID	23
Is Active?	True
Source Type	Machinery
Library Source	None
Parameters - Coordinate System	
Foundation Origin	{ 40.000 ,2.400 ,24.500 } m
Local X-axis	{ 1.000 ,0.000 ,0.000 } m
Local Z-Axis	{ 0.000 ,0.000 ,1.000 } m
Rotation Angle	0.0
Parameters - Noise	
Source Length	1.000 m
Source Width	1.000 m
Source Height	0.700 m
Source R	1.000 m
Source Noise Levels	0.100,98,104,105,103,100,95,0
Airborne Source Offset	{ 0.0 ,0.0 ,0.0 } mm
Parameters - Vibration	
Mass	1.000 tonne
Source Vibration Levels	0.100,98,104,105,103,100,95,0
Foundation Length	1.000 m
Foundation Width	1.000 m
Foundation R0	1.000 m
Source Data Type	AboveMount
Mounting Type	Hard
Source Element	
Type of Base Element	StandardDeck
Large Panel Length	3.000 m
Large Panel Width	2.000 m
Stiffener Moment of Inertia	4000.0 cm^4

Slika 27 Ulazni podaci ventilatora na usisu kao izvora buke

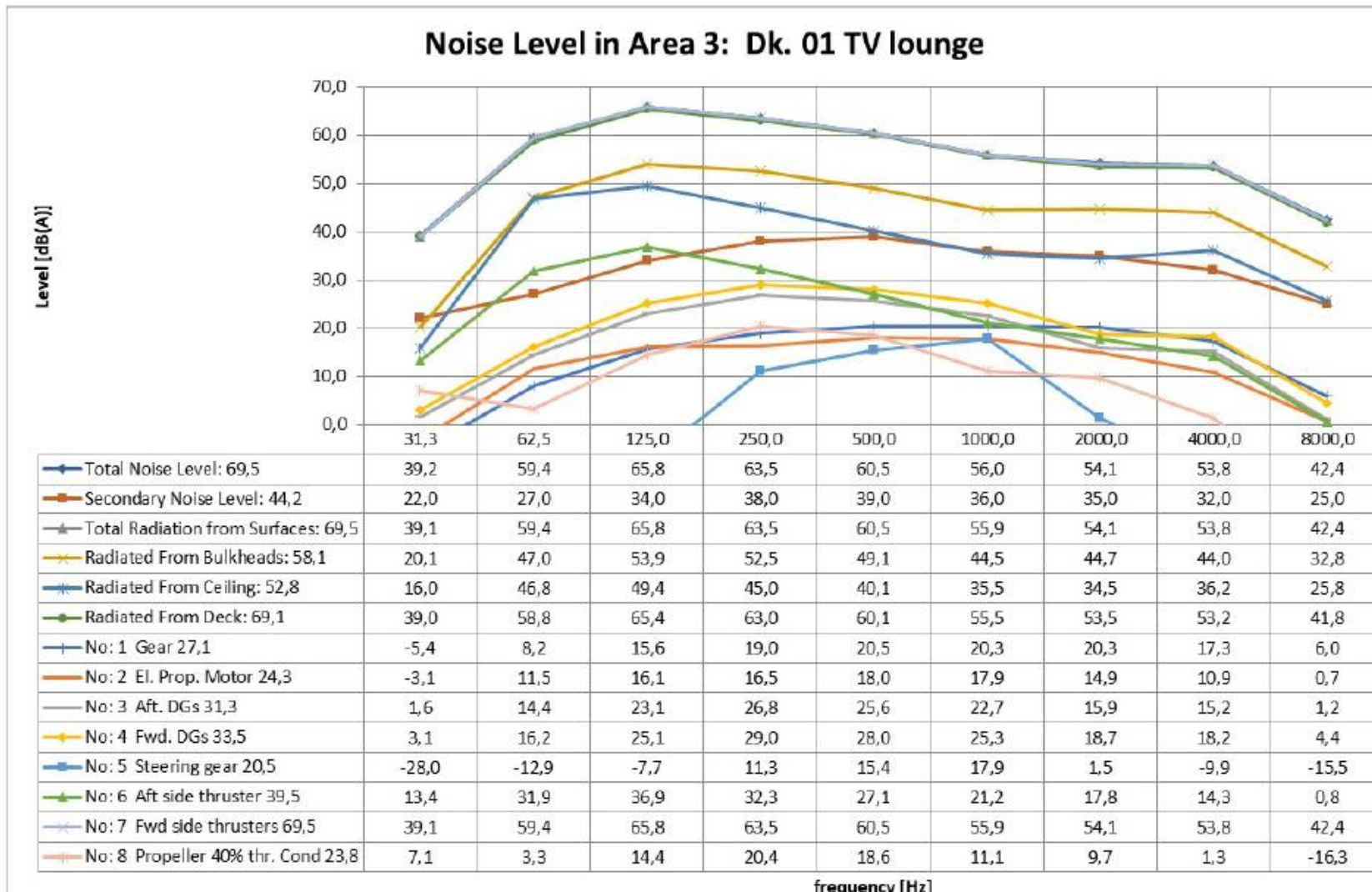
8. REZULTATI

Nakon definiranog akustičkog modela, što podrazumijeva akustička svojstva konstrukcije, raspored i svojstva izvora buke, raspored izolacije te označavanje odjeljaka koji su predmet interesa, programski paket Designer-NOISE korištenjem hibridne statističke analize energije generira razine zvučnog tlaka u dBA po oktavama za sve označene odjeljke. Dobiveni rezultati uspoređeni su s analizom buke koju je proveo DNV te koju je također ustupio Brodosplit u svrhu izrade ovog rada. DNV-ovi rezultati dobiveni su korištenjem vlastitog programa za predikciju razina buke „Noise Prediction Program NV590 Millenium“ koji se temelji na metodi prijenosne matrice. U nastavku slijede naizmjenice prikazani grafovi s rezultatima koje je iznio DNV, a zatim oni dobiveni provedenom analizom u ovom radu, i to za proizvoljno odabranu jednu prostoriju sa svake palube namijenjenu za boravak putnika ili posade kao što je navedeno u Tablici 11.

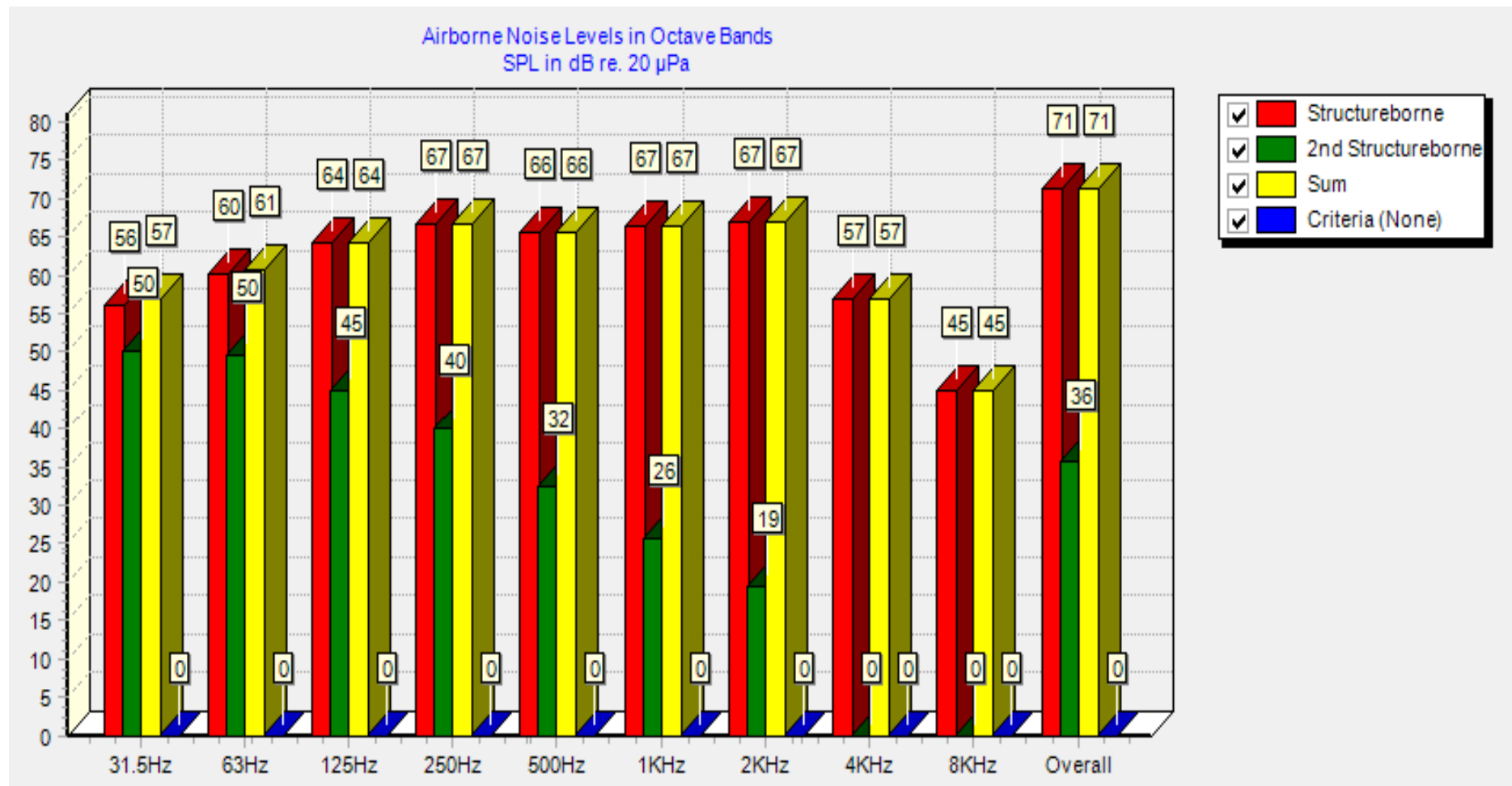
Tablica 11 Usporedba rezultata razina buke

Prostor	DNV	Designer-NOISE	Propisana granica
Paluba 1 tv salon	69,5	71	85
Paluba 2 prostorija za pripremu putnika	67	71	58
Paluba 3 putničke kabine	52,9	59	52
Paluba 4 kabine za osobe s posebnim potrebama	63,2	64	52
Paluba 5 kabine časnika	59,2	56	52
Paluba 6 putničke kabine	49,8	45	52
Paluba 7 panoramski salon	48,2	37	58

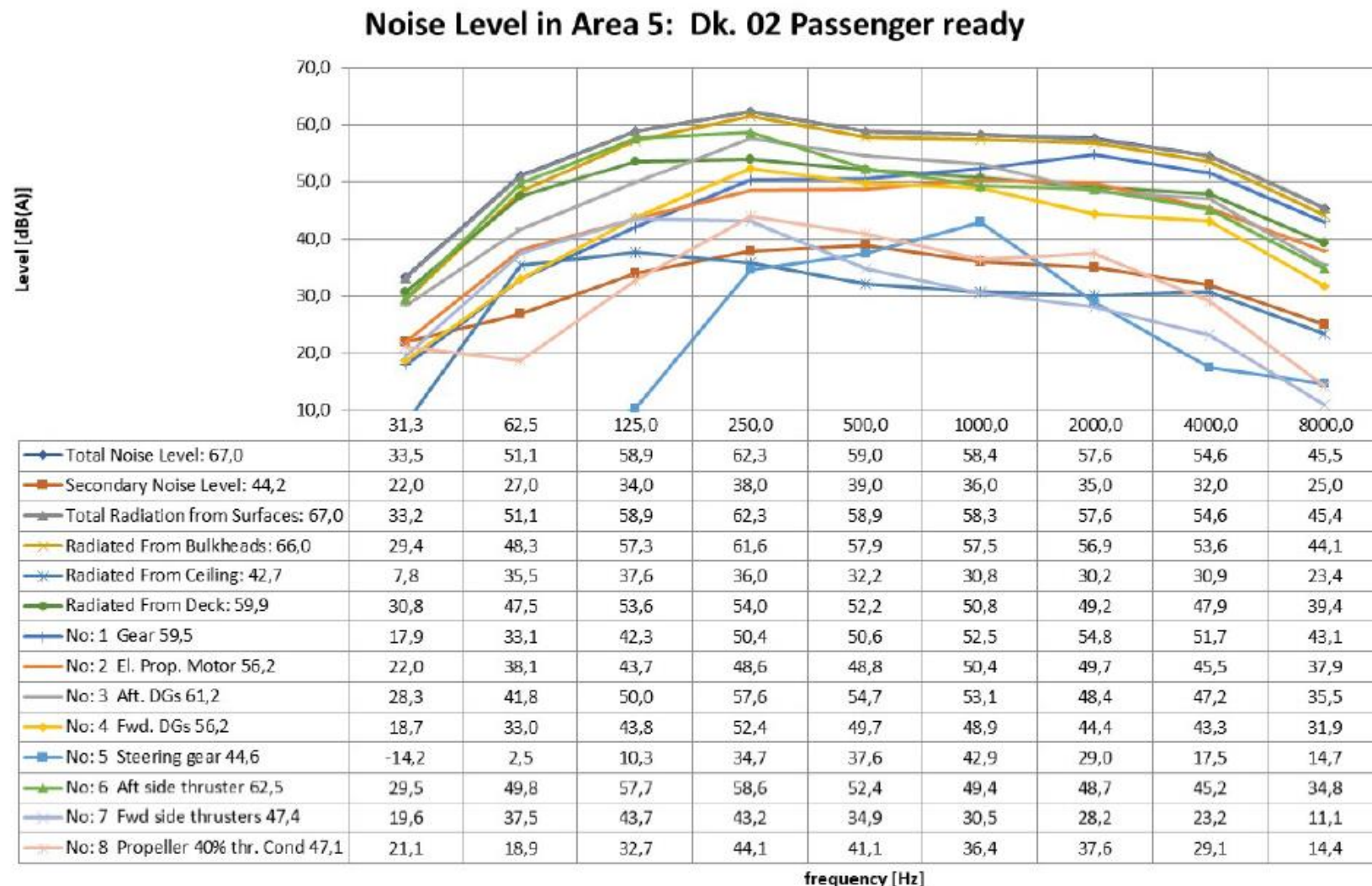
Odstupanja dobivenih rezultata od vrijednosti koje je prognozirao DNV iznose najviše 12%. Velika razlika u rezultatima na palubi 7 je ostvarena djelomično zbog nepoznavanja parametara izvora buke za ispuh dimnih plinova, zbog čega izvor nije ni modeliran. Palube 2, 3, 4 i 5 ne zadovoljavaju kriterije za klasu udobnosti C2 te je potrebno ukloniti višak generirane buke. Uz izuzetak palube 3, prekoračenja granica nisu velika te bi dodatna izolacija pregrada mogla biti dovoljna, dok bi kod palube 3 bilo poželjno postavljanje plutajućeg poda s izolacijskim materijalom kao npr. mineralna vuna.



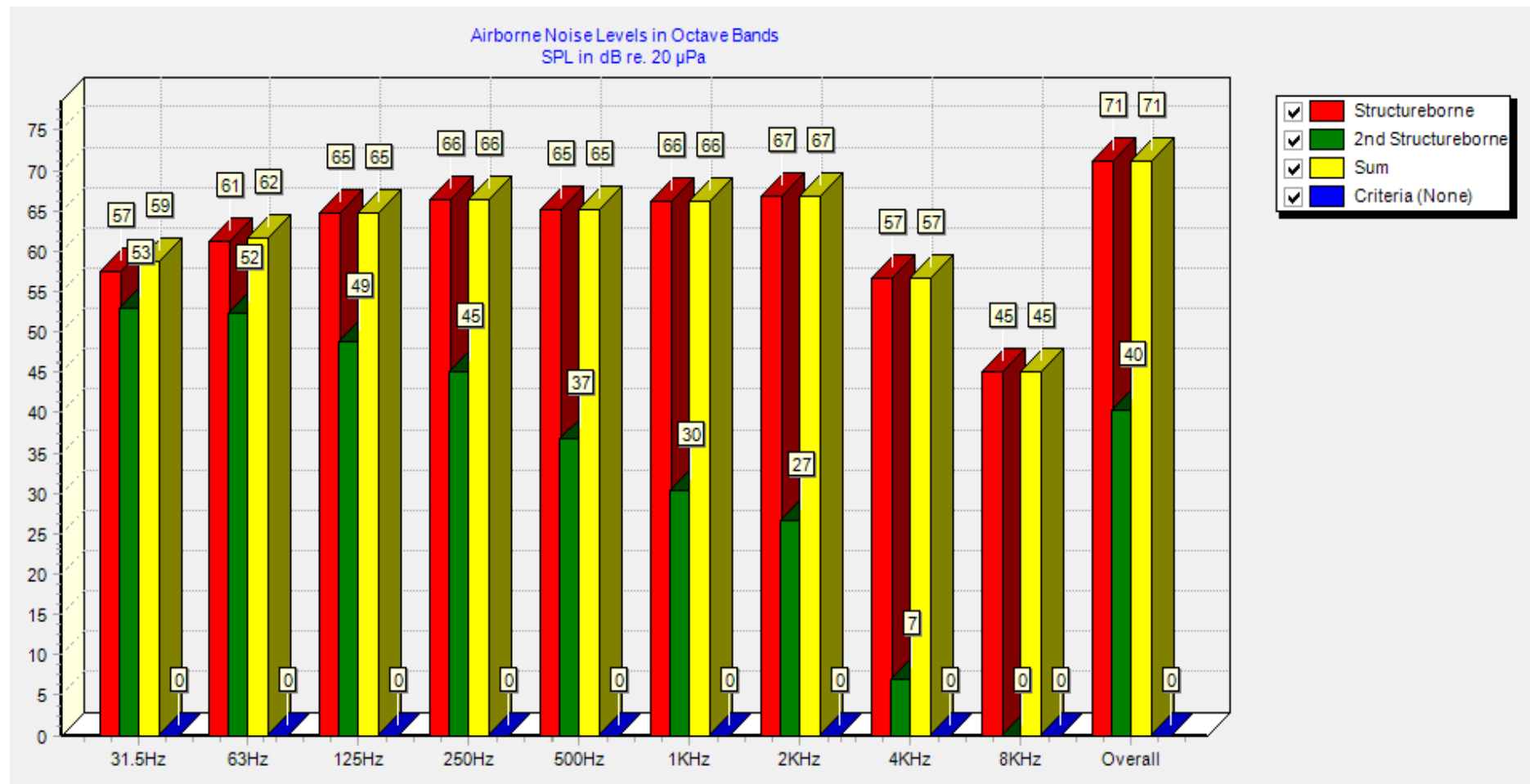
Slika 28 Razine buke u tv salonu prema DNV-u



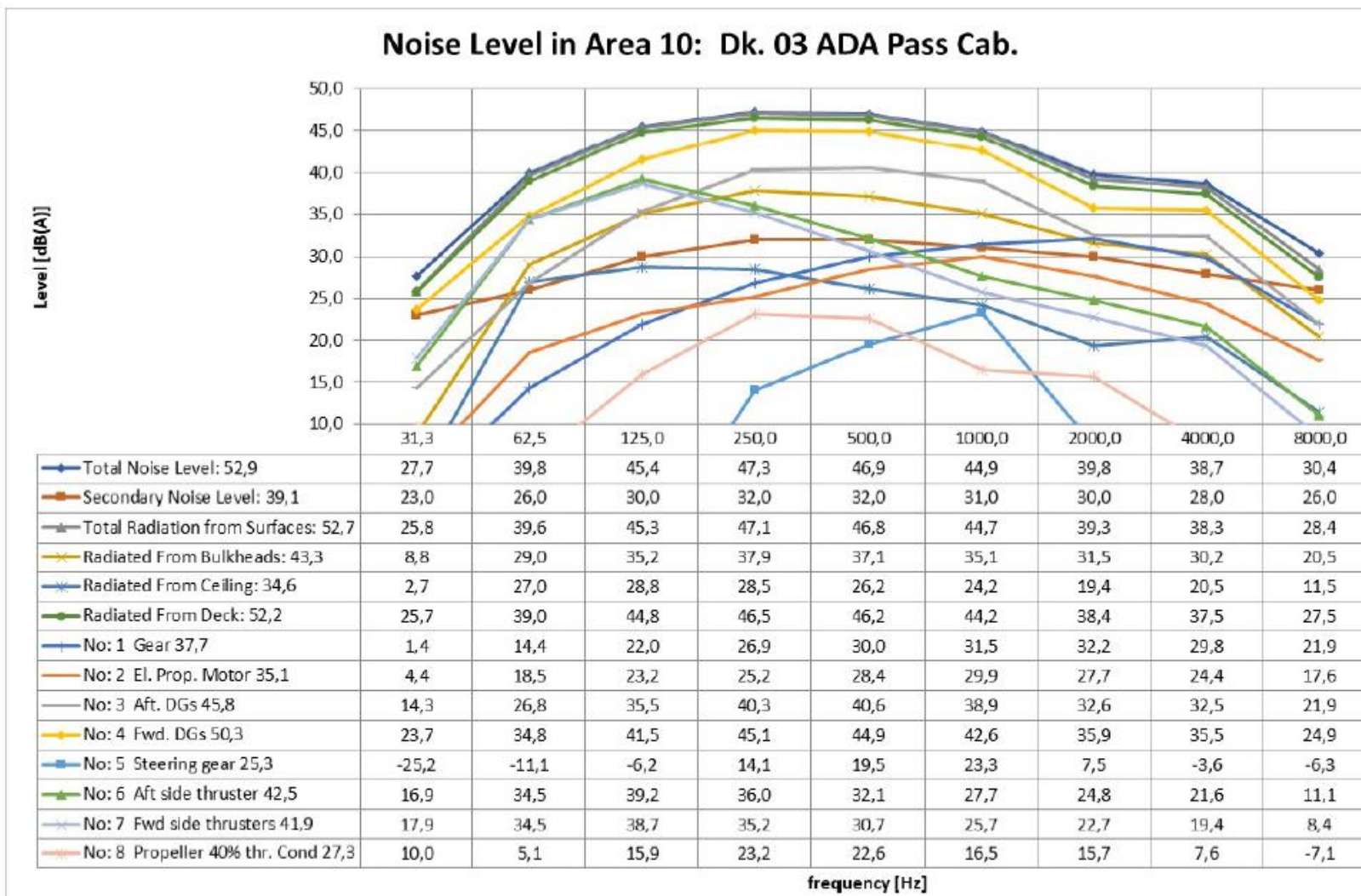
Slika 29 Razine buke u tv salonu izračunate u Designer NOISE-u



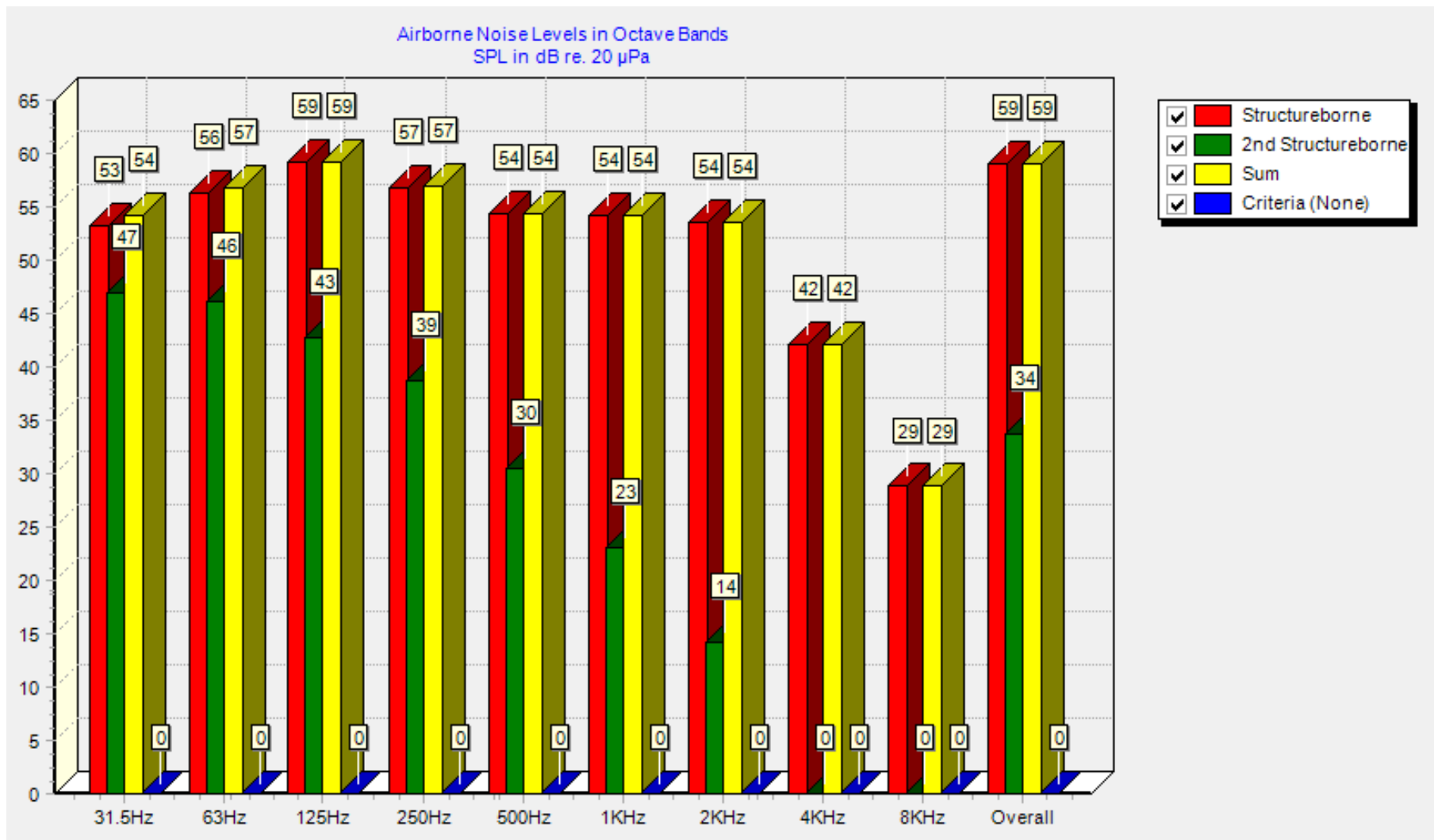
Slika 30 Razine buke u prostoriji za pripremu putnika za ekspedicije prema DNV-u



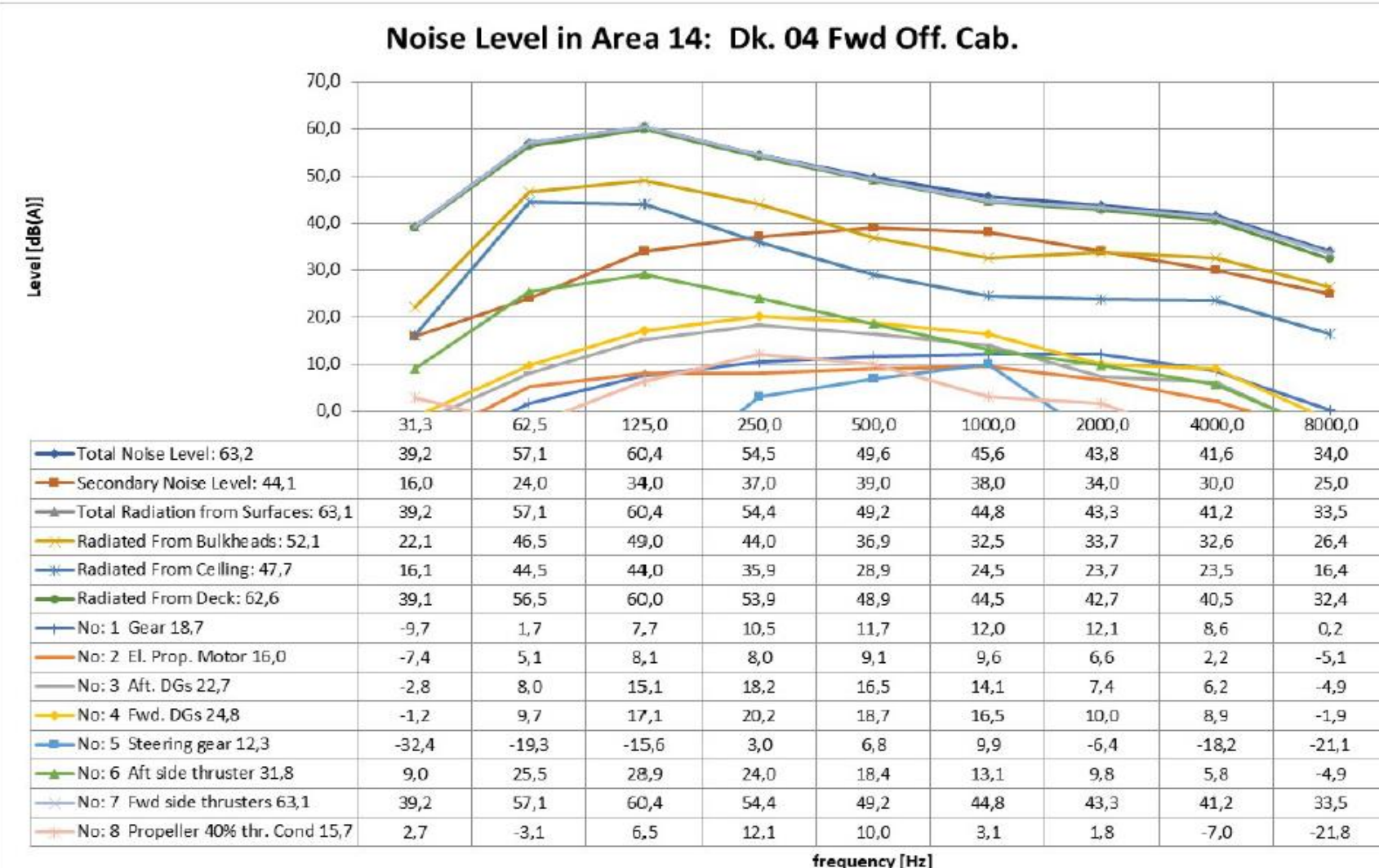
Slika 31 Razine buke u prostoriji za pripremu putnika za ekspedicije izračunate u Designer NOISE-u



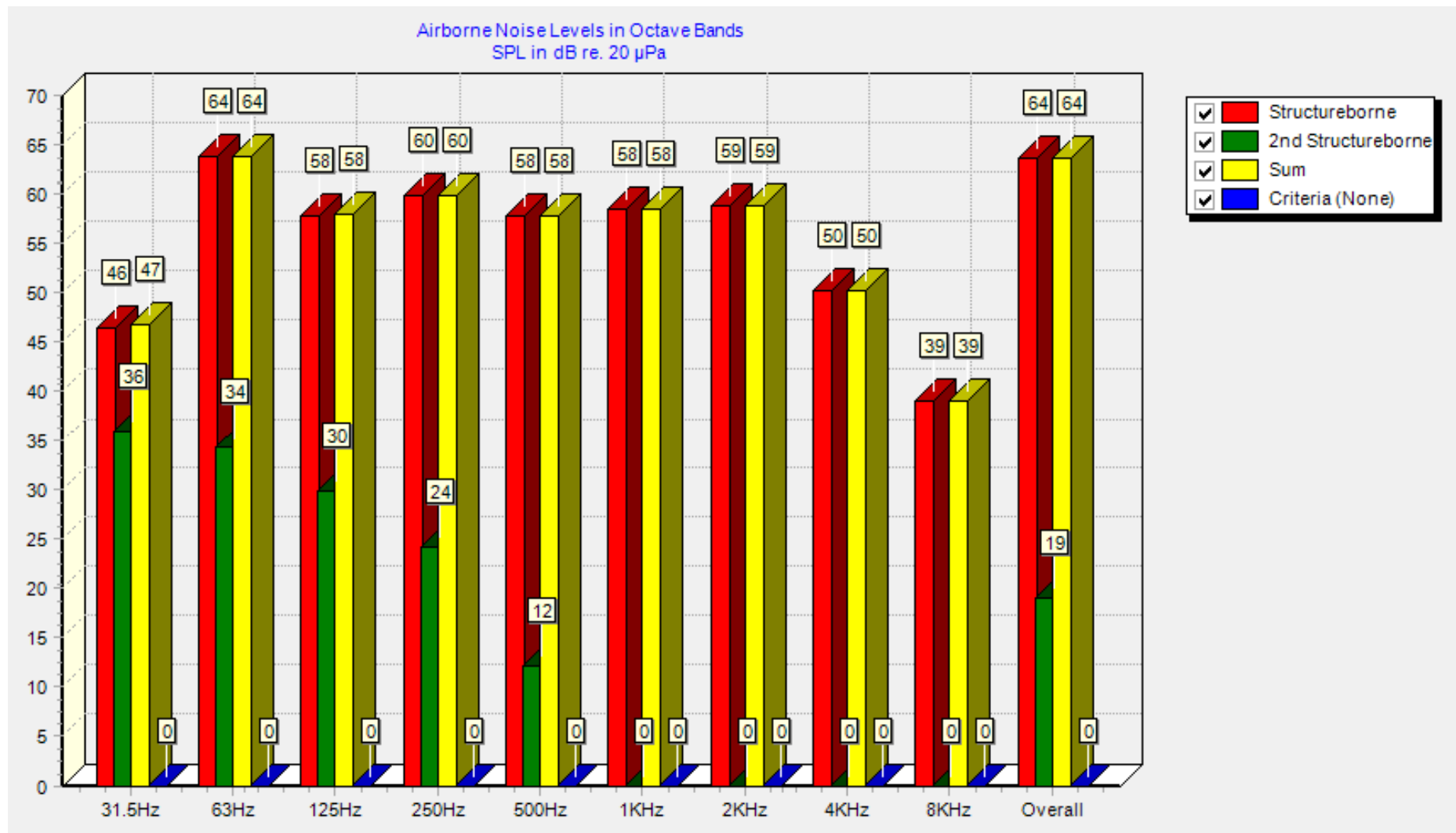
Slika 32 Razine buke u kabinama za osobe s posebnim potrebama prema DNV-u



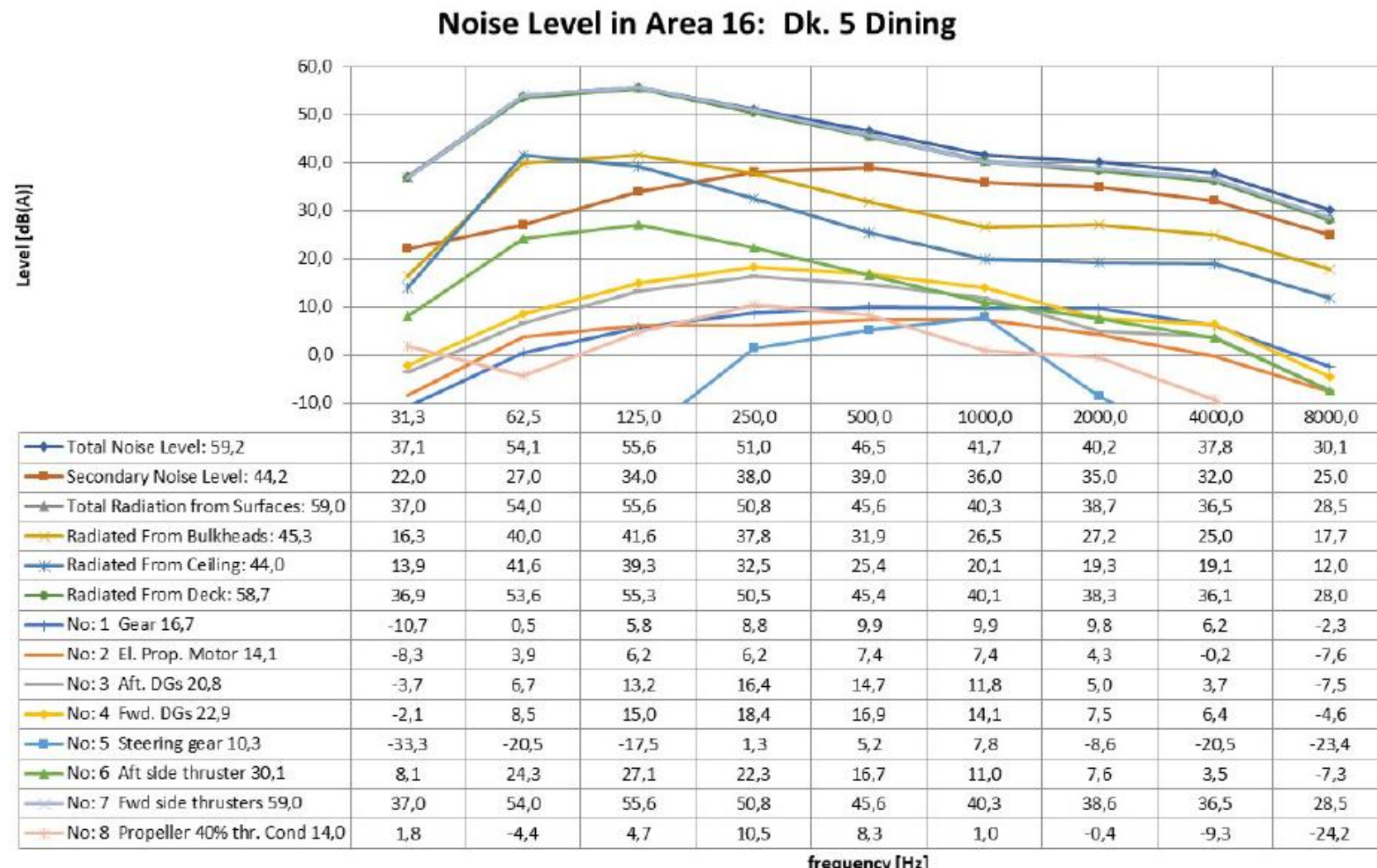
Slika 33 Razine buke u kabinama za osobe s posebnim potrebama izračunate u Designer-NOISE-u



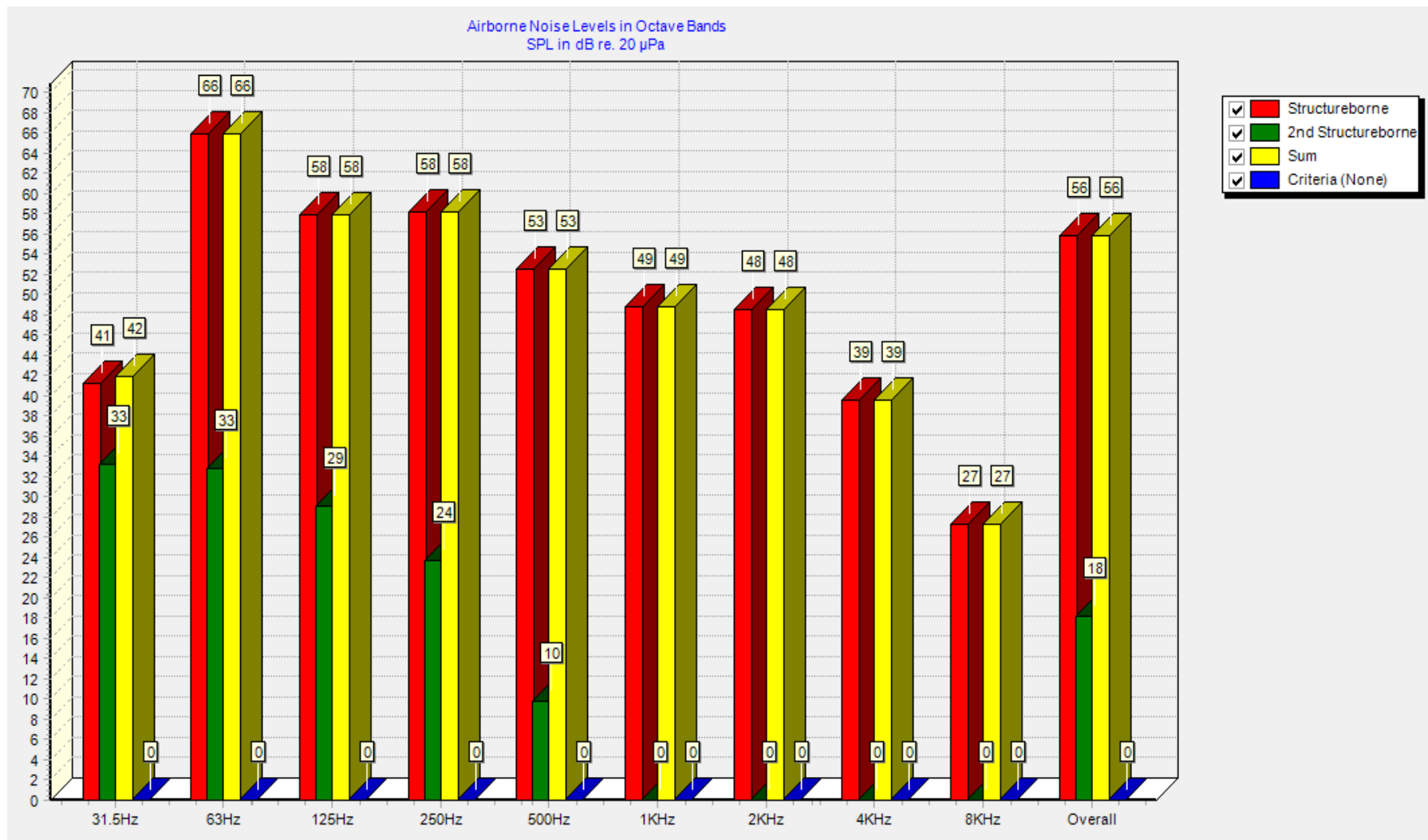
Slika 34 Razine buke u kabinama časnika prema DNV-u



Slika 35 Razine buke u kabinama časnika izračunate u Designer-NOISE-u

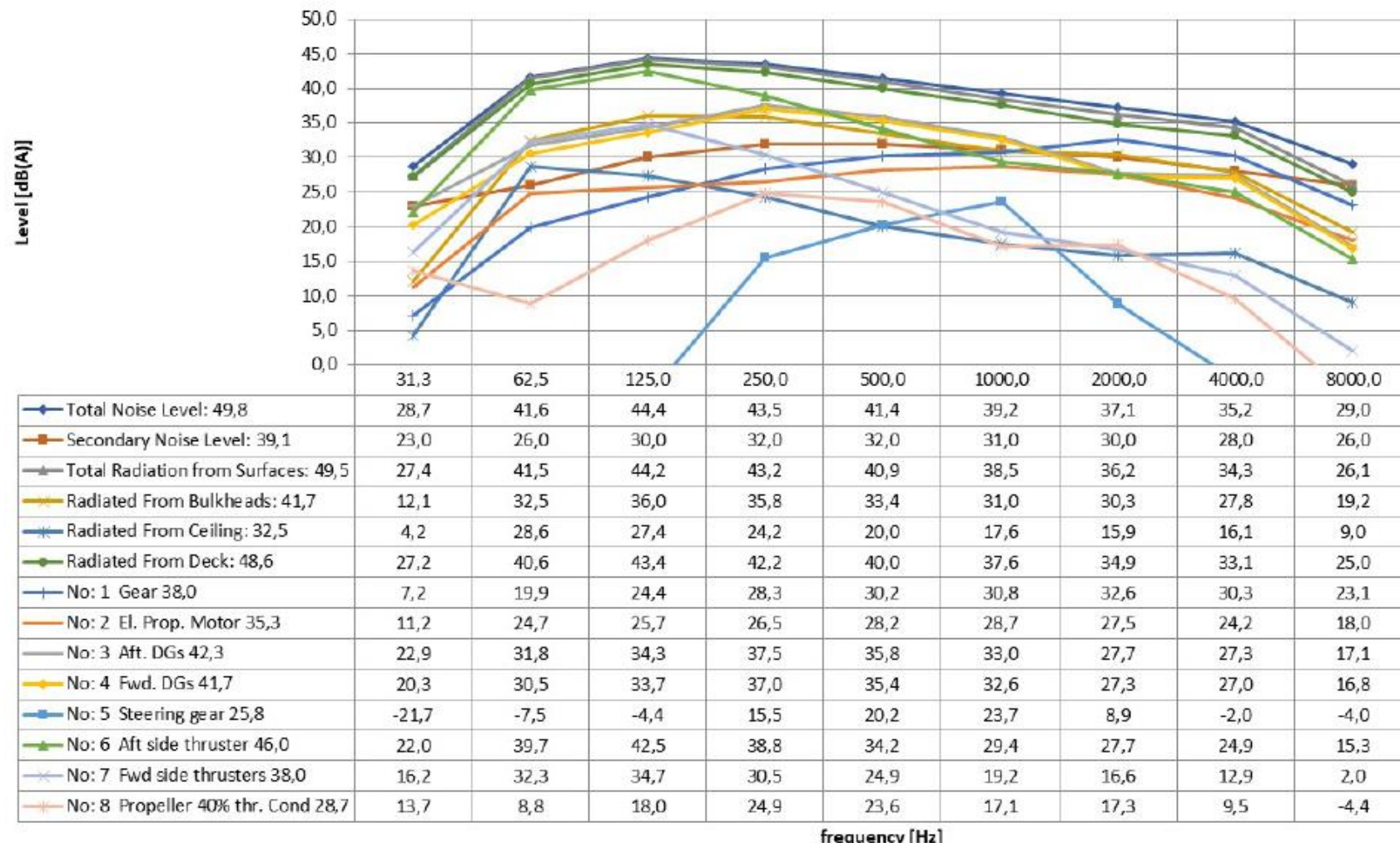


Slika 36 Razine buke u restoranu prema DNV-u

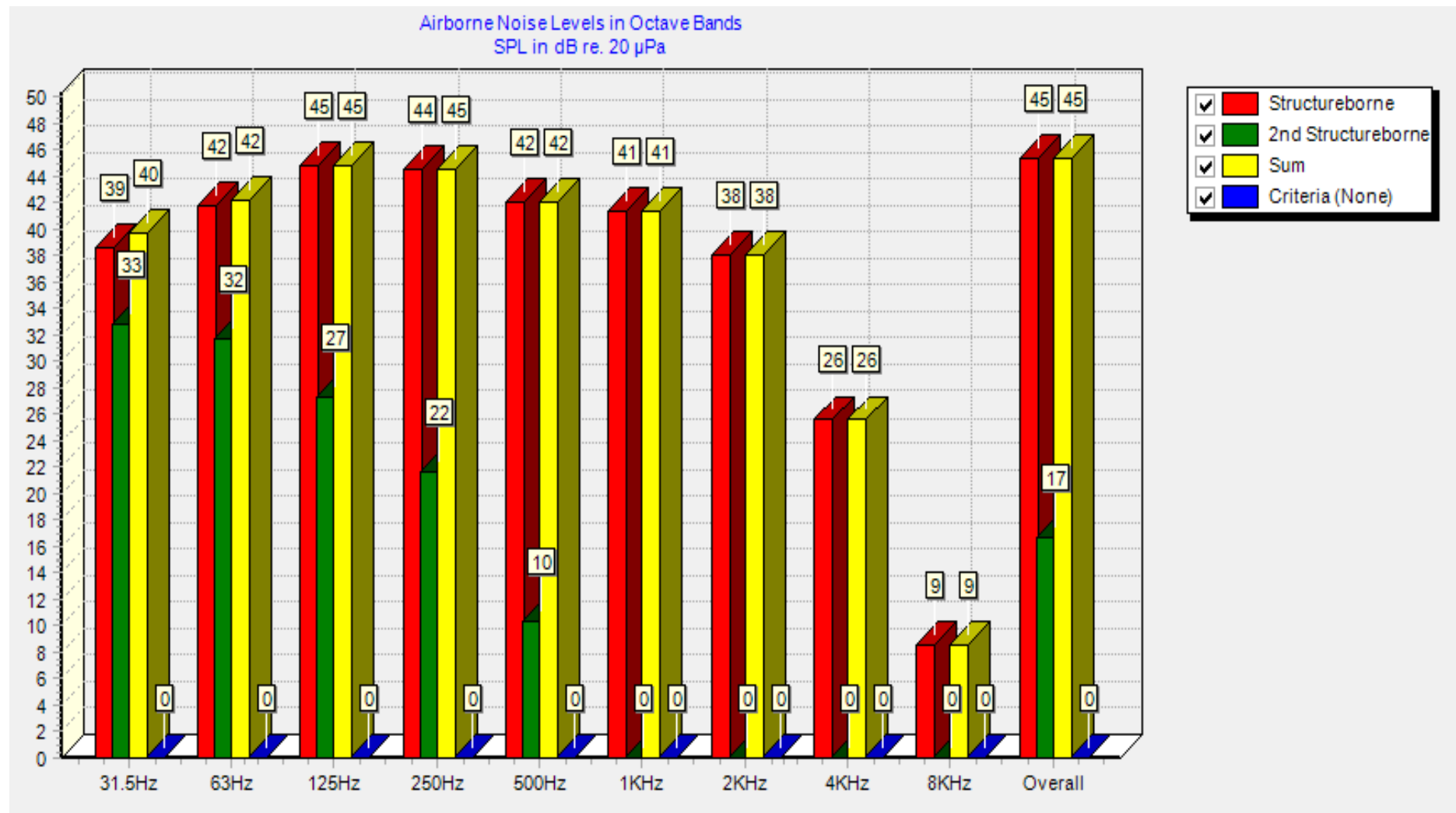


Slika 37 Razine buke u restoranu izračunate u Designer-NOISE-u

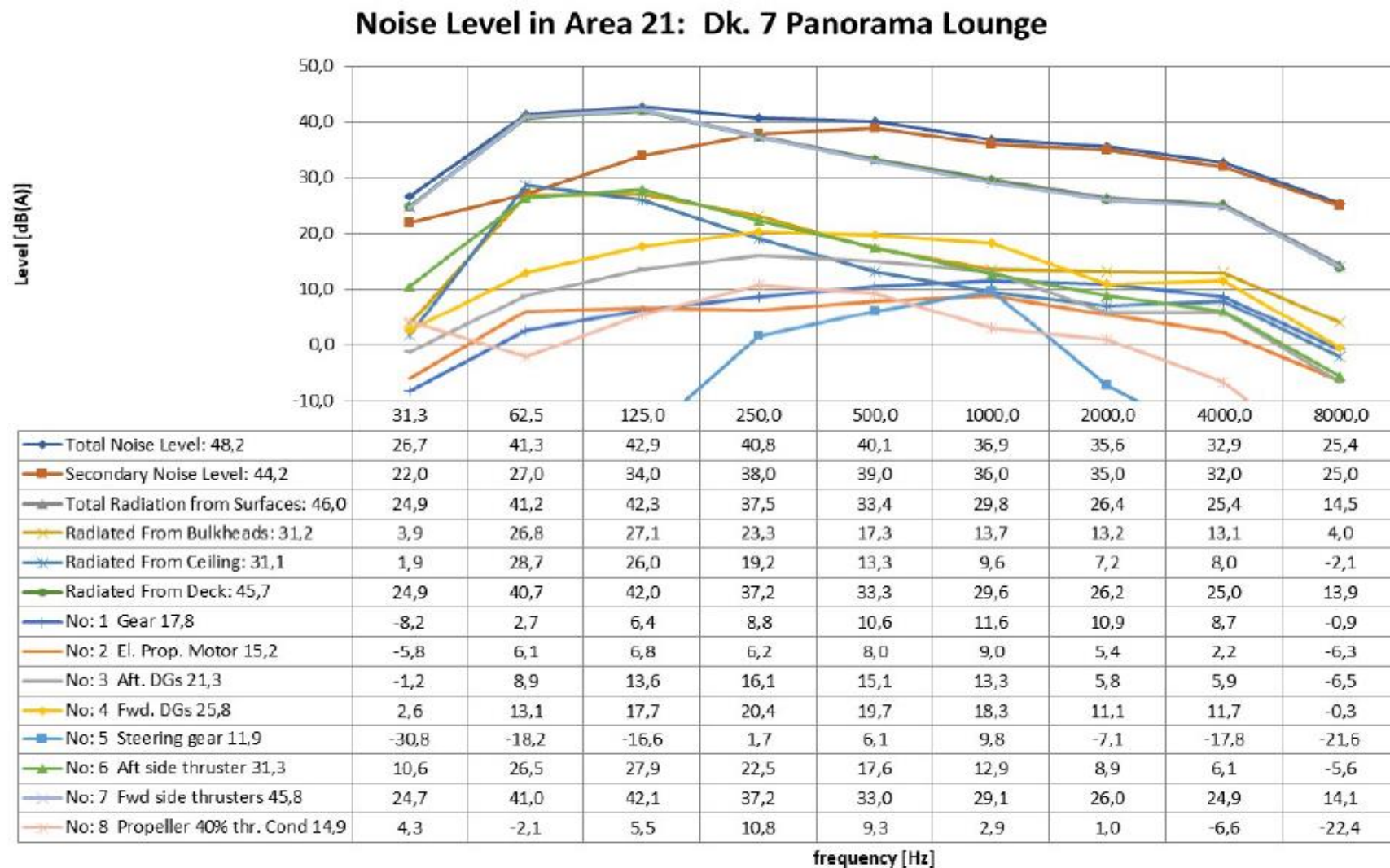
Noise Level in Area 18: Dk. 6 Pass. Cab #44



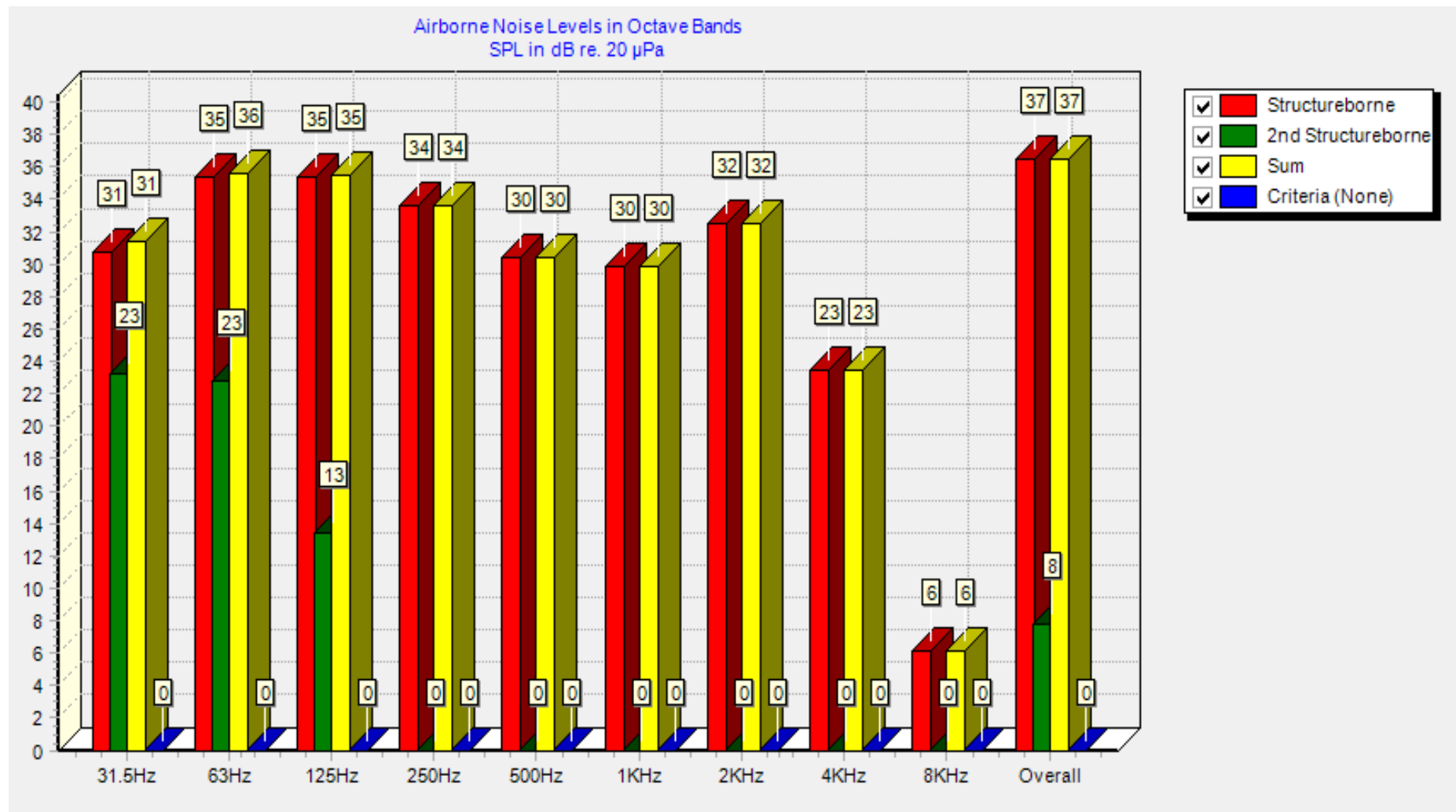
Slika 38 Razine buke u putničkim kabinama prema DNV-u



Slika 39 Razine buke u putničkim kabinama izračunate u Designer-NOISE-u



Slika 40 Razine buke u panoramskom salonu prema DNV-u



Slika 41 Razine buke u panoramskom salonu u Designer-NOISE-u

9. ZAKLJUČAK

Buka na brodu postala je važan projektni kriterij pa su sukladno tome nerijetko u postupku osnivanja broda uključeni i akustički proračuni. U ovom diplomskom radu provedena je analiza razine buke na istraživačkom brodu namijenjenom za plovidbu u polarnim uvjetima, kapaciteta 200 putnika i duljine $L_{OA} = 128$ m. Metodom hibridne statističke analize energije dobivene su prognozirane razine buke za vrijeme plovidbe, a za provedbu proračuna buke korišten je komercijalni programski paket Designer-NOISE. Analizirani brod izgrađen je u brodogradilištu Brodosplit d.d. koje je ustupilo tehničku dokumentaciju na temelju koje je izrađen topološki model, zajedno s DNV-ovim izvješćem analize razine buke za isti brod. Za analizu buke provedenu od strane DNV-a korišten je program Noise Prediction Program 590 Millennium koji se temelji na metodi prijenosnih matrica.

Provedeni proračun uključuje izradu topološkog modela, definiranje akustičkog modela, postavljanje izvora buke, izolacije te pokretanje same analize. Rezultati razina buke nisu zadovoljili sve zahtjeve klasifikacijskog društva te bi bilo potrebno sanirati prekomjernu buku dodatnom izolacijom prostorija. Također, uspoređeni su s rezultatima iz DNV-ovog izvješća te je ustanovljen visok stupanj podudarnosti. Dakle, iako potpuno različite, metode generiraju približno iste rezultate po pitanju predikcije razina buke kod složenih konstrukcija.

Iako postoji međunarodna regulativa oko dopuštenih razina buke na brodu, kojima se vode klasifikacijska društva pri postavljanju vlastitih zahtjeva za ostvarenje klase udobnosti, akustički proračun i dalje nije uvršten pod obaveznu klasifikacijsku dokumentaciju. U ovom radu može se primijetiti da s odmakom vremena, dopuštene granice buke opadaju odnosno postaju strože, a razlog tome su nova saznanja te razvoj znanosti i tehnologije. S druge strane, brodska industrija teži izgradnji većih i bržih brodova, veće nosivosti i veće učinkovitosti. Uzrok tome je pretežno finansijske prirode. Nastave li se postavljati sve stroža pravila i graditi brodovi sve većih instaliranih snaga, potreba za akustičkim proračunima postat će neizbjegni dio projektne faze gradnje broda.

LITERATURA

- [1] T. Hener, ‘Noise pollution and violent crime☆’, *J. Public Econ.*, vol. 215, p. 104748, studeni 2022, doi: 10.1016/j.jpubeco.2022.104748.
- [2] S. Ingemannsson, H. Elvhammar, *Zaštita od buke - načela i primjena*. Zagreb: ZIRS, 1995.
- [3] ‘Onečišćenje bukom — Europska agencija za okoliš’. <https://www.eea.europa.eu/hr/signals/signali-2020/graficki-informacije/oneciscenje-bukom/view> (Pristupljeno 11. studenog 2022.).
- [4] IMO, ‘Code on noise levels on board ship’. 1982.
- [5] IMO, ‘Resolution MSC.338(91)’. 2012.
- [6] MEPC.1(833), ‘Guidelines for the reduction of underwater noise from commercial shipping to address adverse impacts on marine life’. 2014.
- [7] B. Goujard, A. Sakout, V. Valeau, ‘Acoustic comfort on board ships: An evaluation based on a questionnaire’, *Appl. Acoust.*, vol. 66, no. 9, pp. 1063–1073, Sep. 2005, doi: 10.1016/j.apacoust.2005.01.001.
- [8] M. Simonović, D. Kalić, Pravica Petar, *Buka, štetna dejstva, merenje i zaštita*. Niš: Prosveta, 1982.
- [9] M. Paić, *Gibanja, sile, valovi - Udžbenik za studente Prirodoslovno-matematičkog fakulteta u Zagrebu*. Zagreb: Školska knjiga, 1997.
- [10] R. Krsnik and B. Mikulić, *Fizika - međudjelovanja, relativnost, titranja i zvuk*. Zagreb: Školska knjiga, 1992.
- [11] G. Božić, A. Božić, *Fizika na državnoj maturi - Priručnik za pripremu ispita državne mature*, Zagreb: Školska knjiga, 2015.
- [12] ‘ISO 226:2003(E): Acoustics-Normal Equal-Loudness-Level Contours’. International Standardization Organization, Geneva, Switzerland.
- [13] ‘zvuk | Hrvatska enciklopedija’. <https://www.enciklopedija.hr/natuknica.aspx?ID=67594> (Pristupljeno 9. studenog 2022).
- [14] F. A. Everest, *Master handbook of acoustics*, 4th ed. USA: The McGraw-Hill Companies, 2001.
- [15] O. Bilan, *Akustika prostorija*. Split: GRAF FORM, 1998.
- [16] H. Tudor, ‘Tehno-ekonomska analiza razvoja novog tipa brodskog motora niske razine buke i vibracija’, Diplomski rad, Fakultet strojarstva i brodogradnje, 2017.

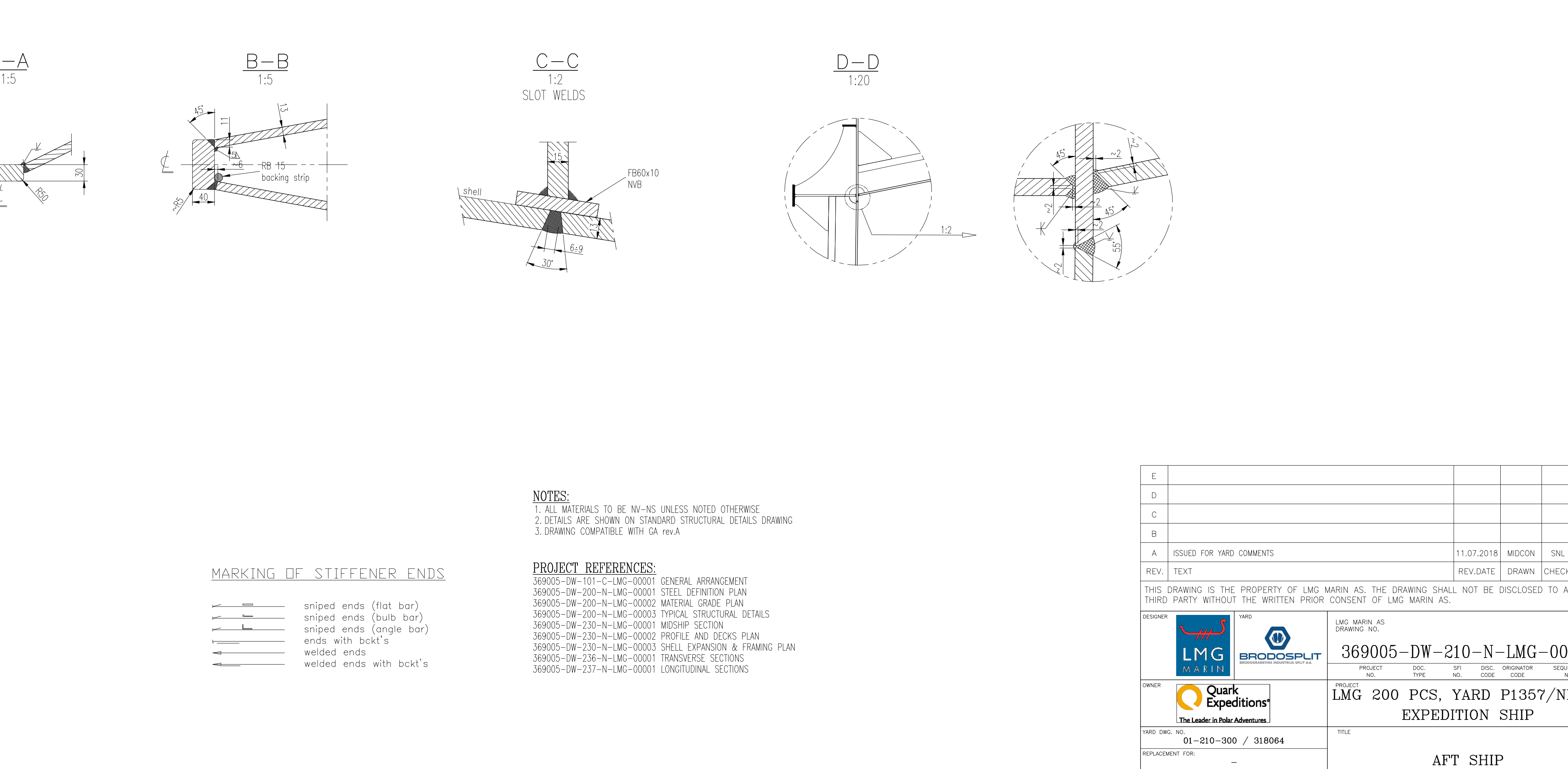
-
- [17] M. Mikulec, ‘Primjena hibridne statističke analize energije u prognozi razina buke na brodovima’, Diplomski rad, Fakultet strojarstva i brodogradnje, 2018.
 - [18] M. B. Dühring, J. S. Jensen, and O. Sigmund, ‘Acoustic design by topology optimization’, *J. Sound Vib.*, vol. 317, no. 3, pp. 557–575, Nov. 2008, doi: 10.1016/j.jsv.2008.03.042.
 - [19] J. Dong, K. Choi, N. Vlahopoulos, A. Wang, W. Zhang, ‘Sensitivity Analysis and Optimization Using Energy Finite Element and Boundary Element Methods’, *Aiaa J. - AIAA J.*, vol. 45, pp. 1187–1198, Jun. 2007, doi: 10.2514/1.20811.
 - [20] F. G. Aufforth and V. Bertram, ‘Design of High-Performance Ships using Simulations’, *Cienc. Tecnol. Buques*, vol. 3, no. 6, Art. no. 6, 2009, doi: 10.25043/19098642.21.
 - [21] N. Atalla and R. J. Bernhard, ‘Review of numerical solutions for low-frequency structural-acoustic problems’, *Appl. Acoust.*, vol. 43, no. 3, pp. 271–294, 1994, doi: 10.1016/0003-682X(94)90050-7.
 - [22] M. Weryk, ‘Ship on board noise propagation analysis methods’, *Hydroacoustics*, vol. 129, 2018.
 - [23] J. Parunov, C. Pastelli, S. Rudan, N. Hadžić, and I. Senjaković, ‘Review of methods for structure born noise prediction on ships’, *Brodogradnja*, vol. 63, no. 2, pp. 134–139, 2012.
 - [24] N. Vladimir, I. Lončar, I. Ančić, and I. Sejanović, ‘Prediction of Noise Performance of Ro-Ro Passenger Ship by the Hybrid Statistical Energy Analysis’, *Pomorski zbornik, posebno izdanje*, pp. 29–45, 2018.
 - [25] T.-M. Kim, J.-T. Kim, and J.-S. Kim, ‘SEA-FEM hybrid analysis for predicting Inter-floor impact noise’, *Appl. Acoust.*, vol. 129, pp. 397–407, Jan. 2018, doi: 10.1016/j.apacoust.2017.08.025
 - [26] ‘Software’, *Noise Control Engineering, LLC*. <https://www.noise-control.com/software/> (Pristupljeno 14. studenog 2022.)
 - [27] R. O. for E. World Health Organization, *Environmental noise guidelines for the European Region*. Copenhagen: World Health Organization, 2018.
 - [28] ‘IMO Resolution A.343(IX) - Recommendation on Methods of Measuring Noise Levels at Listening Posts - (Adopted on 12 November 1975.)’.
 - [29] ‘IMO Resolution A 468 (XII)’, *Scribd*. <https://www.scribd.com/document/76137190/IMO-A-468-XII> (accessed Nov. 15, 2022).

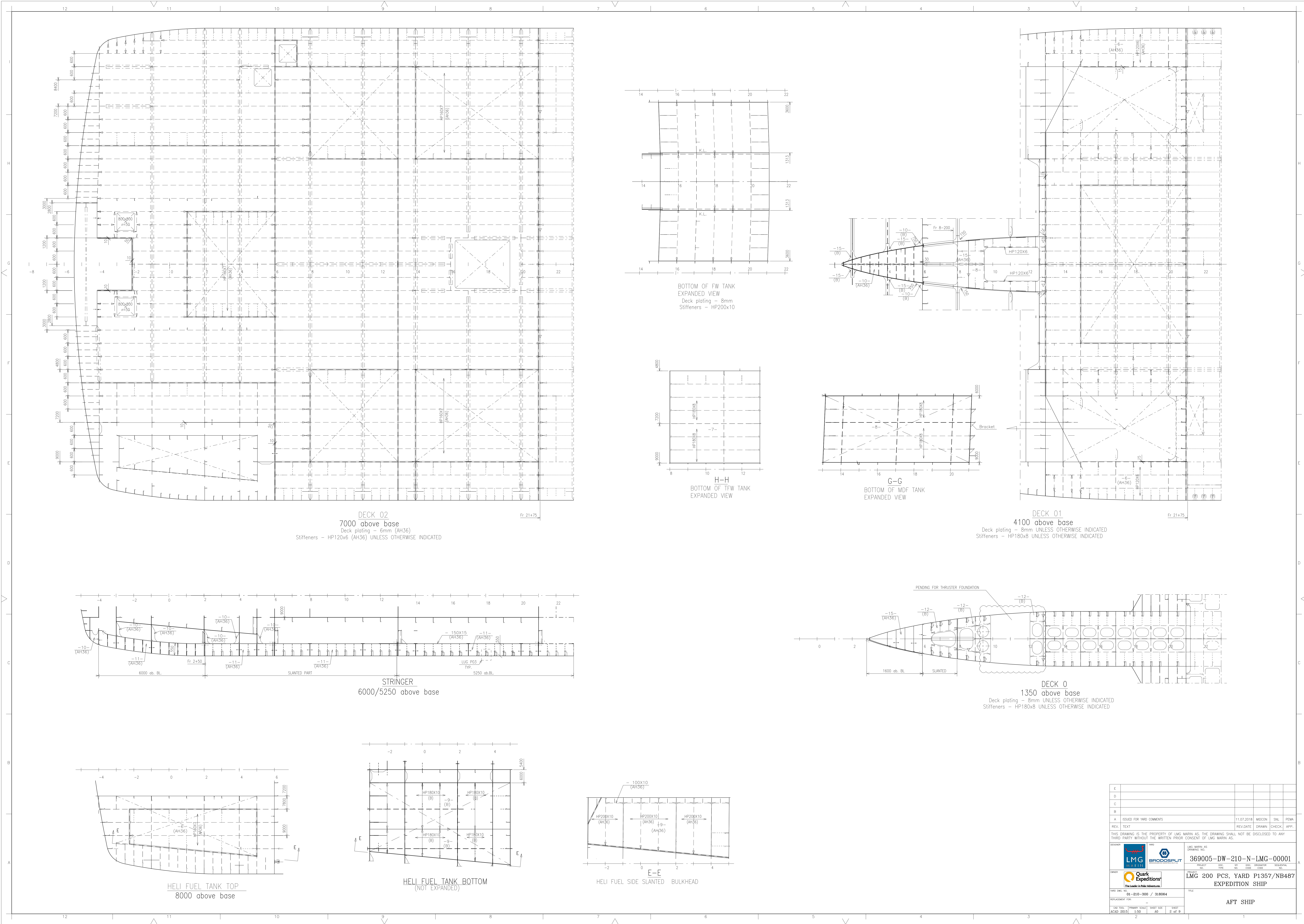
- [30] ‘ISO 20283-3:2006(en), Mechanical vibration — Measurement of vibration on ships — Part 3: Pre-installation vibration measurement of shipboard equipment’. International Standardization Organization, 2006.
- [31] ‘ISO 354:2003: Acoustics — Measurement of sound absorption in a reverberation room’. International Standardization Organization, 2003.
- [32] ‘ISO 1999:2013(en), Acoustics — Estimation of noise-induced hearing loss’. International Standardization Organization.
- [33] ‘ISO 2923:1996: Acoustics — Measurement of noise on board vessels’. International Standardization Organization, 1996.
- [34] ‘ISO 80000-8:2007: Quantities and units — Part 8: Acoustics’. International Standardization Organization, 2007.
- [35] ‘IEC 61672-1:2013 | IEC Webstore’. <https://webstore.iec.ch/publication/5708> (Pristupljeno 16. studenog 2022).
- [36] ‘[DNV-RU-SHIP Pt.6 Ch.8] Living and working conditions - edition Jul, 2021’.
- [37] Lloyd’s Register, ‘Rules and Regulation for Classification of Ships, Part 7, Chapter 12’. Jul. 2019.
- [38] Bureau Veritas, ‘Rules for the Classification of Steel Ships, Part-E’. 2017.

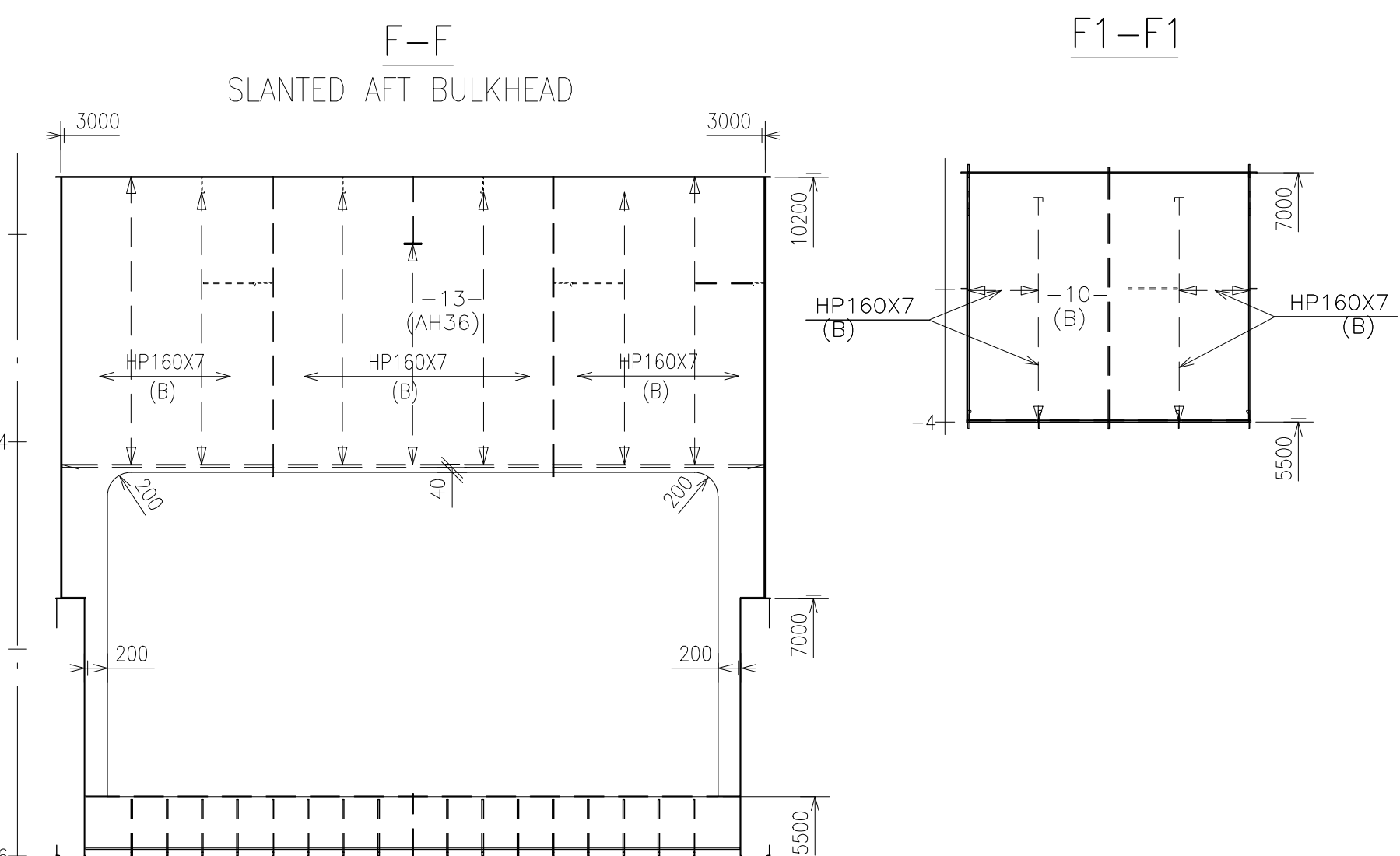
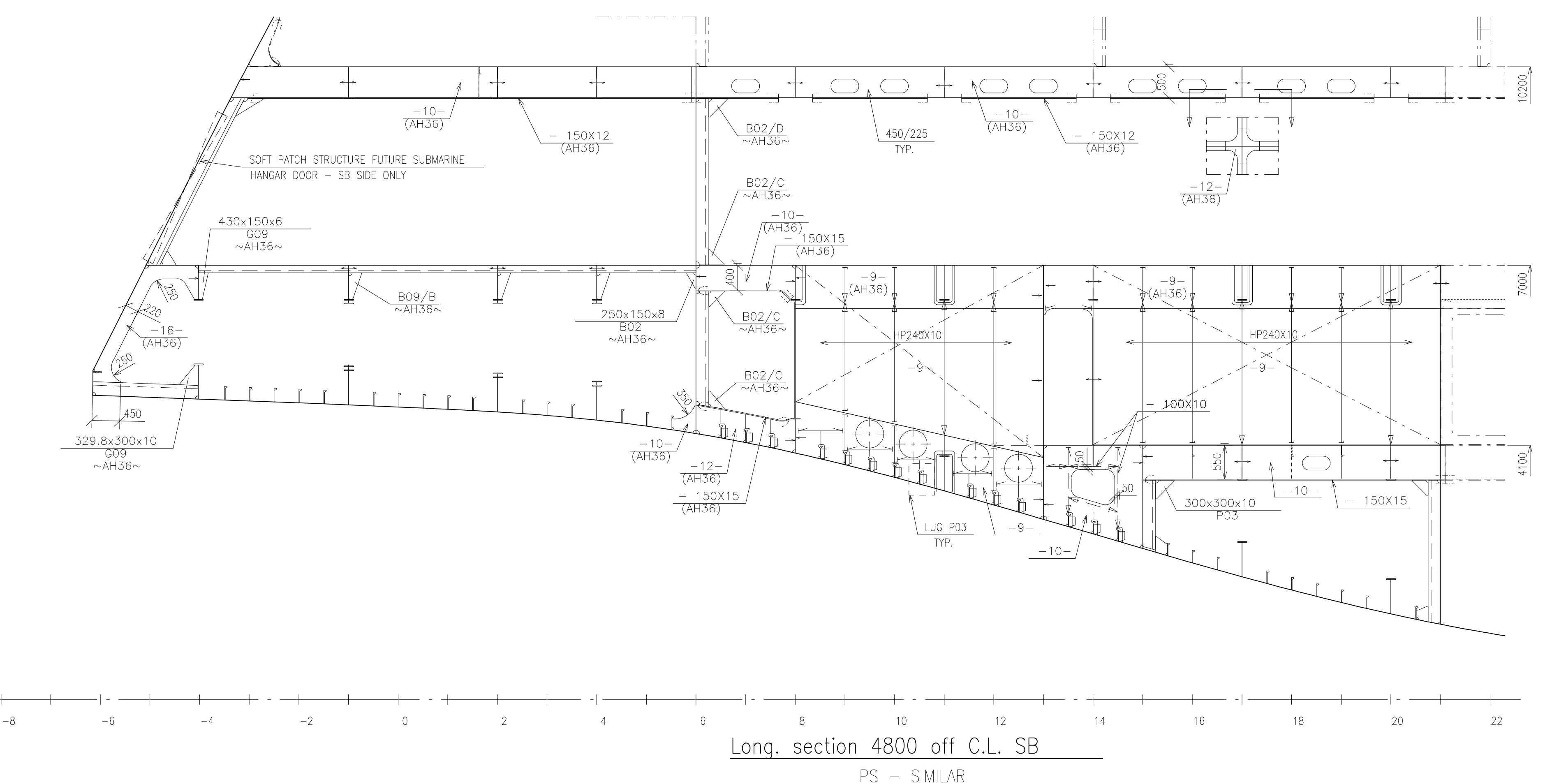
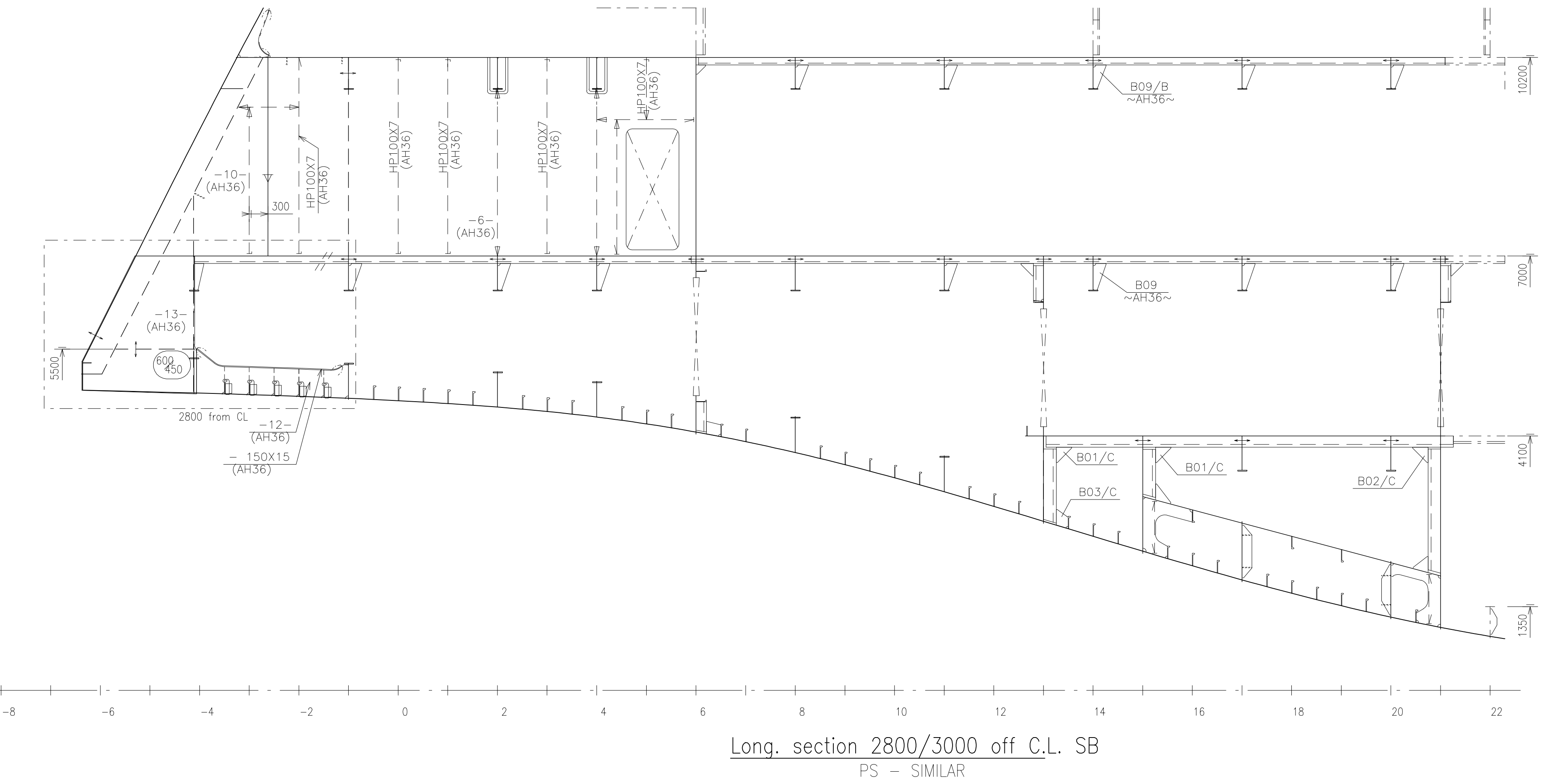
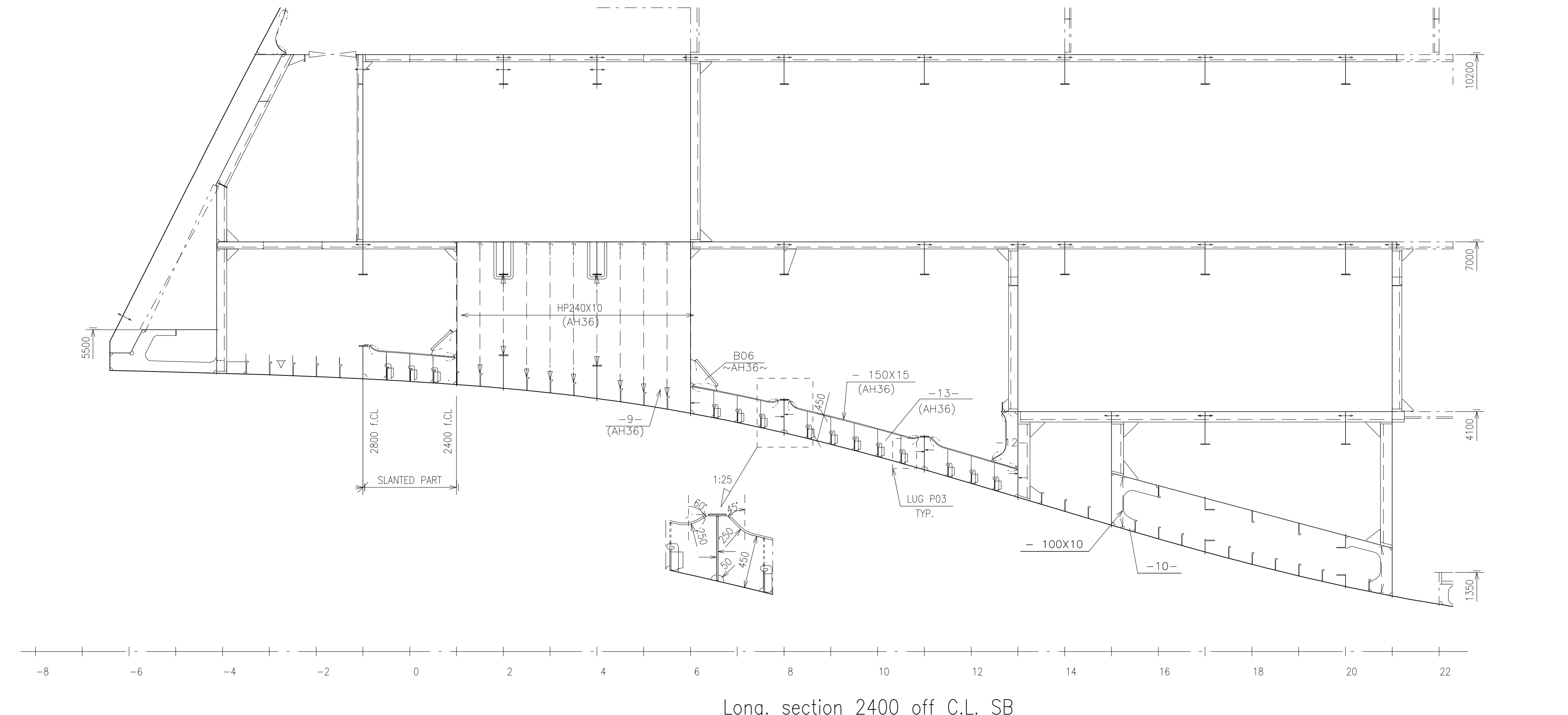
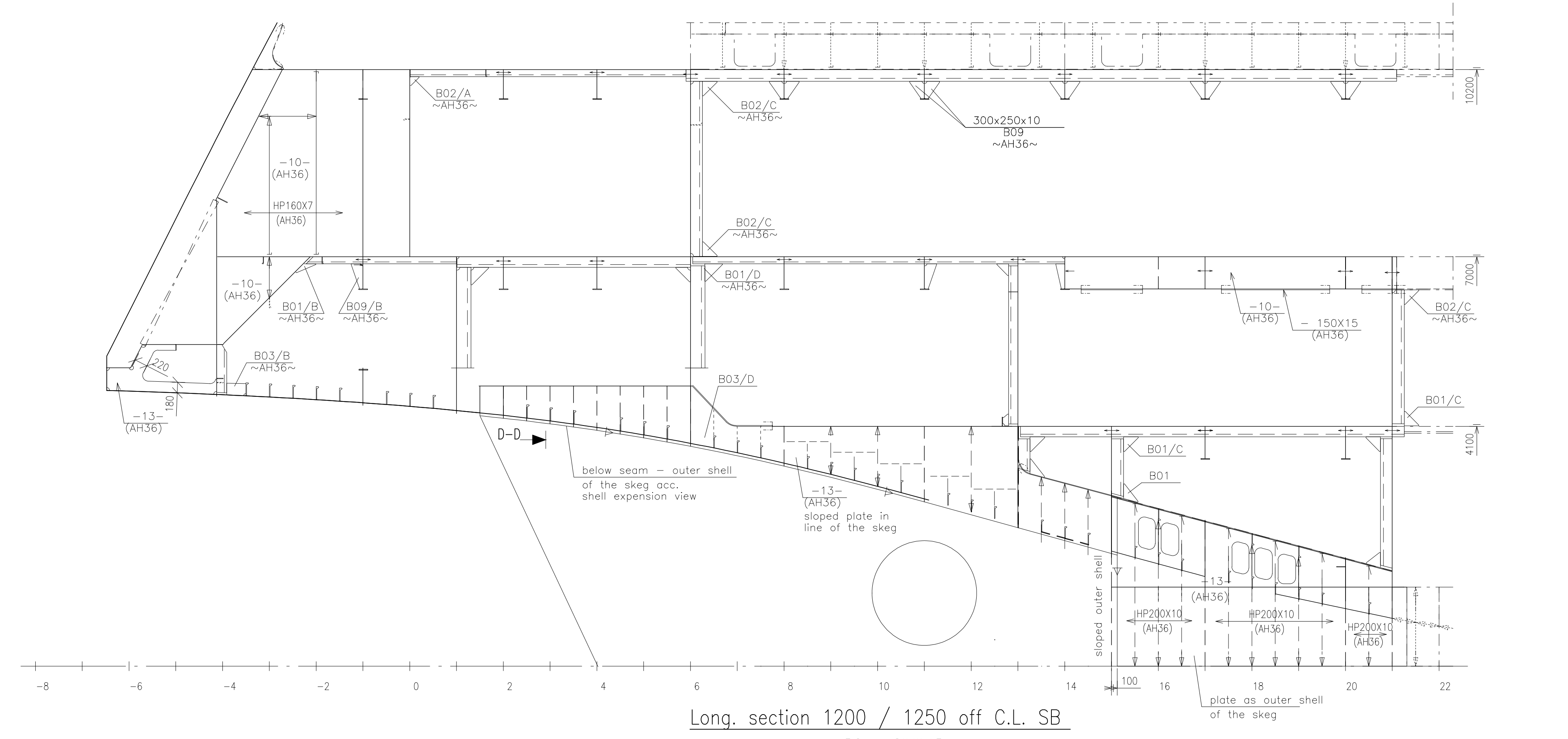
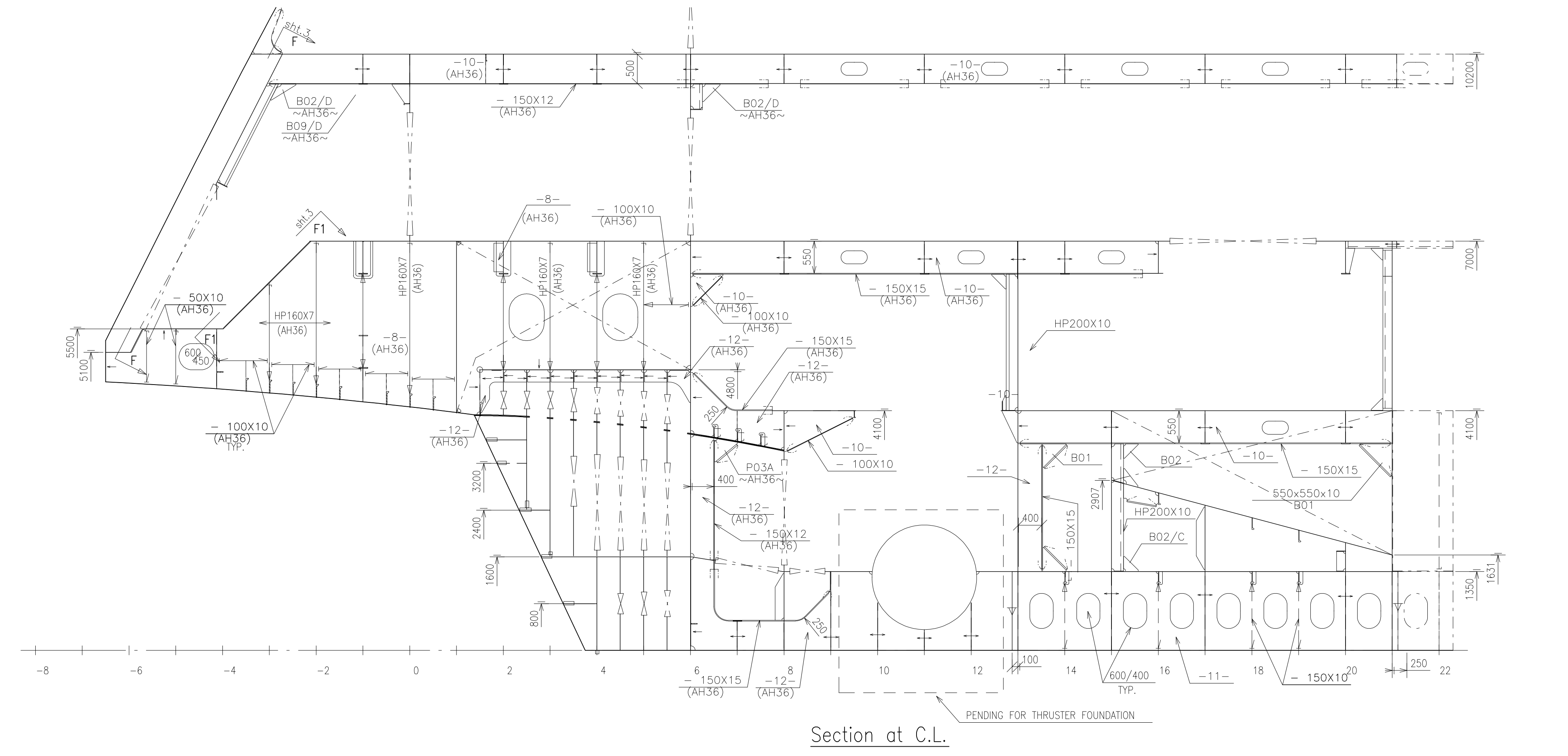
PRILOZI

- I. Tehnička dokumentacija analiziranog broda
- II. CD-R disc

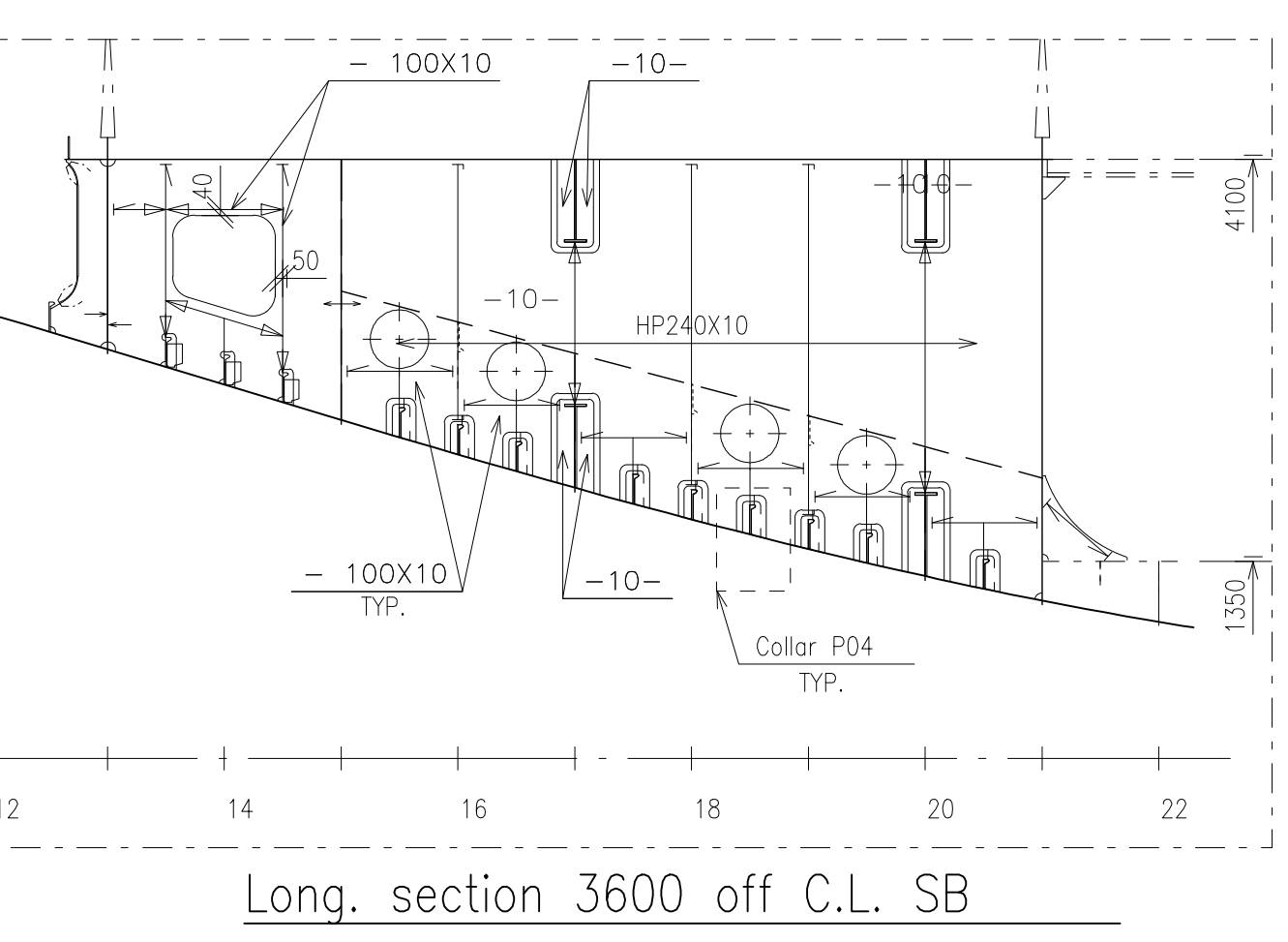
PRILOG 1



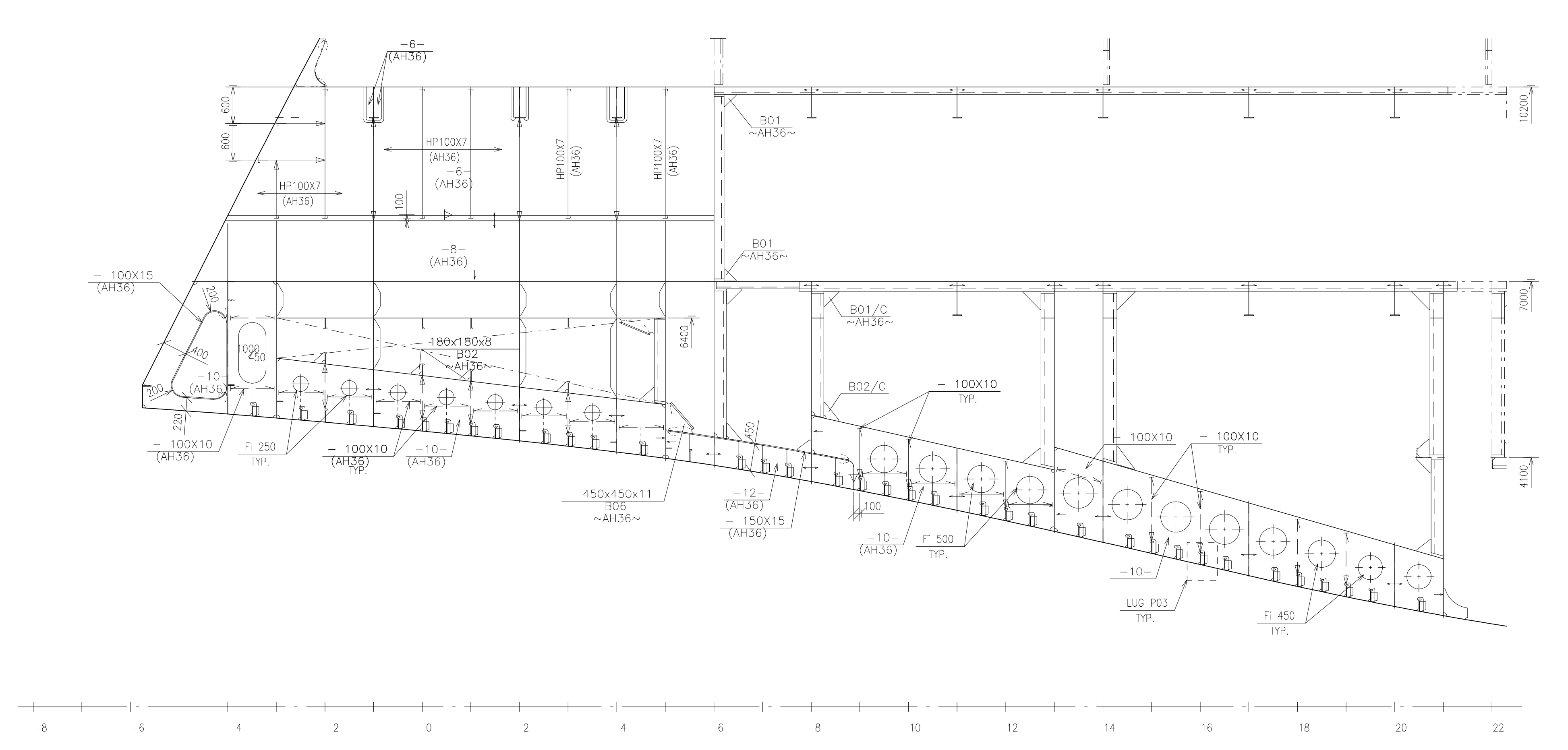
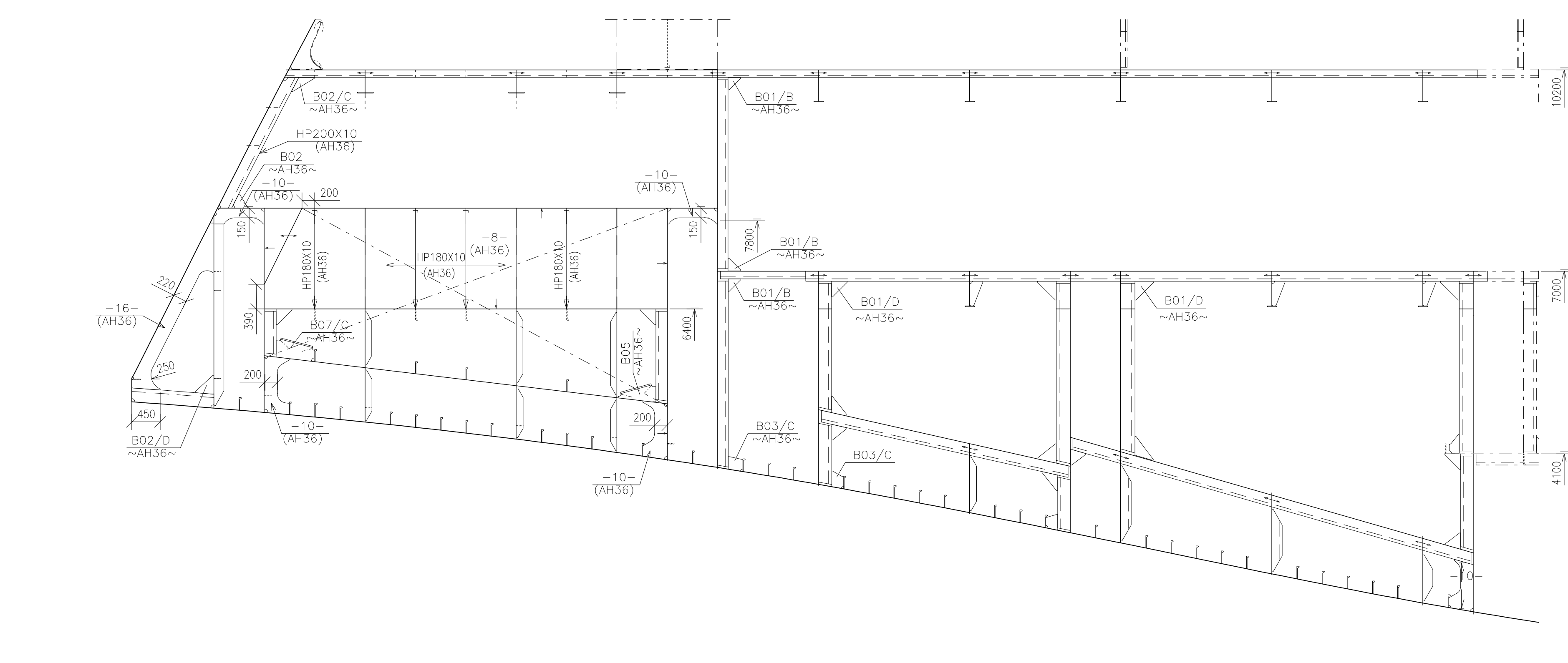
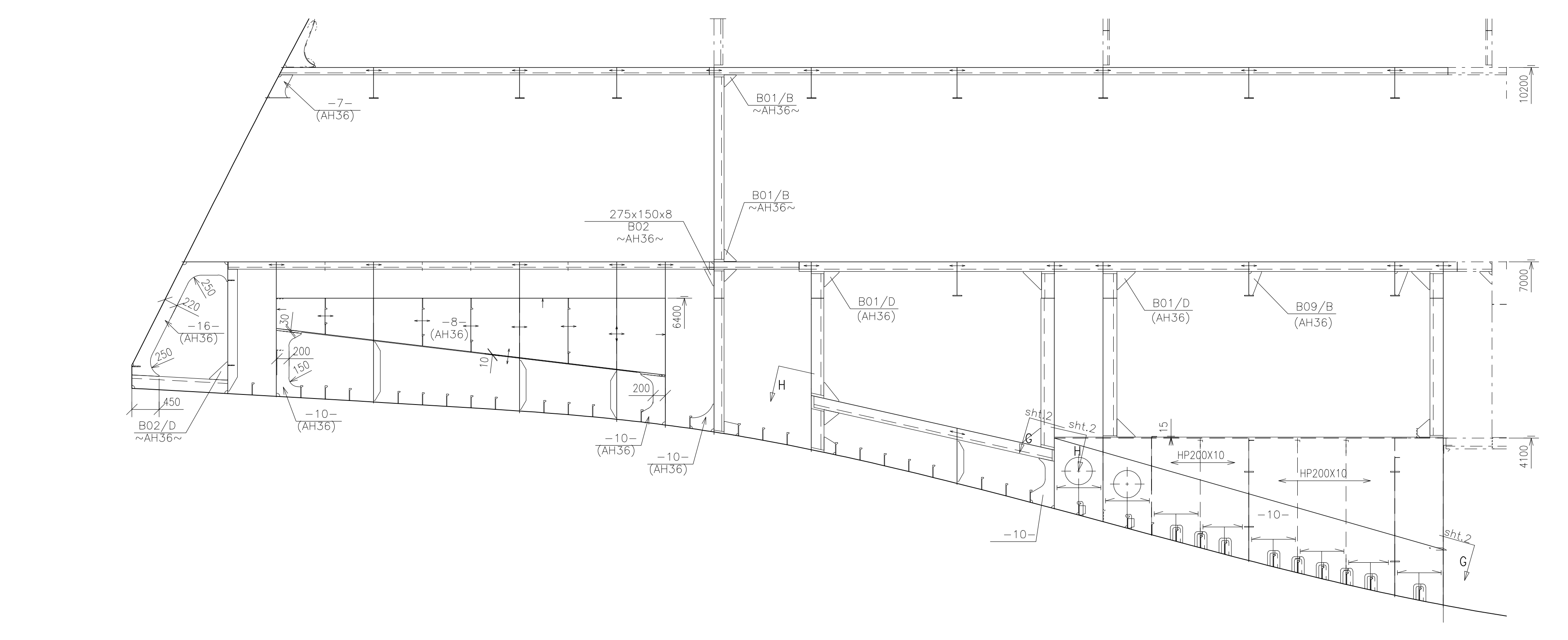
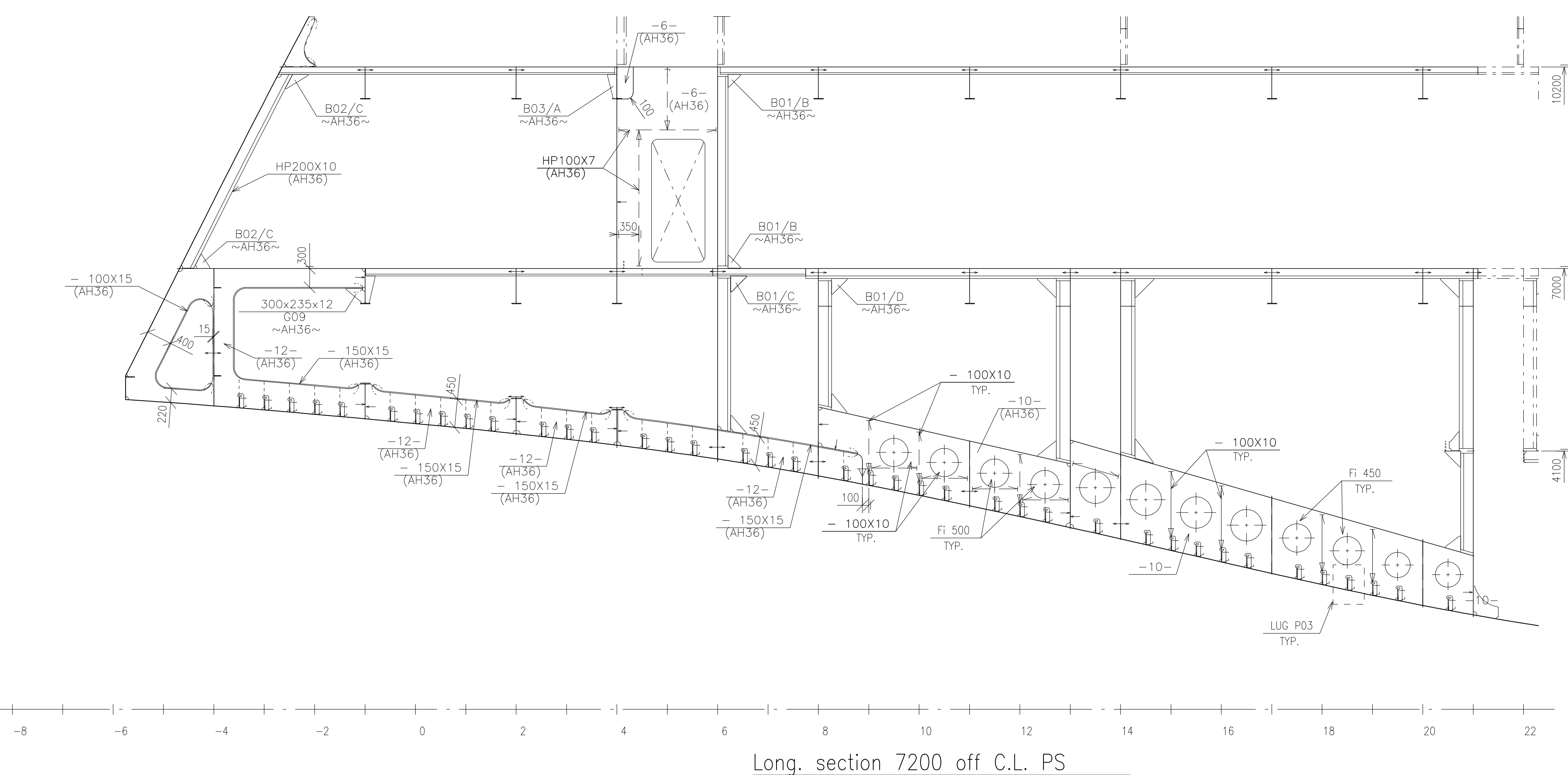
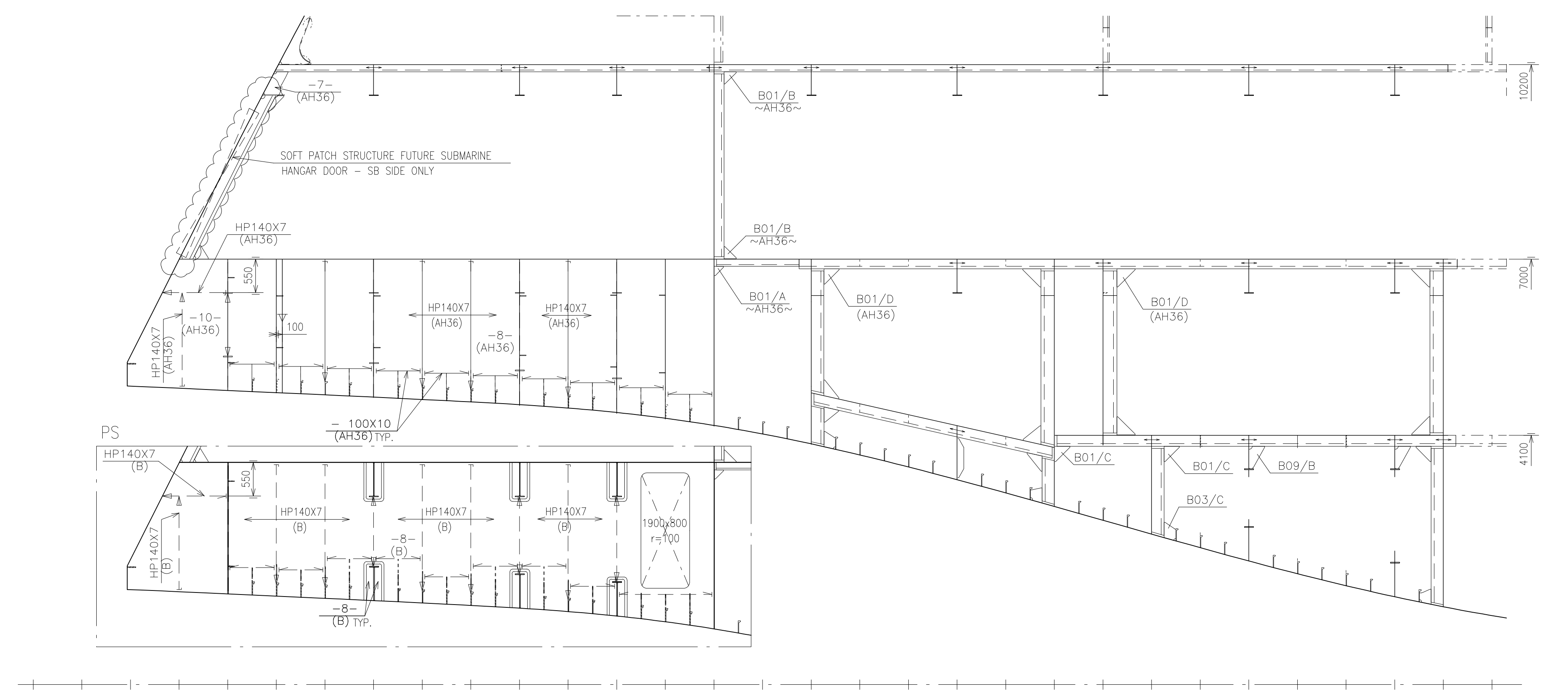




F1-F1

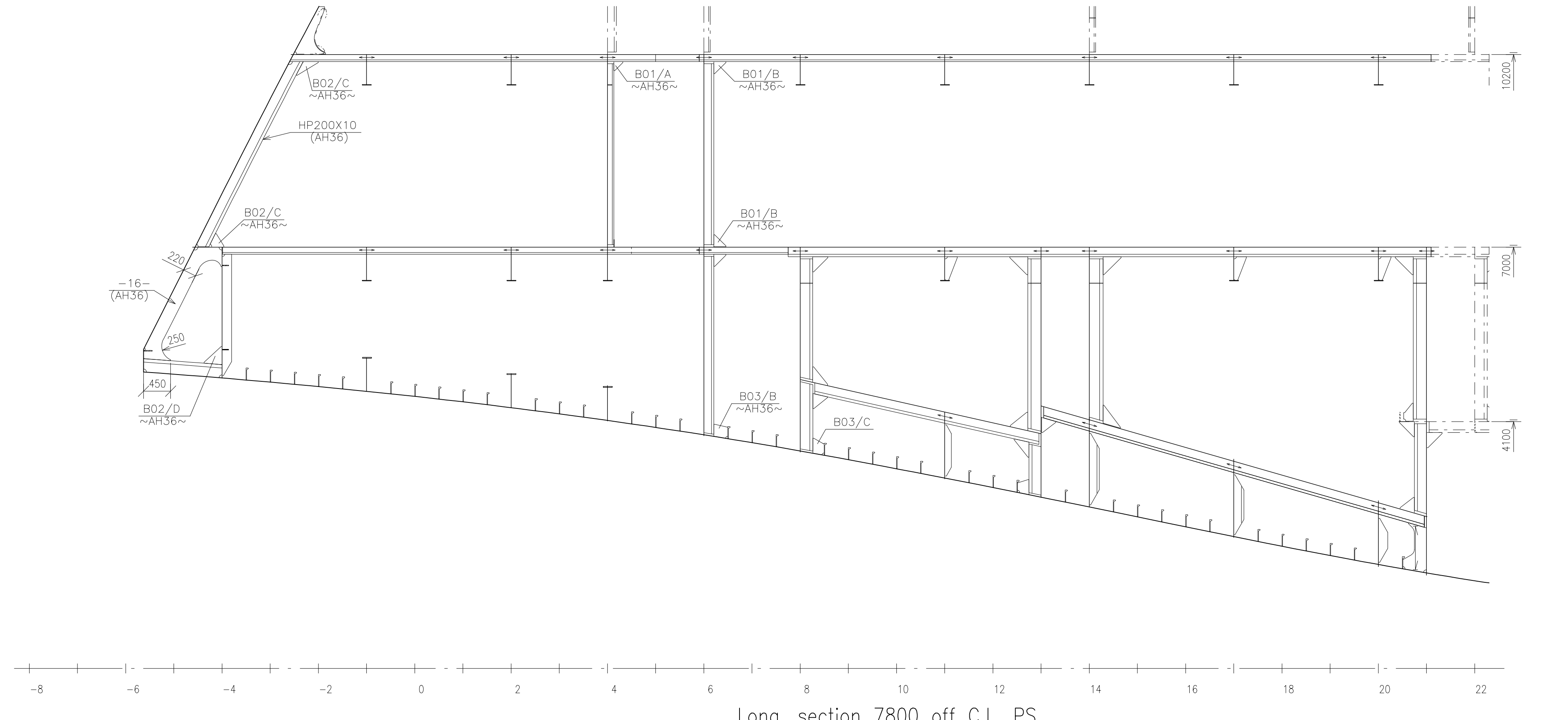


A	ISSUED FOR YARD COMMENTS	11.07.2018	MIDCON	SNL	PEMA
REV. TEXT					
THIS DRAWING IS THE PROPERTY OF LMG MARIN AS. THE DRAWING SHALL NOT BE DISCLOSED TO ANY THIRD PARTY WITHOUT THE WRITTEN PRIOR CONSENT OF LMG MARIN AS.					
DESIGNER	LMG MARIN AS DRAWING INC	YARD	BRODOSPLIT	PROJECT	369005-DW-210-N-LMG-0001
OWNER	Quark Expeditions®	YARD DWG. NO.	369005-DW-210-N-LMG-0001	DOC TYPE	EXPEDITION SHIP
REPLACEMENT FOR		REPLACEMENT FOR		DOC DATE	11.07.2018
DATE TOOL	ACAD 2015	PRIMARY SCALE	1:50	SHEET SIZE	A0
ACAD 2015				NUMBER	3 of 9
				NAME	AFT SHIP

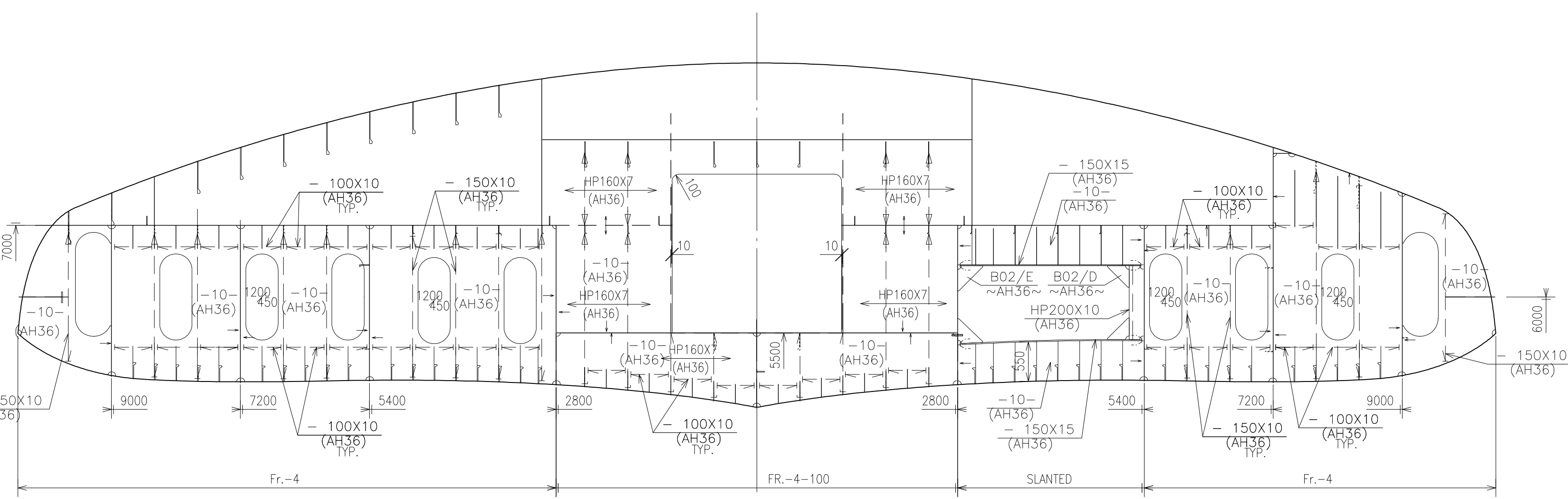


A	B	C	D	E	F
A ISSUED FOR YARD COMMENTS REV. TEXT	B 11.07.2018	C MIDCON	D DRAWN	E SPL	F PEMA
THIS DRAWING IS THE PROPERTY OF LMG MARIN AS. THE DRAWING SHALL NOT BE DISCLOSED TO ANY THIRD PARTY WITHOUT THE WRITTEN PRIOR CONSENT OF LMG MARIN AS.					
DESIGNER 	YARD DRAWING NO. 369005-DW-210-N-LMG-00001	PROJECT NO. P1357/NB487	DOC TYPE SEQUENCIAL	11.07.2018	
OWNER 	YARD DWG. NO. 31-210-300 / 318064	DOC TYPE SEQUENCIAL	DOC TYPE SEQUENCIAL		
	REPLACEMENT FOR -				
	DATE ACAD 2015	PRIMARY SCALE 1:50	SHEET SIZE A0	4 of 9	

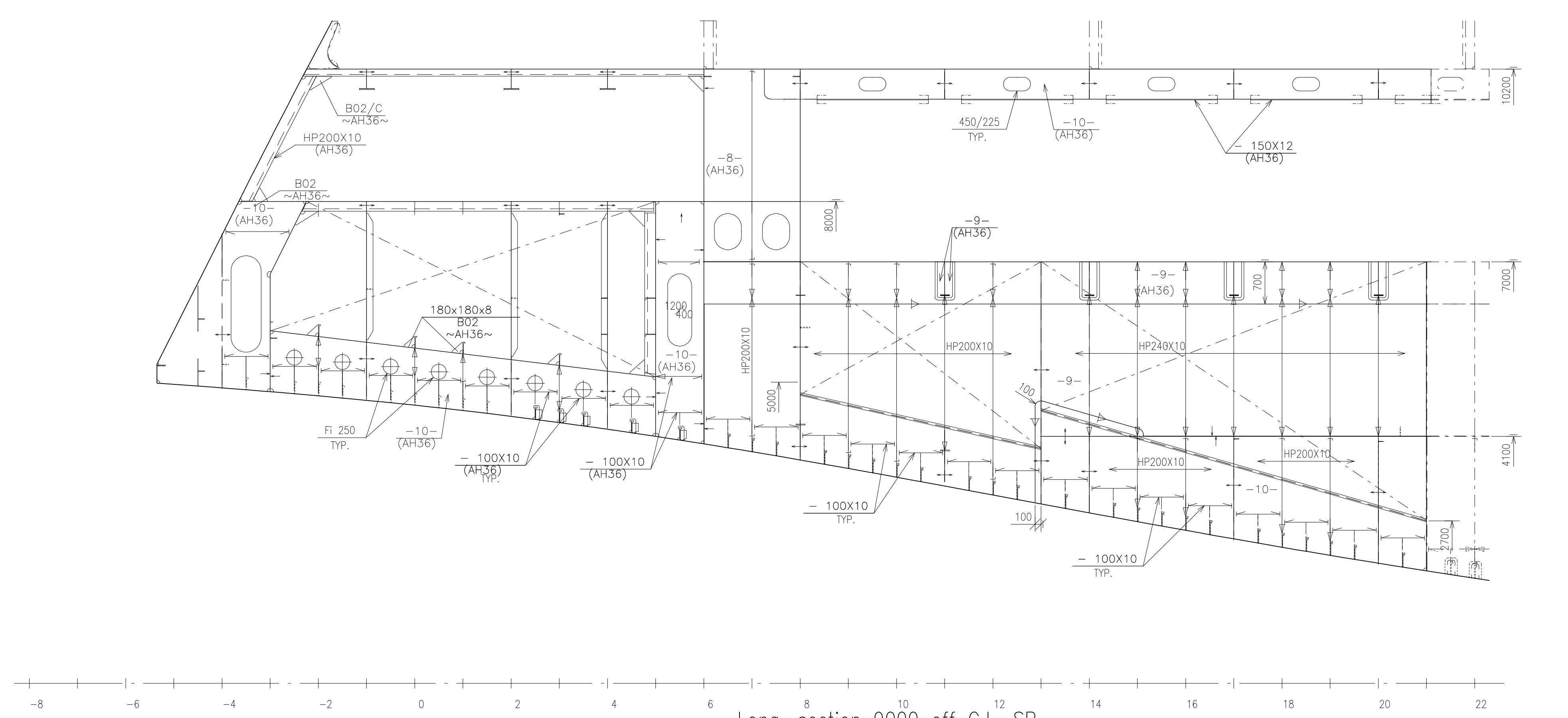
AFT SHIP



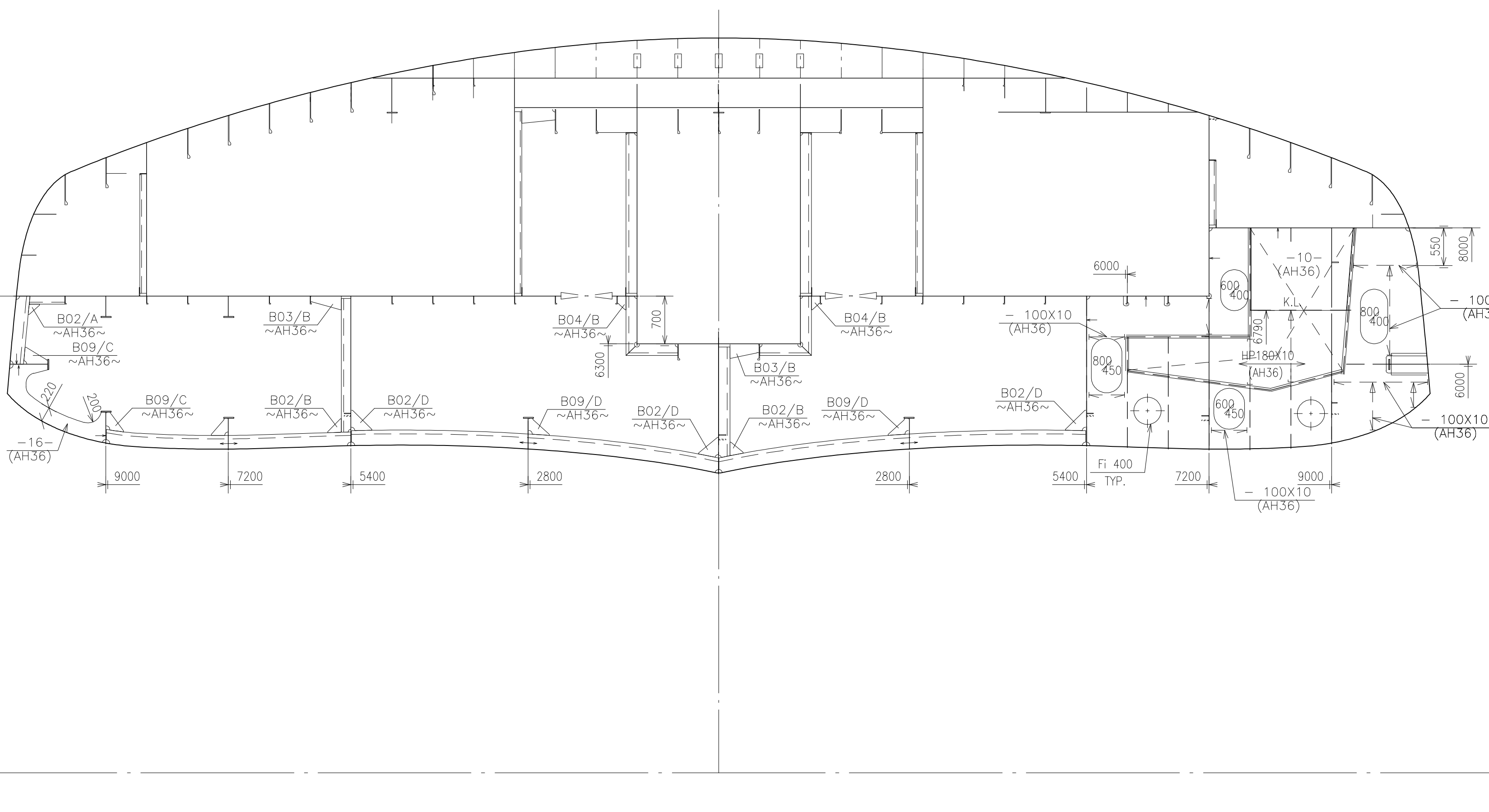
Long. section 7800 off C.L. PS



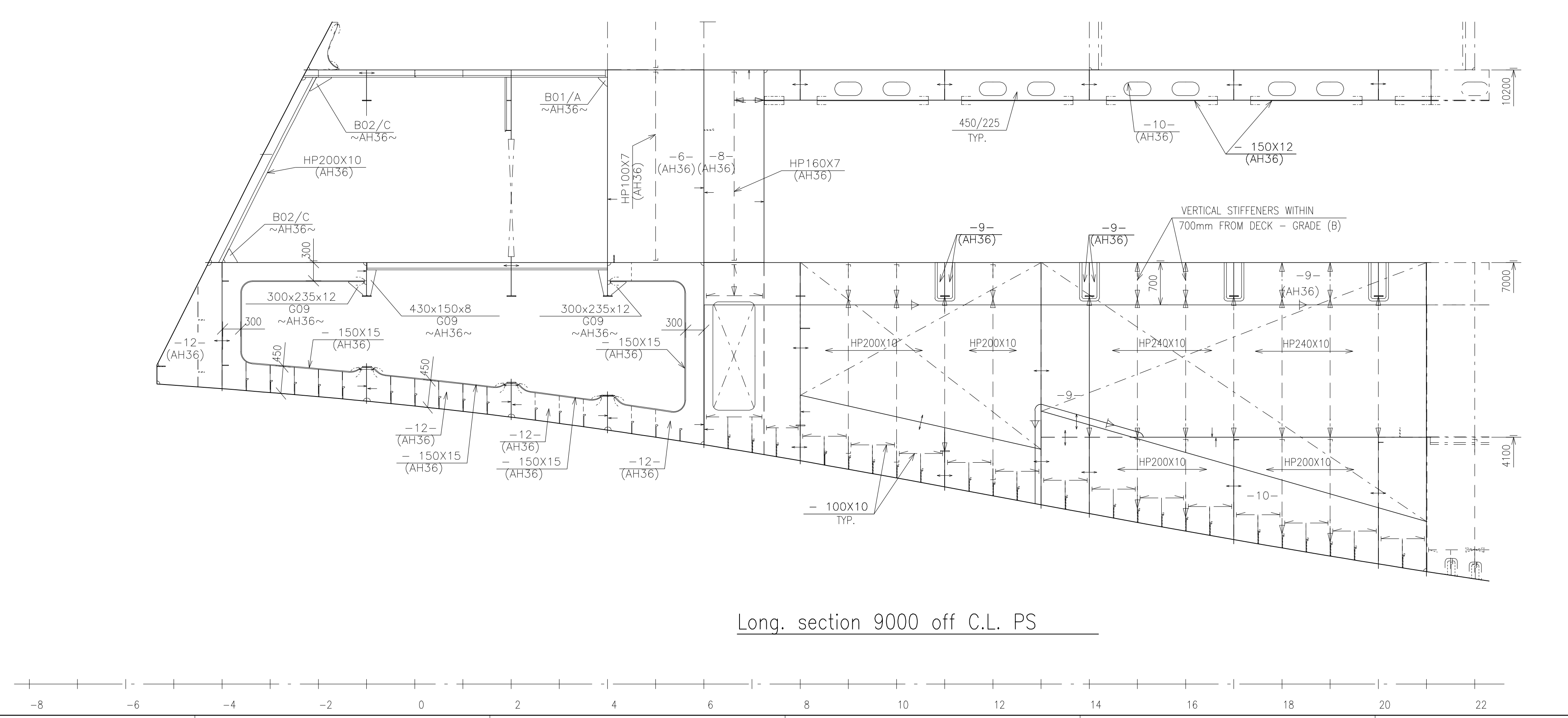
Frame -4



Long. section 9000 off C.L. SB

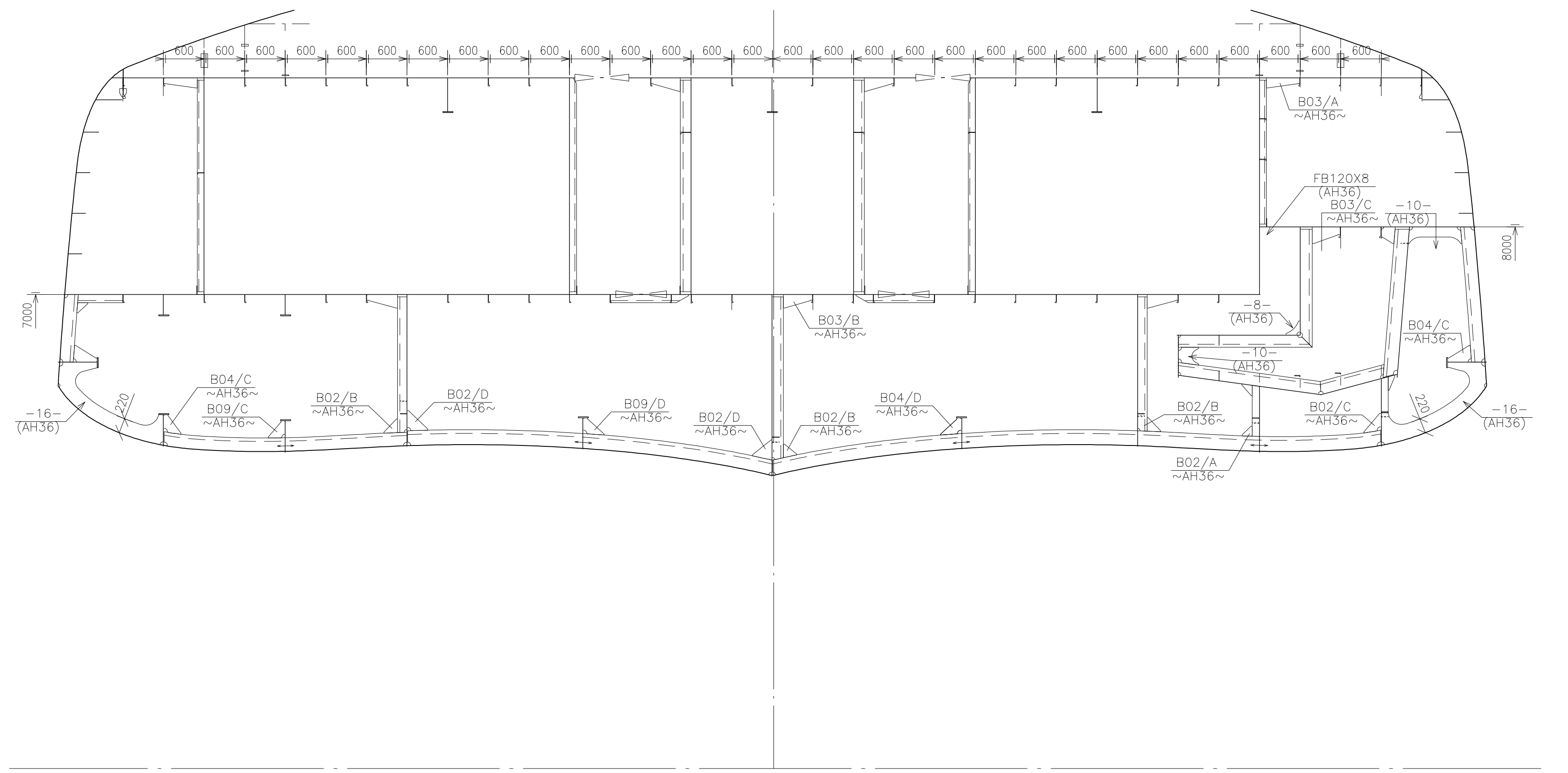


Frame -3

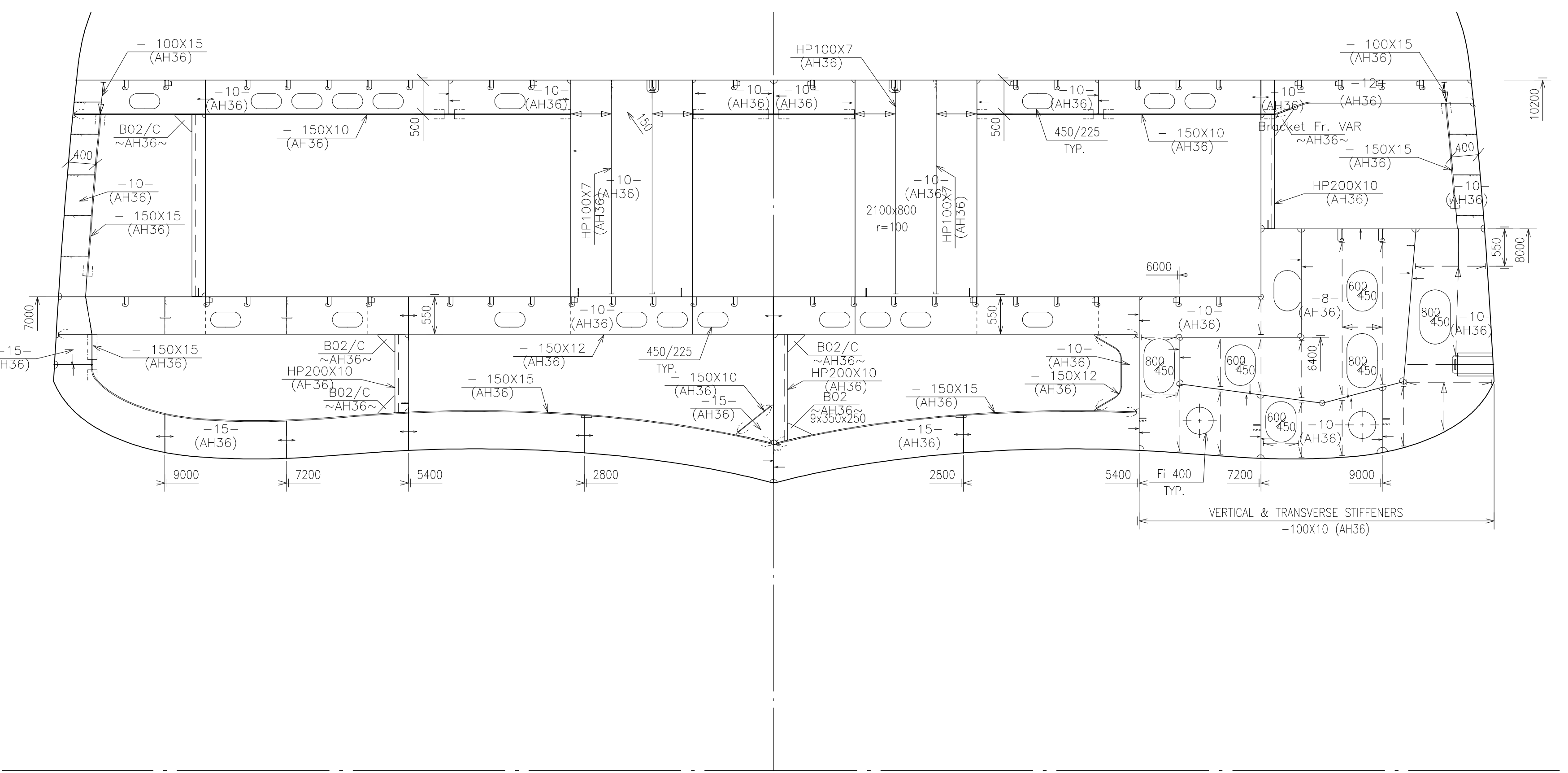


Long. section 9000 off C.L. PS

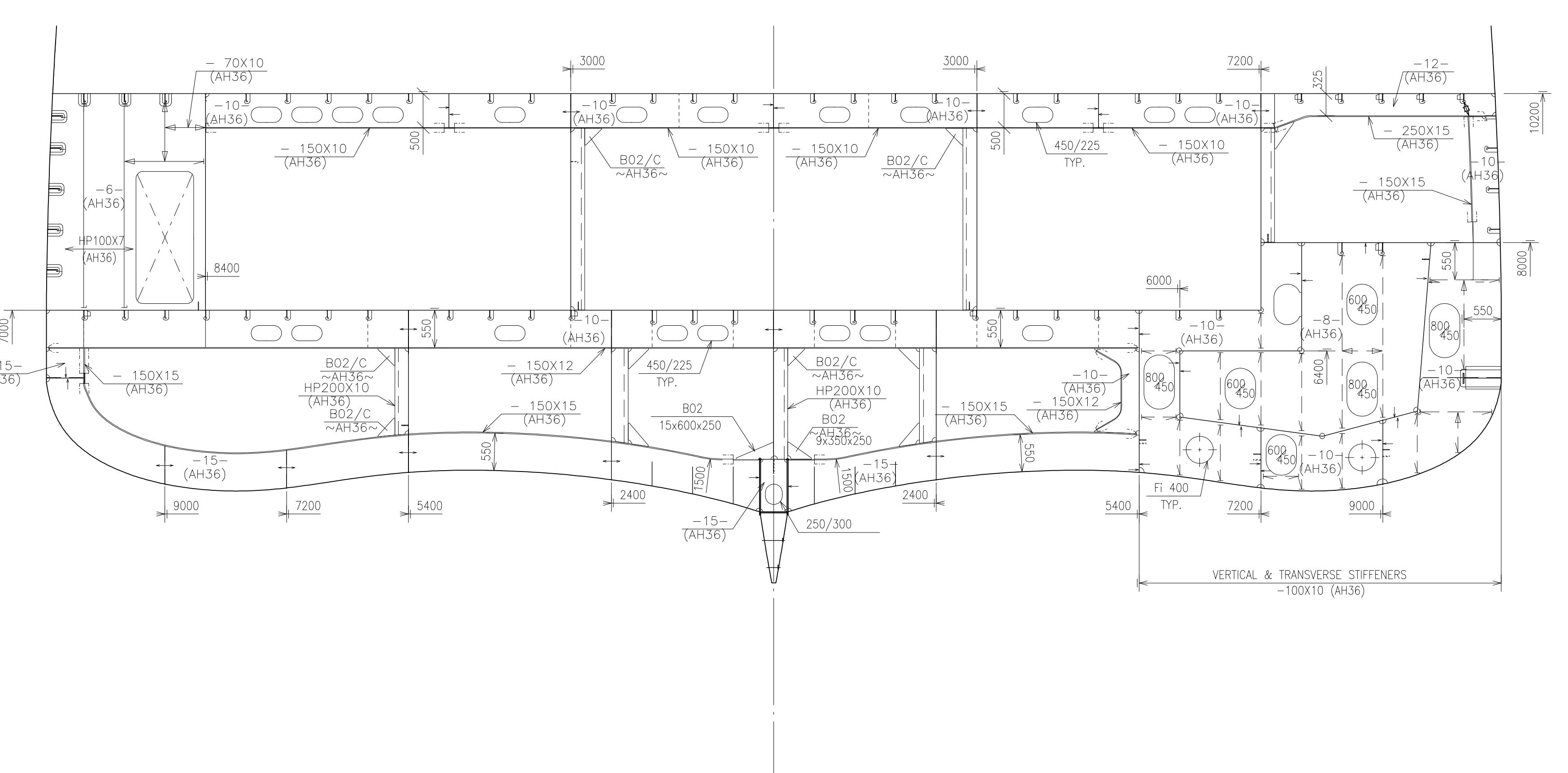
A	B	C	D	E
A. ISSUED FOR YARD COMMENTS REV. TEXT	B. THIRD PARTY WITHOUT THE WRITTEN PRIOR CONSENT OF LMG MARIN AS. THIS DRAWING IS THE PROPERTY OF LMG MARIN AS. THE DRAWING SHALL NOT BE DISCLOSED TO ANY THIRD PARTY WITHOUT THE WRITTEN PRIOR CONSENT OF LMG MARIN AS.	C. PROJECT NO. 369005-DW-210-N-LMG-00001 318064	D. DRAWN BY LMG MARIN AS DRAWING NO. 369005-DW-210-300 / 318064 REVISION NO. 0	E. DRAWN CHECKED 11.07.2018 MIDON SNI PEMA APP.
OWNER Quark Expeditions® The Leader in Polar Adventures	DESIGNER LMG MARIN AS	PROJECT TYPE SHIP	DOC. TYPE SPECIFICATION	REV. DATE
YARD DWG. NO. 369005-DW-210-300 / 318064	PRODUCT AFT SHIP	DOC. SNR 369005-DW-210-N-LMG-00001	DOC. ORIGINATOR SEQUENTIAL	SHEET SIZE A0
REPLACEMENT FOR 369005-DW-210-300 / 318064	DOC. TITLE AFT SHIP	DOC. SEQUENTIAL 5 of 9	DOC. DATE 11.07.2018	DOC. CHECKED 2



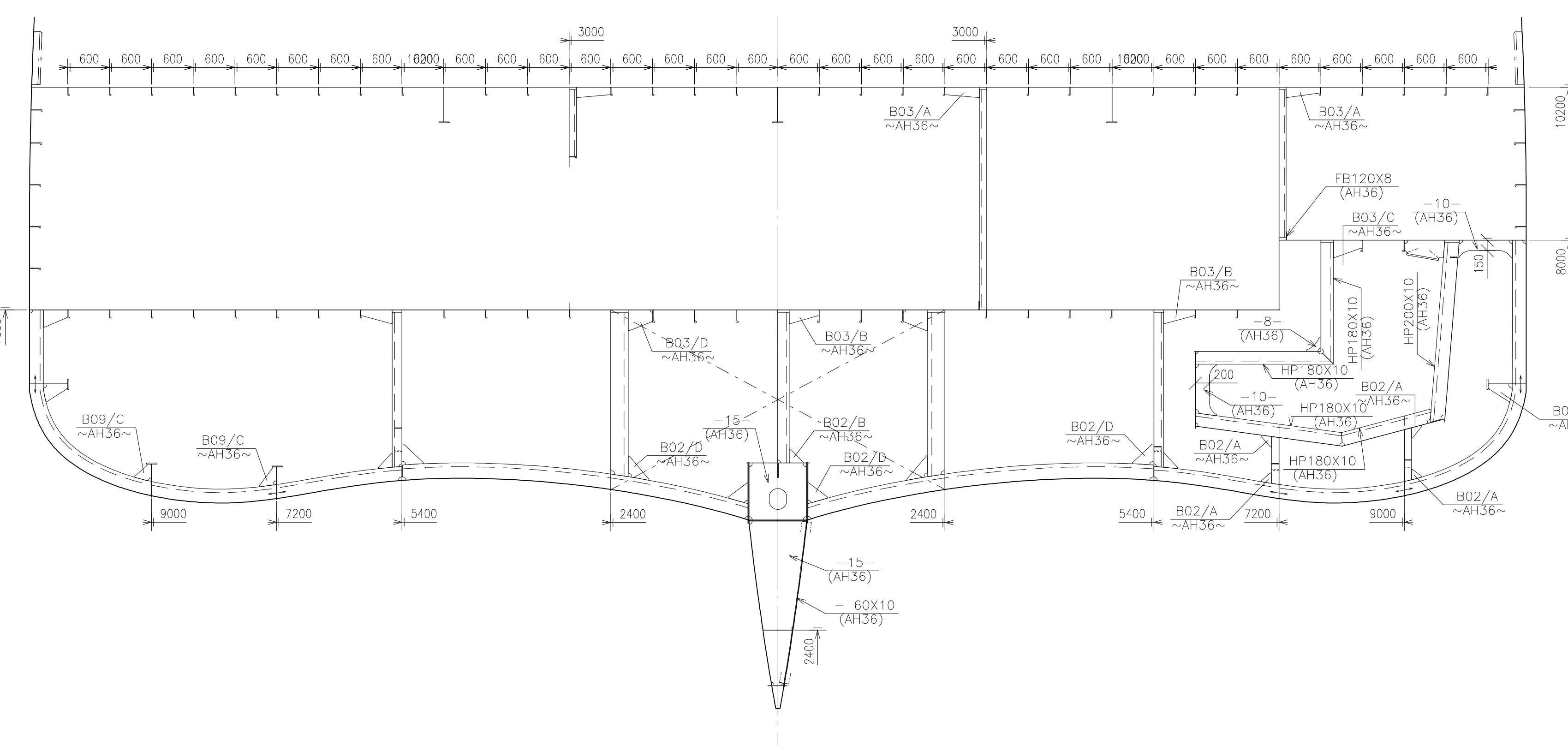
Frame -2



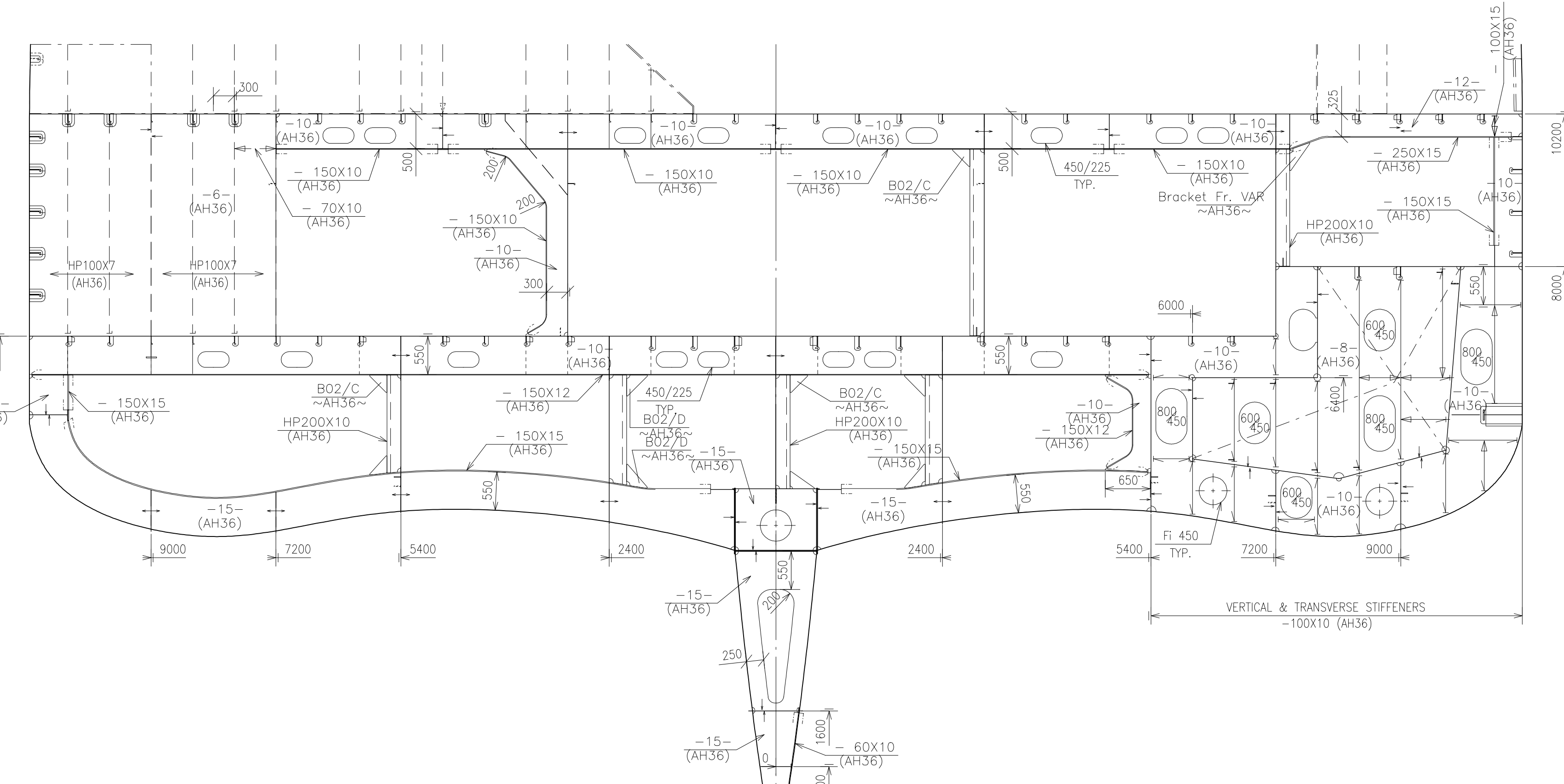
Frame -1



Frame -2

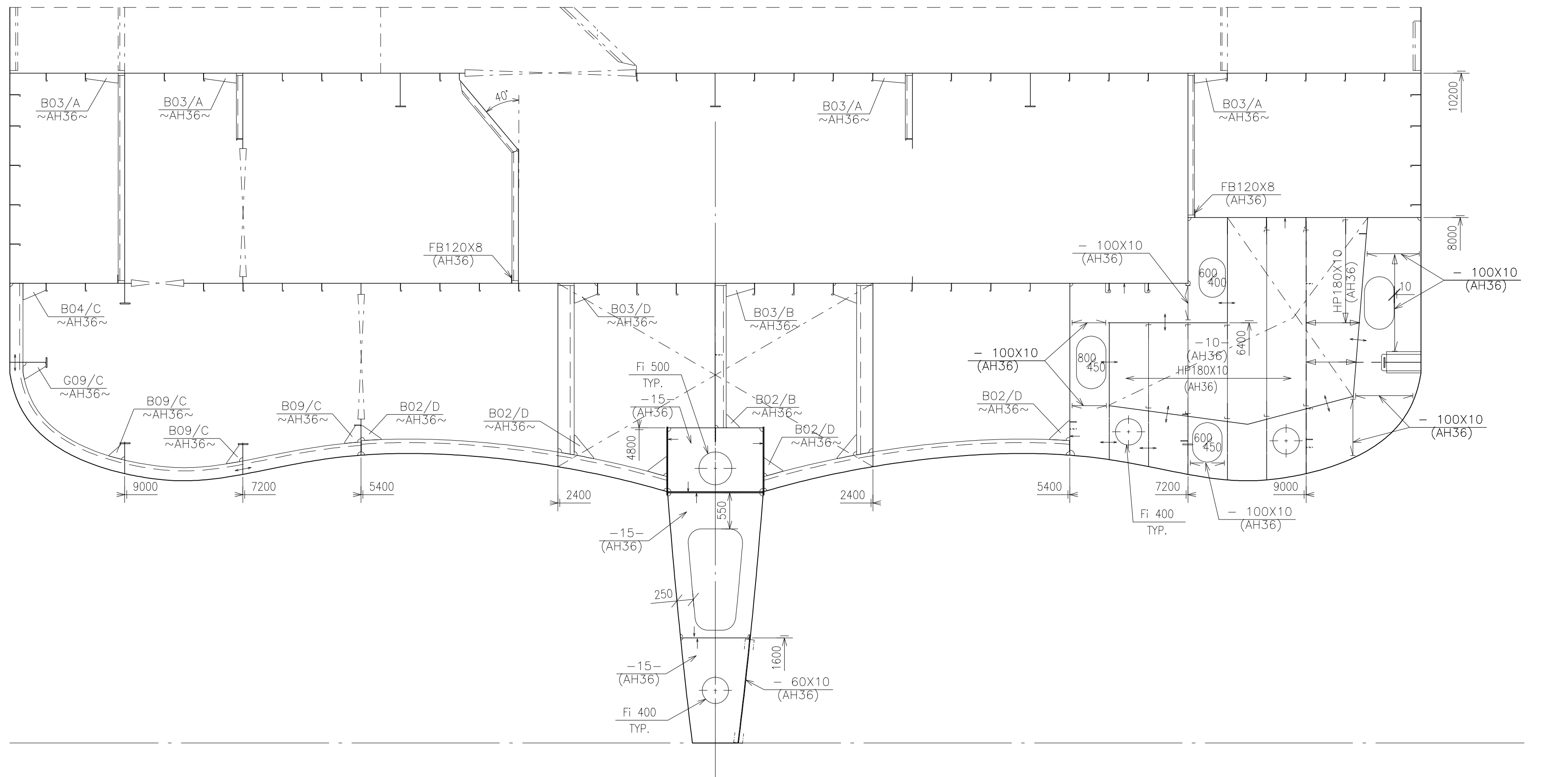


Frame 3

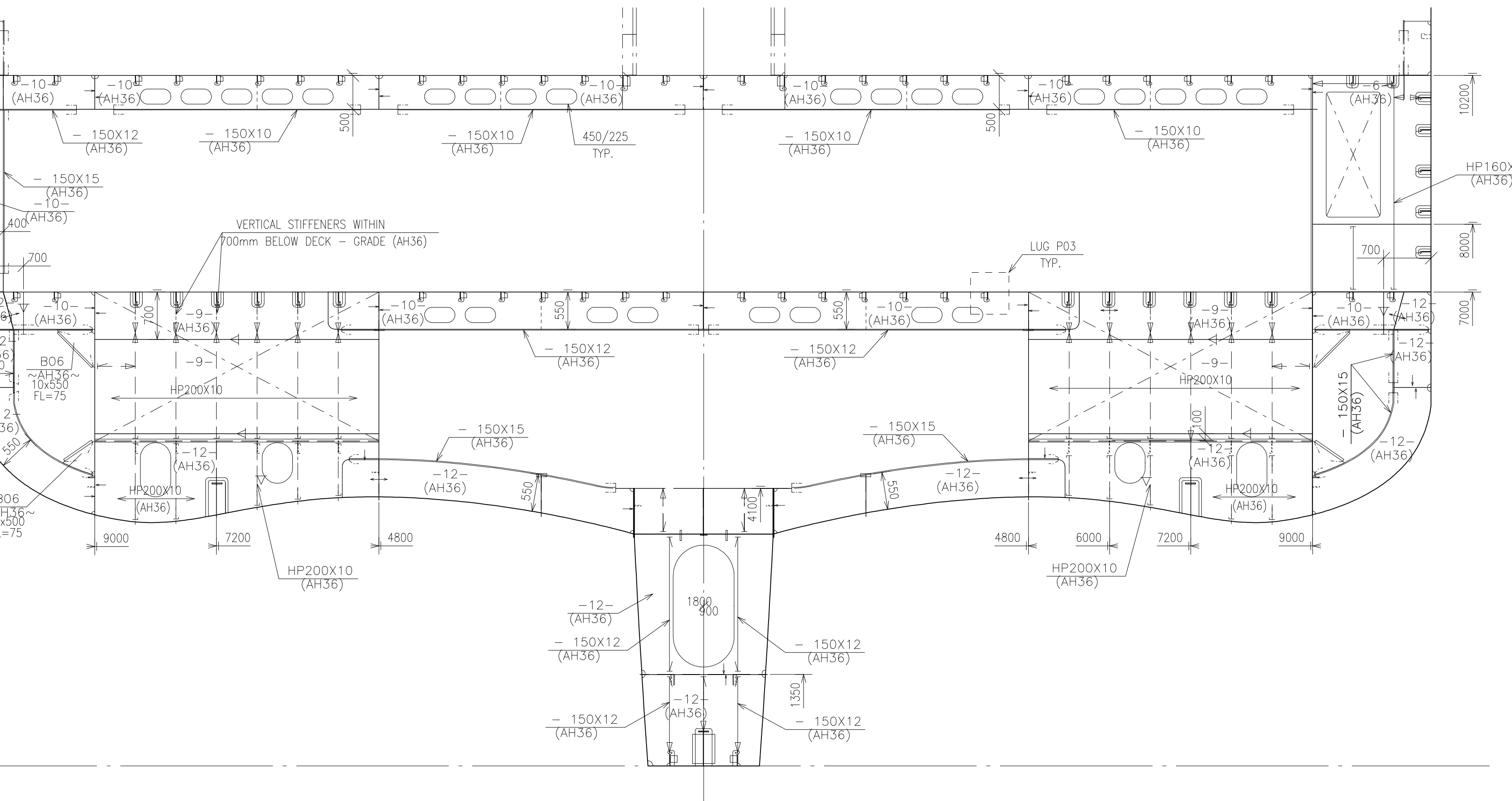


Frame 4

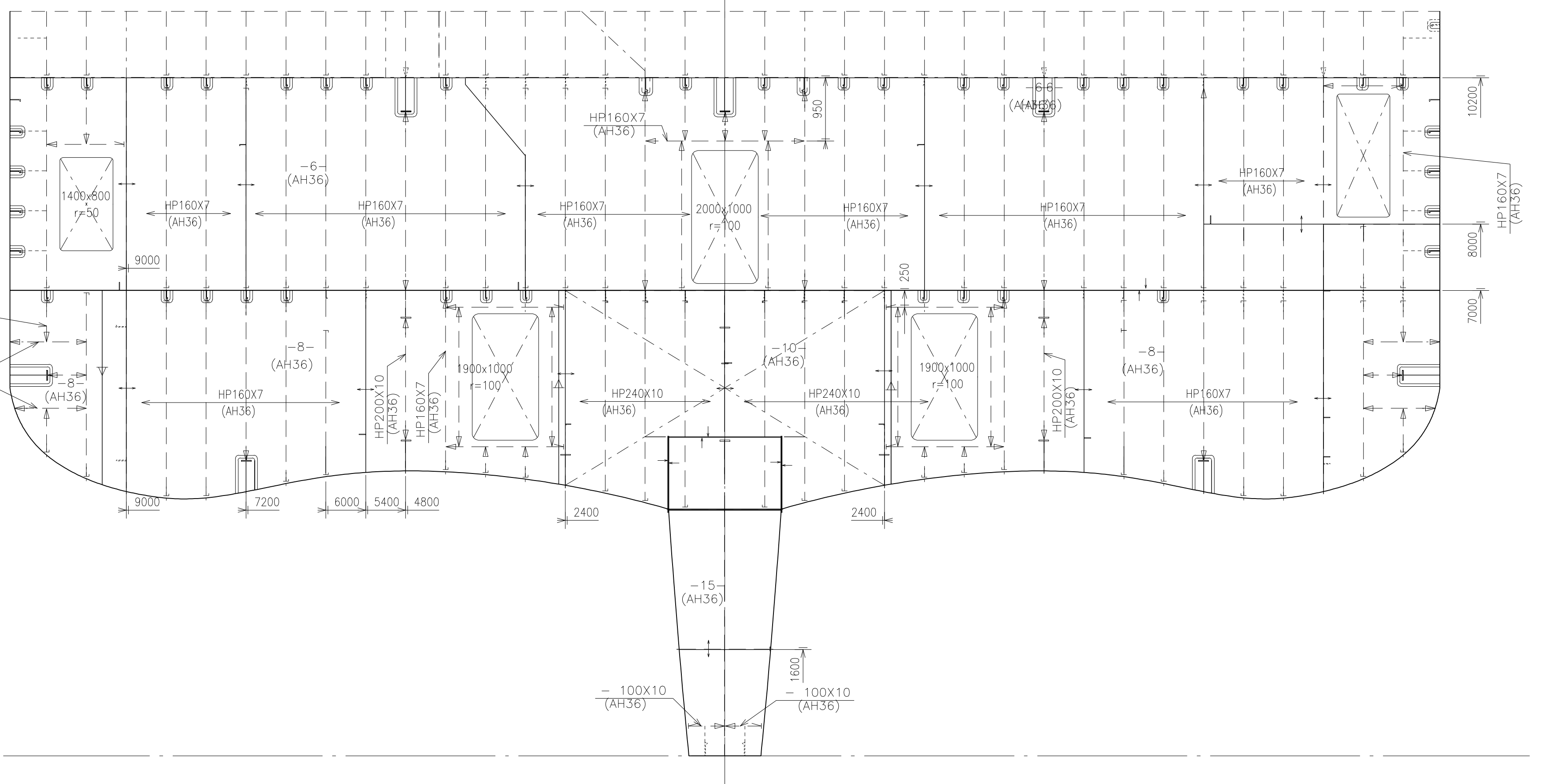
F				
D				
C				
B				
A				
A ISSUED FOR YARD COMMENTS REV. TEXT 11.07.2018 MIDCON DRAWN CHECK APP.				
THIS DRAWING IS THE PROPERTY OF LMG MARIN AS. THE DRAWING SHALL NOT BE DISCLOSED TO ANY THIRD PARTY WITHOUT THE WRITTEN PRIOR CONSENT OF LMG MARIN AS.				
DESIGNER	LMG MARIN AS	YARD DRAWING NO.	369005-DW-210-N-LMG-00001	PROJECT TYPE
OWNER	Quark Expeditions®	YARD DWG. NO.	31-210-300 / 318064	DOC. TYPE
REPLACEMENT FOR		REPLACEMENT FOR		SEQUENCING
DOC. TOOL	ACAD 2010	PRIMARY SCALE	1:50	SHEET SIZE
		SHEET	A0	6 of 9
AFT SHIP				



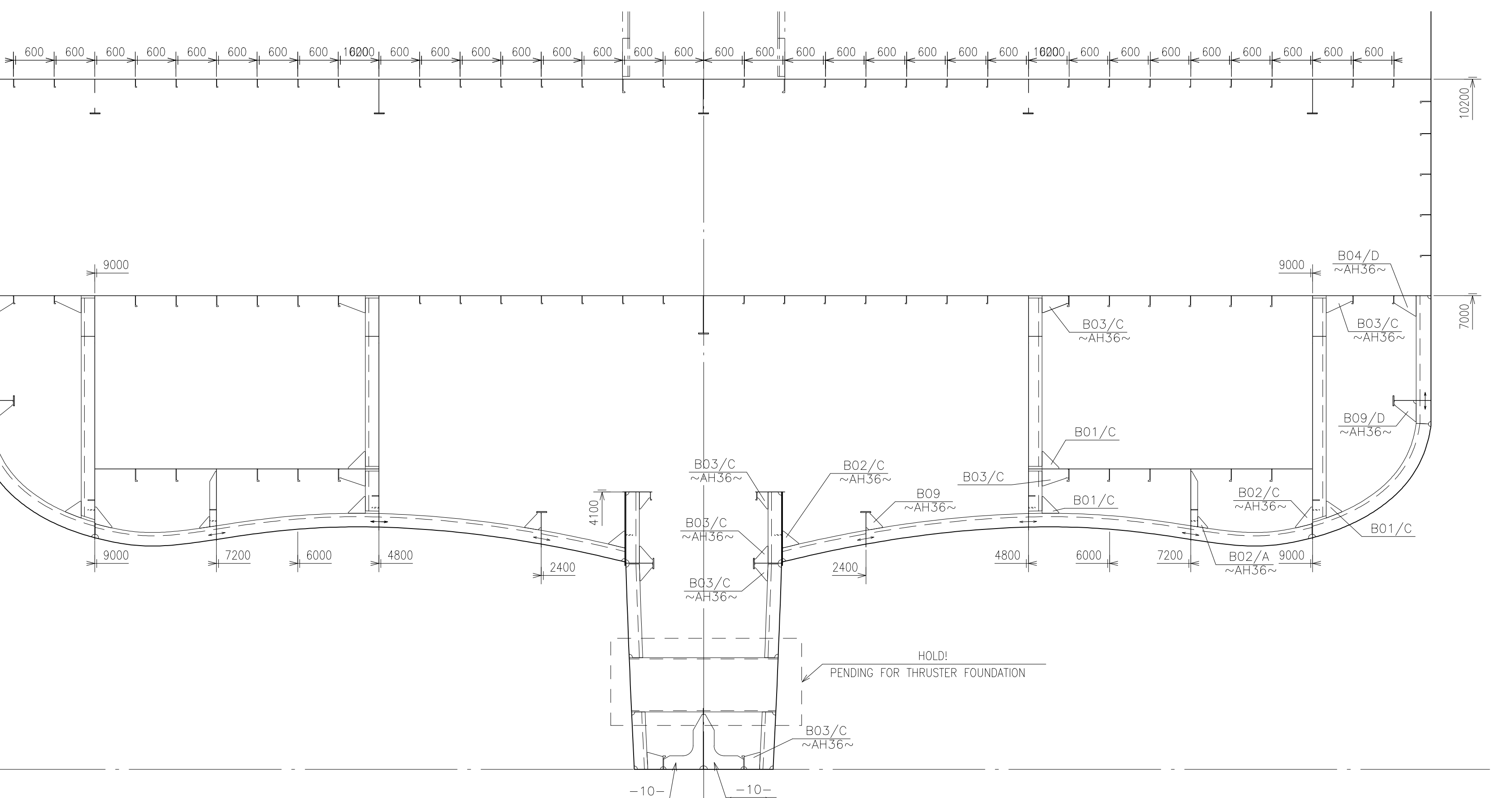
Frame 5



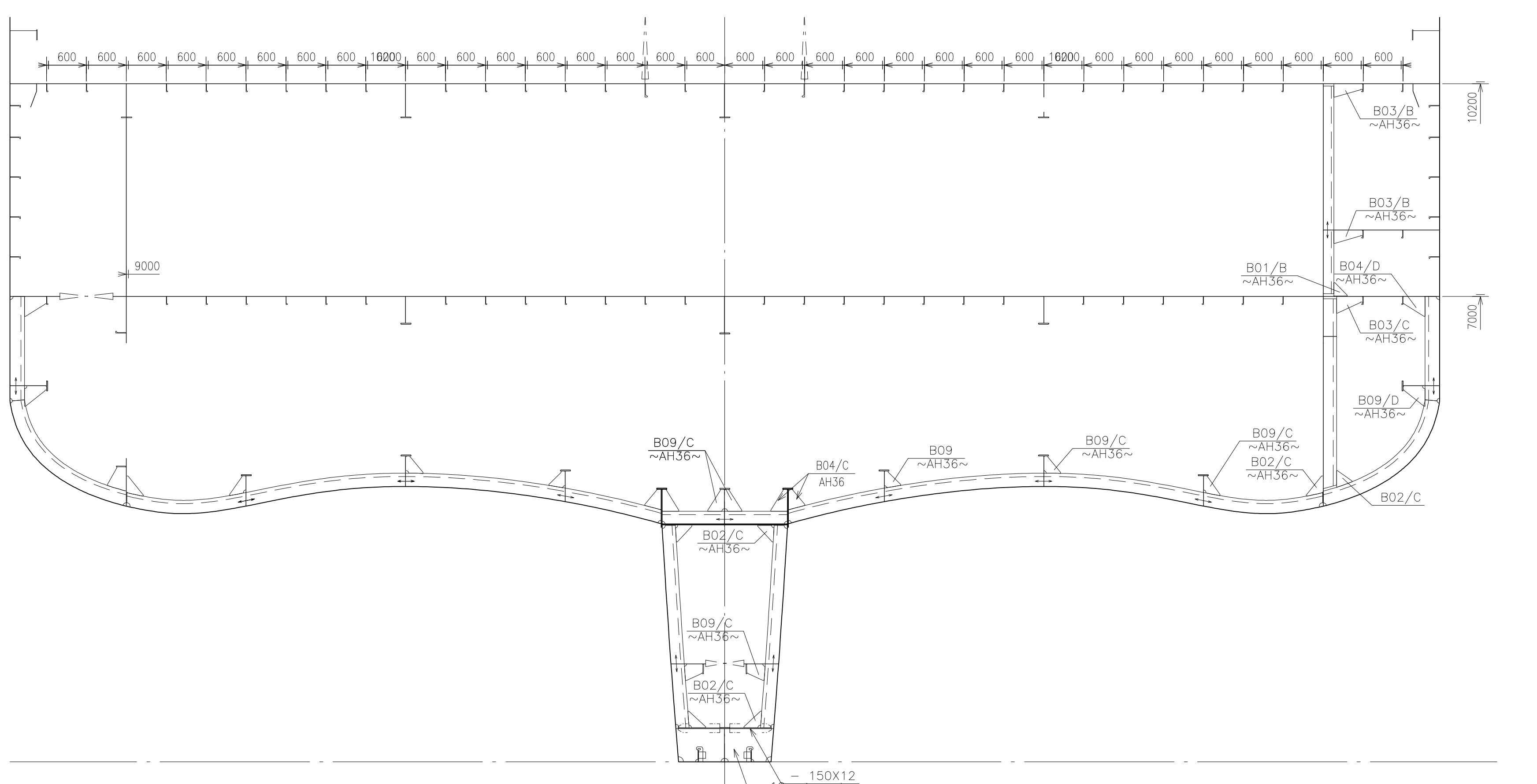
Frame 8



Frame 6

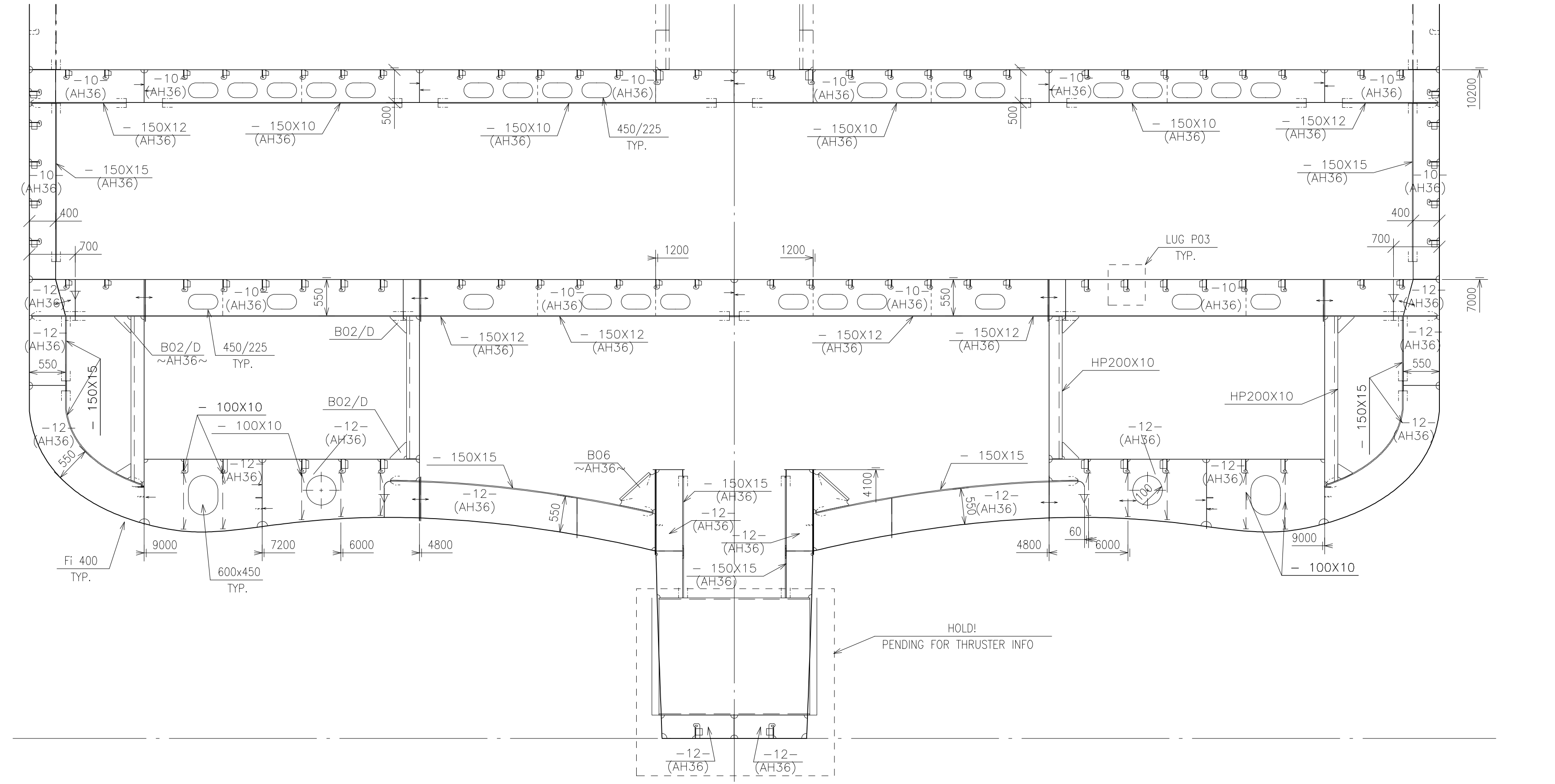


Frame 10

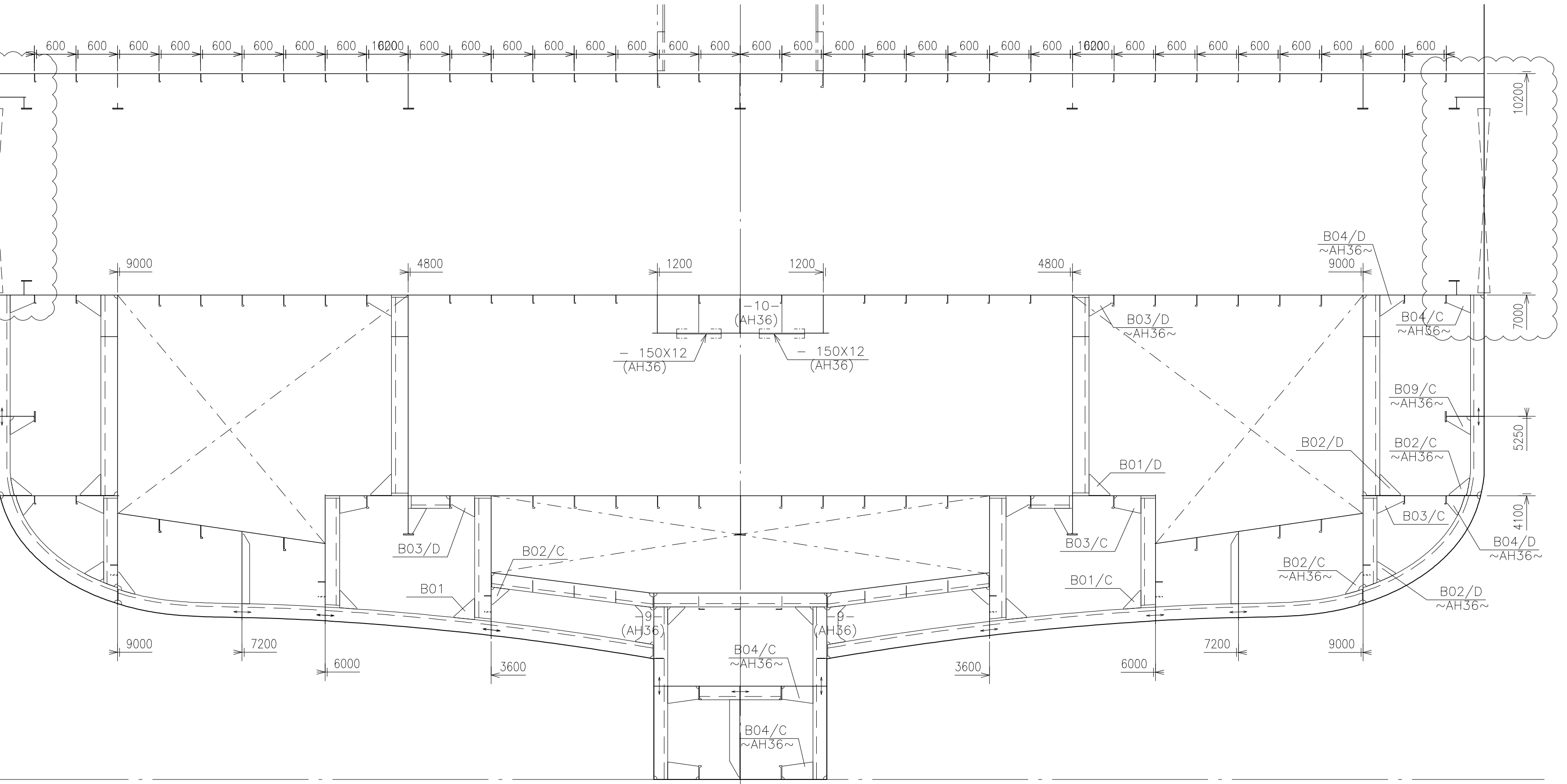


Frame 7
-10-
(AH36)

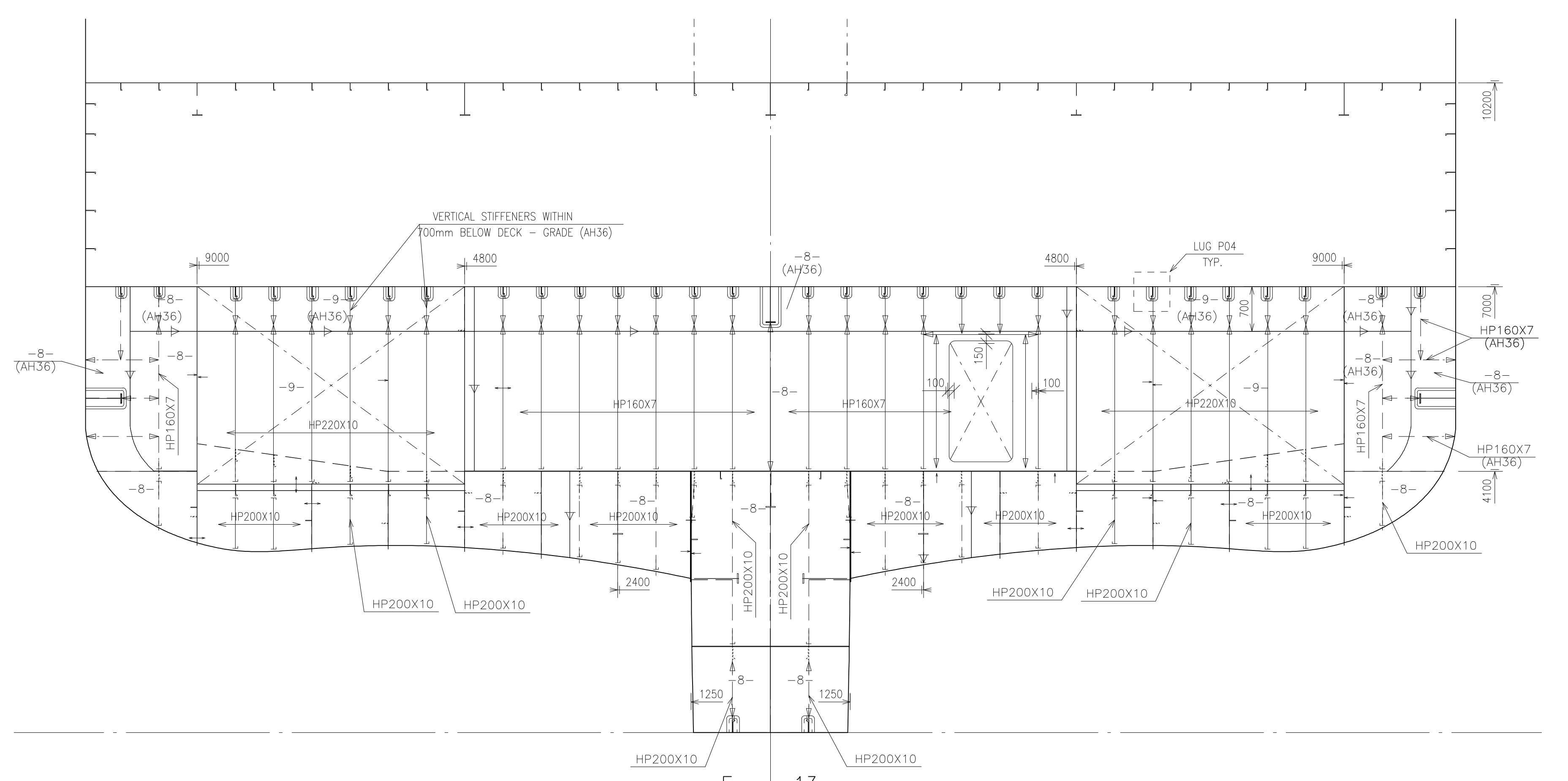
E									
D									
C									
B									
A	ISSUED FOR YARD COMMENTS				11.07.2018	MIDCON	SNL	PEMA	
REV.	TEXT				REV.DATE	DRAWN	CHECK.	APP.	
THIS DRAWING IS THE PROPERTY OF LMG MARIN AS. THE DRAWING SHALL NOT BE DISCLOSED TO ANY THIRD PARTY WITHOUT THE WRITTEN PRIOR CONSENT OF LMG MARIN AS.									
DESIGNER	 LMG MARIN		YARD	 BRODOSPLIT <small>BRODOGRADEVNA INDUSTRIJA SPLIT d.d.</small>					
OWNER	 Quark Expeditions <small>The Leader in Polar Adventures</small>		LMG MARIN AS DRAWING NO. 369005-DW-210-N-LMG-00001						
			PROJECT NO.	DOC. TYPE	SFI NO.	DISC. CODE	ORIGINATOR CODE	SEQUENTIAL NO.	A
ARD DWG. NO.	01-210-300 / 318064		TITLE AFT SHIP						
REPLACEMENT FOR: -									
CAD TOOL ACAD 2015	PRIMARY SCALE 1:50	SHEET SIZE A0	SHEET 7 of 9						



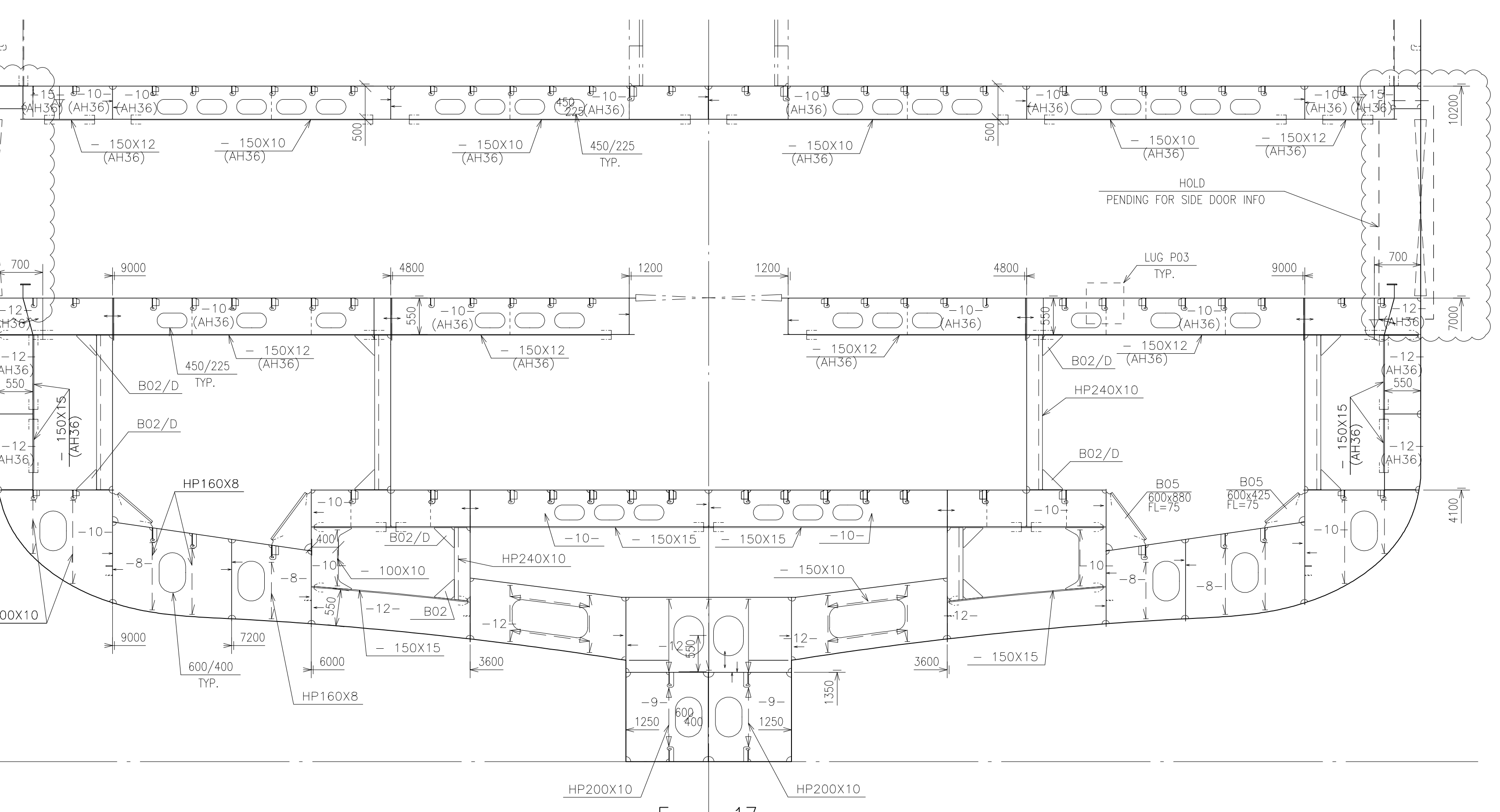
Frame 11



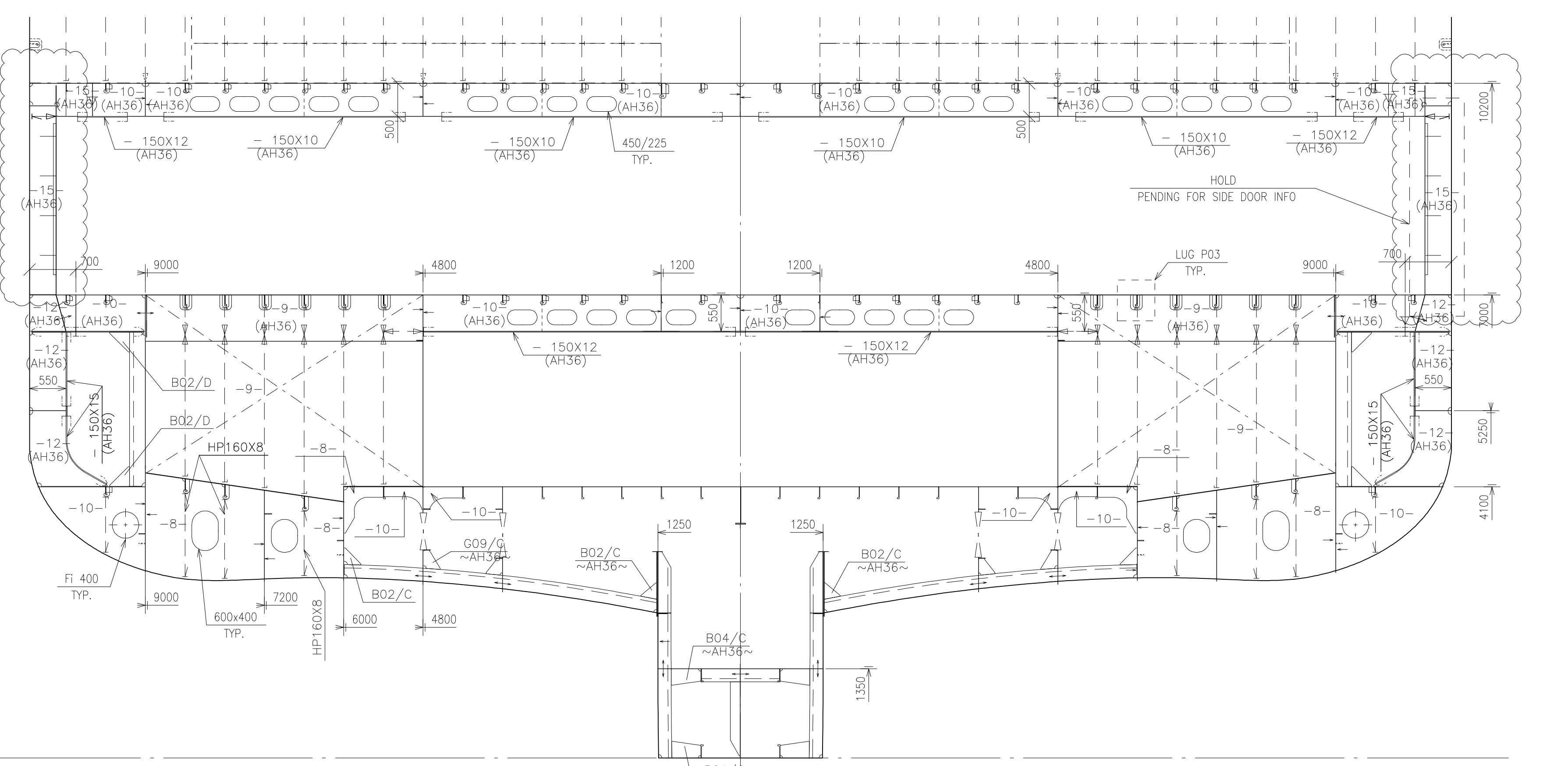
Frame 16



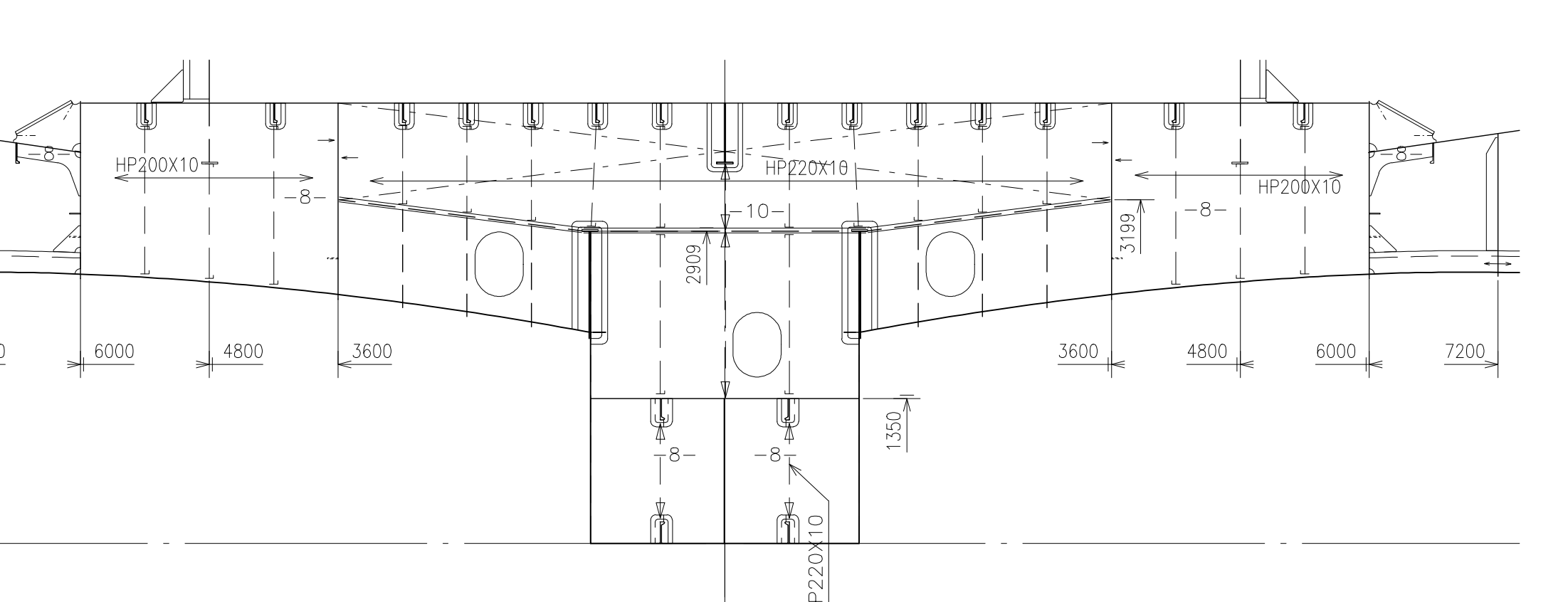
Frame 13



Frame 17



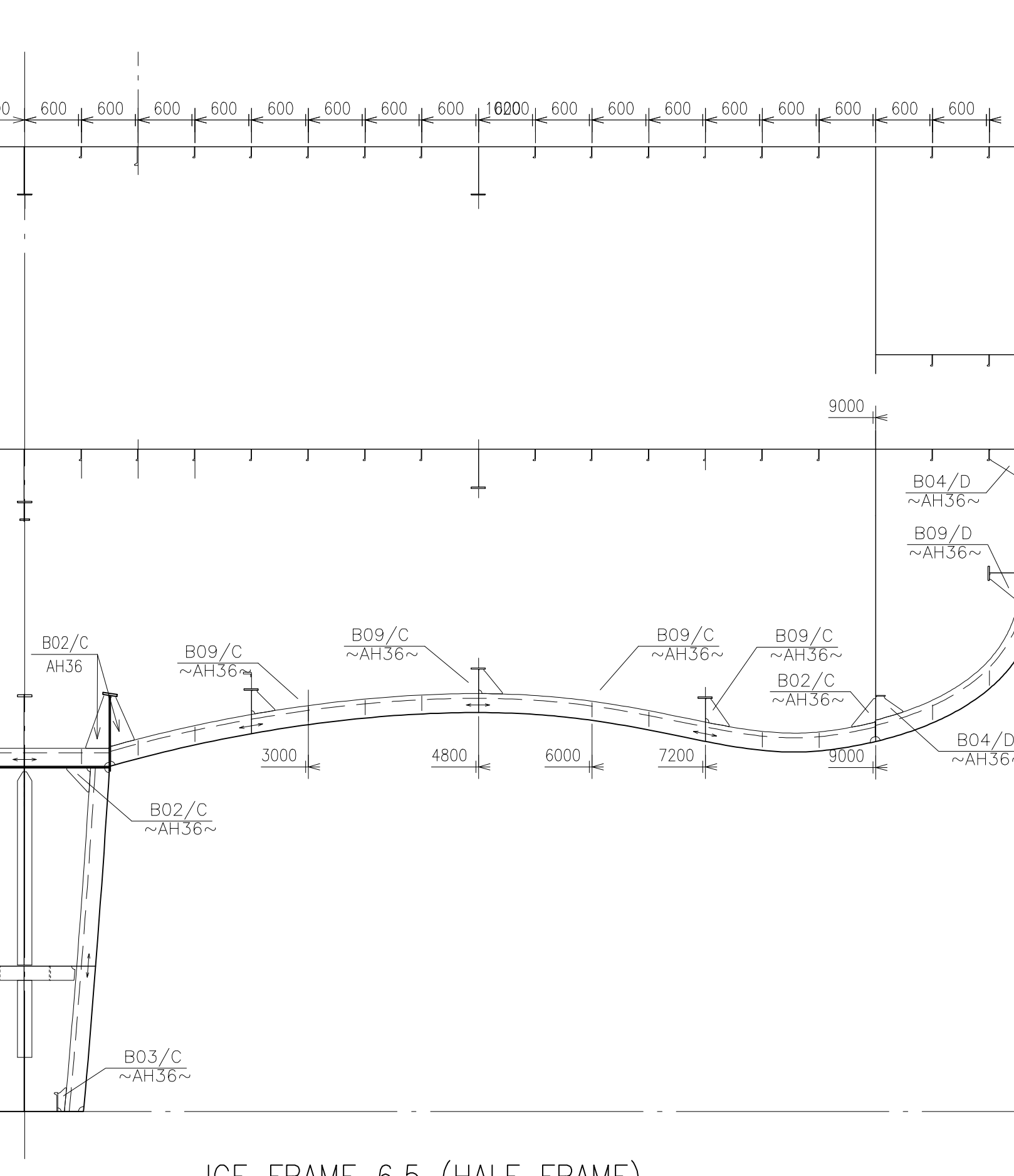
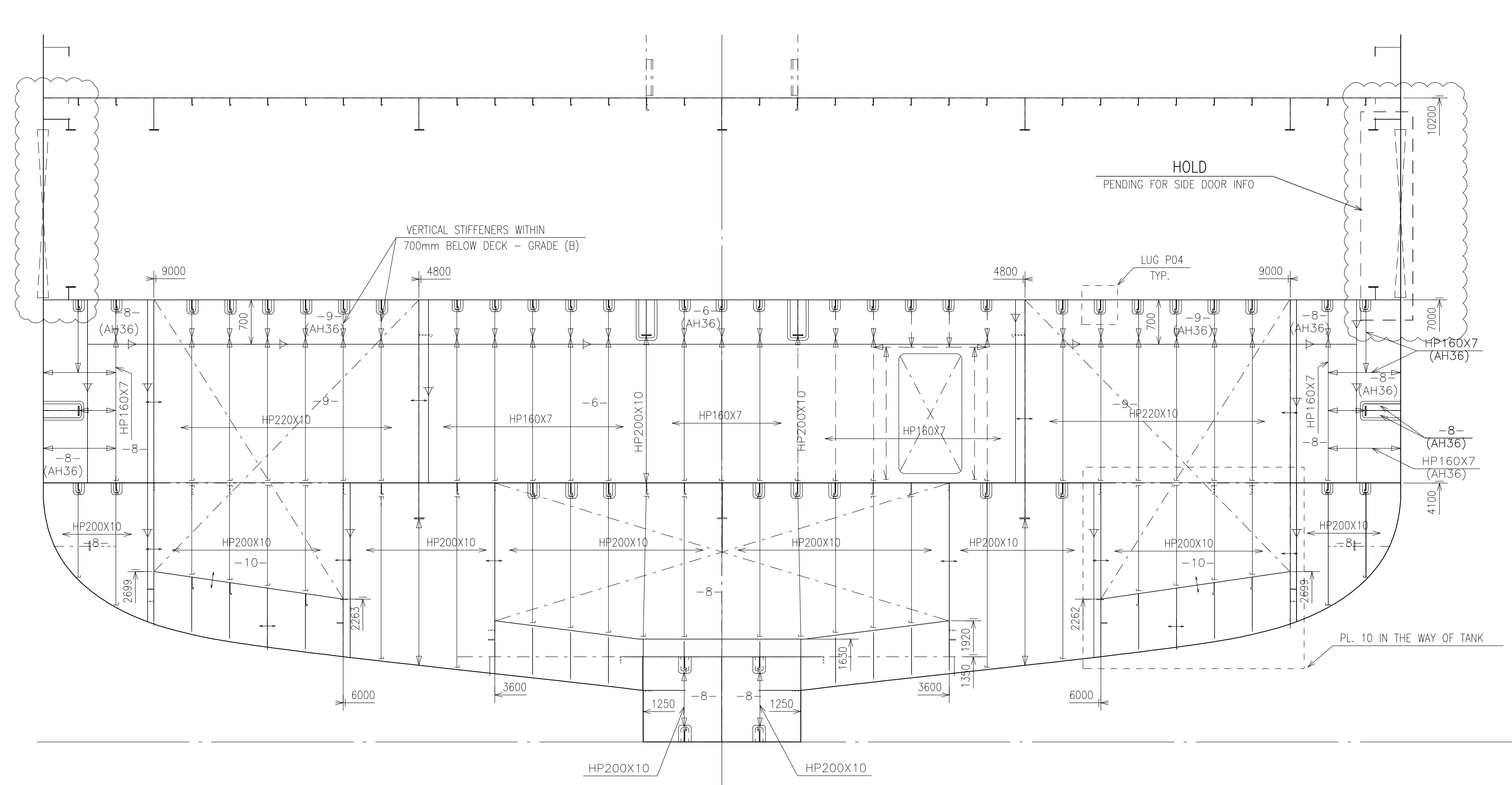
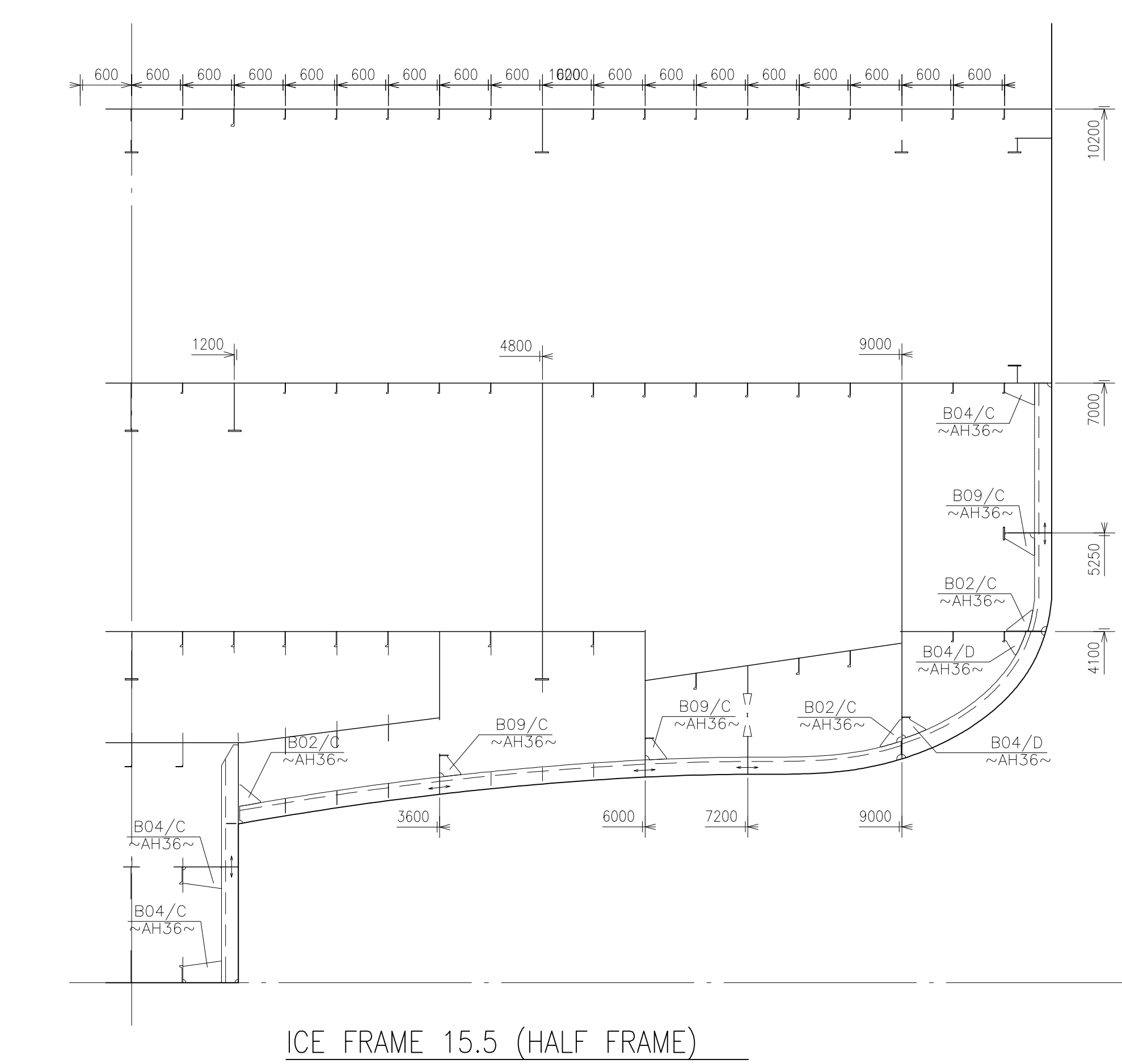
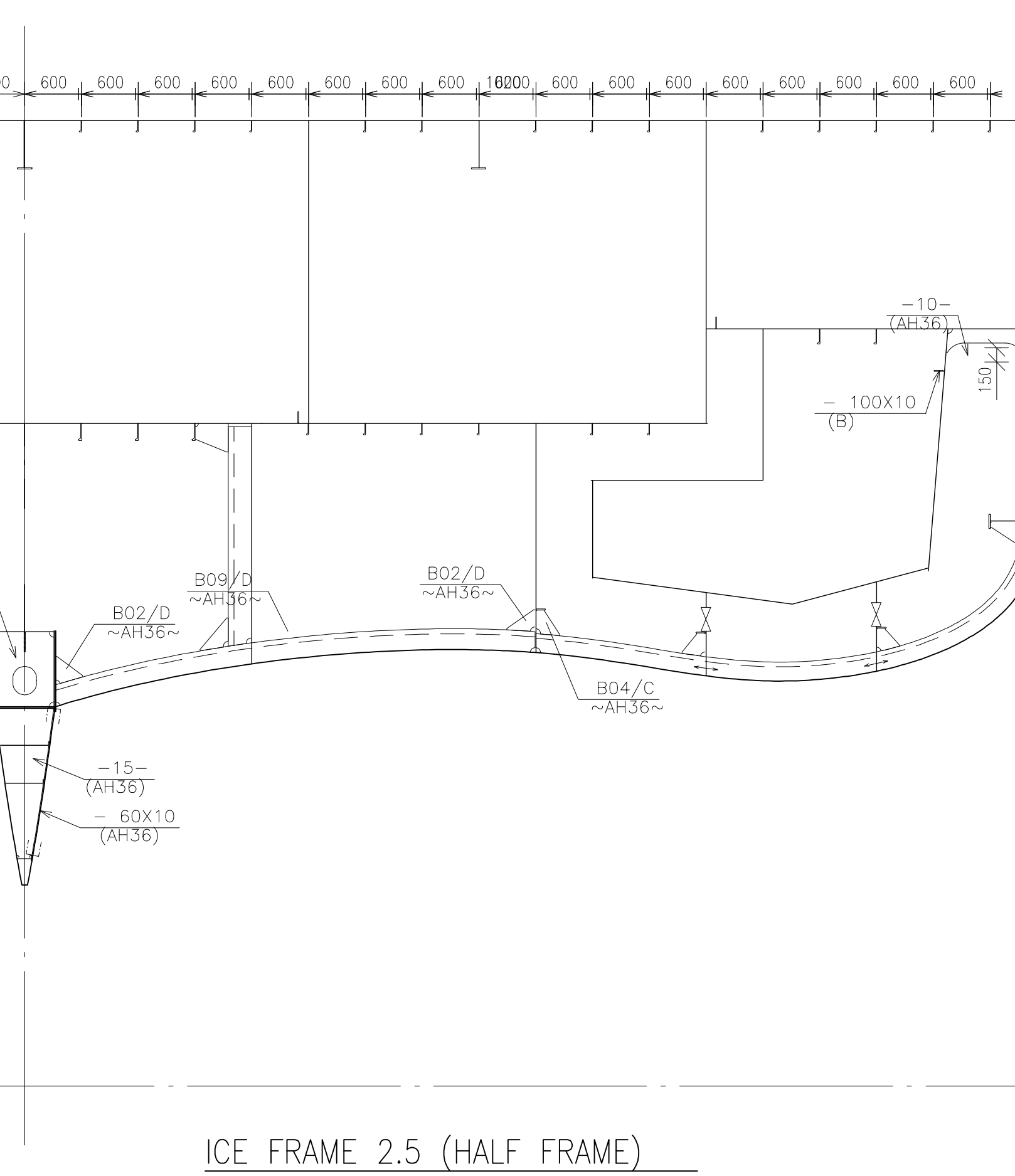
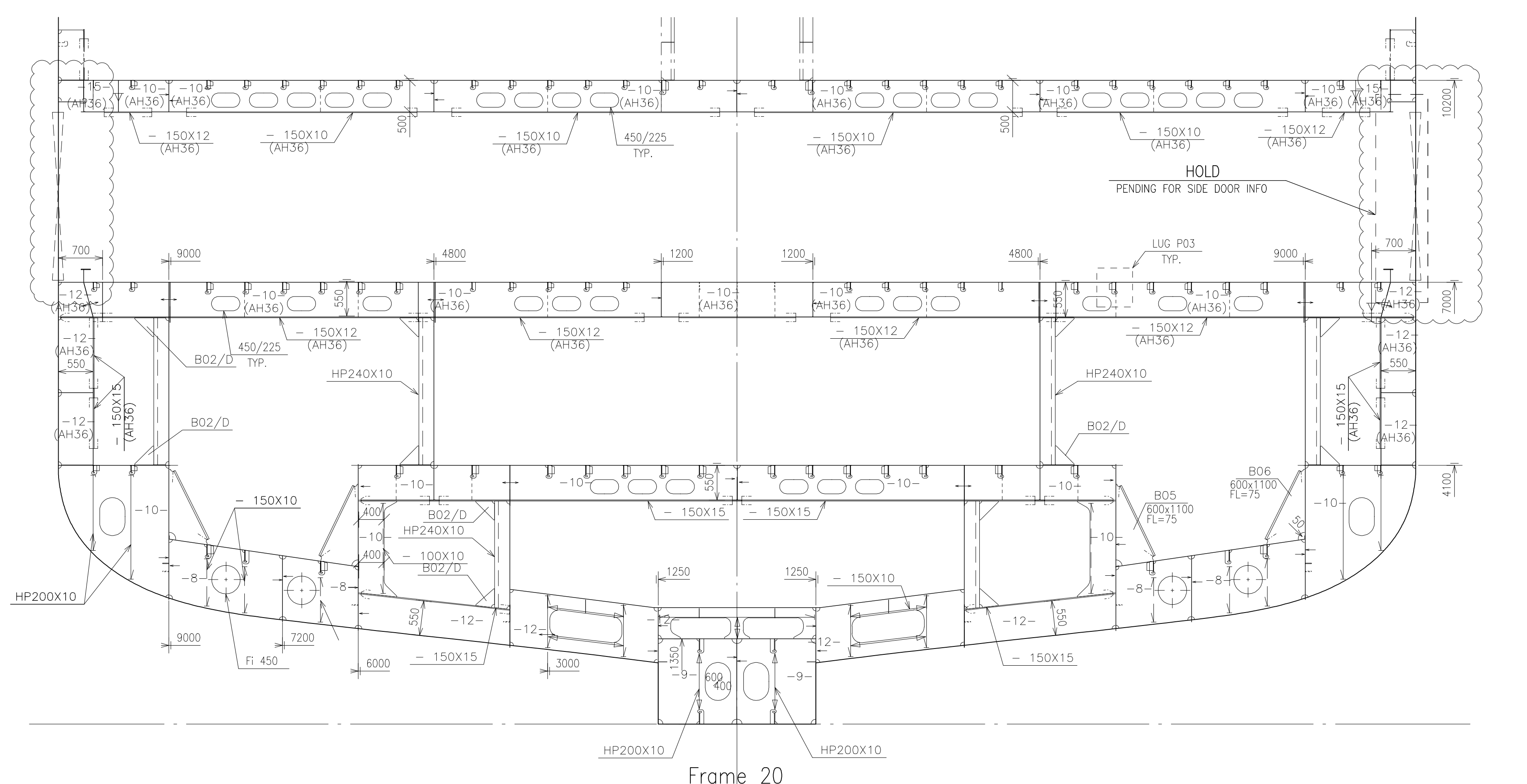
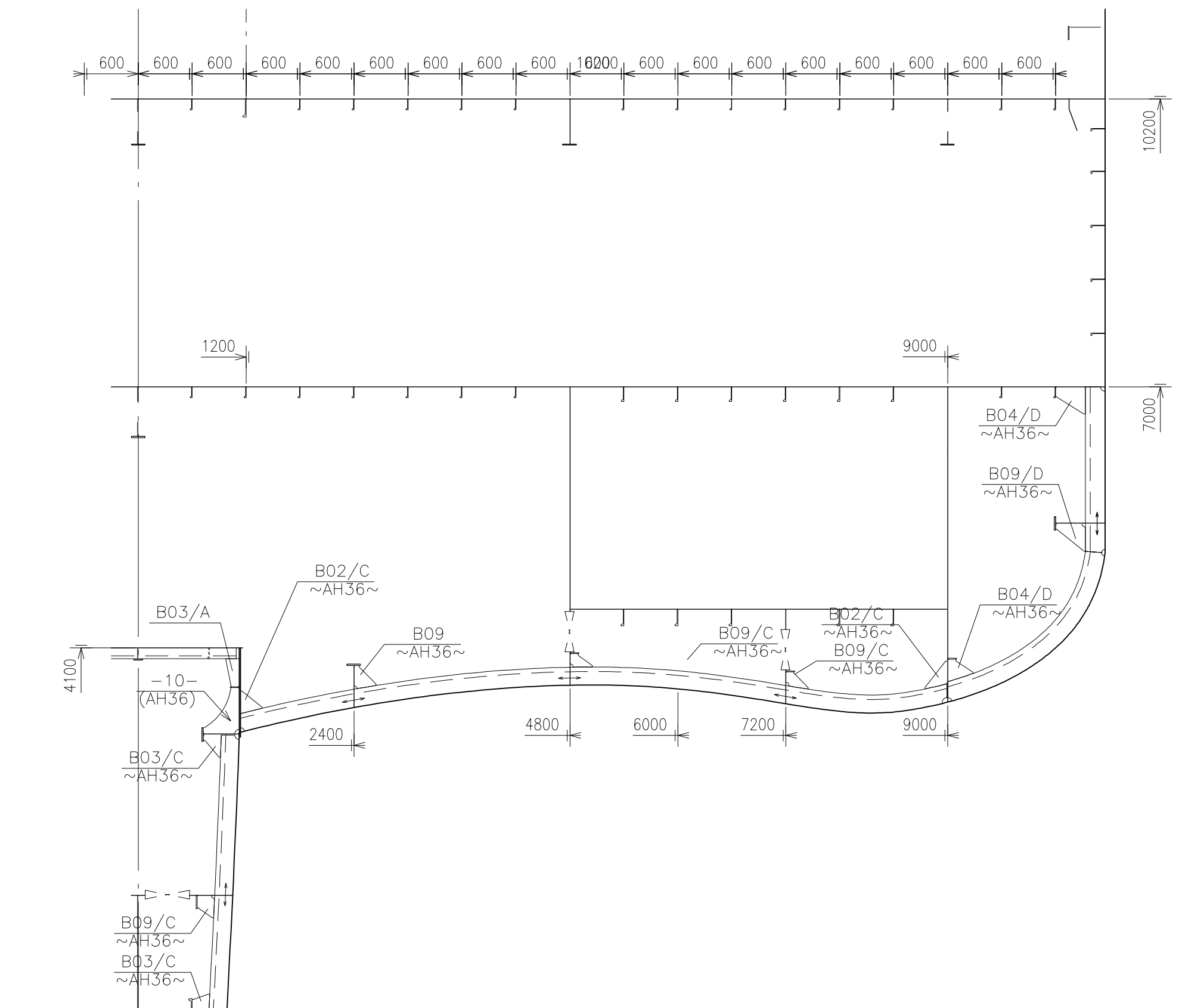
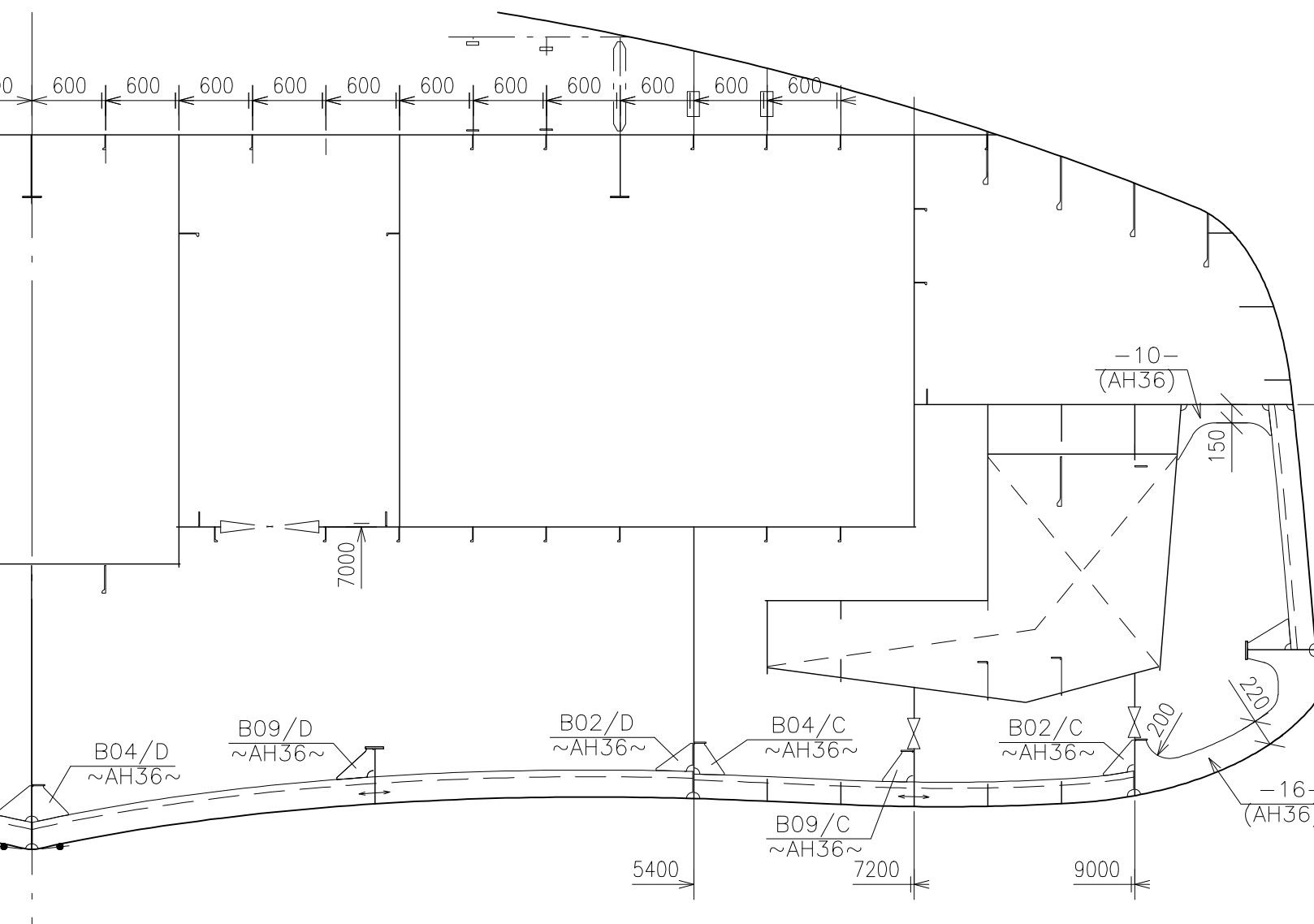
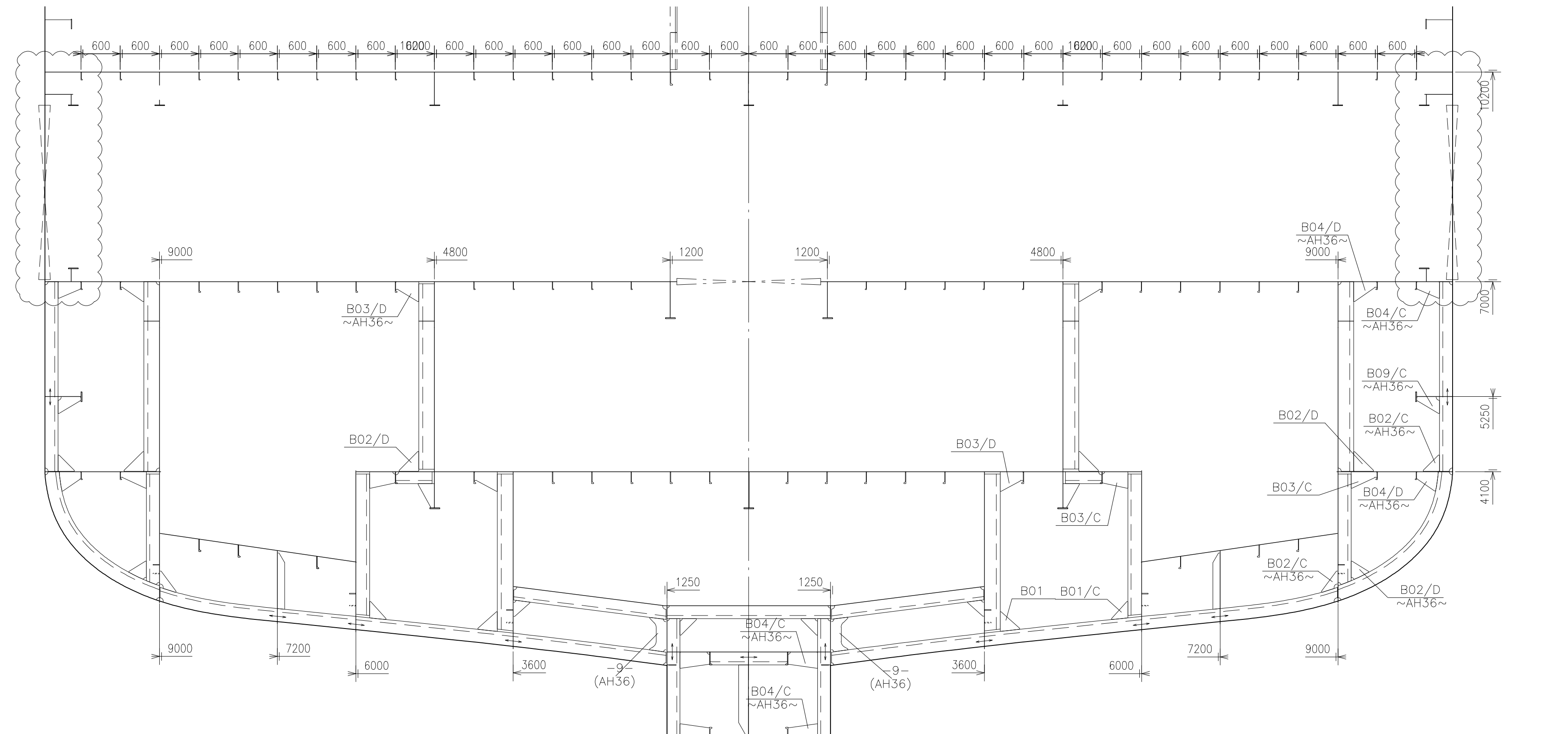
Frame 14



Frame 15

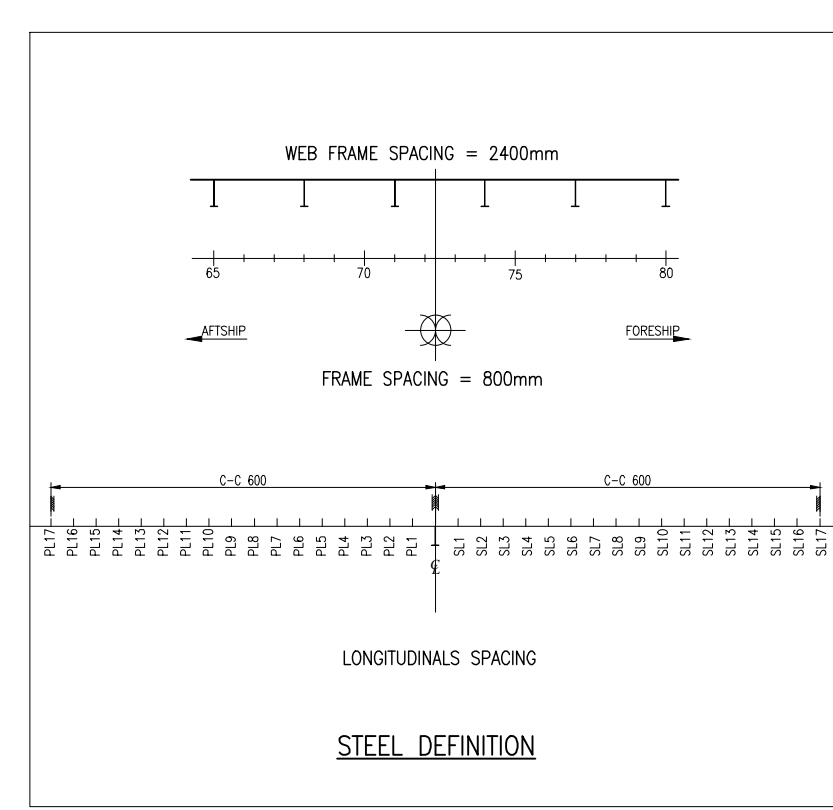
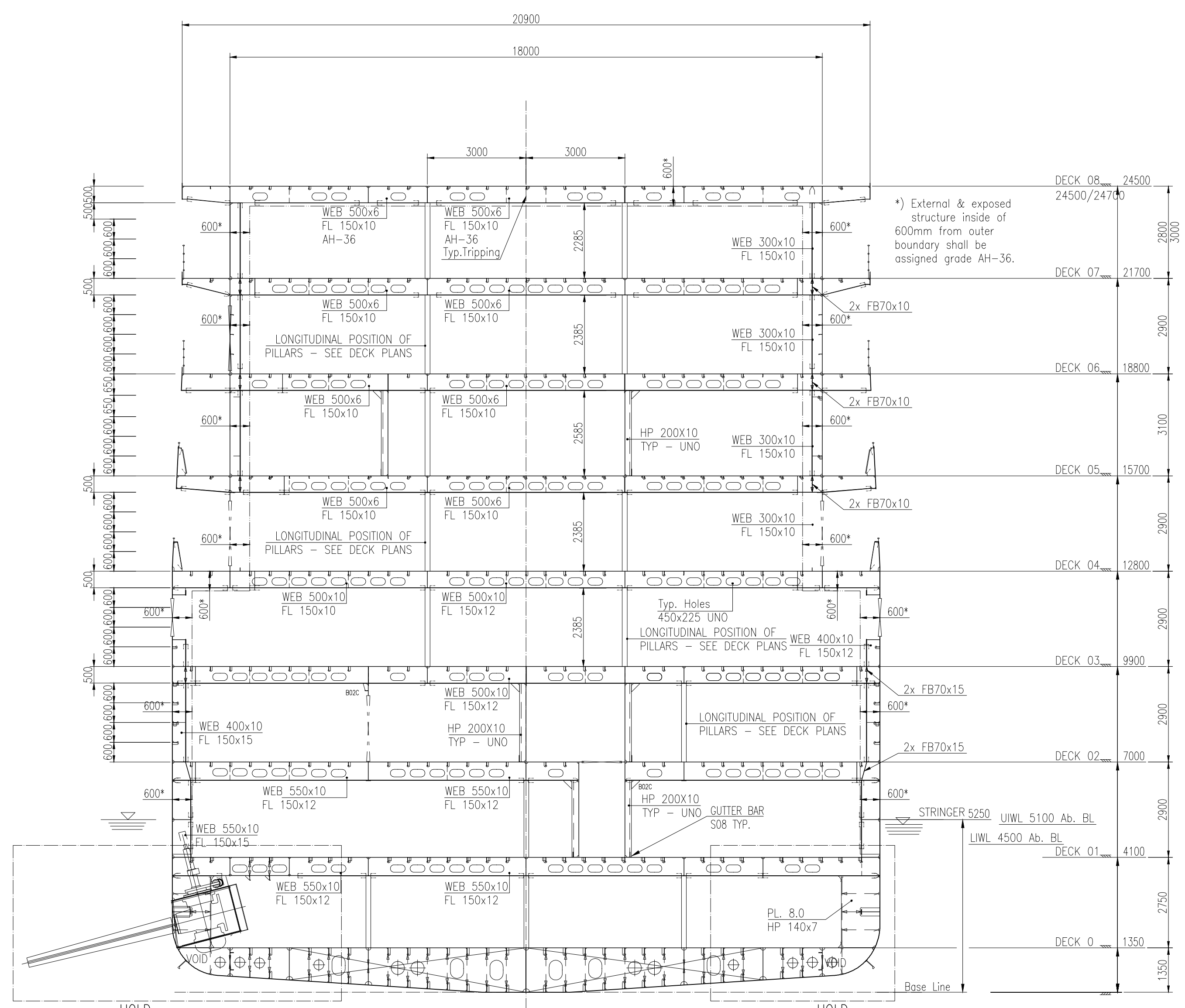
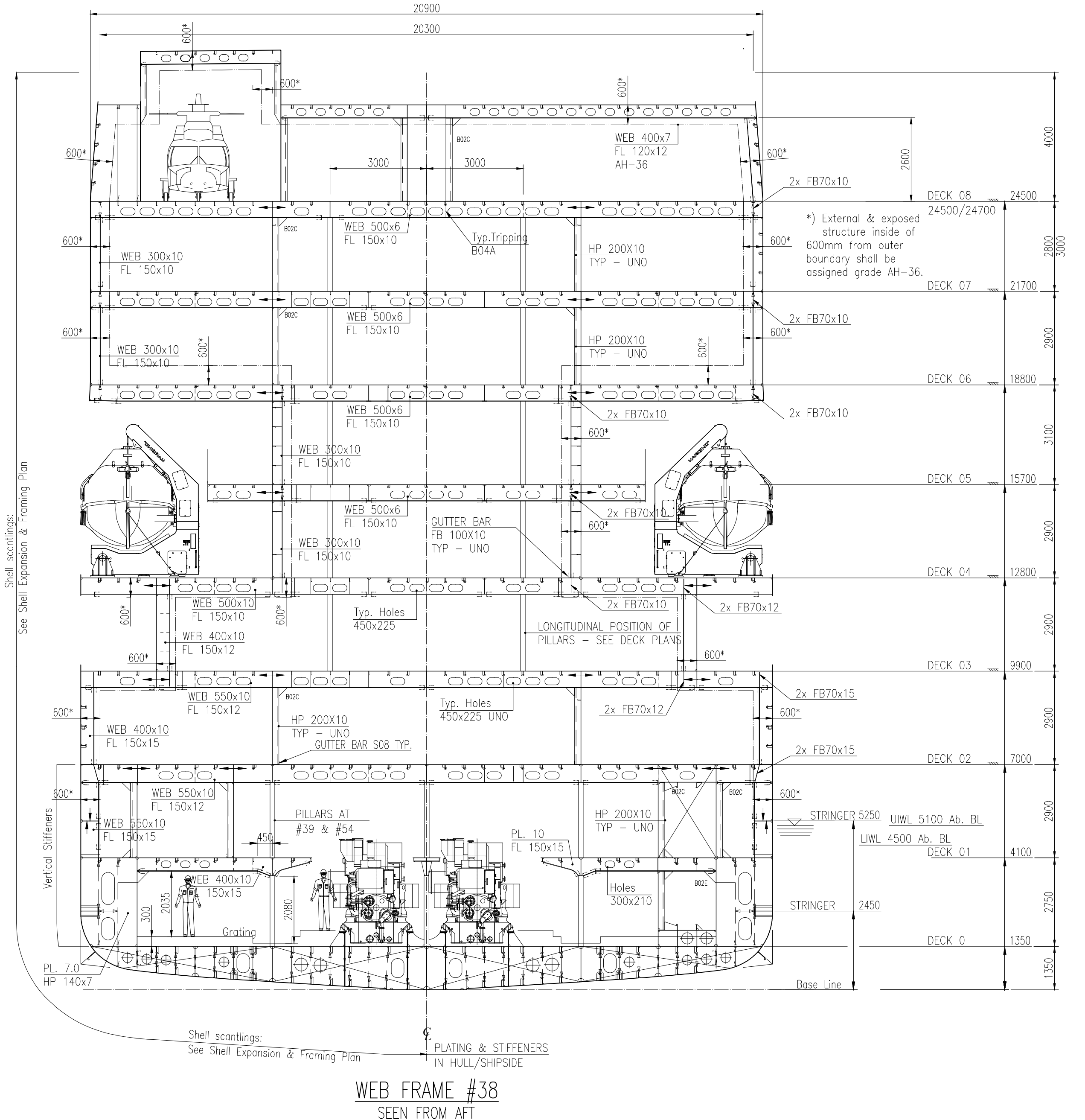
F	D	C	B	A
				ISSUED FOR YARD COMMENTS
				REV. TEXT
				11.07.2018 MIDCON SRL PEMA
				THIS DRAWING IS THE PROPERTY OF LMG MARIN AS. THE DRAWING SHALL NOT BE DISCLOSED TO ANY THIRD PARTY WITHOUT THE WRITTEN PRIOR CONSENT OF LMG MARIN AS.
DESIGNER	LMG MARIN AS	BRODOSPLAT		
OWNER	Quark Expeditions®	The Leader in Polar Adventures		
YARD DWG. NO.	369005-DW-210-N-LMG-00001			
PROJECT NO.	369005	DOC TYPE	SPN	
REPLACEMENT FOR	369005-DW-210-300 / 318064	DISC. ORIGINATOR	SEQUENTIAL	
DATE TOOL	ACAD 2010	SHEET SIZE	A0	
		8 of 9		

AFT SHIP



F								
D								
E								
C								
B								
A								
12	11	10	9	8	7	6	5	4

LMG MARIN AS DRAWING NO. 369005-DW-210-N-LMG-00001
YARD DWG. NO. 31-210-300 / 318064
REPLACEMENT FOR: 31-210-300 / 318064
DRAWN BY: LMG MARIN AS
DESIGNER: LMG MARIN AS
OWNER: Quark Expeditions®
PROJECT: LMG 200 PCS, YARD P1357/NB487
SHIP TYPE: EXPEDITION SHIP
SEQUENTIAL: AFT SHIP
DRAWN DATE: 11.07.2018
DRAWN BY: MDCON
DRAWN CHECKED BY: SNI
DRAWN APPROVED BY: PEMA
REV. TEXT: ISSUED FOR YARD COMMENTS
THIS DRAWING IS THE PROPERTY OF LMG MARIN AS. THE DRAWING SHALL NOT BE DISCLOSED TO ANY THIRD PARTY WITHOUT THE WRITTEN PRIOR CONSENT OF LMG MARIN AS.
DRAWN FOR: BRODOSPLIT BRODOSPLIT POLSKA Sp. z o.o.
DRAWN BY: LMG MARIN AS
DRAWN DATE: 11.07.2018
DRAWN BY: MDCON
DRAWN CHECKED BY: SNI
DRAWN APPROVED BY: PEMA
REV. TEXT: ISSUED FOR YARD COMMENTS
THIS DRAWING IS THE PROPERTY OF LMG MARIN AS. THE DRAWING SHALL NOT BE DISCLOSED TO ANY THIRD PARTY WITHOUT THE WRITTEN PRIOR CONSENT OF LMG MARIN AS.



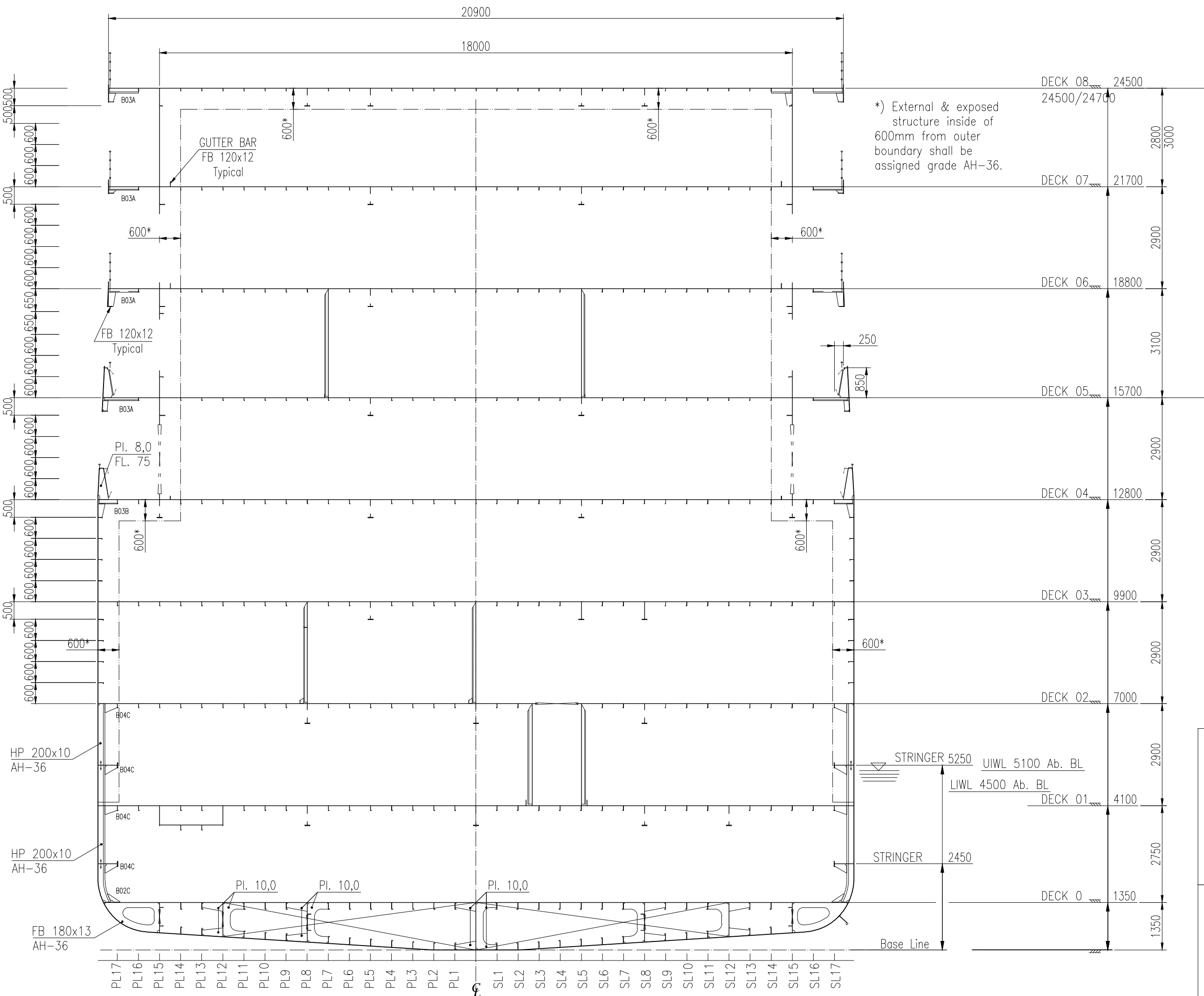
NOTES:

- ALL MATERIALS IN WAY OF ICEBELT TO BE AH-36. SEE SHELL EXPANSION FOR DETAILS.
- EXTERNAL & EXPOSED MATERIAL ABOVE ICE BELT AND IN SUPERSTRUCTURE TO BE AH-36. SEE MATERIAL GRADE PLAN FOR DETAILS.
- ALL OTHER MATERIALS THAN MENTIONED IN NOTE 1&2 ARE TO BE NORMAL STRENGTH MATERIAL WITH GRADE A.
- DETAILS ARE SHOWN ON STANDARD STRUCTURAL DETAILS DRAWING
- WELD REQUIREMENTS ARE SUMMARIZED IN WELDING TABLE

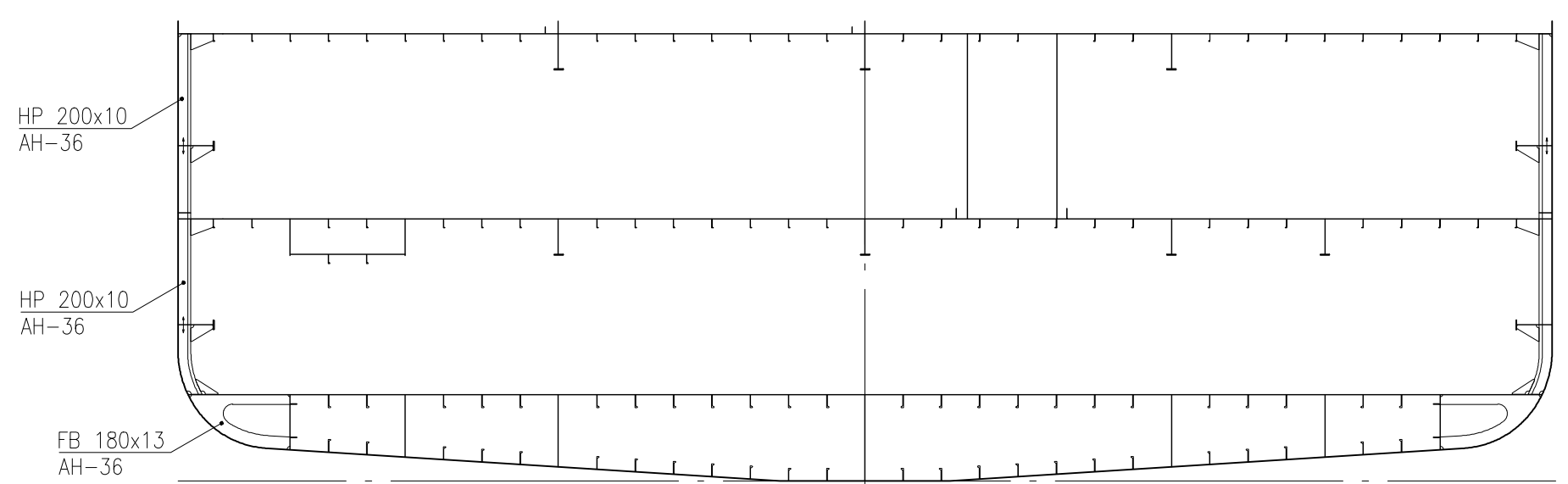
PROJECT REFERENCES:

- 369005-DW-101-C-LMG-00001 GENERAL ARRANGEMENT
- 369005-DW-200-N-LMG-00003 TYPICAL STRUCTURAL DETAILS
- 369005-DW-230-N-LMG-00002 PROFILE AND DECKS PLAN
- 369005-DW-230-N-LMG-00003 SHELL EXPANSION & FRAMING PLAN
- 369005-DW-236-N-LMG-00001 TRANSVERSE SECTIONS
- 369005-DW-237-N-LMG-00001 LONGITUDINAL SECTIONS
- 369005-DW-200-N-LMG-00002 MATERIAL GRADE PLAN
- 369005-DW-200-N-LMG-00004 WELDING TABLE

E				
D				
C				
B				
A	ISSUED FOR YARD COMMENTS	03.07.2018	Midcon	HLE PEMA
REV.	TEXT	REV.DATE	DRAWN	CHECK APP.
THIS DRAWING IS THE PROPERTY OF LMG MARIN AS. THE DRAWING SHALL NOT BE DISCLOSED TO ANY THIRD PARTY WITHOUT THE WRITTEN PRIOR CONSENT OF LMG MARIN AS.				
DESIGNER		YARD	LMG MARIN AS DRAWING NO.	
Quark Expeditions* The Leader in Polar Adventures.		BRODOSPLIT	PROJECT NO.	DOC. TYPE
01-230-301 / 318067		REPLACEMENT FOR:	SFI. NO.	DISC. CODE
CAD TOOL: ACAD 2015		PRIMARY SCALE: 1:100	SHEET SIZE: A1	SEQUENTIAL NO.: 1 of 3
PROJECT LMG 200 PCS, YARD P1357/NB487 EXPEDITION SHIP				
TITLE: MIDSHIP SECTION				



ORDINARY FRAME #73
SEEN FROM AFT



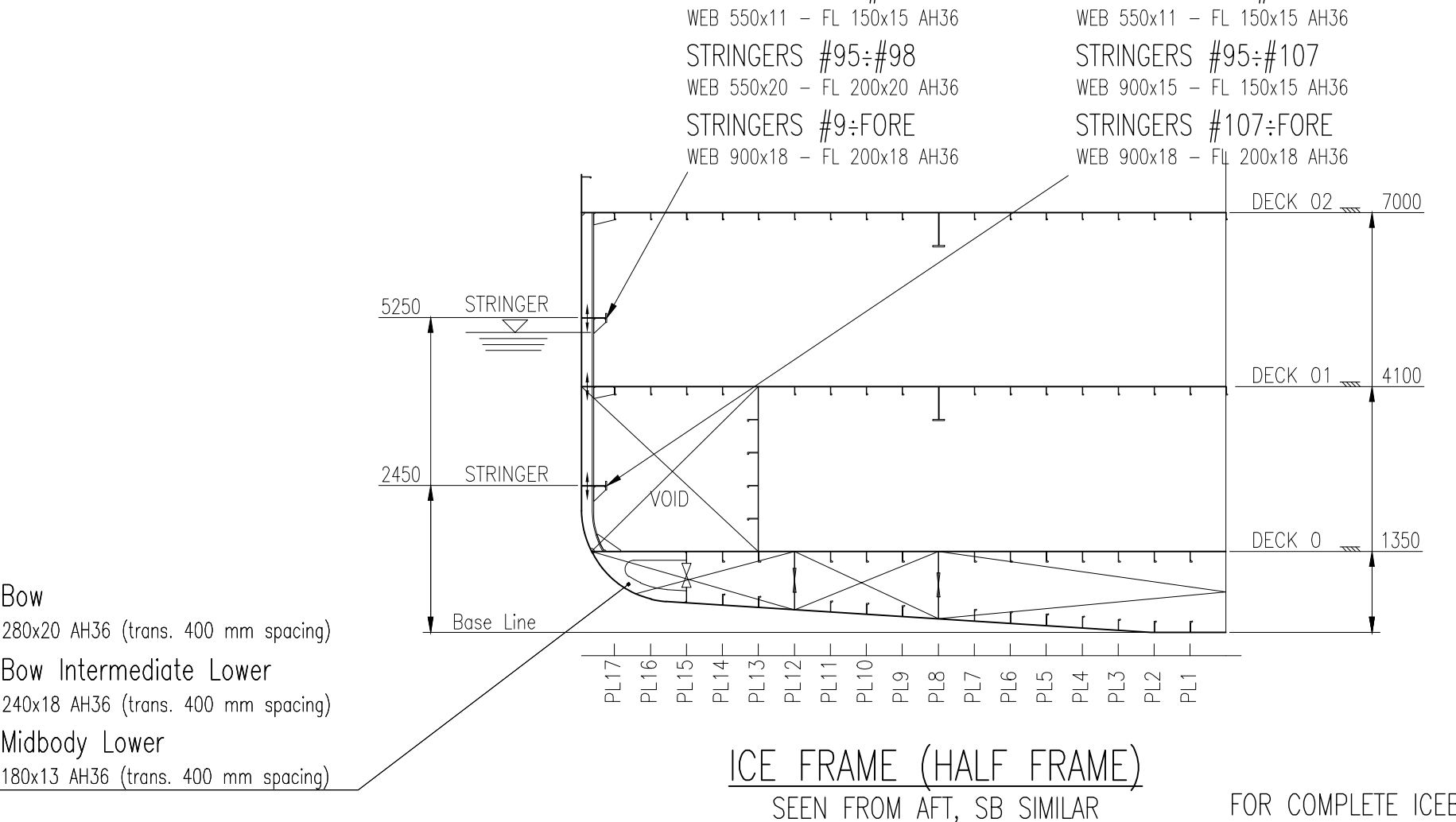
ICE FRAME #73+400
SEEN FROM AFT

INTERNAL BULKHEADS - DECK 01
TRANSVERSE WT BULKHEADS: PLATE 6.0 - STIFFENERS; HP 160X7
LONGITUDINAL WT BULKHEADS: PLATE 7.0 - STIFFENERS; HP 160X7
FW TANKS, TRANSVERSE BULKHEADS: PLATE 7.0 - STIFFENERS HP 200X10
FW TANKS, LONGITUDINAL BULKHEADS: PLATE 9.0 - STIFFENERS HP 220X10
TANKS IN ER, TRANSVERSE BULKHEADS: PLATE 7.0 - STIFFENERS HP 180X8
ORDINARY TRANSVERSE BULKHEADS: PLATE 6.0 - STIFFENERS; HP 120X6
ORDINARY LONGITUDINAL BULKHEADS: PLATE 7.0 - STIFFENERS; HP 120X6

INTERNAL BULKHEADS - DECK 0
TRANSVERSE WT BULKHEADS: PLATE 6.0 - STIFFENERS; HP 200X10
LONGITUDINAL WT BULKHEADS: PLATE 7.0 - STIFFENERS; HP 200X10
WB TANKS, TRANSVERSE BULKHEADS: PLATE 10.0 - STIFFENERS; HP 220X10
WB TANKS, LONGITUDINAL BULKHEADS: PLATE 11.0 - STIFFENERS; HP 220X10
FW TANKS, TRANSVERSE BULKHEADS: PLATE 8.0 - STIFFENERS; HP 200X10
FW TANKS, LONGITUDINAL BULKHEADS: PLATE 10.0 - STIFFENERS; HP 200X10
TANKS IN ER, TRANSVERSE BULKHEADS: PLATE 8.0 - STIFFENERS; HP 200X10
ORDINARY TRANSVERSE BULKHEADS: PLATE 10.0 - STIFFENERS; HP 200X10
ORDINARY LONGITUDINAL BULKHEADS: PLATE 6.0 - STIFFENERS; HP 140X7
ORDINARY LONGITUDINAL BULKHEADS: PLATE 7.0 - STIFFENERS; HP 140X7

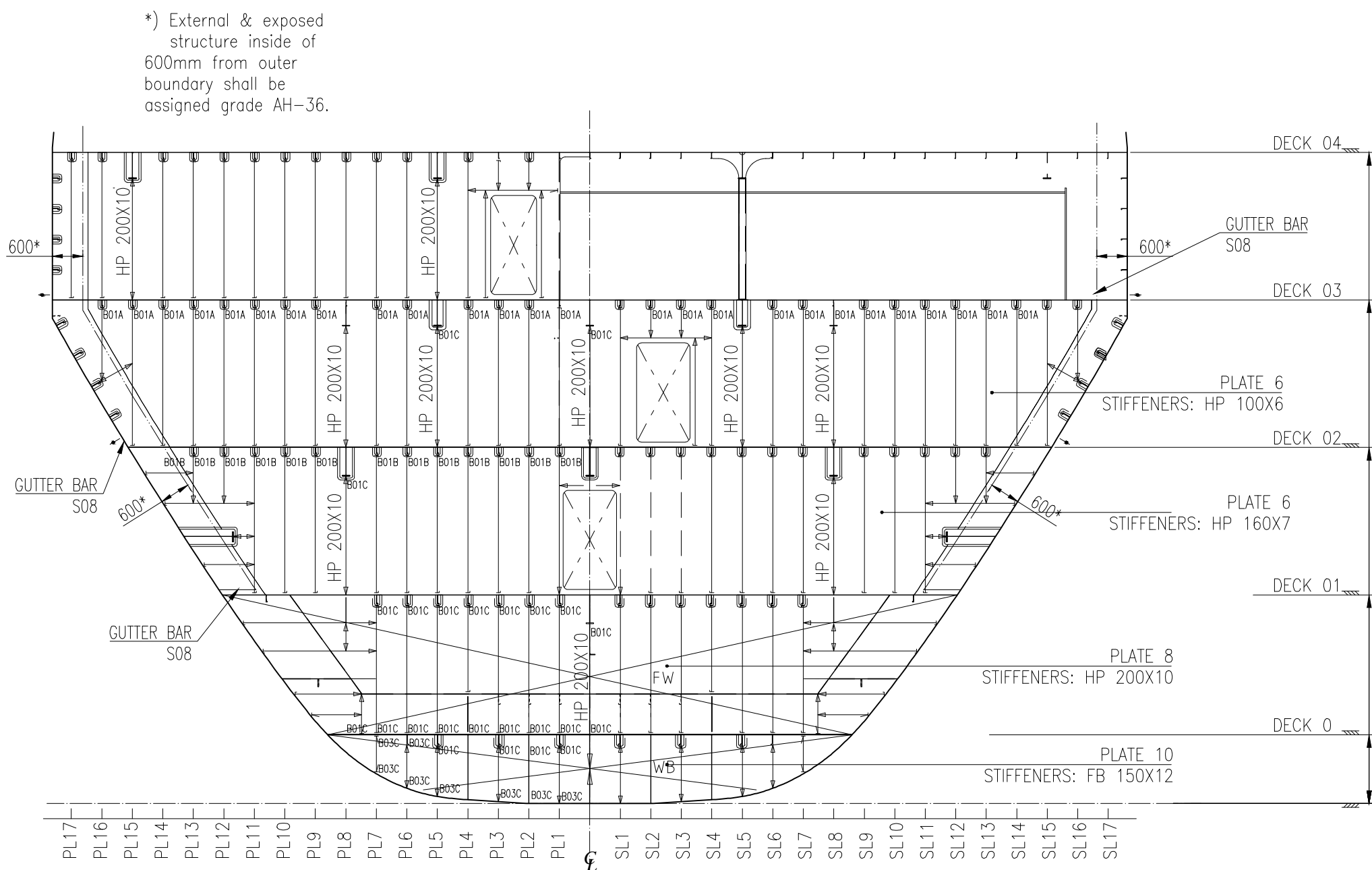
INTERNAL BULKHEADS - DOUBLE BOTTOM
TRANSVERSE WT BULKHEADS: PLATE 10 - STIFFENERS; FB 150X12
LONGITUDINAL WT BULKHEADS: PLATE 11.0 - STIFFENERS; FB 150X12
ORDINARY BULKHEADS: PLATE 9.0 - STIFFENERS; FB 100X10

**INTERNAL BULKHEADS
PLATING & STIFFENERS**



ICE FRAME (HALF FRAME)
SEEN FROM AFT, SB SIMILAR

FOR COMPLETE ICEBELT, SEE SHELL EXPANSION DRAWING.

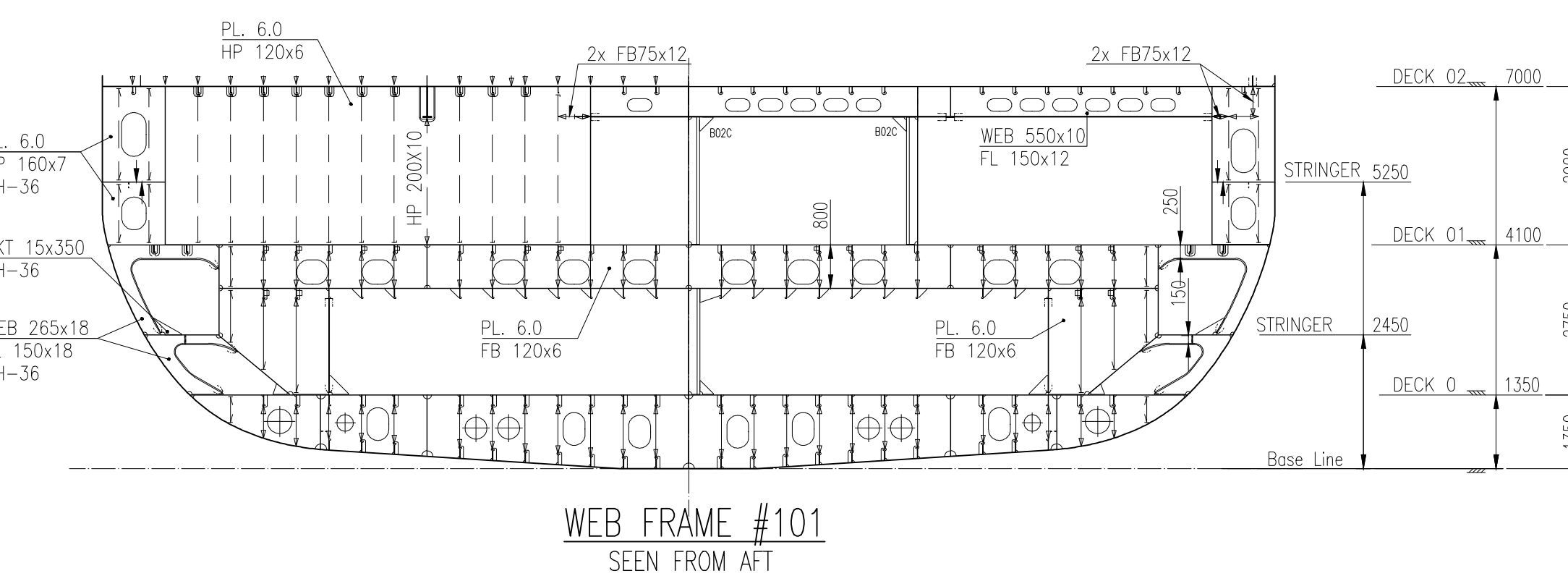


BHD #120
SEEN FROM AFT

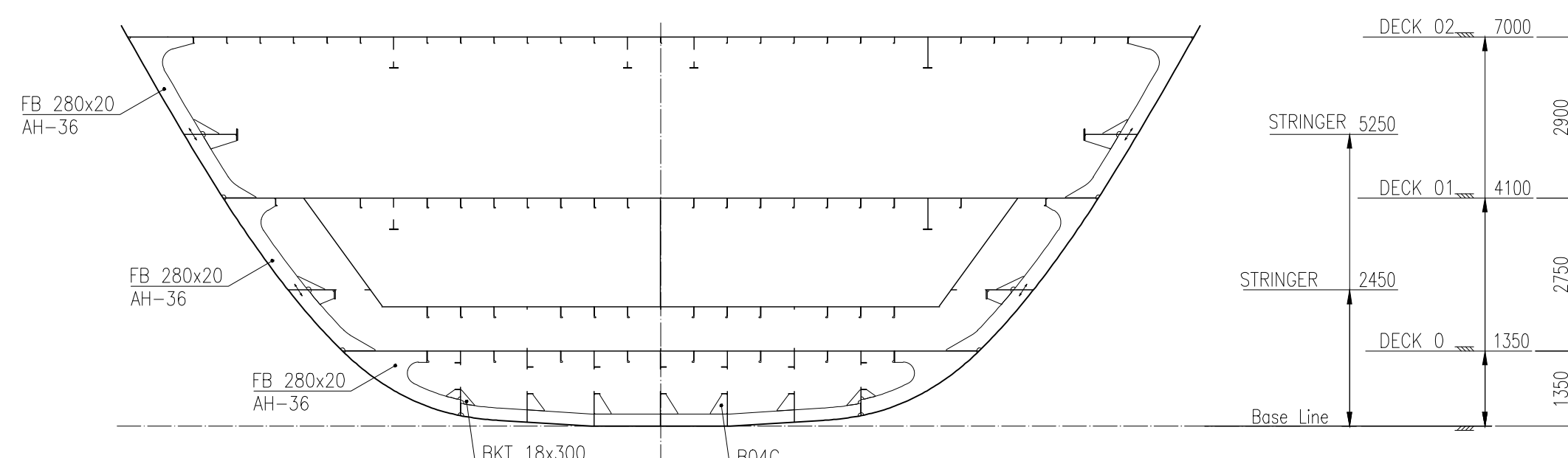
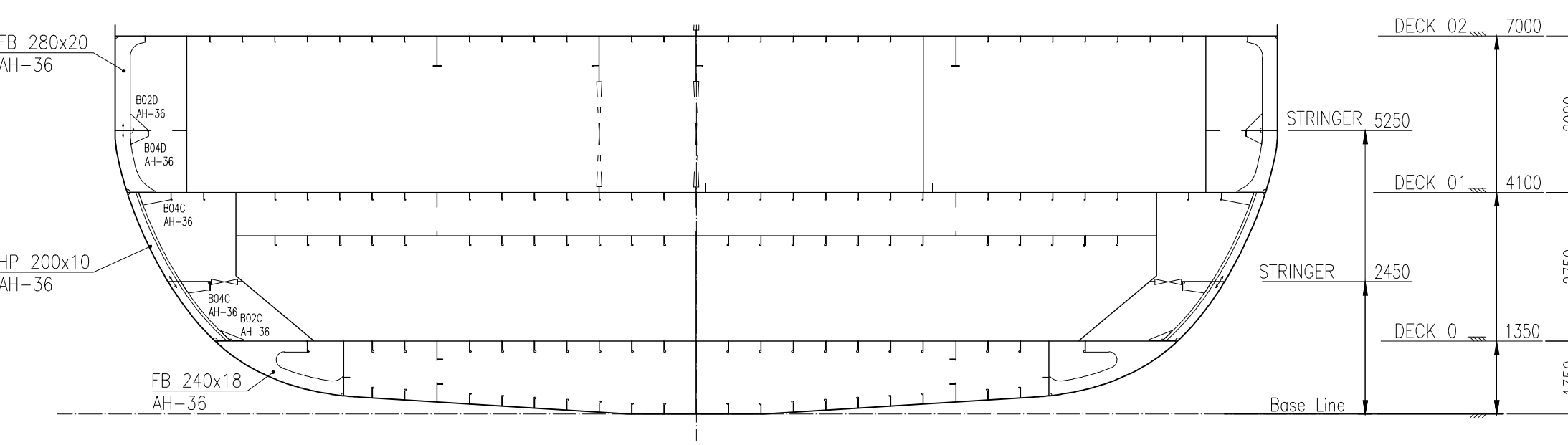
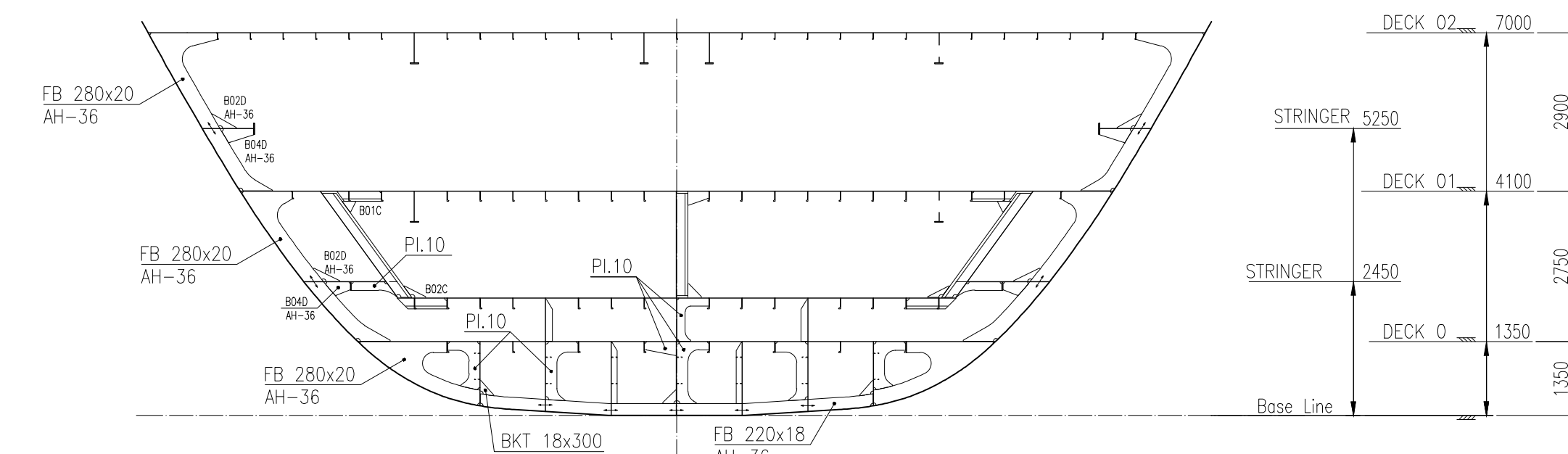
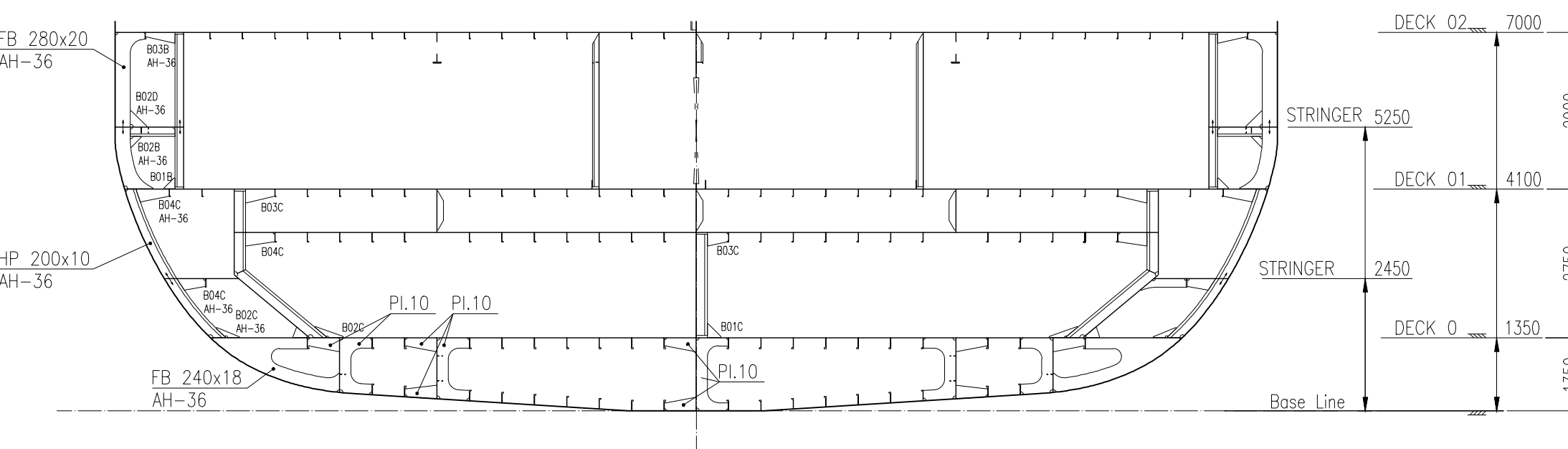
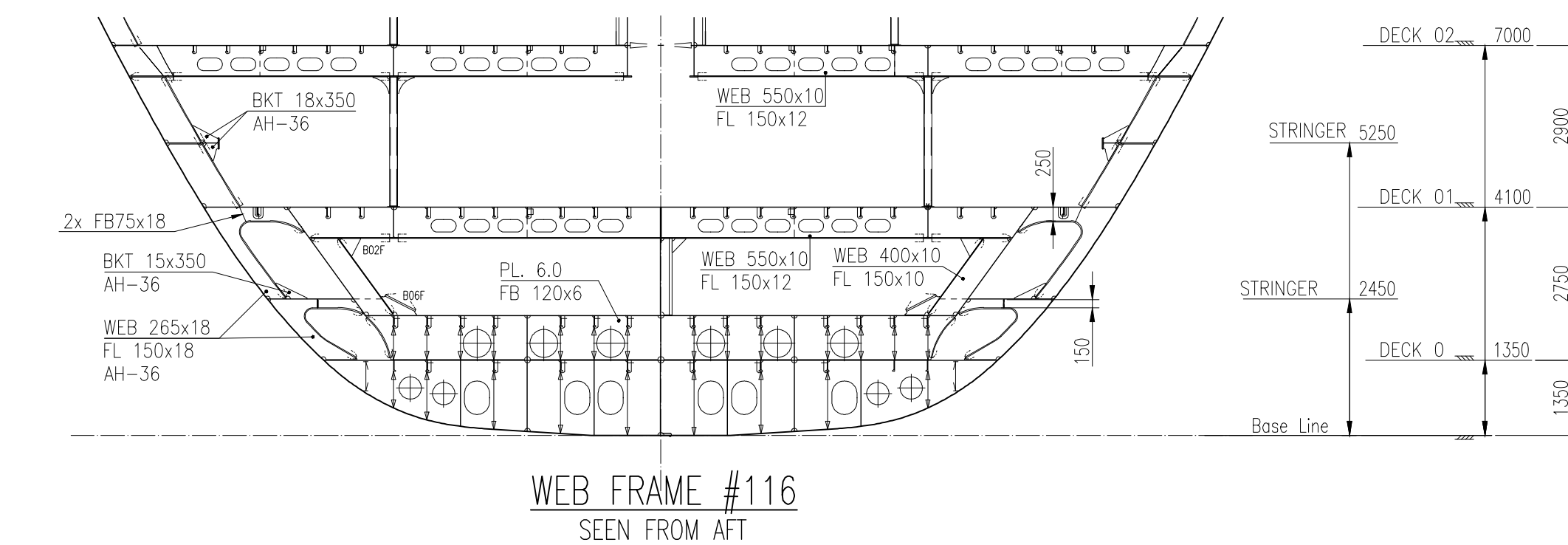
E				
D				
C				
B				
A	ISSUED FOR YARD COMMENTS	03.07.2018	Midcon	HLE PEMA
REV.	TEXT	REV.DATE	DRAWN	CHECK APP.

THIS DRAWING IS THE PROPERTY OF LMG MARIN AS. THE DRAWING SHALL NOT BE DISCLOSED TO ANY THIRD PARTY WITHOUT THE WRITTEN PRIOR CONSENT OF LMG MARIN AS.

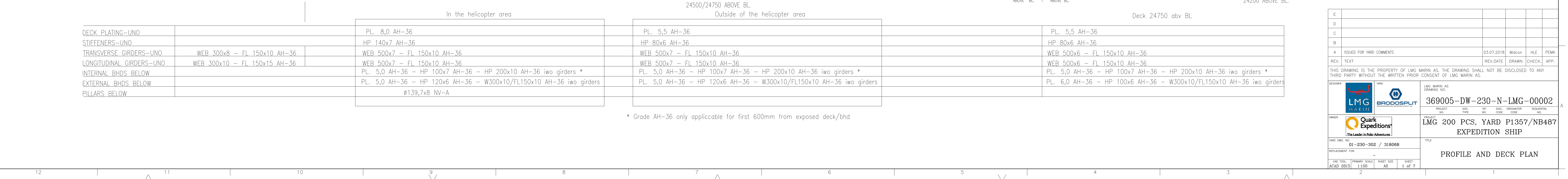
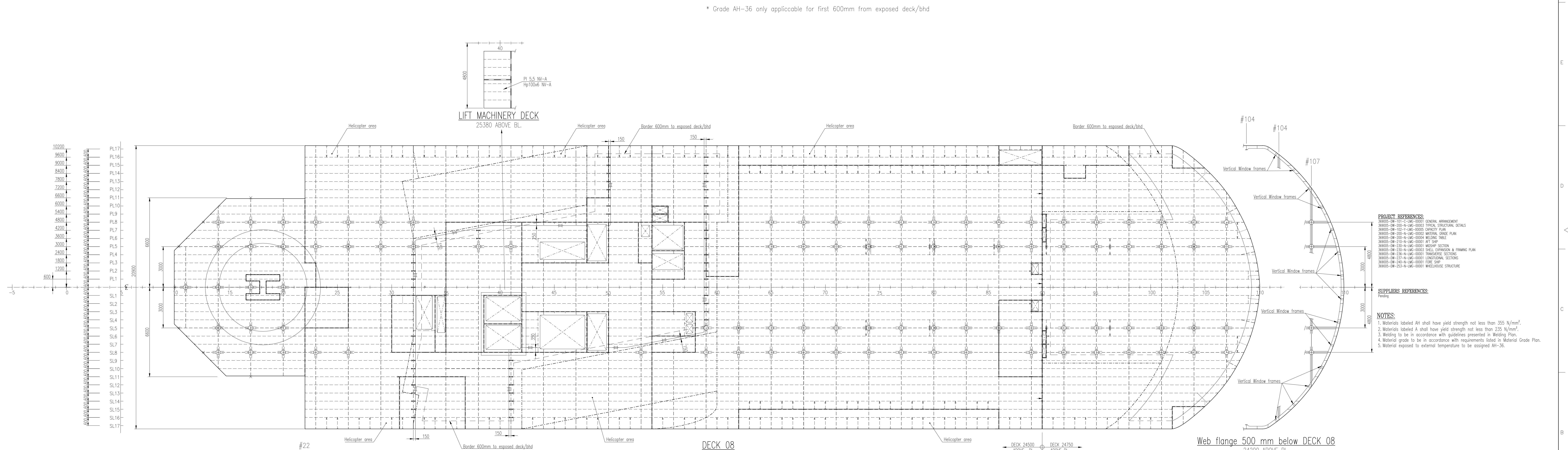
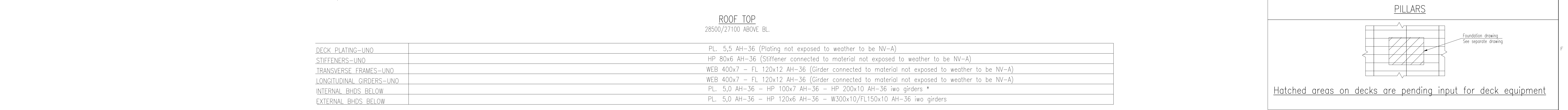
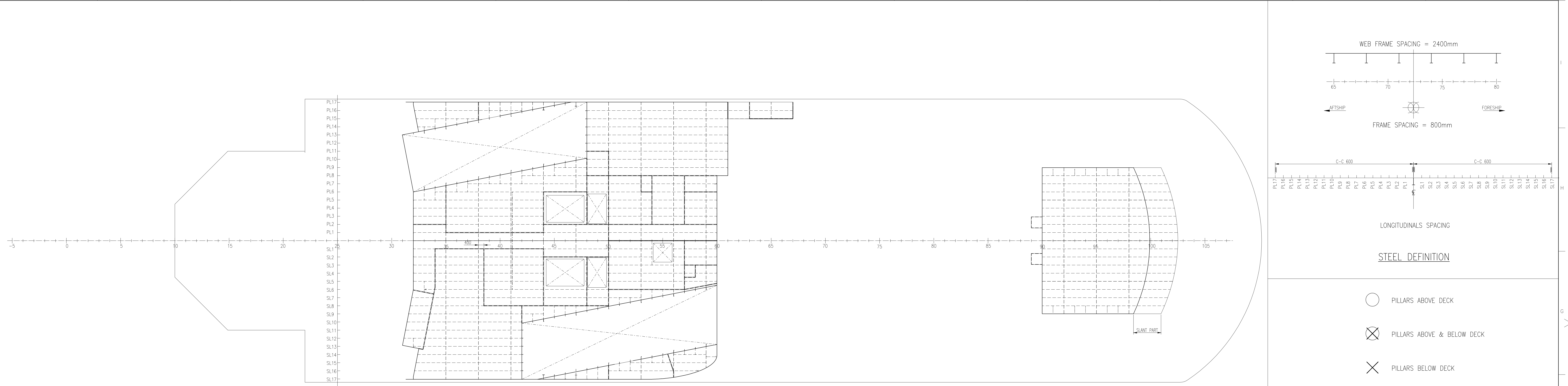
DESIGNER	YARD	LMG MARIN AS DRAWING NO.
LMG MARIN	BRODOSPLIT	369005-DW-230-N-LMG-00001
OWNER	Quark Expeditions®	The Leader in Polar Adventures.
PROJECT	DOC. TYPE	SFI. DISC. ORIGINATOR SEQUENTIAL NO.
LMG 200 PCS, YARD P1357/NB487	EXPEDITION SHIP	
YARD DWG. NO.	01-230-301 / 318067	TITLE
REPLACEMENT FOR:	-	MIDSHIP SECTION
CAD TOOL	PRIMARY SCALE	SHEET SIZE
ACAD 2015	1:100	A1
2 of 3		

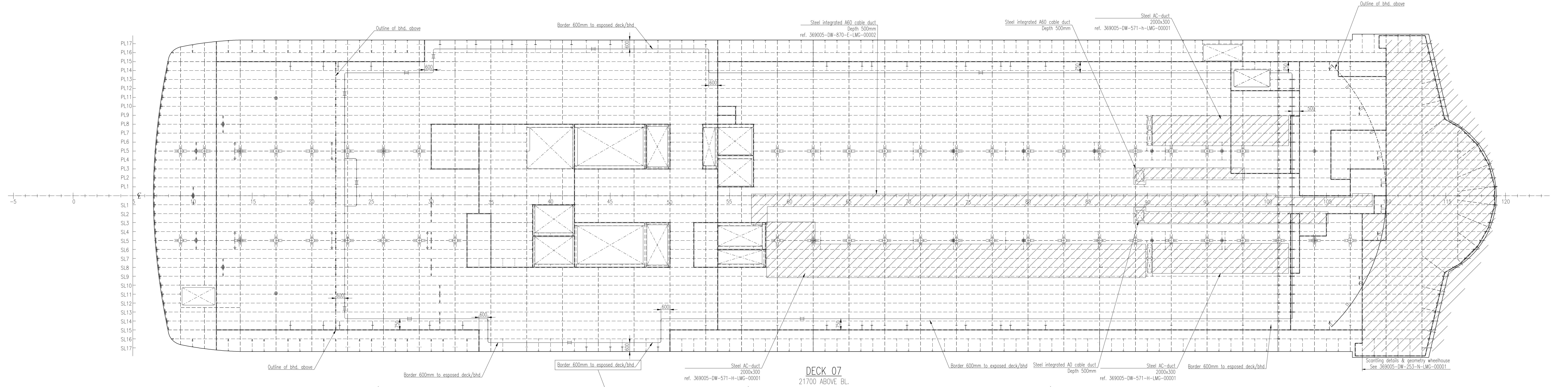


WEB FRAME #107
SEEN FROM AFT

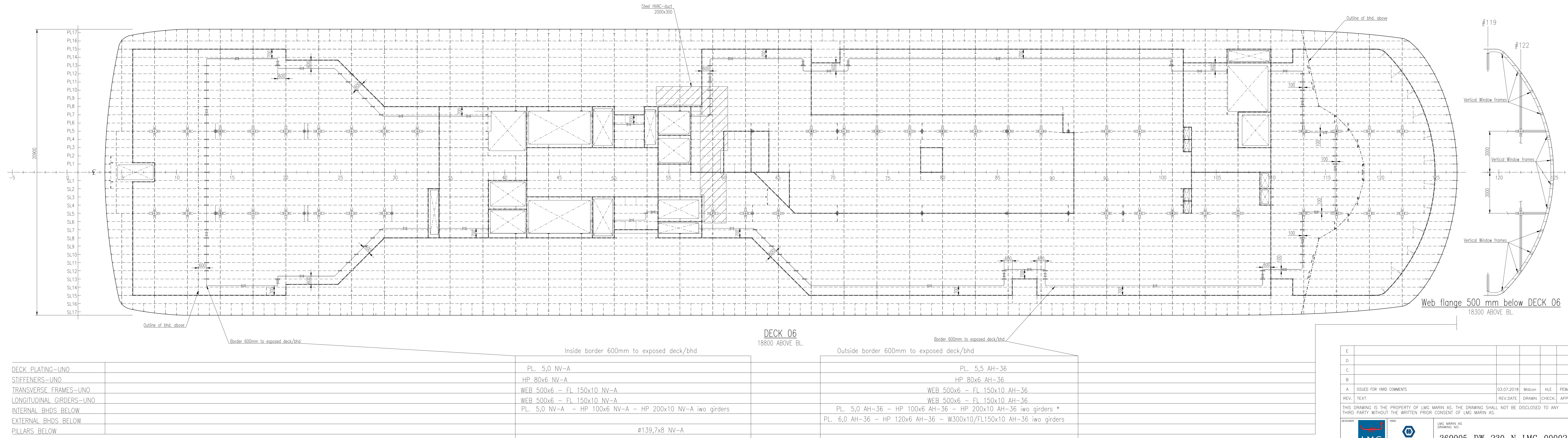


E							
D							
C							
B							
A	ISSUED FOR YARD COMMENTS					03.07.2018	Midcon HLE PEMA
REV.	TEXT					REV.DATE DRAWN CHECK APP.	
THIS DRAWING IS THE PROPERTY OF LMG MARIN AS. THE DRAWING SHALL NOT BE DISCLOSED TO ANY THIRD PARTY WITHOUT THE WRITTEN PRIOR CONSENT OF LMG MARIN AS.							
DESIGNER		YARD	LMG MARIN AS DRAWING NO.				
OWNER		BRODOSPLIT	PROJECT NO. 369005-DW-230-N-LMG-00001	DOC. TYPE	SFI. CODE	DISC. ORIGINATOR	SEQUENTIAL NO.
PROJECT LMG 200 PCS, YARD P1357/NB487 EXPEDITION SHIP							
YARD DWG. NO.	01-230-301 / 318067	REPLACEMENT FOR:		TITLE			
CAD TOOL ACAD 2015	1:100	SHEET SIZE A1	3 of 3	MIDSHIP SECTION			



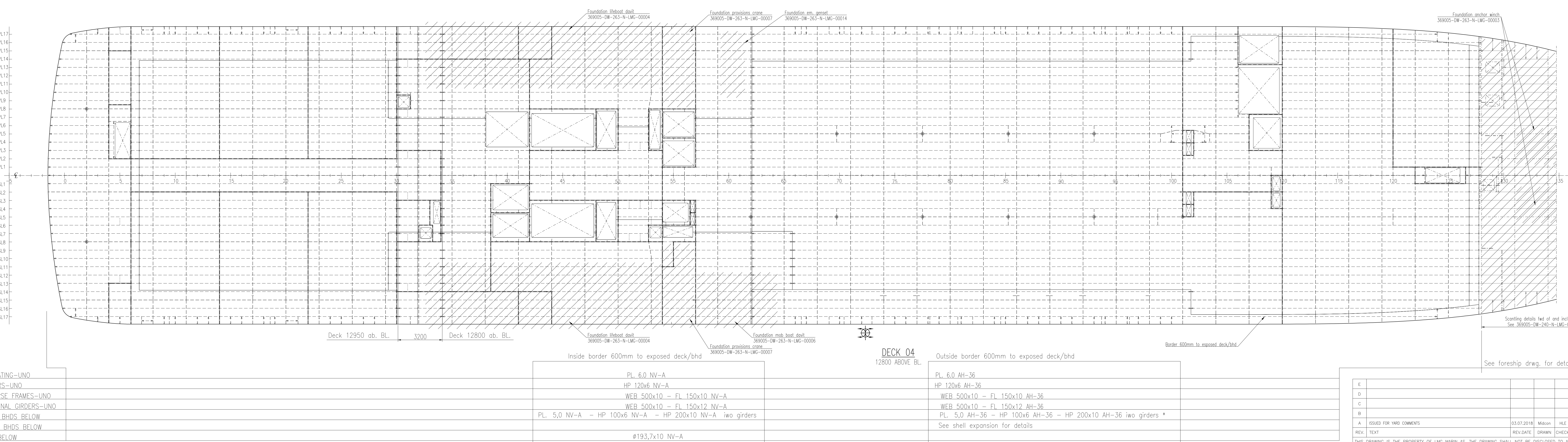
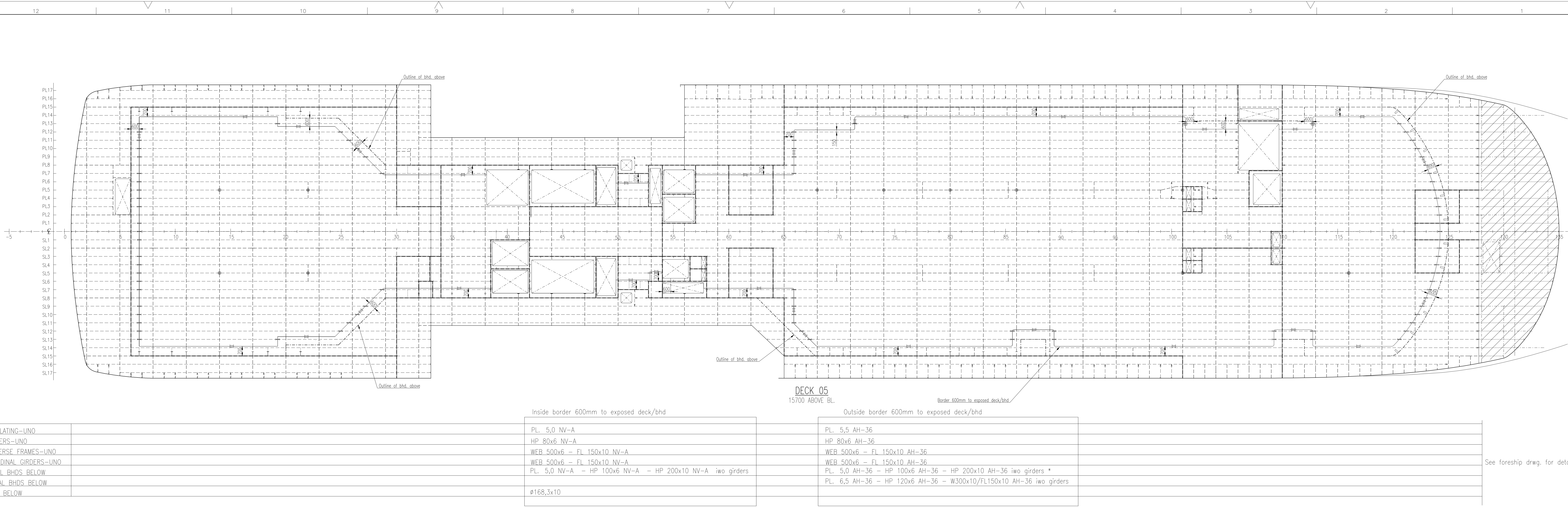


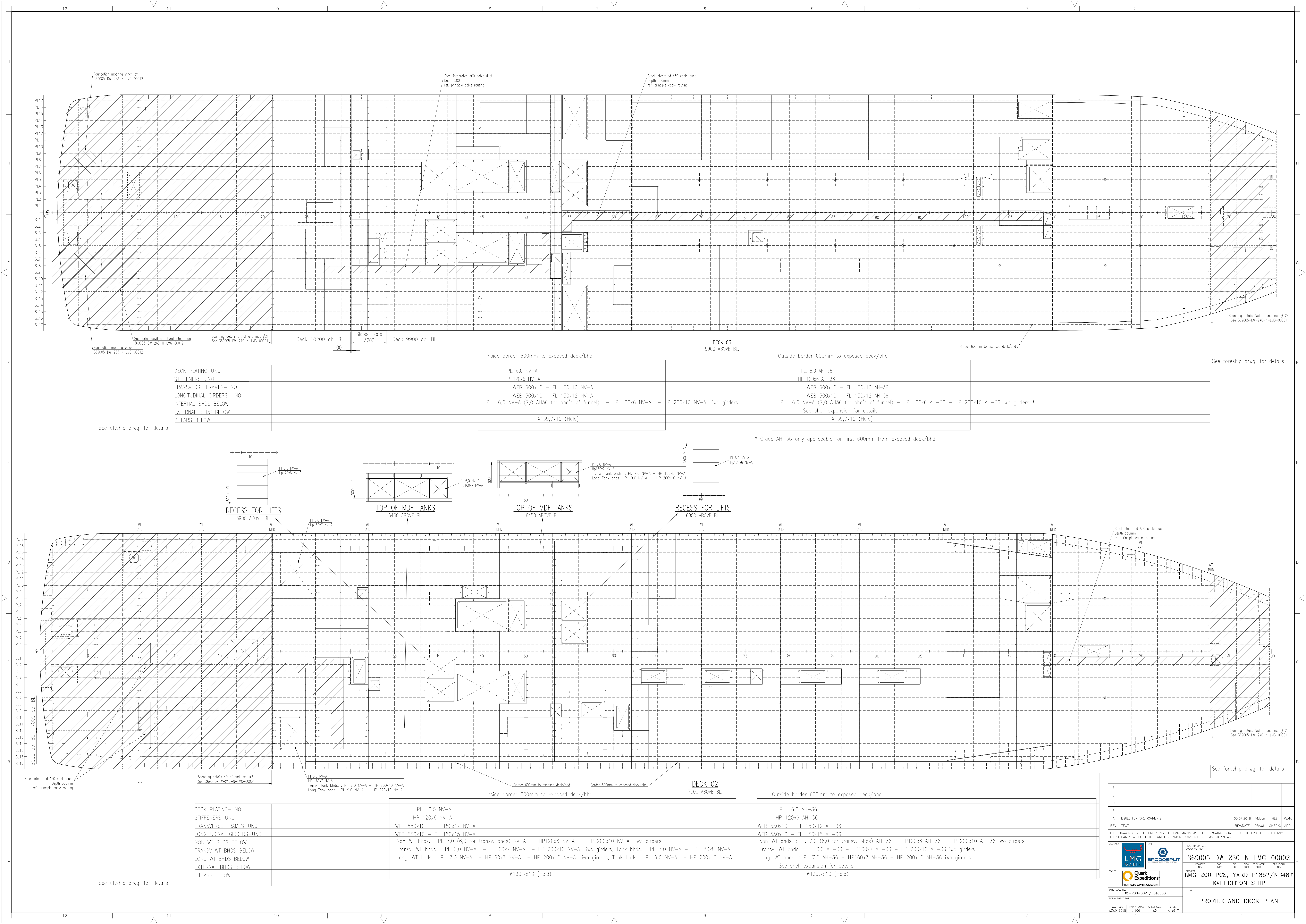
* Grade AH-36 only applicable for first 600mm from exposed deck/bhd

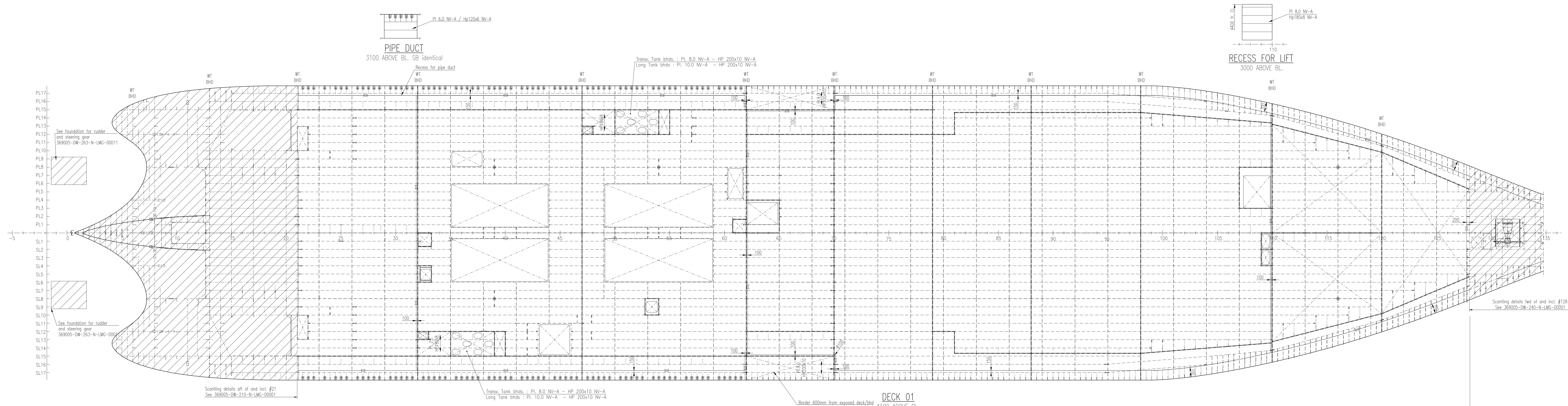


* Grade AH-36 only applicable for first 600mm from exposed deck/bhd

F	
D	
C	
B	
A	ISSUED FOR YARD COMMENTS REV. TEXT THIS DRAWING IS THE PROPERTY OF LMG MARIN AS. THE DRAWING SHALL NOT BE DISCLOSED TO ANY THIRD PARTY WITHOUT THE WRITTEN PRIOR CONSENT OF LMG MARIN AS. DESIGNER OWNER PROJECT LMG 200 PCS, YARD P1357/NB487 EXPEDITION SHIP PROFILE AND DECK PLAN
E	
D	
C	
B	
A	

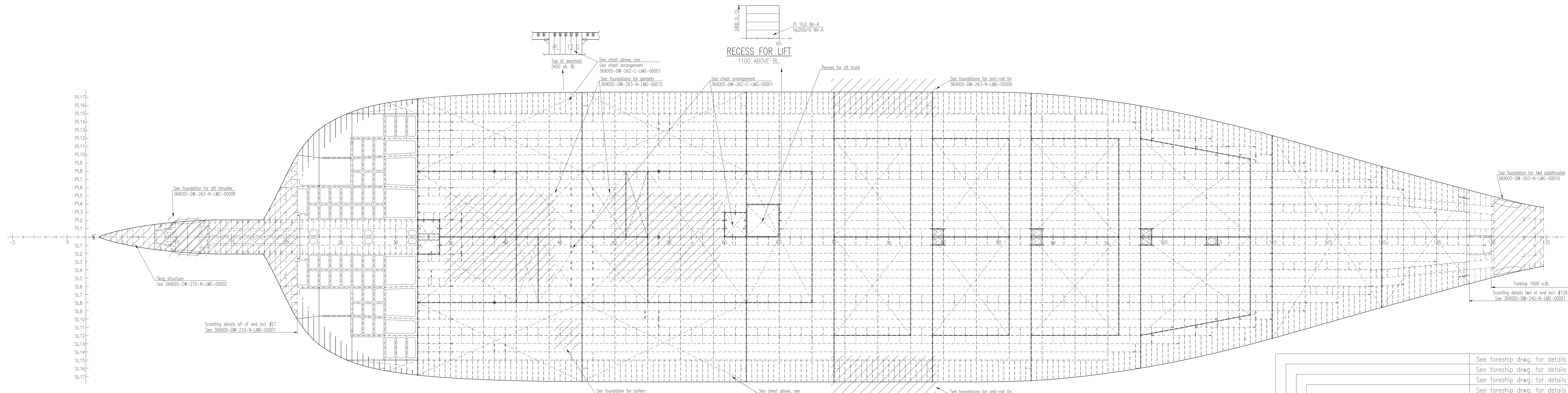




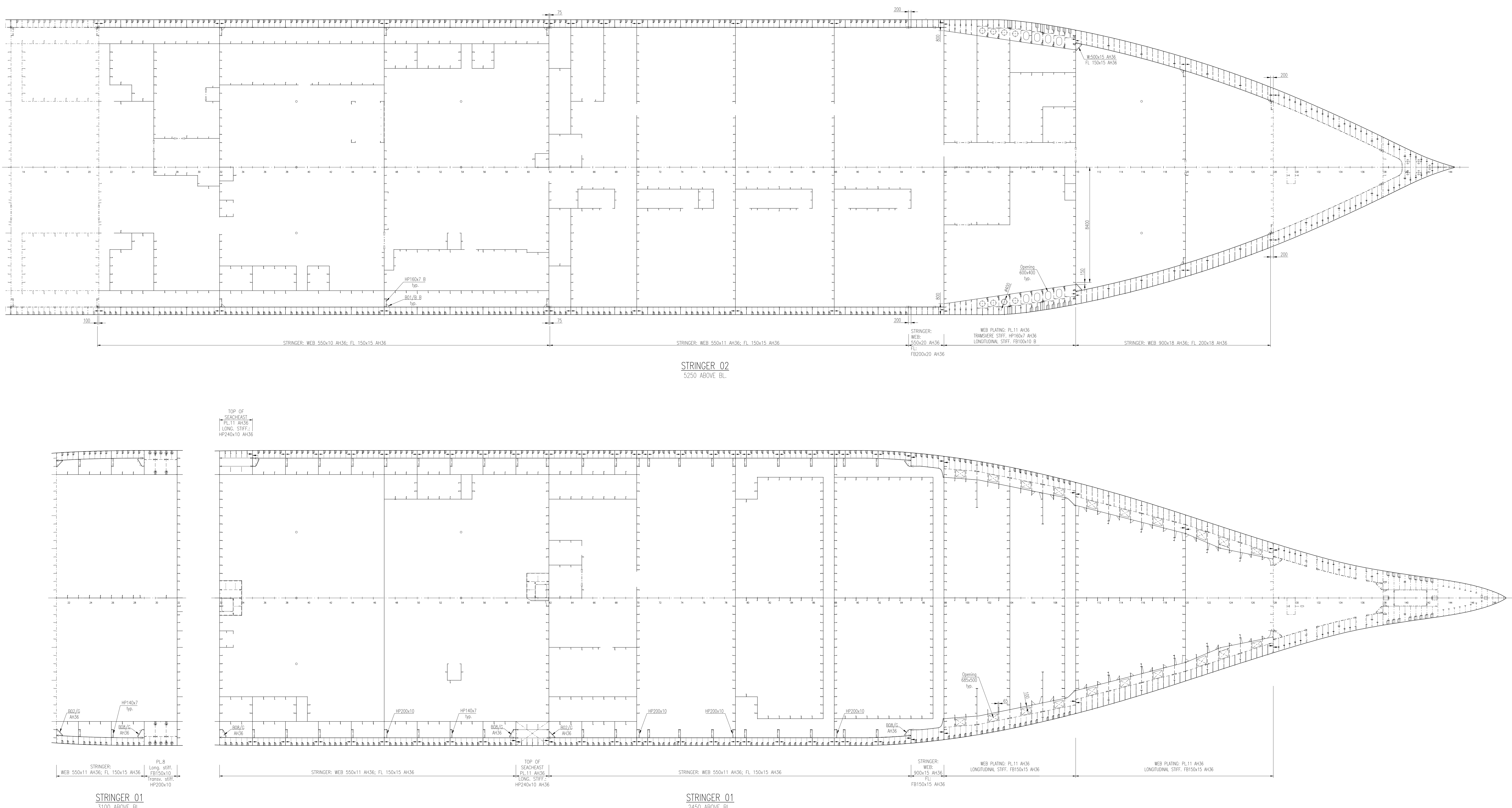


DECK PLATING-UNO	See aftship drwg. for details	PL. 8.0 NV-A aft of #62	PL. 6.0 NV-A from #62 to #110, PL. 7.5 NV-A forw. of #110	PL. 6.0 AH-36
STIFFENERS-UNO	See aftship drwg. for details		HP 120x6 NV-A aft of #70, HP 140x7 NV-A forw. of #70	HP 120x6 AH-36 aft of #70, HP 140x7 AH-36 forw. of #70
TRANSVERSE FRAMES-UNO	See aftship drwg. for details	WEB 400x10 - FL 150x15 ** (two engine rooms)	WEB 550x10 - FL 150x12 NV-A	WEB 550x10 - FL 150x12 AH-36
LONGITUDINAL GIRDERS-UNO	See aftship drwg. for details		WEB 550x10 - FL 150x15 NV-A	WEB 550x10 - FL 150x15 AH-36
NON WT BHDS BELOW	See aftship drwg. for details		Non-WT bhds. : Pl. 7.0 (6.0 for transv. bhds) NV-A - HP 140x7 NV-A - HP 200x10 NV-A two girders	Non-WT bhds. : Pl. 7.0 (6.0 for transv. bhds) AH-36 - HP 140x7 AH-36 - HP 200x10 AH-36 two girders
TRANSV WT BHDS BELOW	See aftship drwg. for details		Transv. WT bhds. : Pl. 6.0 NV-A - HP 200x10 NV-A	Transv. WT bhds. : Pl. 8.0 AH-36 - HP 200x10 AH-36
LONG WT BHDS BELOW	See aftship drwg. for details		WT bhds. : Pl. 8.0 NV-A - HP 200x10 NV-A, WB Tank bhds. : Pl. 11.0 NV-A - HP 220x10 NV-A	WT bhds. : Pl. 8.0 AH-36 - HP 200x10 AH-36, WB Tank bhds. : Pl. 11.0 AH-36 - HP 220x10 AH-36
EXTERNAL BHDS BELOW	See aftship drwg. for details			See shell expansion for details
PILLARS BELOW	See aftship drwg. for details		Ø139.7x10 (Hold)	Ø139.7x10 (Hold)

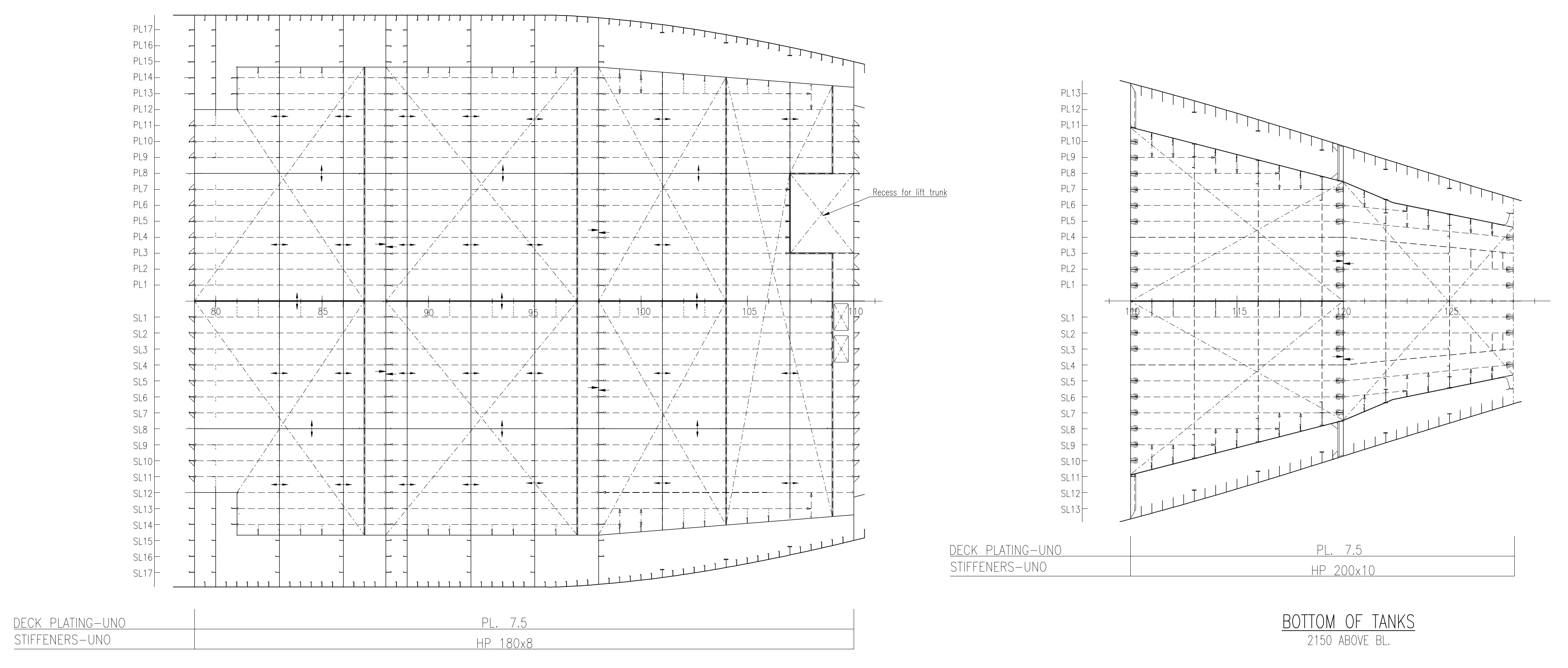
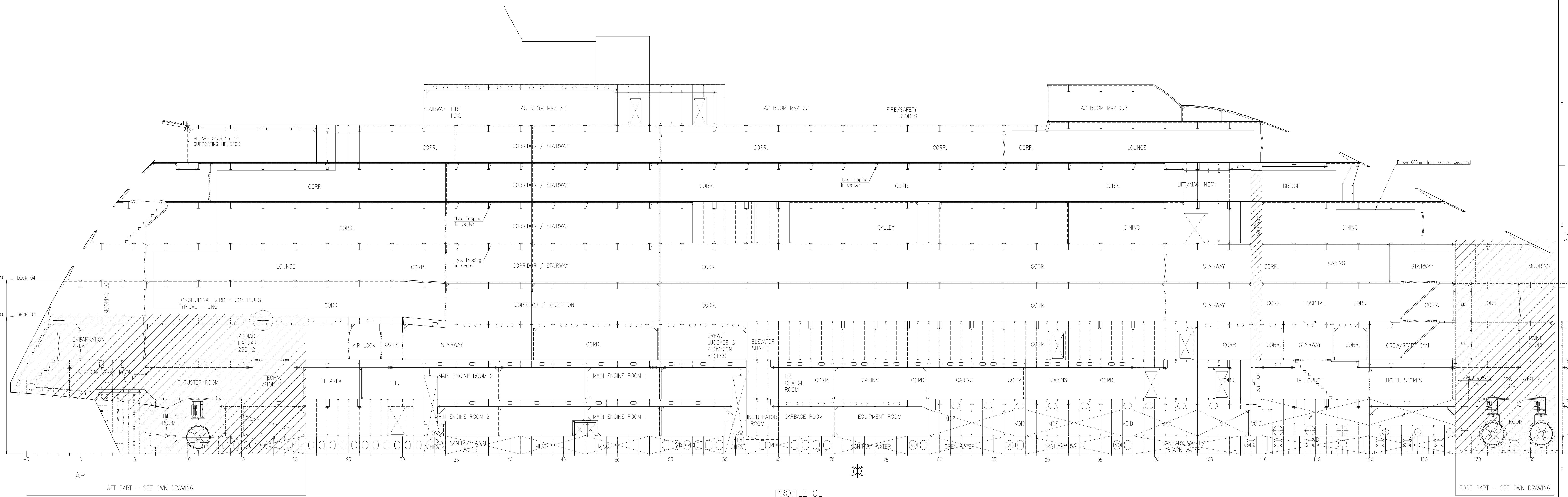
** 600mm from exposed deck/bhd to be grade AH-36



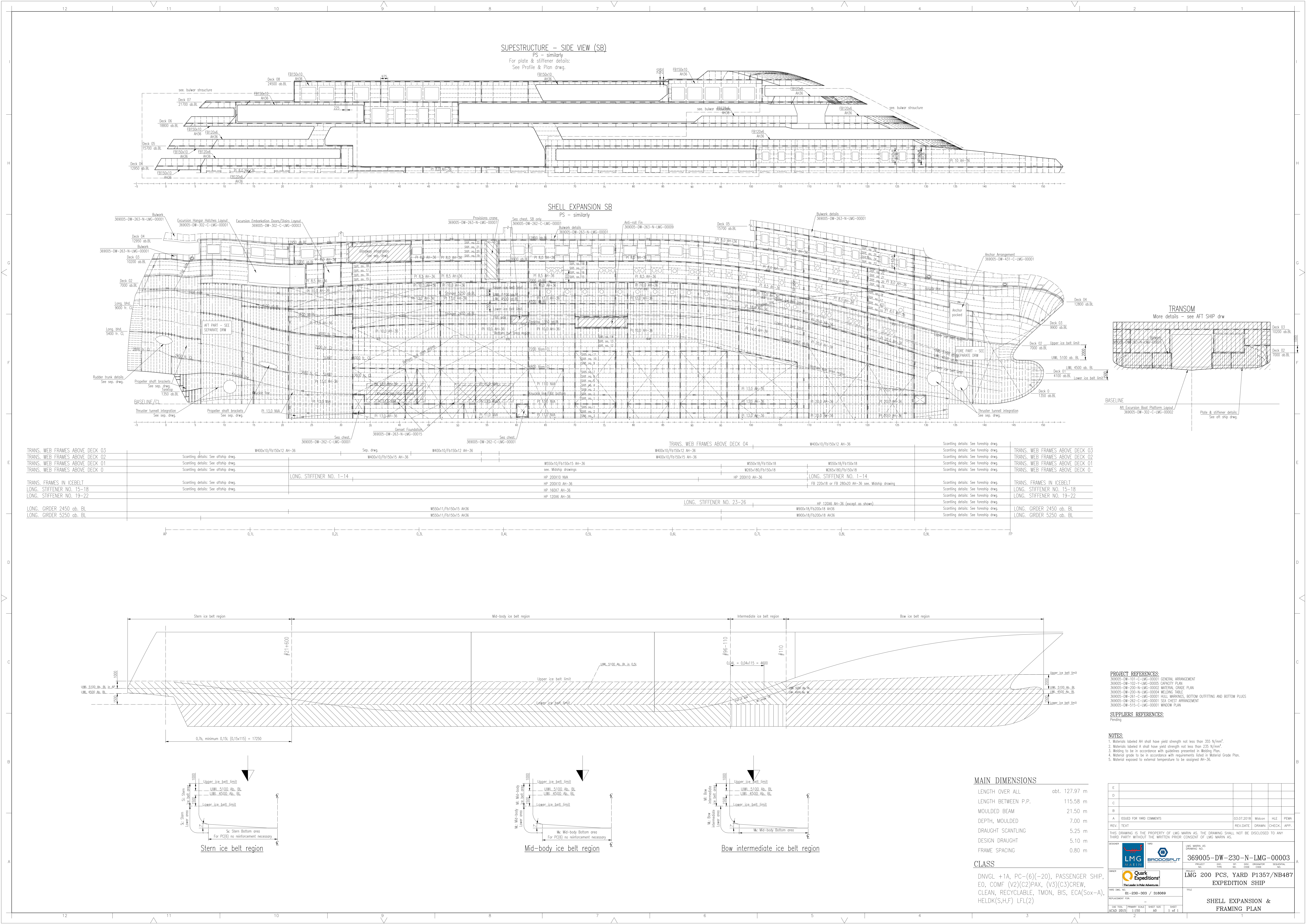
A	B	C	D	E
DECK PLATING-UNO	See aftship drwg. for details	PL. 9.5 NV-A #32:70; PL. 8.5 NV-A #70:110; PL. 9.5 NV-A #110:128	PL. 9.5 NV-A #32:70; PL. 8.5 NV-A #70:110; PL. 9.5 NV-A #110:128	
STIFFENERS-UNO	See aftship drwg. for details	HP 200x10 NV-A	HP 200x10 NV-A	
TRANSVERSE FLOORS-UNO	See aftship drwg. for details	Non-WT floors: Pl. 9.0 NV-A - FB 100x10 NV-A WT floors: Pl. 10.0 NV-A - FB 150x12 NV-A	Non-WT floors: Pl. 9.0 NV-A - FB 100x10 NV-A WT floors: Pl. 11.0 NV-A - FB 150x12 NV-A	
LONGITUDINAL GIRDERS-UNO	See aftship drwg. for details			
A	B	C	D	E
A. ISSUED FOR YARD COMMENTS				
REV. TEXT				
03.07.2018				
Midcon				
HLD				
PEMA				
REV. DATE				
DRAWN				
CHECK				
APP.				
THIS DRAWING IS THE PROPERTY OF LMG MARIN AS. THE DRAWING SHALL NOT BE DISCLOSED TO ANY THIRD PARTY WITHOUT THE WRITTEN PRIOR CONSENT OF LMG MARIN AS.				
DESIGNER	LMG MARIN AS	YARD	PROJ. NO.	
OWNER	Quark Expeditions	YARD DWG. NO.	DOC. NO.	
REPLACEMENT FOR		311-230-302 / 318068	SPN	
REPLACEMENT TIME			DISC.	
GAS TOOL	ACAD 2015	ORDINATOR	SEQUENTIAL	
PRIMARY SCALE	1:100	SHEET SIZE		
SHEET	A0	5 of 7		
PROFILE AND DECK PLAN				

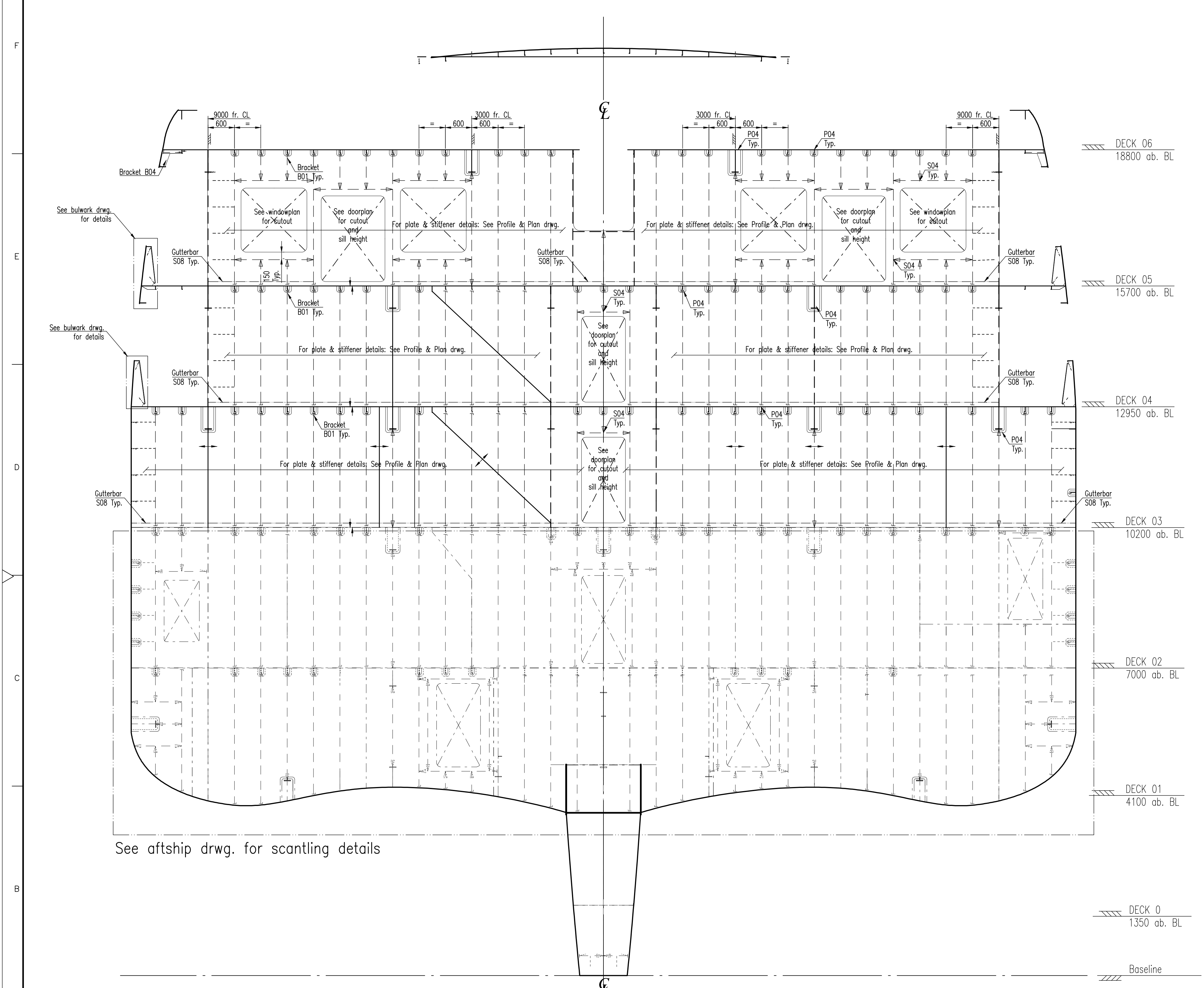


E				
D				
C				
B				
A				
A ISSUED FOR YARD COMMENTS REV. TEXT 03.07.2018 Midcon HLE PEMA THIRD PARTY WITHOUT THE WRITTEN PRIOR CONSENT OF LMG MARIN AS.				
DESIGNER LMG MARIN AS DRAWING NO. 369005-DW-230-N-LMG-00002 OWNER Quark Expeditions PROJECT TYPE SPN ORIGINATOR SEDIMENTAL YARD DWG. NO. 31-230-302 / 318068 REPLACEMENT DWG. DRAWING DATE 03.07.2018 DRAWN BY J. S. DRAFTSMAN REVISIONS 1.000 SHEET SIZE A0 SHEET NO. 6 of 7 DRAFTSMAN SIGNATURE				
PROJECTION LMG 200 PCS, YARD P1357/NB487 EXPEDITION SHIP TITLE PROFILE AND DECK PLAN				



E			
D			
C			
B			
A	<p>A ISSUED FOR YARD COMMENTS REV. TEXT THIS DRAWING IS THE PROPERTY OF LMG MARIN AS. THE DRAWING SHALL NOT BE DISCLOSED TO ANY THIRD PARTY WITHOUT THE WRITTEN PRIOR CONSENT OF LMG MARIN AS.</p> <p>DESIGNER LMG MARIN AS DRAWING INC. OWNER Quark Expeditions® PROJECT DW-230-N-LMG-00002 YARD DWG. NO. DW-230-302 / 318068 REPLACEMENT FOR - DRAWN BY - DATE - ACAD 2015 1:100</p> <p>369005-DW-230-N-LMG-00002 LMG 200 PCS, YARD P1357/NB487 EXPEDITION SHIP</p> <p>PROFILE AND DECK PLAN</p>	<p>03.07.2018 Midon HLE PEMA</p> <p>REV. DATE DRAWN CHECK APP.</p> <p>03.07.2018</p>	





Transverse frame #6
Seen from aft

MAIN DIMENSIONS

LENGTH OVER ALL	abt. 127.97 m
LENGTH BETWEEN P.P.	115.58 m
MOULDED BEAM	21.50 m
DEPTH, MOULDED	7.00 m
DRAUGHT MAX	5.25 m
DESIGN DRAUGHT	5.10 m

CLASS

DNVGL +1A, PC-(6)(-20), PASSENGER SHIP,
EO, COMF (V2)(C2)PAX, (V3)(C3)CREW,
CLEAN, RECYCLABLE, TMON, BIS, ECA(Sox-A),
HELDK(S,H,F) LFL(2)

PROJECT REFERENCES:

369005-DW-101-C-LMG-00001 GENERAL ARRANGEMENT
 369005-DW-102-Y-LMG-00005 CAPACITY PLAN
 369005-DW-200-N-LMG-00003 TYPICAL STRUCTURAL DETAILS
 369005-DW-200-N-LMG-00004 WELDING TABLE
 369005-DW-230-N-LMG-00002 PROFILE AND DECKS PLAN
 369005-DW-230-N-LMG-00003 SHELL EXPANSION & FRAMING PLAN
 369005-DW-237-N-LMG-00001 LONGITUDINAL SECTIONS
 369005-DW-262-C-LMG-00001 SEA CHEST ARRANGEMENT
 369005-DW-263-N-LMG-00001 BULWARK STRUCTURE

SUPPLIERS REFERENCES:

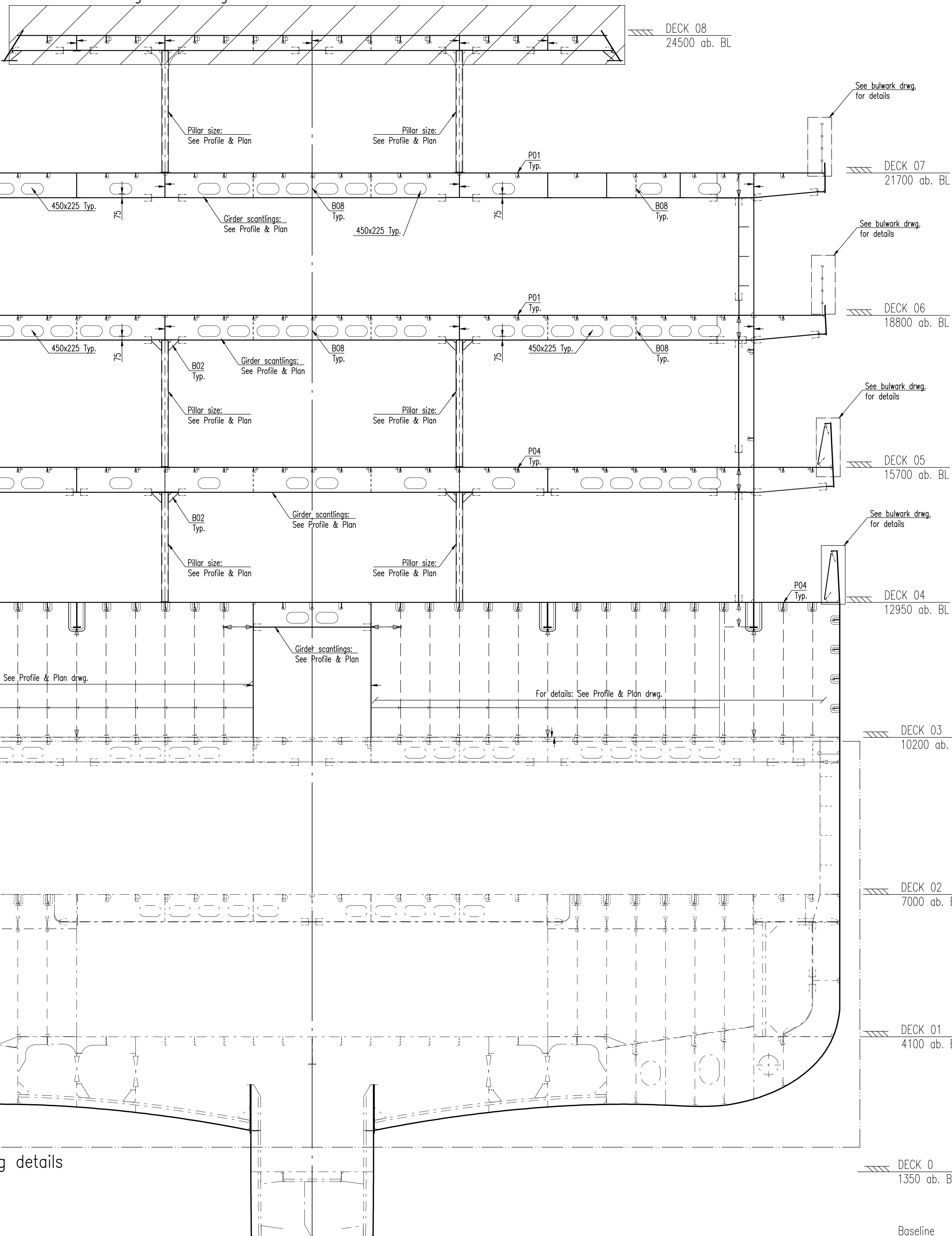
SUPPLIER NAME: -

E				
D				
C				
B				
A	ISSUED FOR YARD COMMENTS	03.07.2018	Midcon	HLE PEMA
REV.	TEXT	REV.DATE	DRAWN	CHECK APP.
THIS DRAWING IS THE PROPERTY OF LMG MARIN AS. THE DRAWING SHALL NOT BE DISCLOSED TO ANY THIRD PARTY WITHOUT THE WRITTEN PRIOR CONSENT OF LMG MARIN AS.				
DESIGNER	LMG MARIN	YARD	LMG MARIN AS DRAWING NO.	
OWNER	Quark Expeditions®	BRODOSPLIT	PROJECT NO.	369005-DW-236-N-LMG-00001
YARD DWG. NO.	01-230-304 / 318070	DOC. TYPE	SFI. CODE	DISC. CODE
REPLACEMENT FOR:		SEQUENTIAL NO.		
CAD TOOL	ACAD 2015	PRIMARY SCALE	1:50	SHEET SIZE A1
ACAD 2015				SHEET 1 of 11
TRANSVERSE SECTIONS				

9 8 7 6 5 4 3 2 1

C

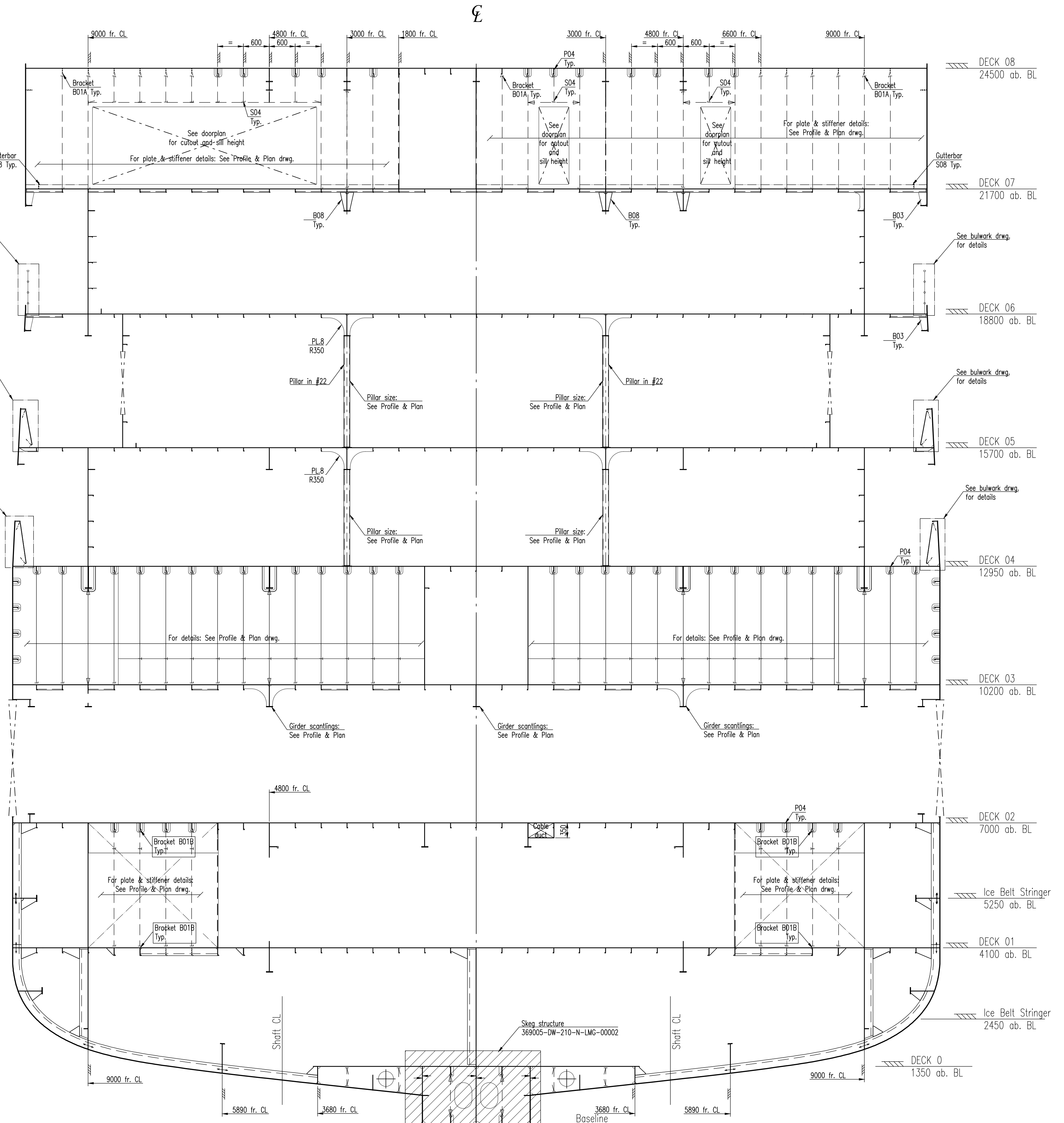
See helideck integration drwg. for details



Transverse frame #14 (Webframe)
Seen from aft

E				
D				
C				
B				
A				
A				
B				
C				
D				
E				
F				
Baseline				
9 8 7 6 5 4 3 2 1				

DESIGNER	YARD	LMG MARIN AS DRAWING NO.
OWNER	PROJECT NO.	BRODOSPLIT
YARD DWG. NO.	DOC. TYPE	369005-DW-236-N-LMG-00001
REPLACEMENT FOR:	SFI. NO.	Quark Expeditions® The Leader in Polar Adventures.
CAD TOOL	PRIMARY SCALE	EXPEDITION SHIP
ACAD 2015	1:50	TITLE
		TRANSVERSE SECTIONS
		2 of 11

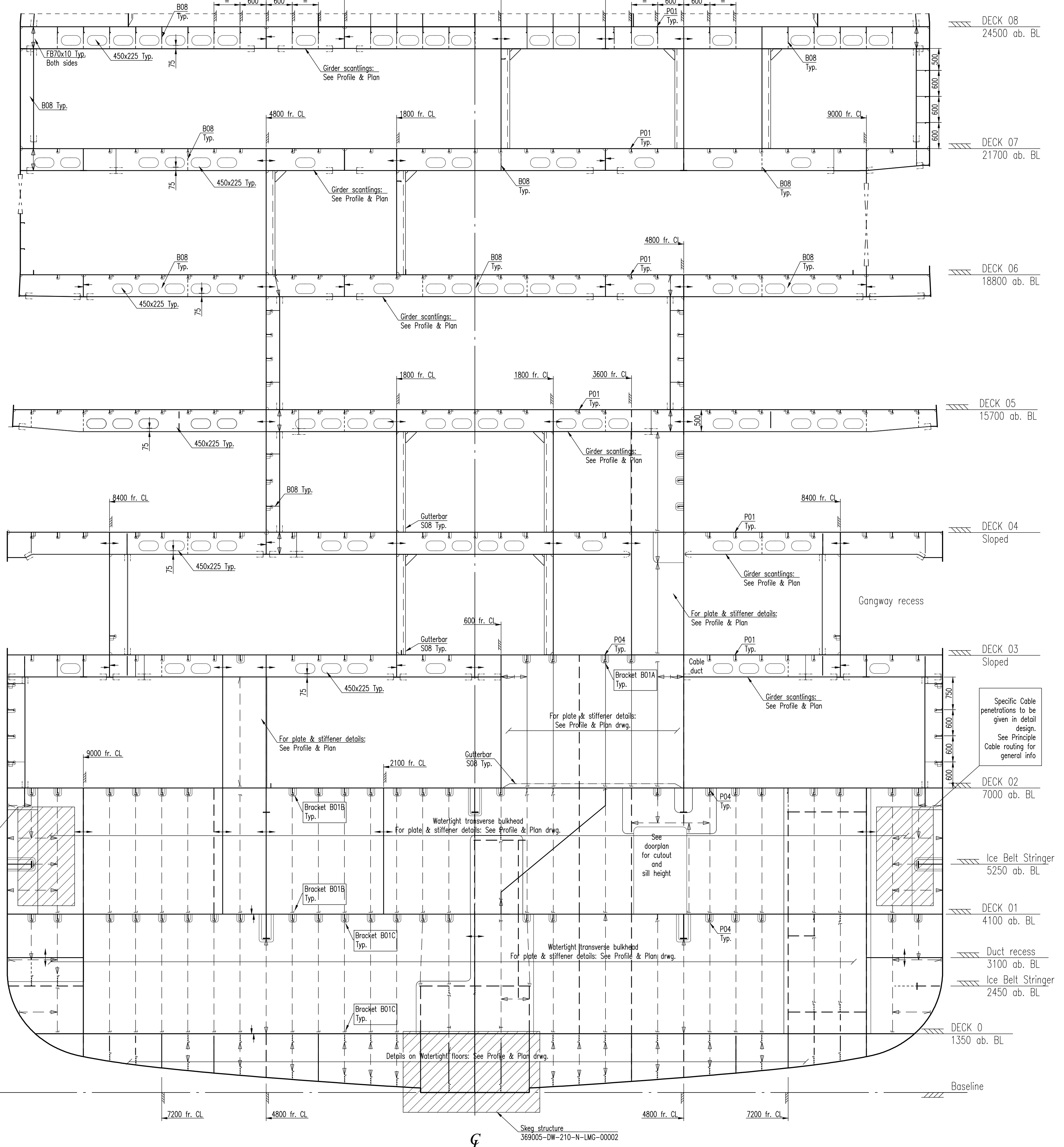


Transverse frame #22 (Ordinary frame)
Seen from aft

E				
D				
C				
B				
A				
THIS DRAWING IS THE PROPERTY OF LMG MARIN AS. THE DRAWING SHALL NOT BE DISCLOSED TO ANY THIRD PARTY WITHOUT THE WRITTEN PRIOR CONSENT OF LMG MARIN AS.				
ISSUED FOR YARD COMMENTS	03.07.2018	Midcon	HLE	PEMA
REV. TEXT	REV.DATE	DRAWN	CHECK.	APP.
DESIGNER	YARD	LMG MARIN AS DRAWING NO.	369005-DW-236-N-LMG-00001	
OWNER	Quark Expeditions® The Leader in Polar Adventures.	PROJECT NO. 01-230-304 / 318070	DOC. TYPE SFI. NO.	DISC. CODE ORIGINATOR SEQUENTIAL NO.
YARD DWG. NO.	REPLACEMENT FOR:	TITLE		
CAD TOOL ACAD 2015	PRIMARY SCALE 1:50	SHEET SIZE A1	SHEET 3 of 11	TRANSVERSE SECTIONS

9 8 7 6 5 4 3 2 1

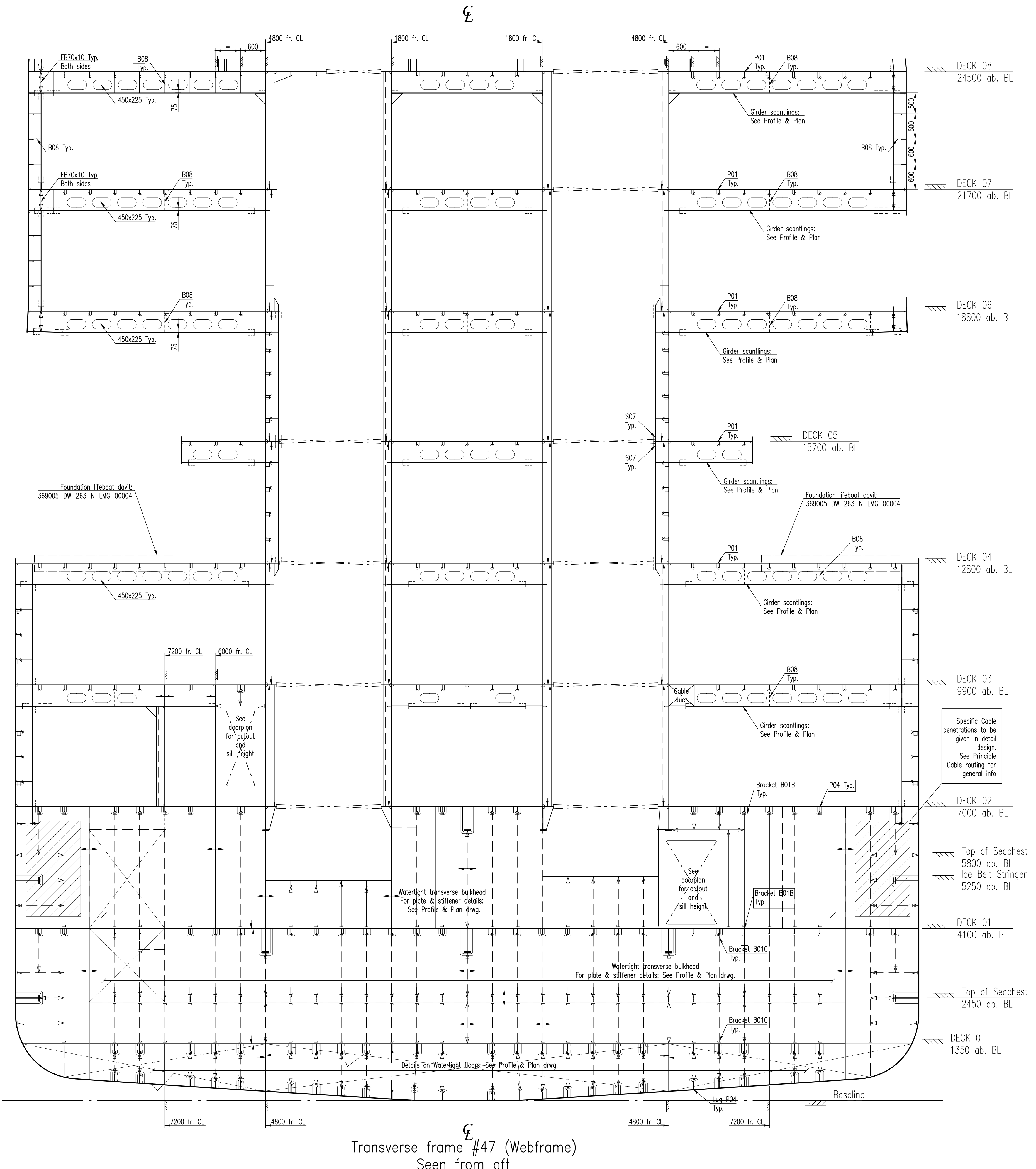
C



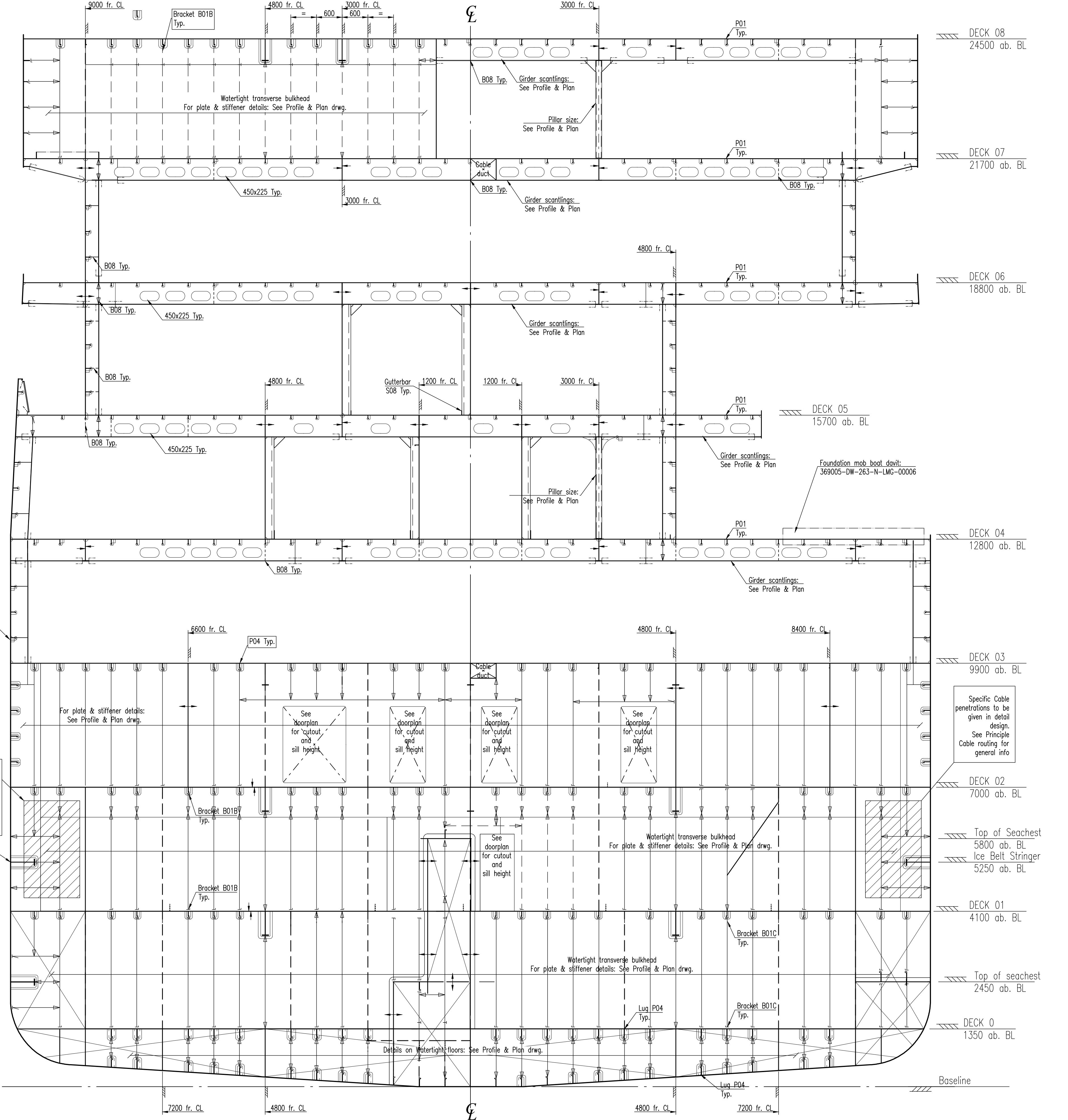
Transverse frame #32 (Webframe)
Seen from aft

C

E			
D			
C			
B			
A	ISSUED FOR YARD COMMENTS REV. TEXT	03.07.2018 REV.DATE DRAWN CHECK APP.	
THIS DRAWING IS THE PROPERTY OF LMG MARIN AS. THE DRAWING SHALL NOT BE DISCLOSED TO ANY THIRD PARTY WITHOUT THE WRITTEN PRIOR CONSENT OF LMG MARIN AS.			
DESIGNER	LMG MARIN	YARD	LMG MARIN AS DRAWING NO.
OWNER	Quark Expeditions* The Leader in Polar Adventures.	PROJECT NO.	369005-DW-236-N-LMG-00001
PROJECT LMG 200 PCS, YARD P1357/NB487 EXPEDITION SHIP		DOC. TYPE	SFI. NO. DISC. ORIGINATOR CODE
YARD DWG. NO. 01-230-304 / 318070		REPLACEMENT FOR:	SEQUENTIAL NO.
CAD TOOL ACAD 2015		PRIMARY SCALE 1:50	SHEET SIZE A1
			4 of 11

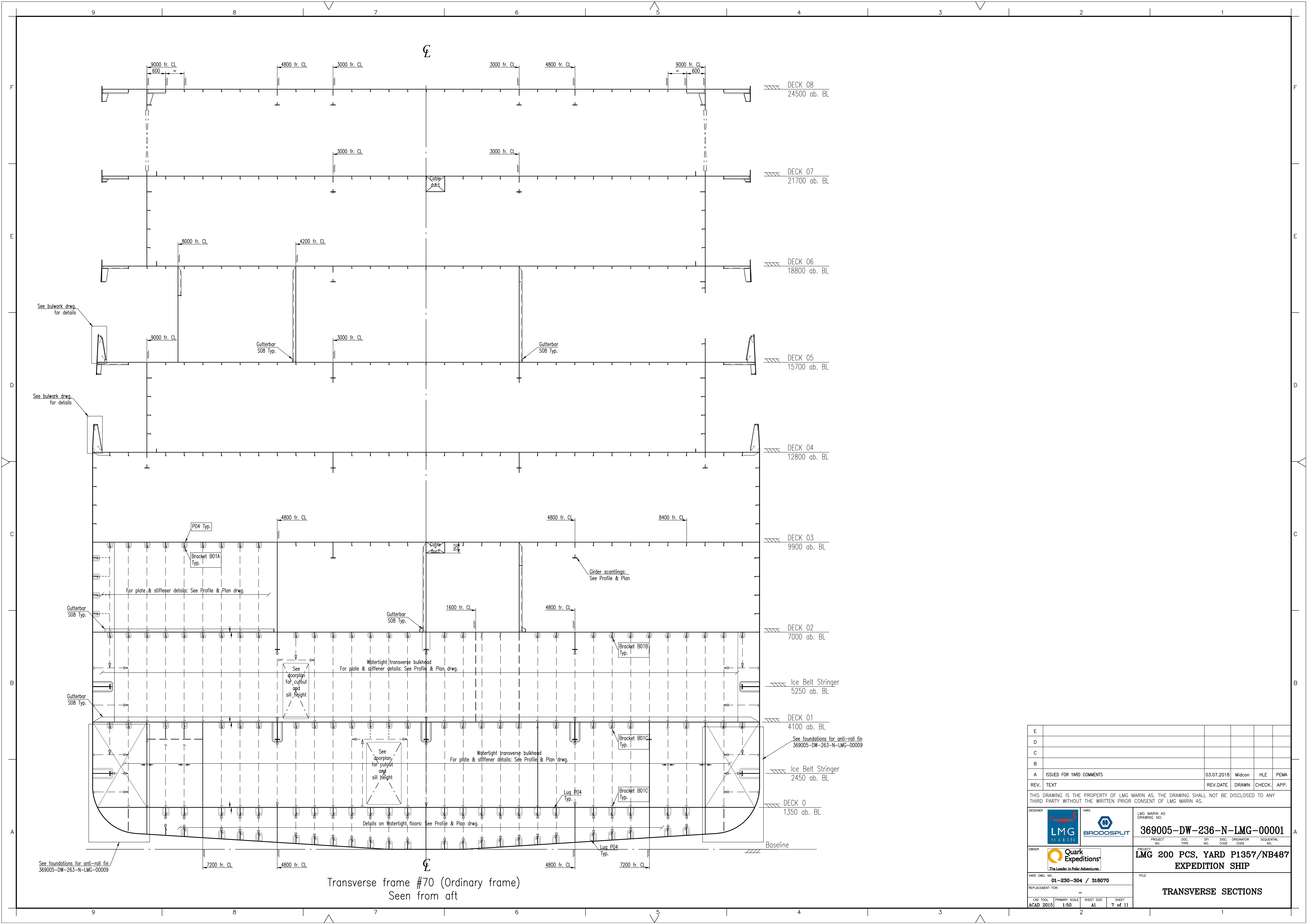


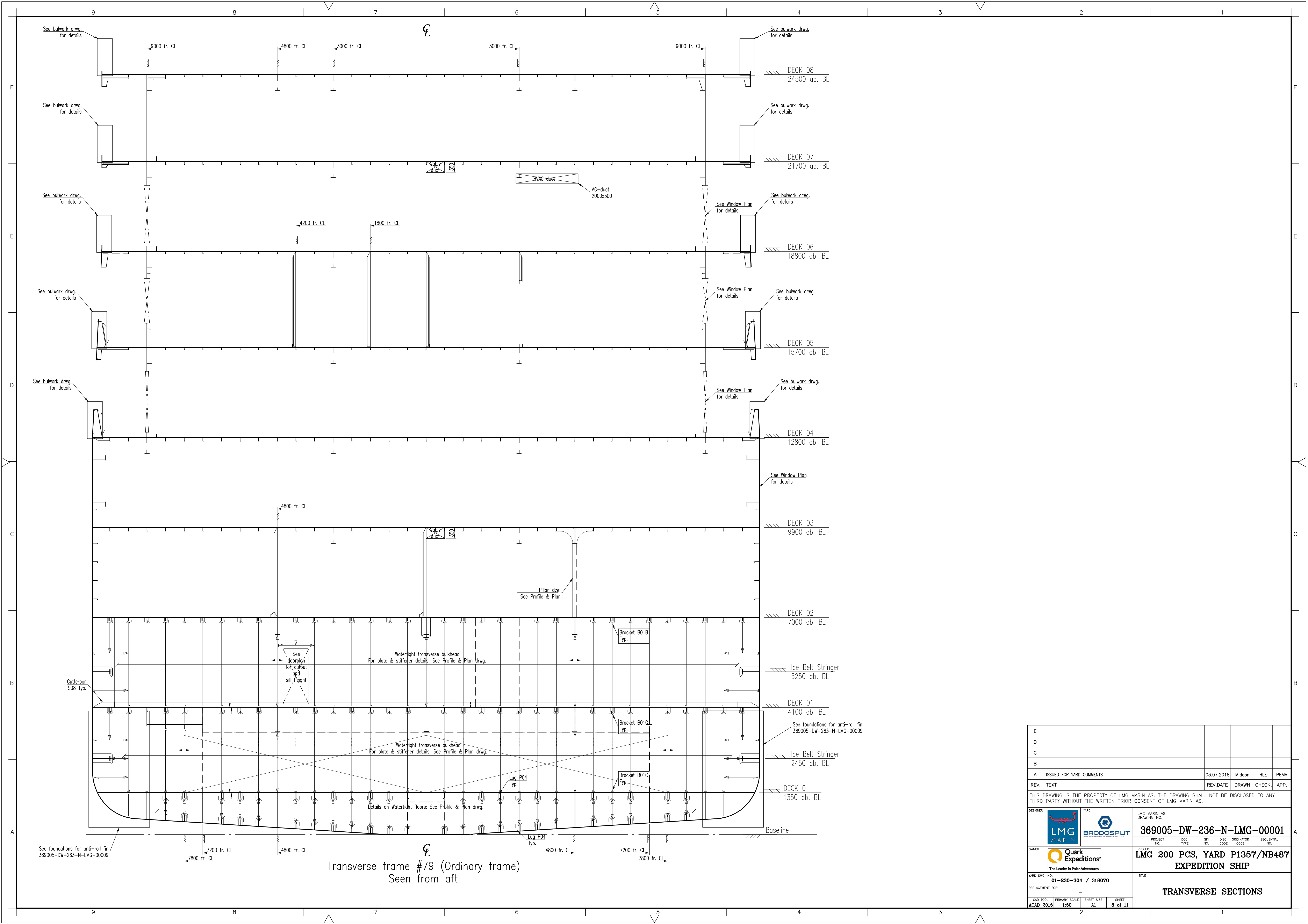
E		
D		
C		
B		
A		
A ISSUED FOR YARD COMMENTS 03.07.2018 Midcon HLE PEMA		
REV. TEXT	REV.DATE	DRAWN CHECK APP.
THIS DRAWING IS THE PROPERTY OF LMG MARIN AS. THE DRAWING SHALL NOT BE DISCLOSED TO ANY THIRD PARTY WITHOUT THE WRITTEN PRIOR CONSENT OF LMG MARIN AS.		
DESIGNER	YARD	LMG MARIN AS DRAWING NO.
OWNER	PROJECT	369005-DW-236-N-LMG-00001
Quark Expeditions®	TYPE	The Leader in Polar Adventures.
YARD DWG. NO.	SFI	DISC. ORIGINATOR
01-230-304 / 318070	CODE	SEQUENTIAL NO.
REPLACEMENT FOR:		
CAD TOOL	PRIMARY SCALE	SHEET SIZE
ACAD 2015	1:50	A1
TITLE TRANSVERSE SECTIONS		
5 of 11		

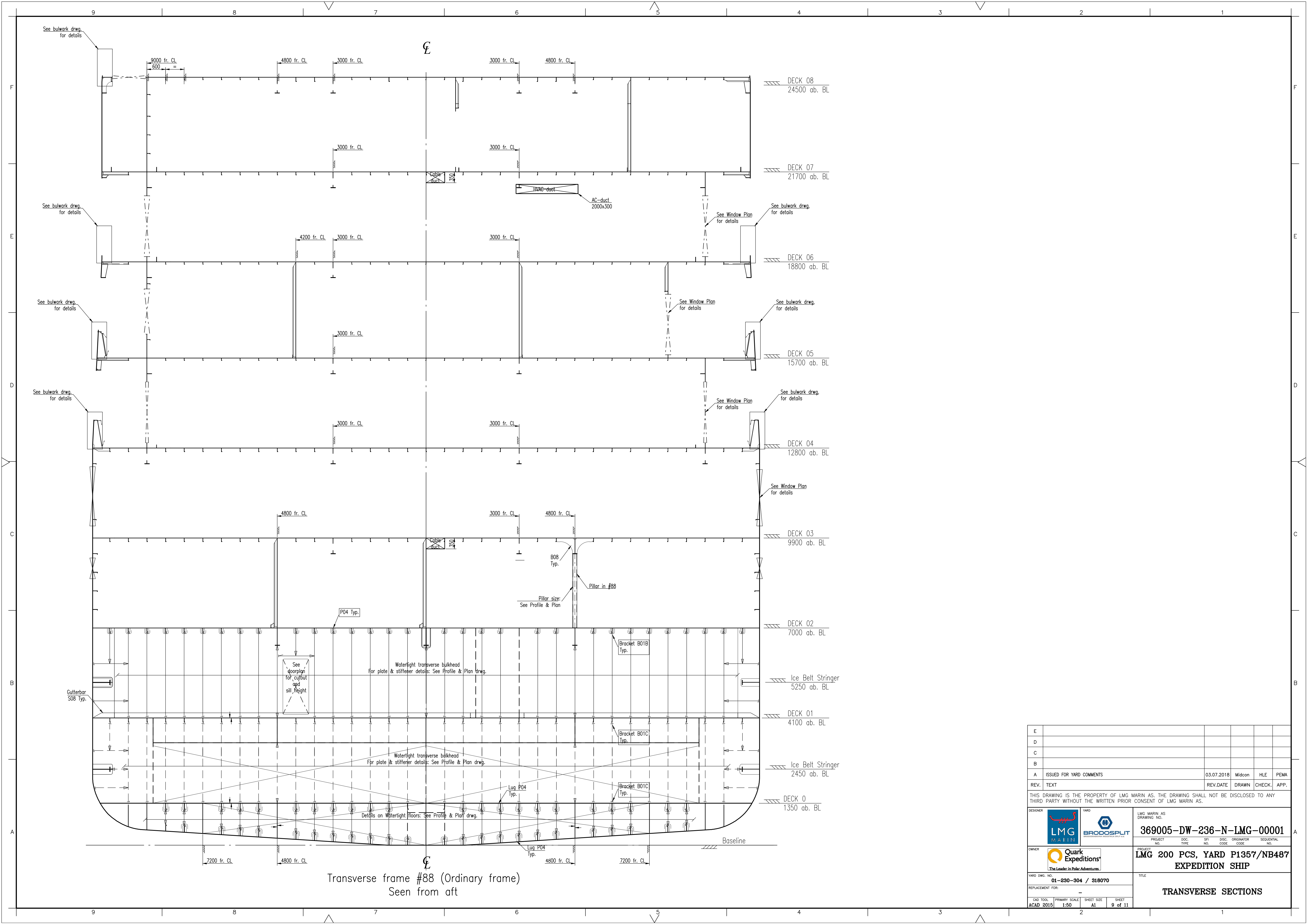


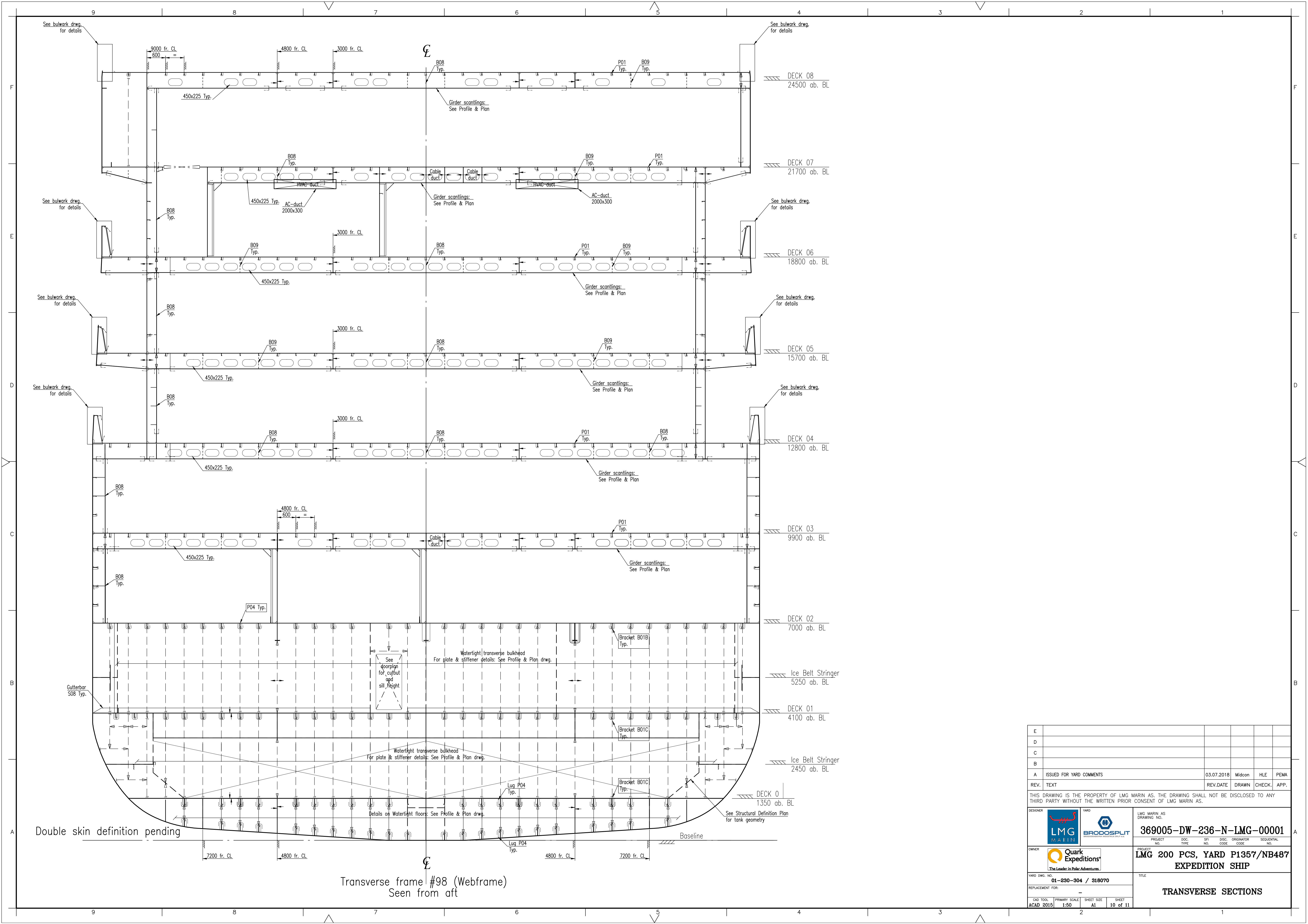
E			
D			
C			
B			
A			
	A ISSUED FOR YARD COMMENTS REV. TEXT	03.07.2018 Midcon HLE PEMA	
		REV. DATE DRAWN CHECK APP.	
	THIS DRAWING IS THE PROPERTY OF LMG MARIN AS. THE DRAWING SHALL NOT BE DISCLOSED TO ANY THIRD PARTY WITHOUT THE WRITTEN PRIOR CONSENT OF LMG MARIN AS.		
	DESIGNER LMG MARIN	YARD BRODOSPLIT	LMG MARIN AS DRAWING NO. 369005-DW-236-N-LMG-00001
	OWNER Quark Expeditions*	PROJECT NO. 01-230-304 / 318070	DOC. TYPE 369005-DW-236-N-LMG-00001
	REPLACEMENT FOR:	TITLE	LMG 200 PCS, YARD P1357/NB487 EXPEDITION SHIP
	CAD TOOL ACAD 2015	PRIMARY SCALE 1:50	SHEET SIZE A1
			SHEET 6 of 11

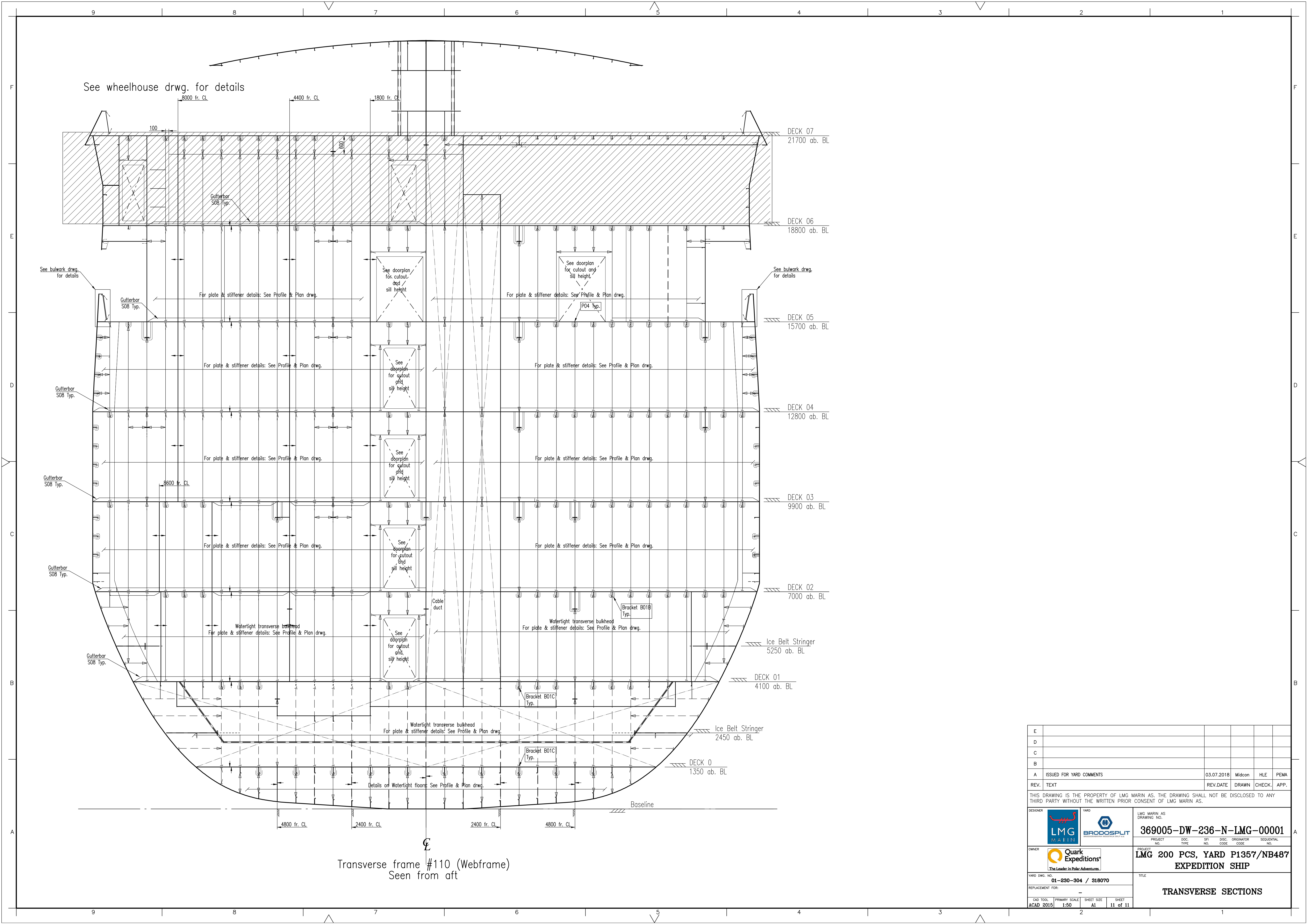
TRANSVERSE SECTIONS

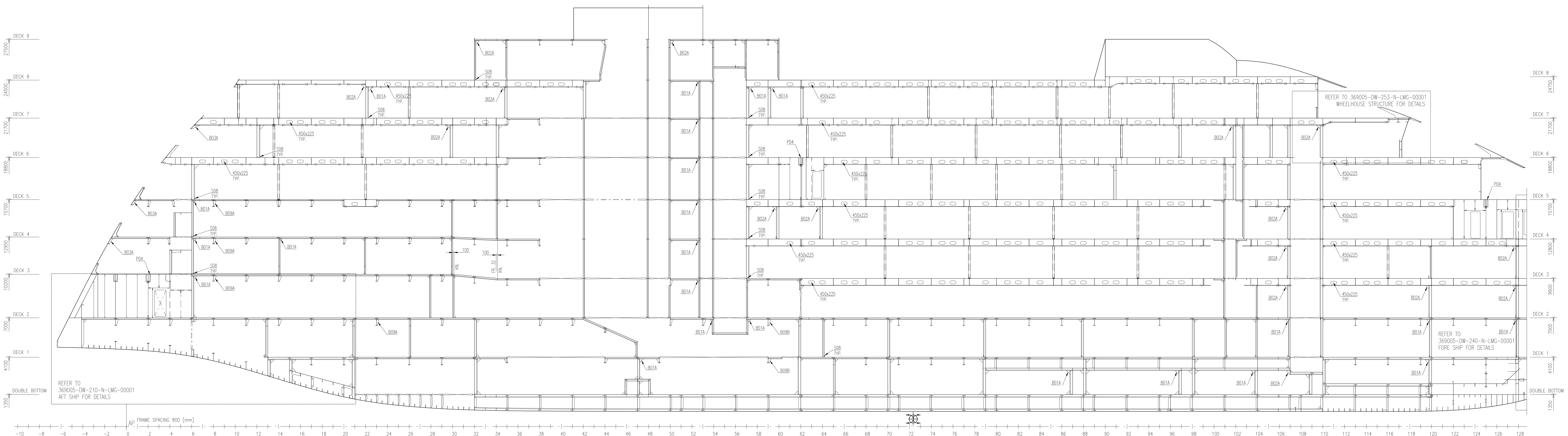




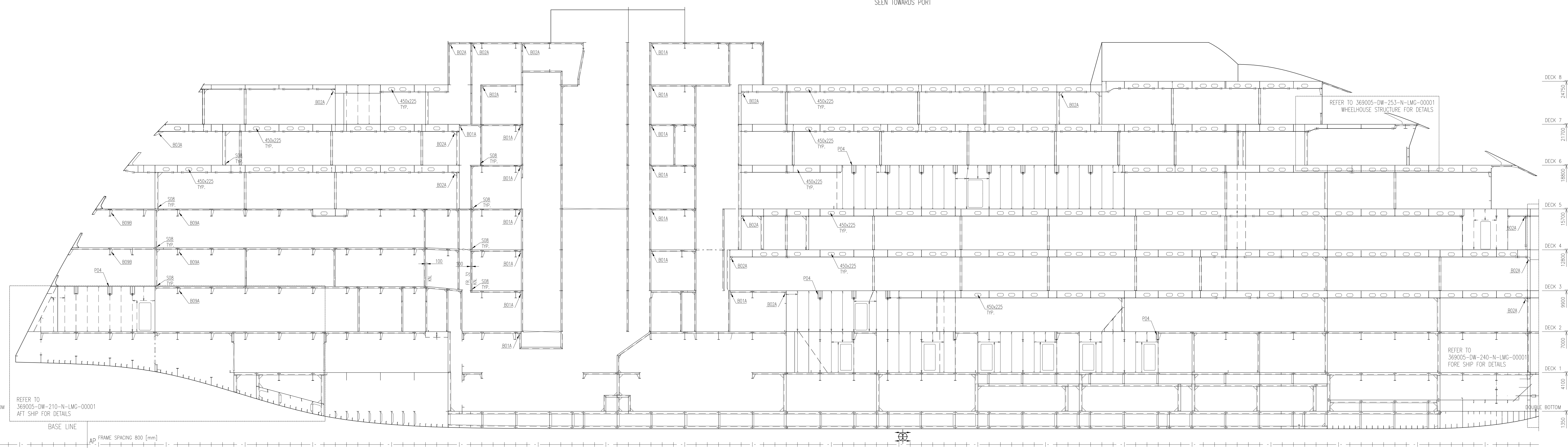








LONGITUDINAL SECTION 3000 f.cl PS
SEEN TOWARDS PORT



MAIN DIMENSIONS

LENGTH OVER ALL oblt. 127.97 m
LENGTH BETWEEN P.P. 115.58 m
MOULDED BEAM 21.50 m
DEPTH, MOULDED 7.00 m
DRAUGHT SCANTLING 5.25 m
DESIGN DRAUGHT 5.10 m
FRAME SPACING 0.80 m

CAPACITY

PASSENGER CAPACITY 200 persons
CREW/STAFF CAPACITY 116 persons
PASSENGER CABINS 97 x 2P cabins
6 x 1P cabins
STAFF CABINS 40 x 2P cabins
15 x 1P cabins
CREW CABINS 11 x 1P cabins
5 x 2P cabins

CLASS

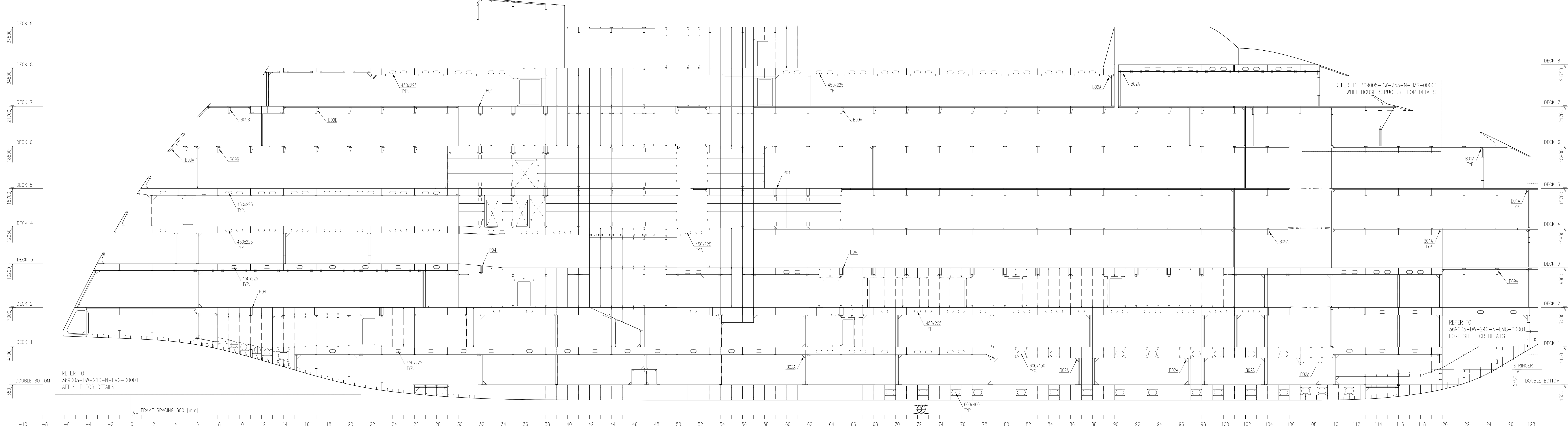
DNVGL +1A, PC-(6)-(20), PASSENGER SHIP,
EO, COMF (V2)(C2)PAX, (V3)(C3)CREW,
CLEAN, RECYCLABLE, TMON, BIS, ECA(Sox-A),
HELDK(S,H,F), LFL(2)
SRIPI
FLAG Marshall Islands

PROJECT REFERENCES:

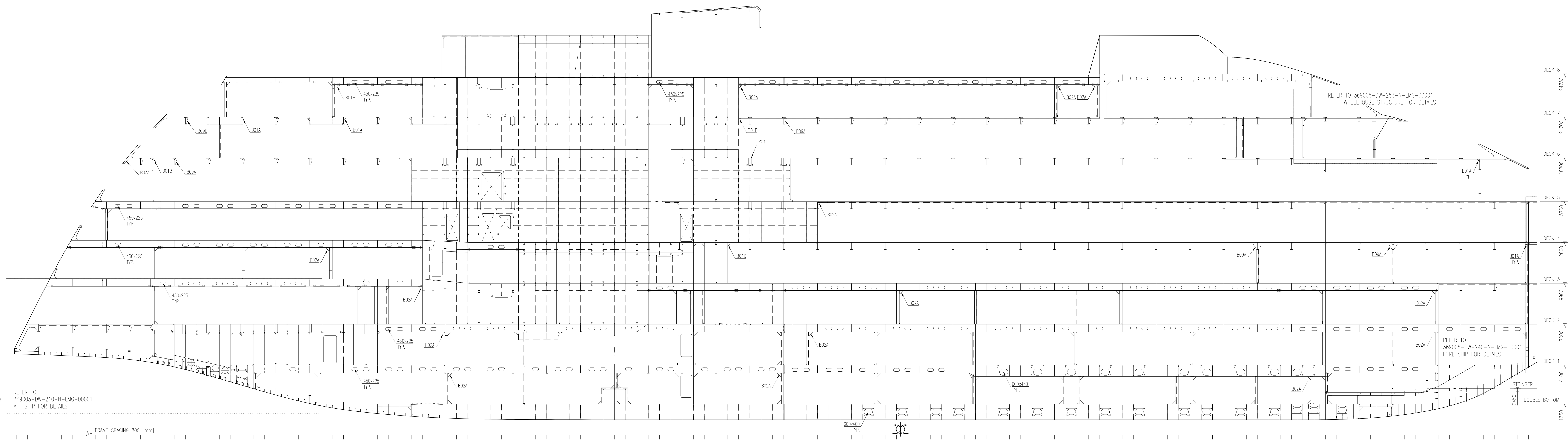
369005-DW-101-C-LMG-00001 GENERAL ARRANGEMENT
369005-DW-200-N-LMG-00001 SHELL, INTERNAL STRUCTURAL DETAILS
369005-DW-201-N-LMG-00004 WELDING TABLE
369005-DW-210-N-LMG-00001 AFT SHIP
369005-DW-210-N-LMG-00002 SKS STRUCTURE
369005-DW-210-N-LMG-00003 LONGITUDINAL SECTION
369005-DW-230-N-LMG-00002 PROFILE AND DECKS PLAN
369005-DW-230-N-LMG-00003 SHELL EXPANSION & FRAMING PLAN
369005-DW-230-N-LMG-00004 WELDING TABLE
369005-DW-231-N-LMG-00001 LONGITUDINAL SECTIONS
369005-DW-240-N-LMG-00001 FORE SHIP
369005-DW-250-N-LMG-00001 MAIN RADAR AND SATELLITE MAST
369005-DW-250-N-LMG-00002 MAIN ANTENNAE STRUCTURE
369005-DW-101-C-LMG-00001 GENERAL ARRANGEMENT
369005-DW-513-C-LMG-00001 INTERIOR DOOR PLAN
369005-DW-514-C-LMG-00001 EXTERIOR DOOR PLAN
369005-DW-515-C-LMG-00001 WINDOW PLAN

NOTES:
1. REFER TO 369005-DW-230-N-LMG-00002 PROFILE AND DECKS PLAN AND 369005-DW-230-N-LMG-00001
MIDSHIP SECTION FOR SCALINGS FOR DECKS, BULKHEADS AND PILARS. ONLY BRACKET DIMENSIONS AND
DIMENSIONS THAT ARE NOT TYPICAL ARE SHOWN ON THIS DWG.
2. REFER TO 369005-DW-200-N-LMG-00003 TYPICAL STRUCTURAL DETAILS FOR DETAILS ON BRACKET AND GUTTER
CONNECTIONS.
3. REFER TO DOOR PLAN AND WINDOW PLAN FOR DETAILS OF CUTOUTS SHOWN IN BHDS

F		
D		
C		
B		
A	ISSUED FOR YARD COMMENTS REV. TEXT	03.07.2018 Midcon HLE PEMA REV. DATE DRAWN CHECK APP.
	THIS DRAWING IS THE PROPERTY OF LMG MARIN AS. THE DRAWING SHALL NOT BE DISCLOSED TO ANY THIRD PARTY WITHOUT THE WRITTEN PRIOR CONSENT OF LMG MARIN AS.	
	LMG MARIN AS DRAWING NO. 369005-DW-230-305 / 318071 REPLACEMENT FOR DWG. NO. 369005-DW-230-305 / 318071	LMG MARIN AS PROJECT NO. 369005-DW-237-N-LMG-00001 TYPE EXPEDITION SHIP
	GAS TOOL PRIMARY SCALE 1:100	SHEET SIZE A0 SHEET 1 of 3
		LONGITUDINAL SECTIONS

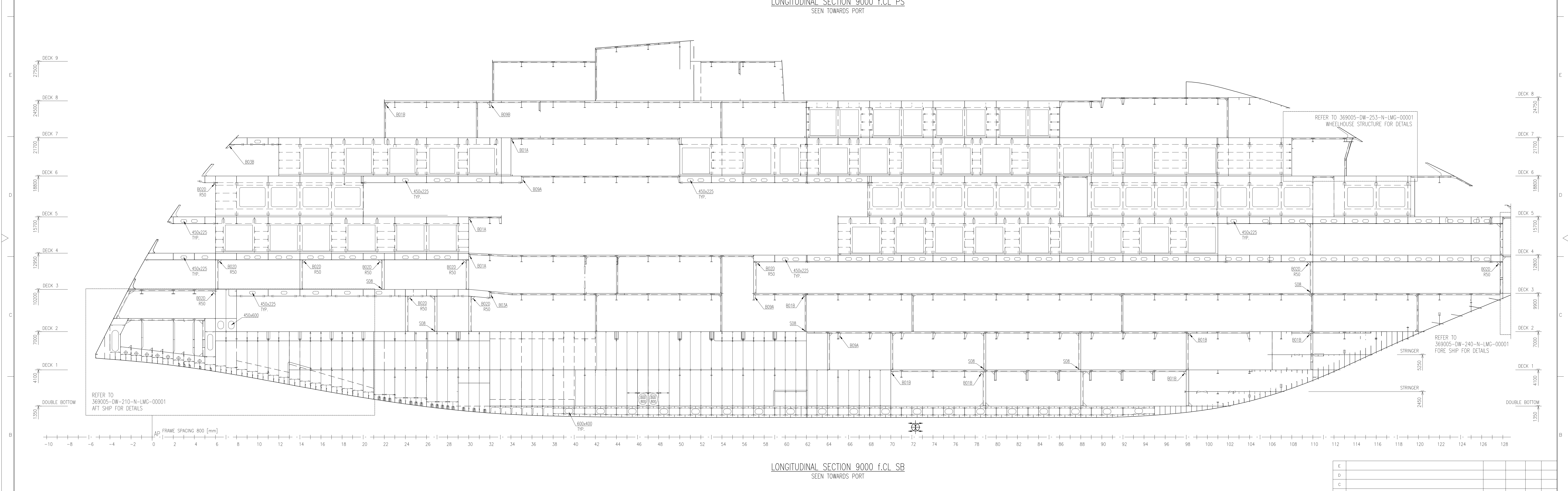
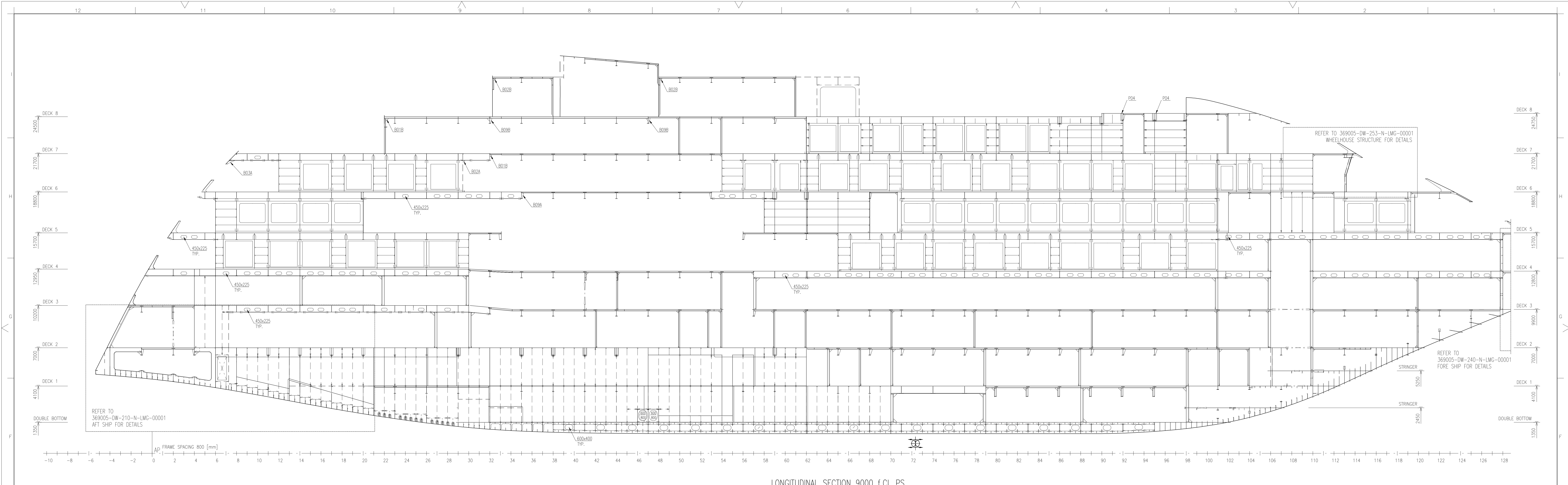


LONGITUDINAL SECTION 4800 f.CL PS
SEEN TOWARDS PORT

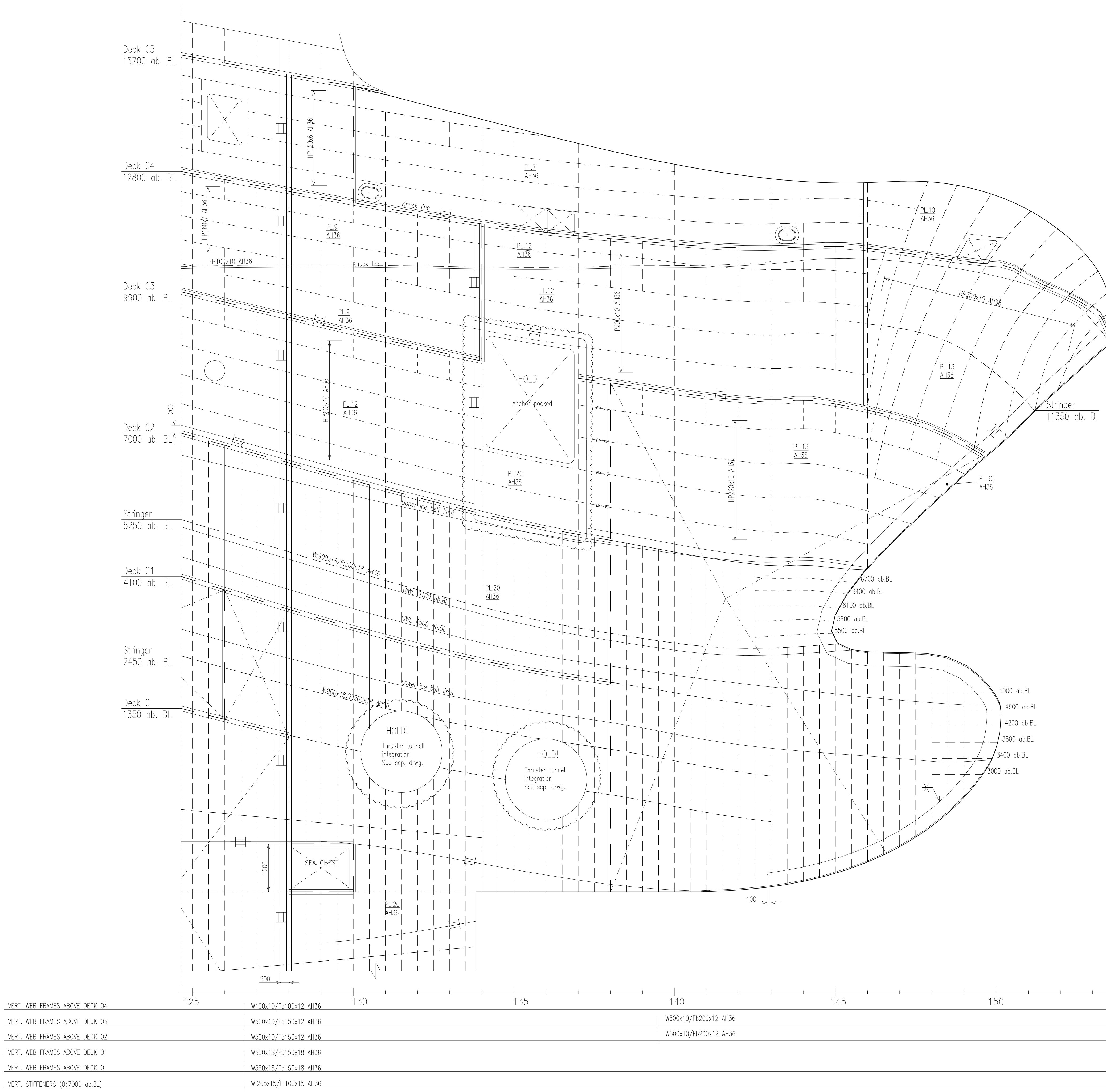


LONGITUDINAL SECTION 4800 f.CL SB
SEEN TOWARDS PORT

F				
D				
C				
B				
A	ISSUED FOR YARD COMMENTS REV. TEXT	03.07.2018 Midcon HLE PEMA REV. DATE DRAWN CHECK APP.		
	THIS DRAWING IS THE PROPERTY OF LMG MARIN AS. THE DRAWING SHALL NOT BE DISCLOSED TO ANY THIRD PARTY WITHOUT THE WRITTEN PRIOR CONSENT OF LMG MARIN AS.			
DESIGNER	LMG MARIN AS	YARD	369005-DW-237-N-LMG-00001	
OWNER	Quark Expeditions®	YARD DWG. NO. 369005-305 / 318071	PROJECT TYPE	EXPEDITION SHIP
REPLACEMENT FOR		REPLACEMENT FOR		
GAS TOOL	PRIMARY SCALE	SHEET SIZE	2	
ACAD 2010	1:100	MM	2 of 3	
LONGITUDINAL SECTIONS				

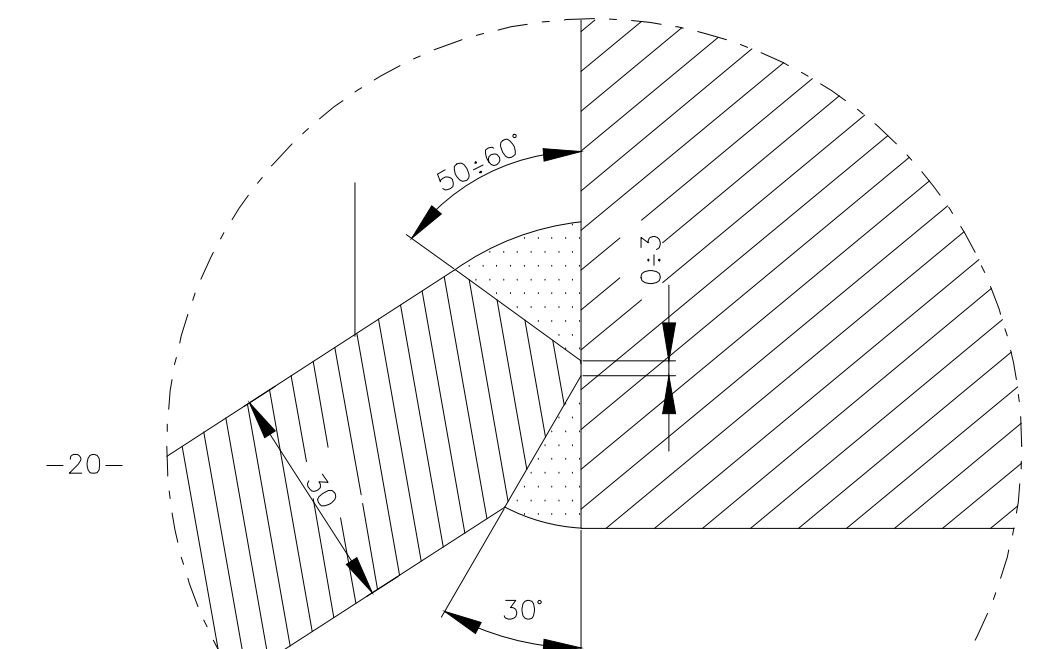


F									
D									
C									
B									
A									
A	ISSUED FOR YARD COMMENTS	03.07.2018	Midcon	HLD	PEMA	REV. DATE	DRAWN	CHECK	APP.
REV. TEXT									
THIS DRAWING IS THE PROPERTY OF LMG MARIN AS. THE DRAWING SHALL NOT BE DISCLOSED TO ANY THIRD PARTY WITHOUT THE WRITTEN PRIOR CONSENT OF LMG MARIN AS.									
DESIGNER	LMG MARIN AS	YARD DWG. NO.	369005-DW-237-N-LMG-00001	PROJECT	DOC	SPL	ORDINATOR	SEQUENTIAL	
OWNER	Quark Expeditions®	YARD DWG. NO.	311-230-305 / 318071	PRODUCT	PCB	SPR	ORDINATOR	SEQUENTIAL	
REPLACEMENT FOR		REPLACEMENT FOR		DRAWING					
GAS TOOL	ACAD	PRIMARY SCALE	1:100	SHEET SIZE	A0	3 of 3			
LONGITUDINAL SECTIONS									

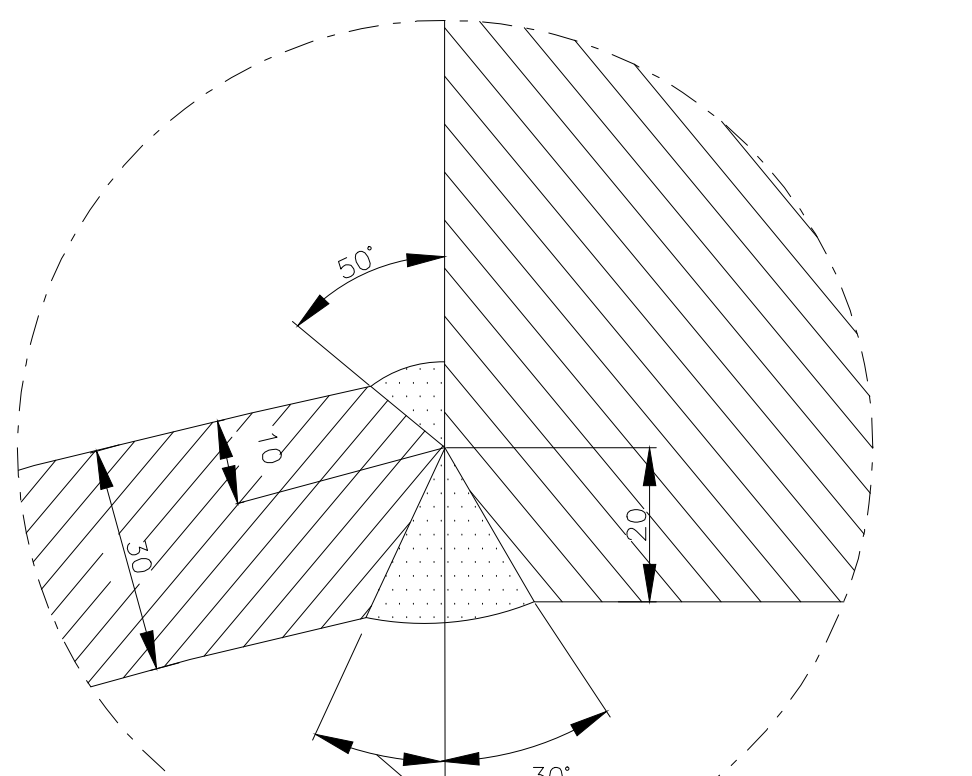


SHELL EXPANSION SB
PS - SIMILARLY

det. "X1"
1:1



det. "X2"
1:1



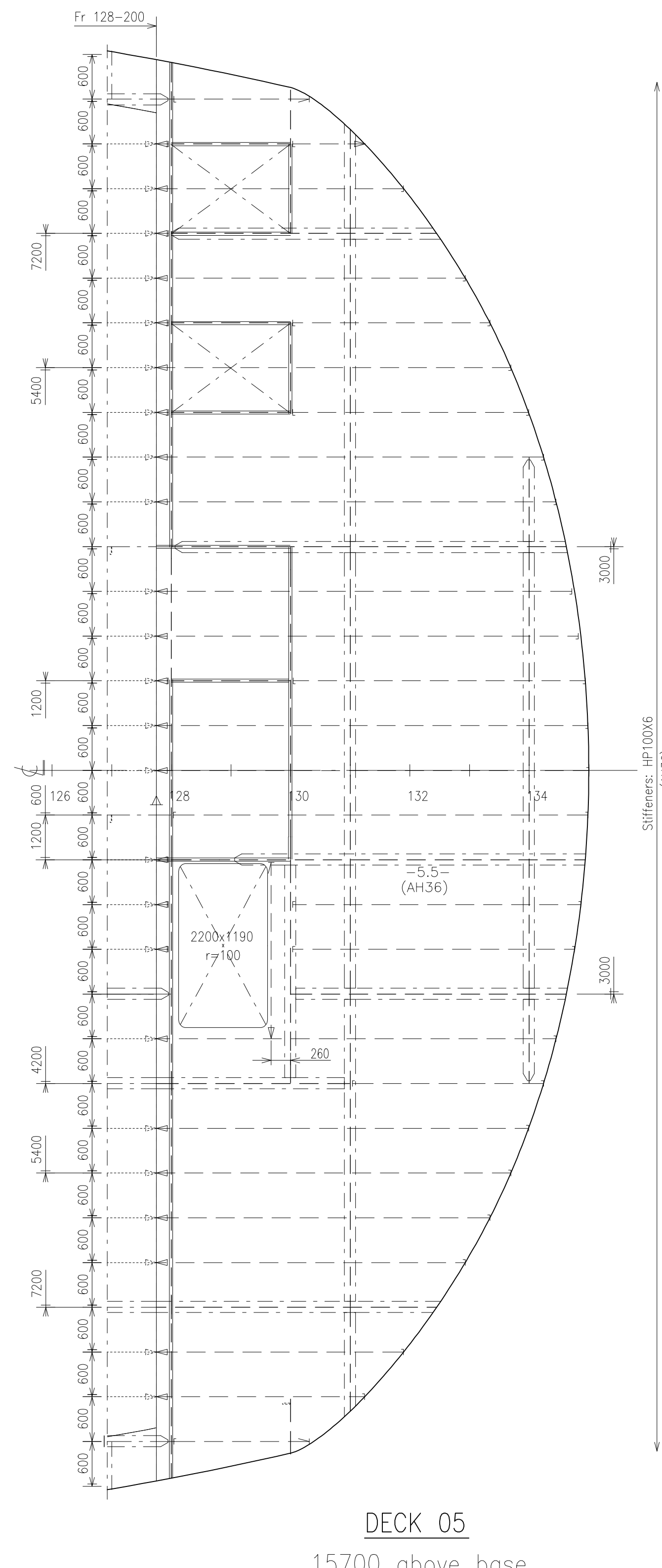
MARKING OF STIFFENER ENDS

- sniped ends (flat bar)
- sniped ends (angle bar)
- sniped ends (cngle bar)
- ends with bckt's
- welded ends with bckt's
- welded ends

NOTES:
1. ALL MATERIALS TO BE IN-VS UNLESS NOTED OTHERWISE
2. DETAILS ARE SHOWN ON STANDARD STRUCTURAL DETAILS DRAWING
3. DRAWING COMPATIBLE WITH GA revA

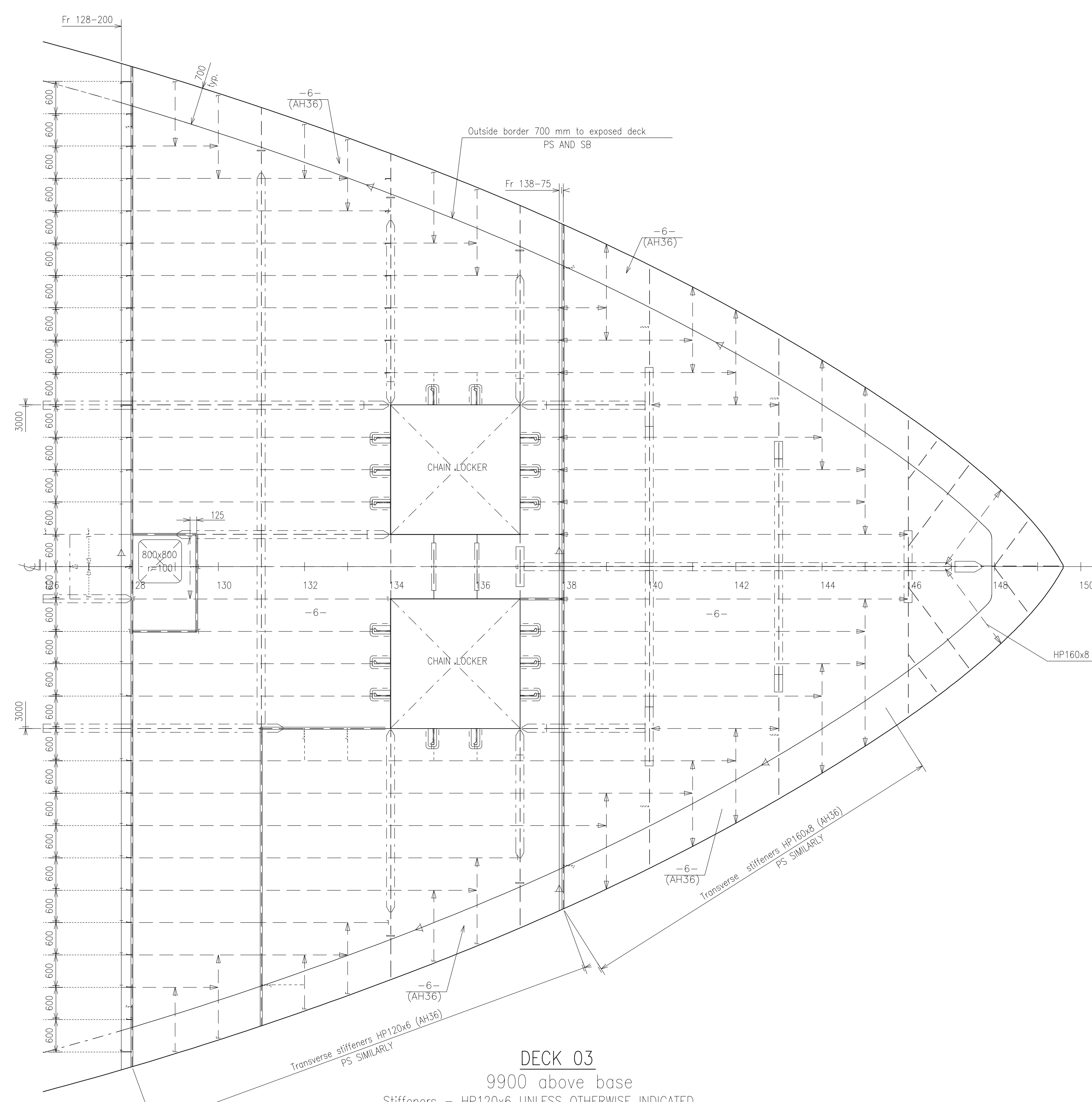
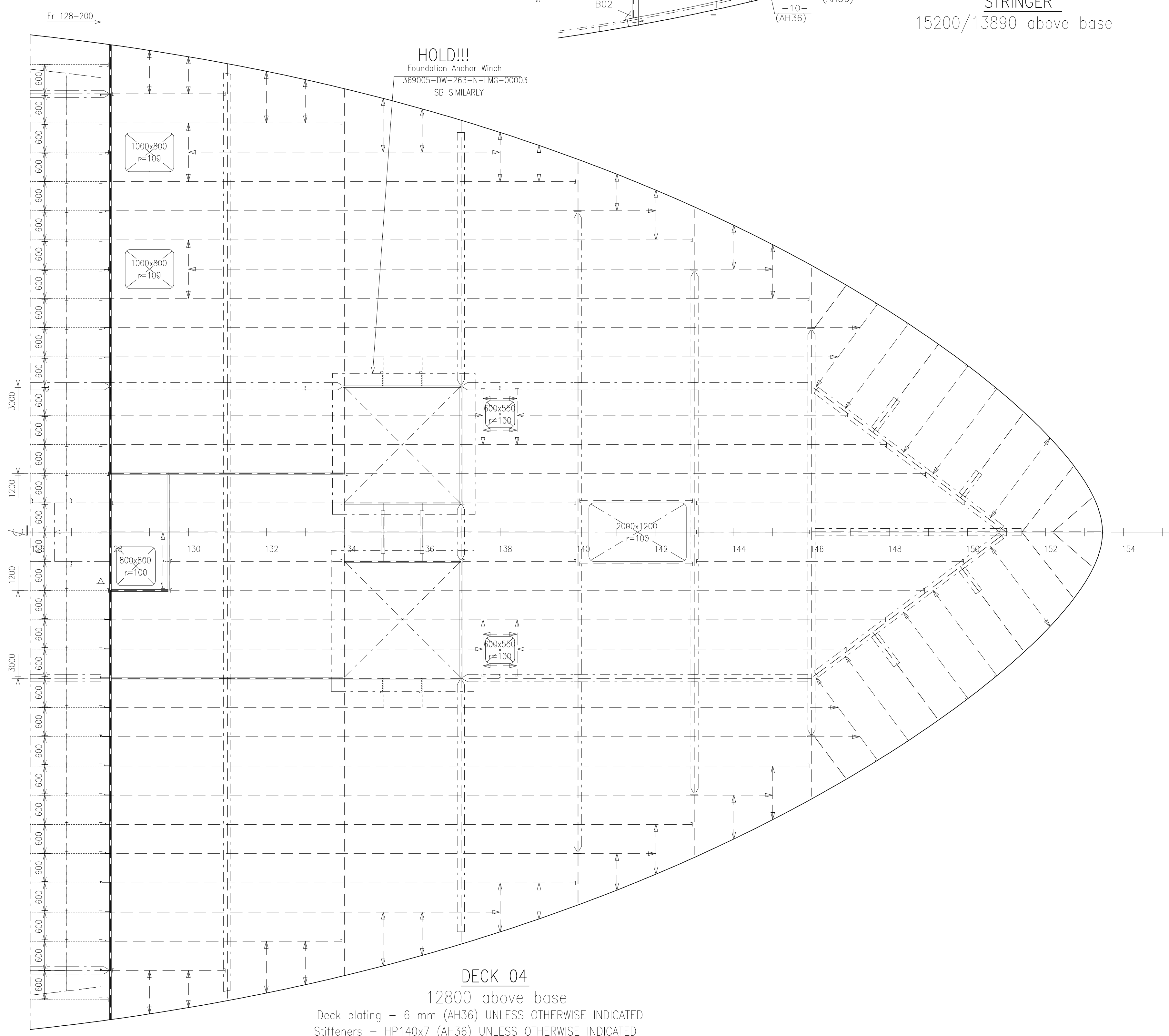
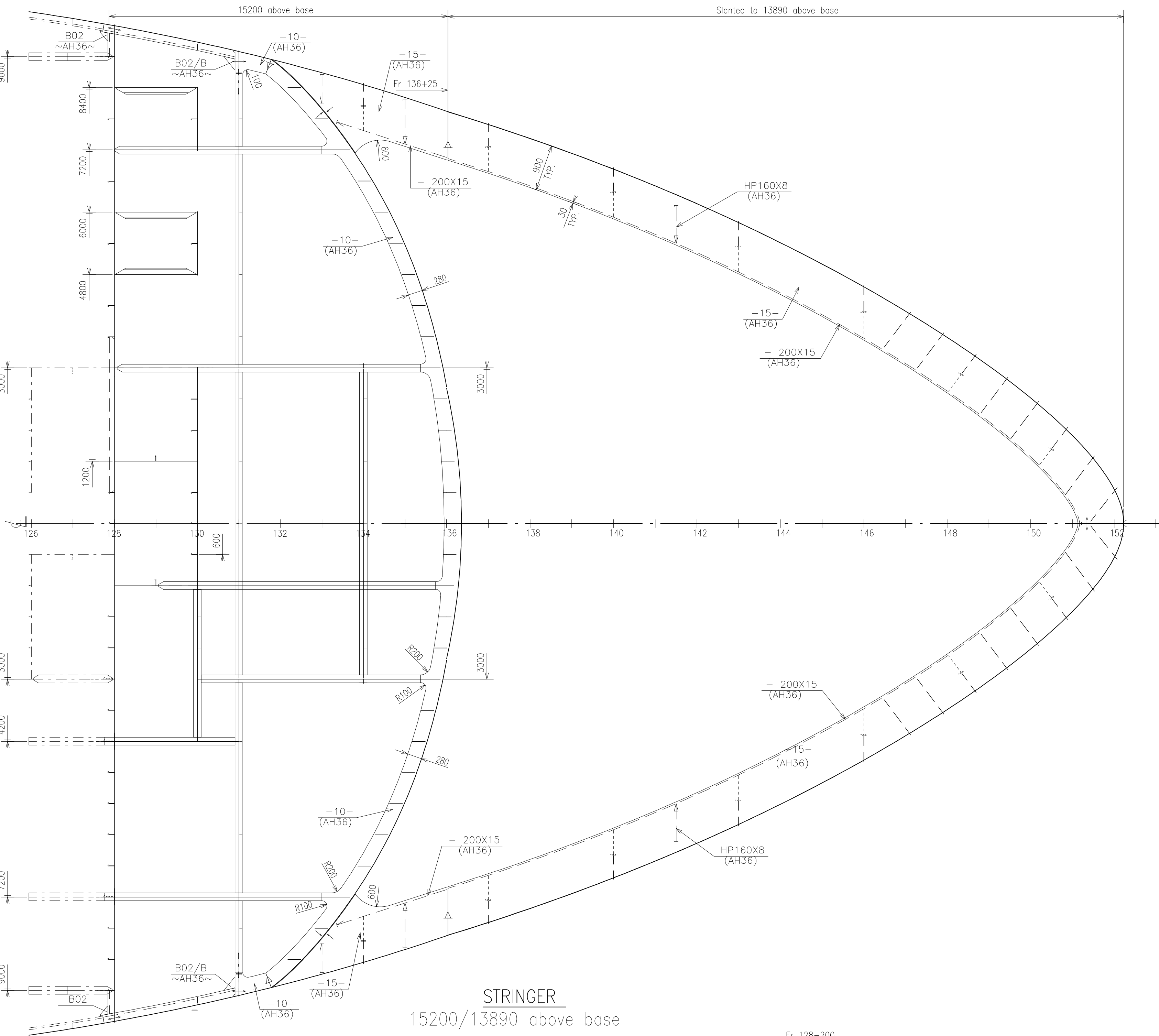
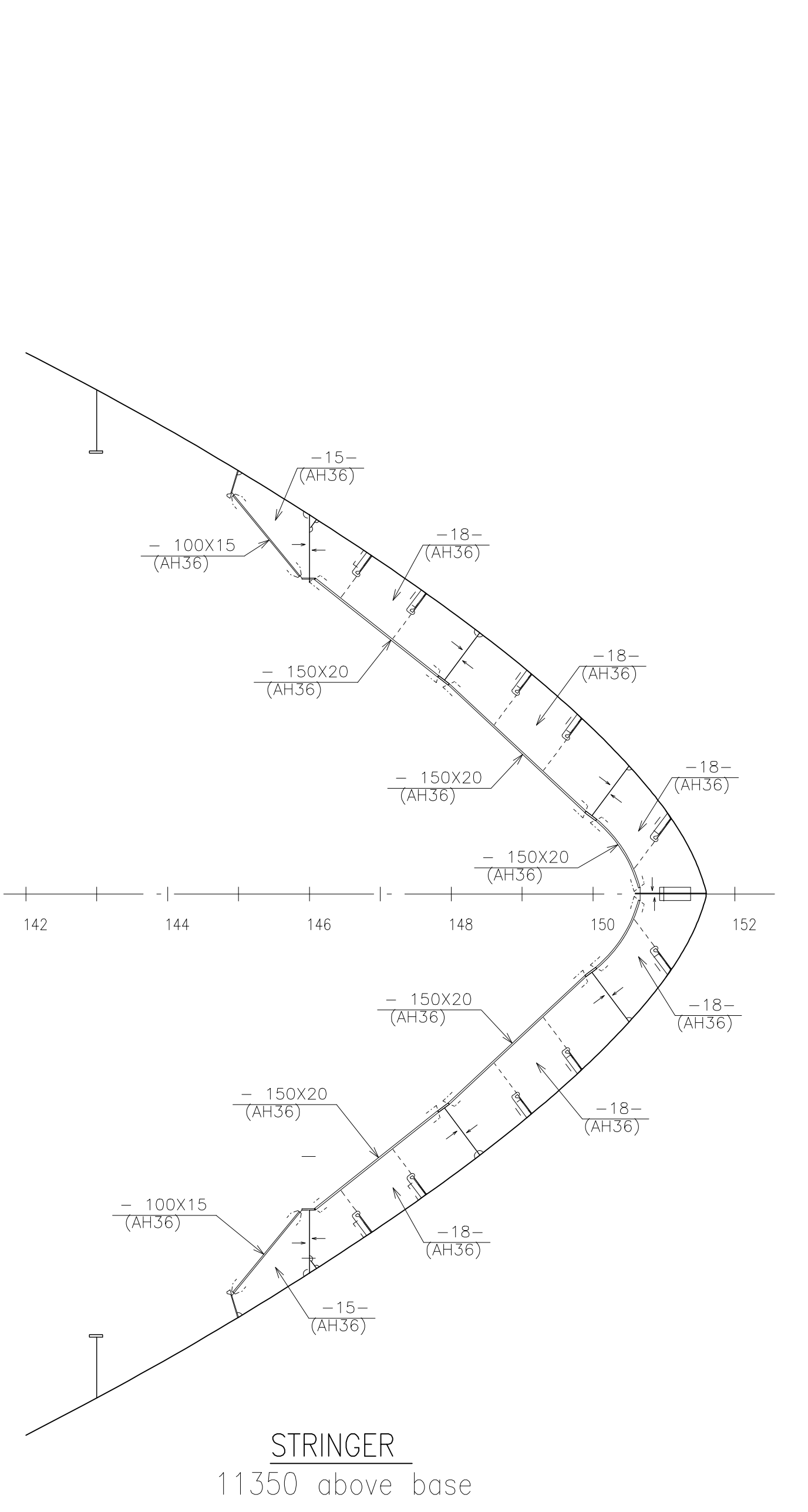
PROJECT REFERENCES:

- 36905-DW-101-C-LMG-00001 GENERAL ARRANGEMENT
- 36905-DW-200-N-LMG-00001 STEEL DEFINITION PLAN
- 36905-DW-201-N-LMG-00002 PROFILE PLATES PLAN
- 36905-DW-200-N-LMG-00003 TYPICAL STRUCTURAL DETAILS
- 36905-DW-230-N-LMG-00001 MIDSHIP SECTION
- 36905-DW-230-N-LMG-00002 PROFILE & DECKS PLAN
- 36905-DW-231-N-LMG-00001 SHELL EXPANSION & FRAMING PLAN
- 36905-DW-236-N-LMG-00001 TRANSVERSE SECTIONS
- 36905-DW-237-N-LMG-00001 LONGITUDINAL SECTIONS



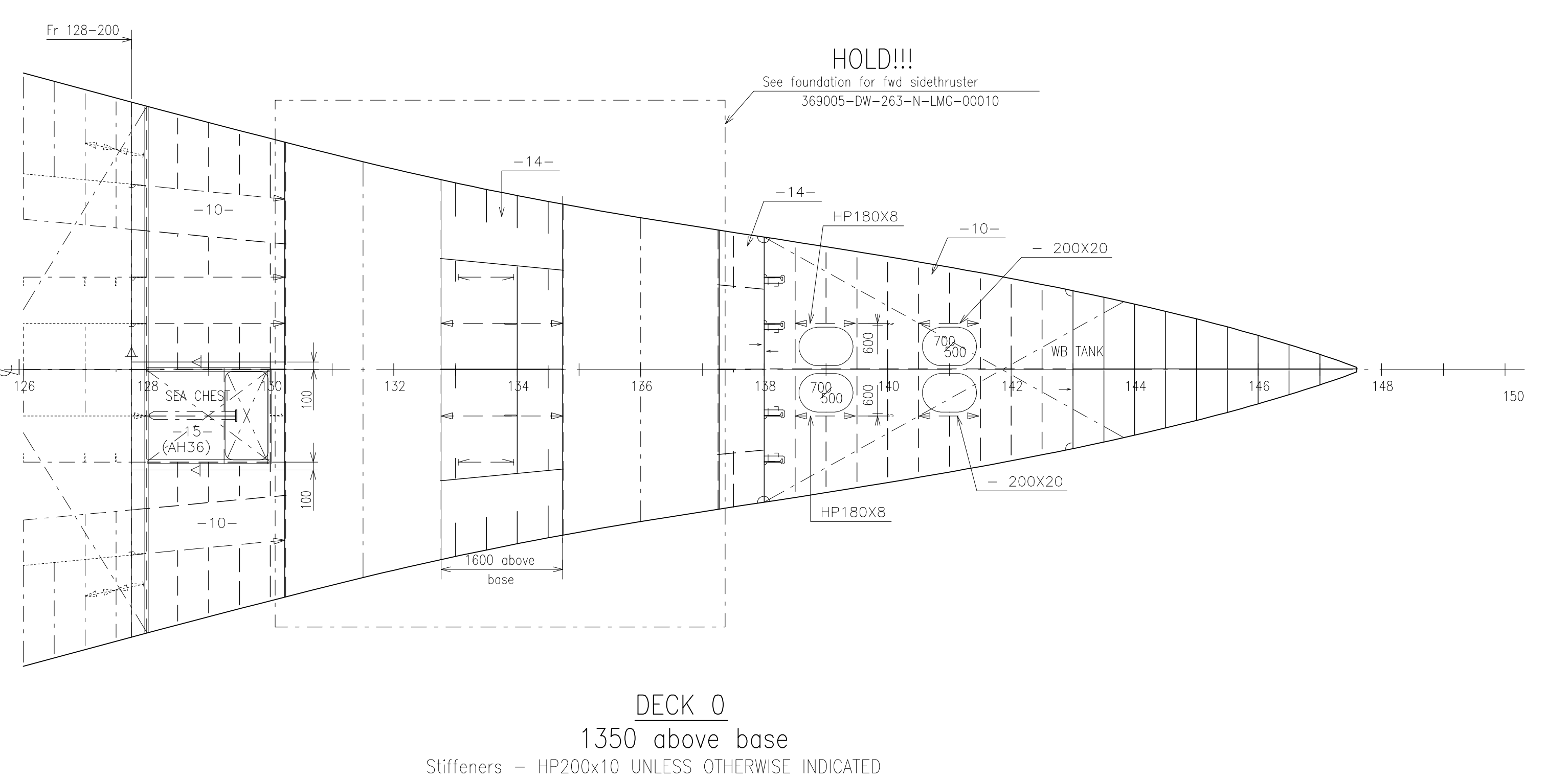
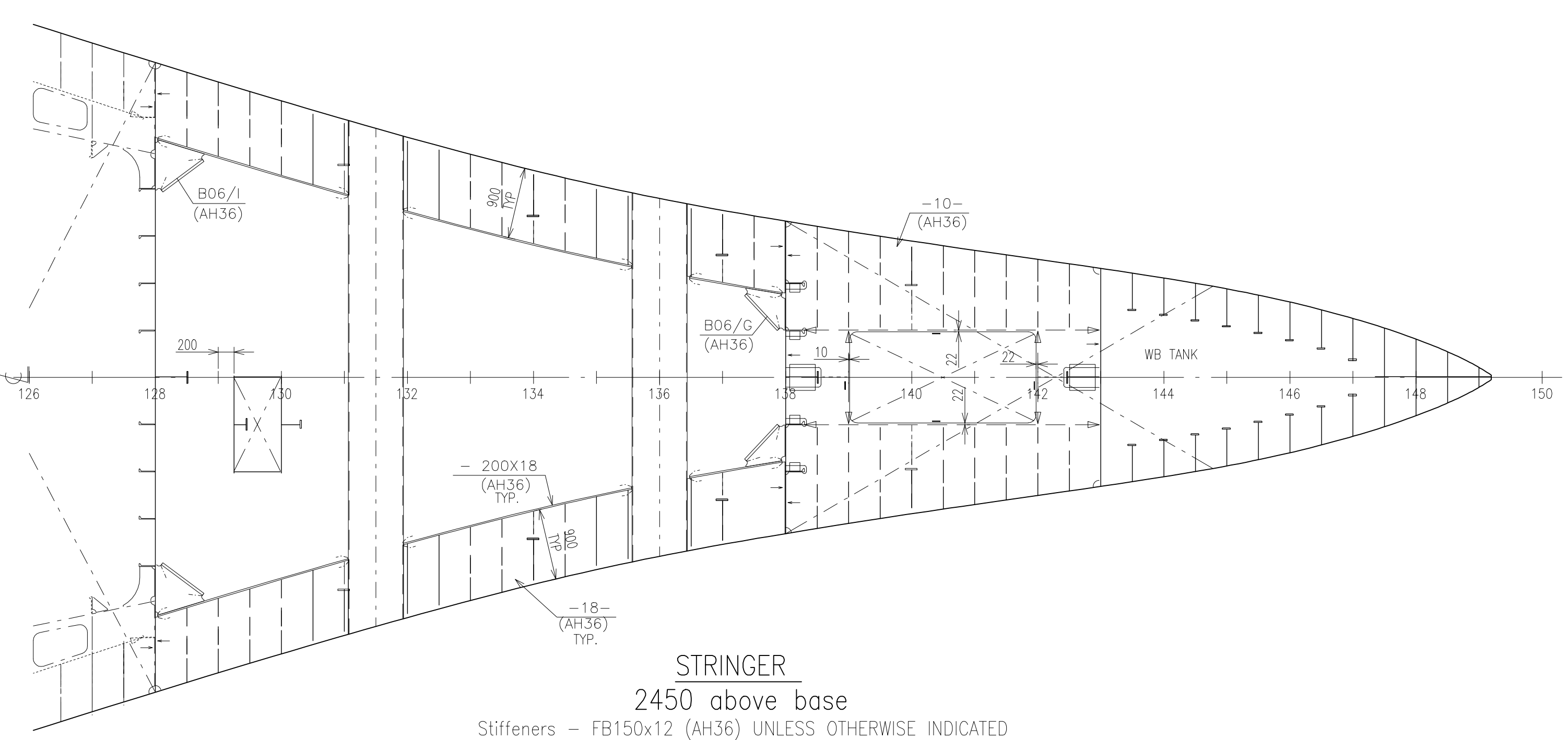
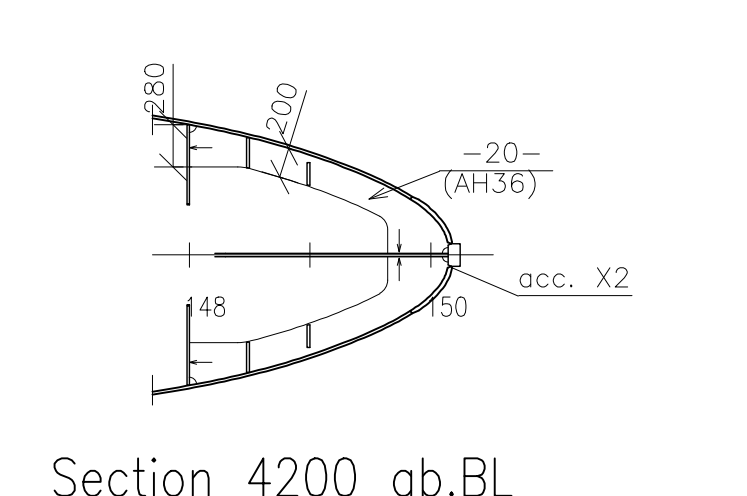
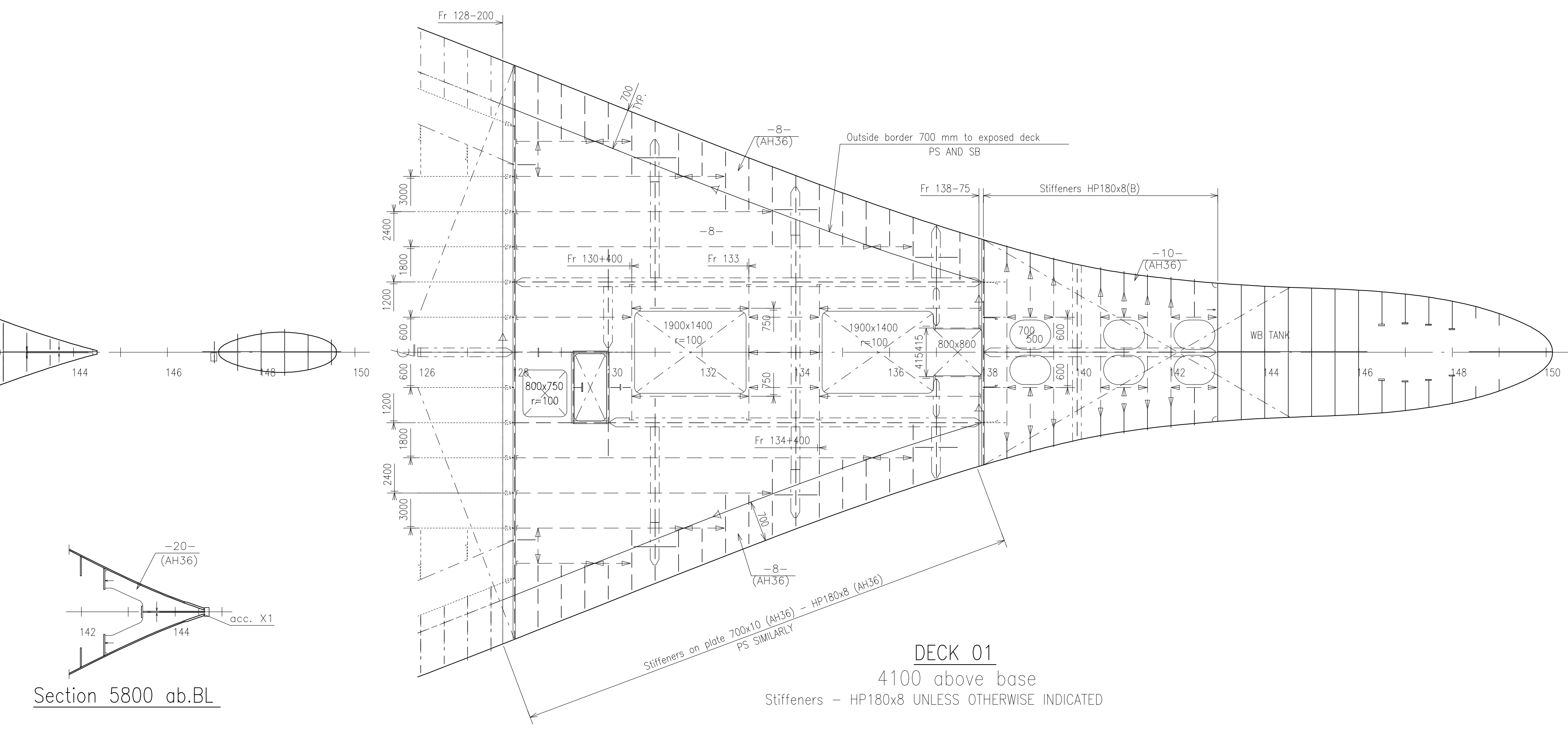
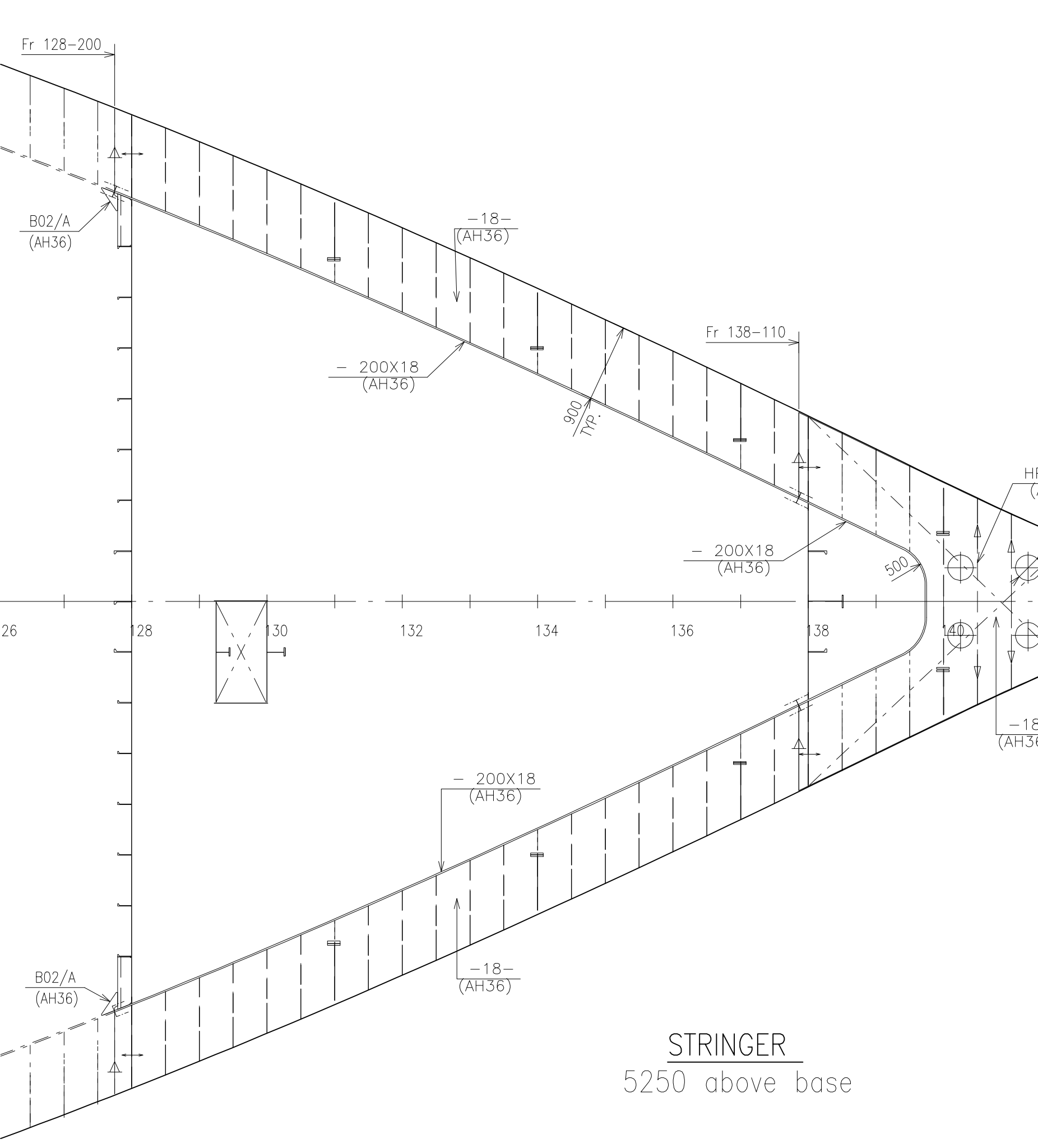
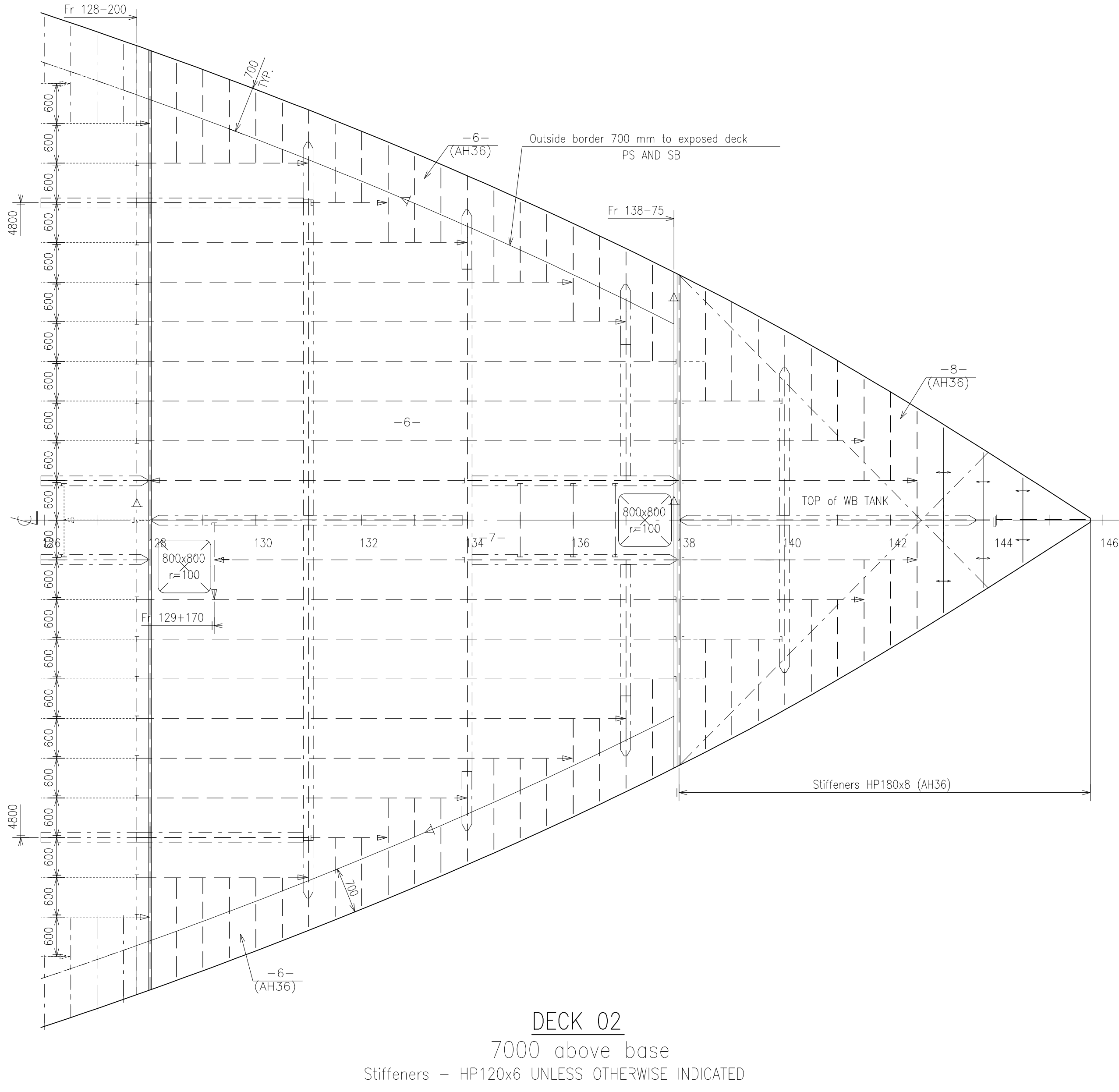
F				
D				
C				
B				
A				
A	ISSUED FOR YARD COMMENTS	11.07.2018	MIDCON	SNL PEMA
REV. TEXT		REV. DATE	DRAWN	CHECK APP.
THIS DRAWING IS THE PROPERTY OF LMG MARIN AS. THE DRAWING SHALL NOT BE DISCLOSED TO ANY THIRD PARTY WITHOUT THE WRITTEN PRIOR CONSENT OF LMG MARIN AS.				
DESIGNER	LMG MARIN AS	PROJ. COORD.	SPF COORD.	SEQUENTIAL
	LMG MARIN AS	LMG MARIN AS	LMG MARIN AS	LMG MARIN AS
OWNER	Quark Expeditions	PROJECT TYPE	DOC	SPR ORIGINATOR
	The Leader in Polar Adventures	36905-DW-240-300 / 318072	REPLACEMENT FOR	
YARD DWG. NO.		DOC DATE	SPR DATE	
REPLACEMENT FOR				
GAS TOOL	ACAD 2010	PRIMARY SCALE	1:50	
ACAD		SHEET SIZE	A0	1 of 8
		REVISION		
		1		

FORE SHIP

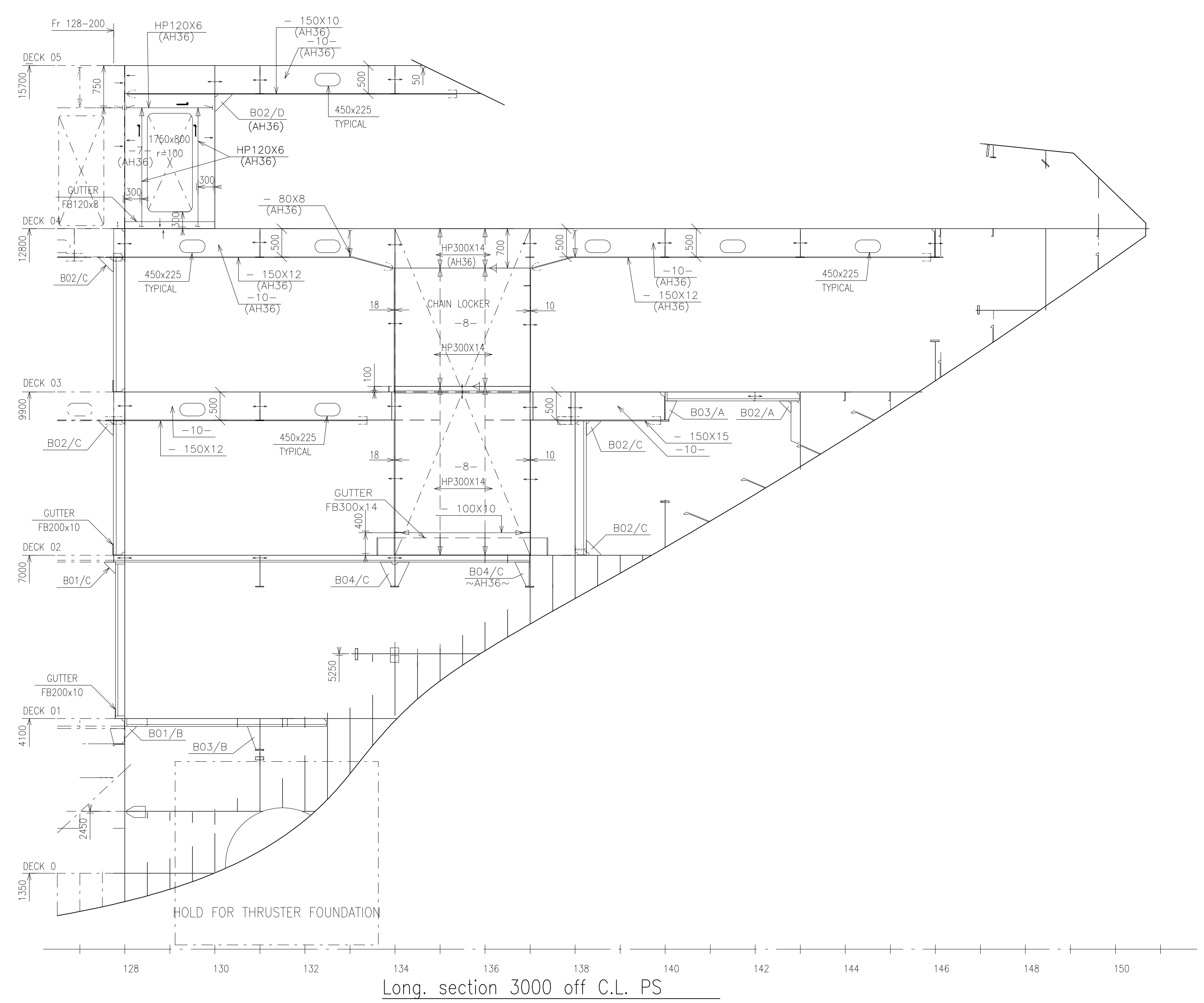


F				
D				
C				
B				
A				
A ISSUED FOR YARD COMMENTS REV. TEXT 11.07.2018 MIDCON SNL PEMA THIS DRAWING IS THE PROPERTY OF LMG MARIN AS. THE DRAWING SHALL NOT BE DISCLOSED TO ANY THIRD PARTY WITHOUT THE WRITTEN PRIOR CONSENT OF LMG MARIN AS.				
DESIGNER LMG MARIN AS DRAWING NO. 369005-DW-240-N-LMG-00001 OWNER Quark Expeditions® PROJECT NO. 11-240-300 / 318072 PRODUCT LMG 200 PCS, YARD P1357/NB487 TITLE EXPEDITION SHIP				
DRAWN BY DATE 11-240-300 / 318072 REPLACEMENT FOR CNC TOOL ACAD 2015 PRIMARY SCALE 1:50 SHEET SIZE A0 SHEET 2 of 8				

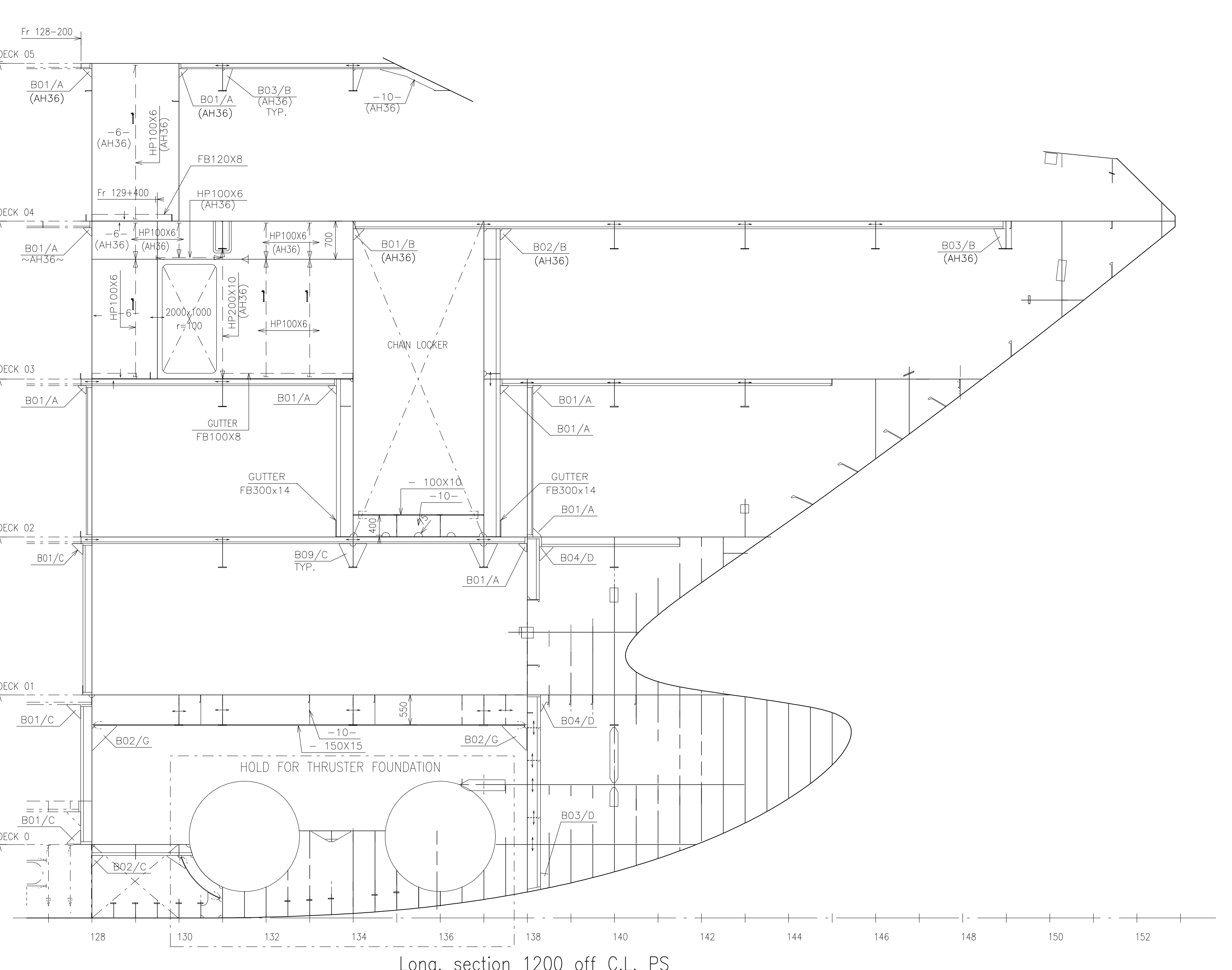
FORE SHIP



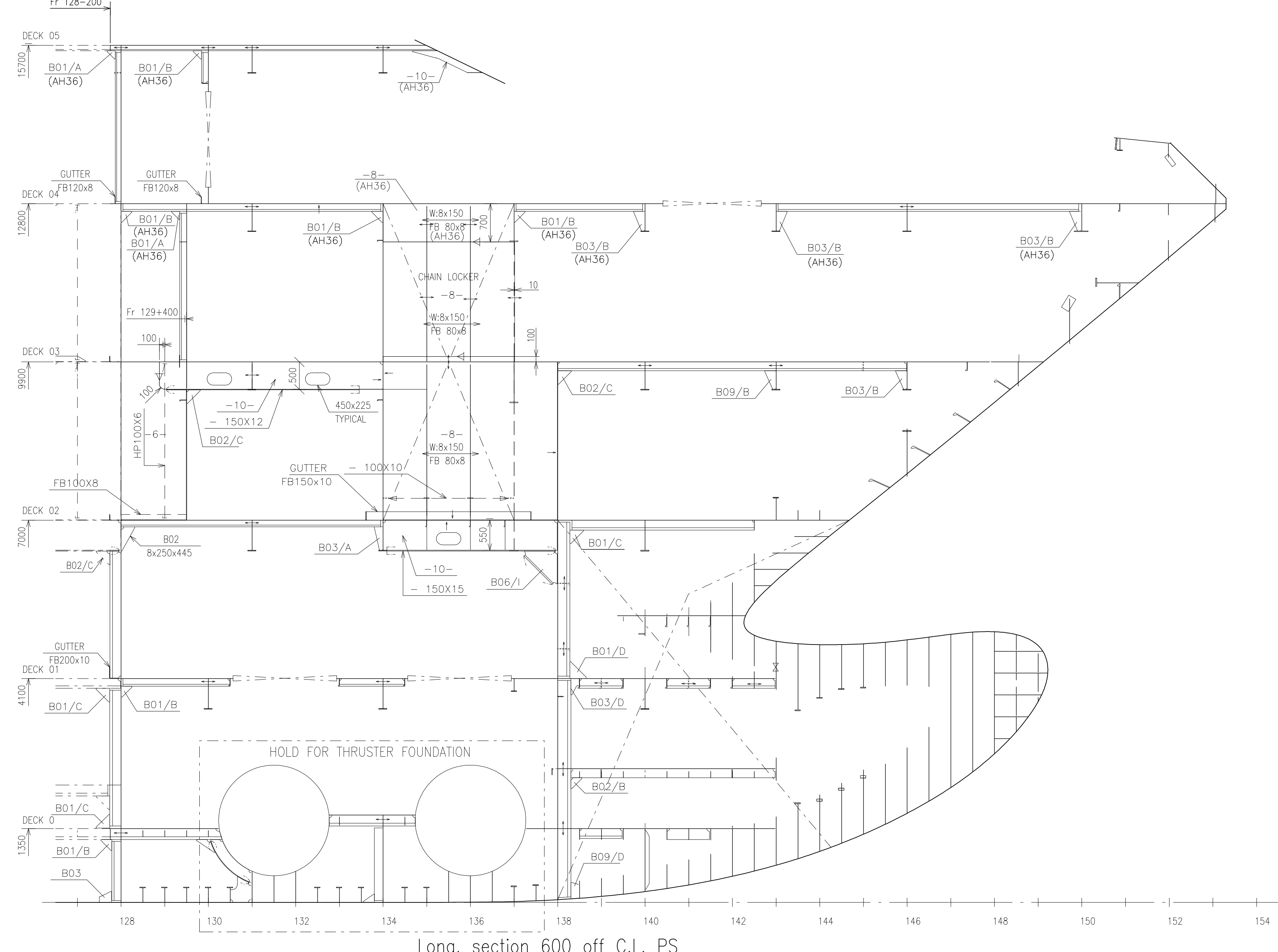
F				
D				
C				
B				
A	<p>A ISSUED FOR YARD COMMENTS REV. TEXT 11.07.2018 MIDCON SNC PEMA</p> <p>THIS DRAWING IS THE PROPERTY OF LMG MARIN AS. THE DRAWING SHALL NOT BE DISCLOSED TO ANY THIRD PARTY WITHOUT THE WRITTEN PRIOR CONSENT OF LMG MARIN AS.</p> <p>DESIGNER LMG MARIN AS DRAWING INC. BRODOSPLIT Dalmatia d.o.o.</p> <p>OWNER Quark Expeditions® The Leader in Polar Adventures</p> <p>YARD DWG. NO. 369005-DW-240-N-LMG-00001 REPLACEMENT DWG. NO. 369005-DW-240-300 / 318072</p> <p>PRODUCT LMG 200 PCS, YARD P1357/NB487 EXPEDITION SHIP</p> <p>FORE SHIP</p>			



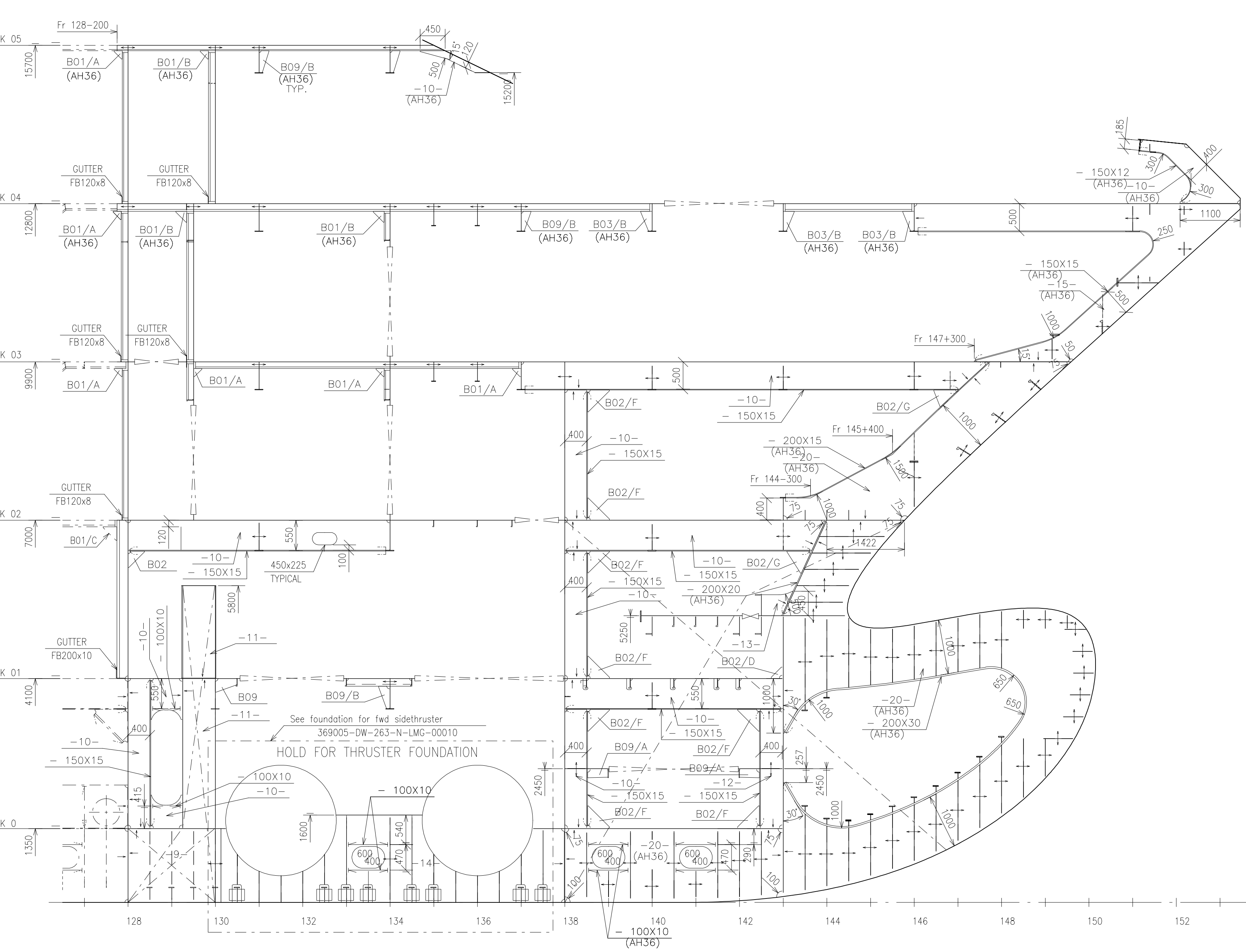
Long. section 3000 off C.L. PS



Long. section 1200 off C.L. PS



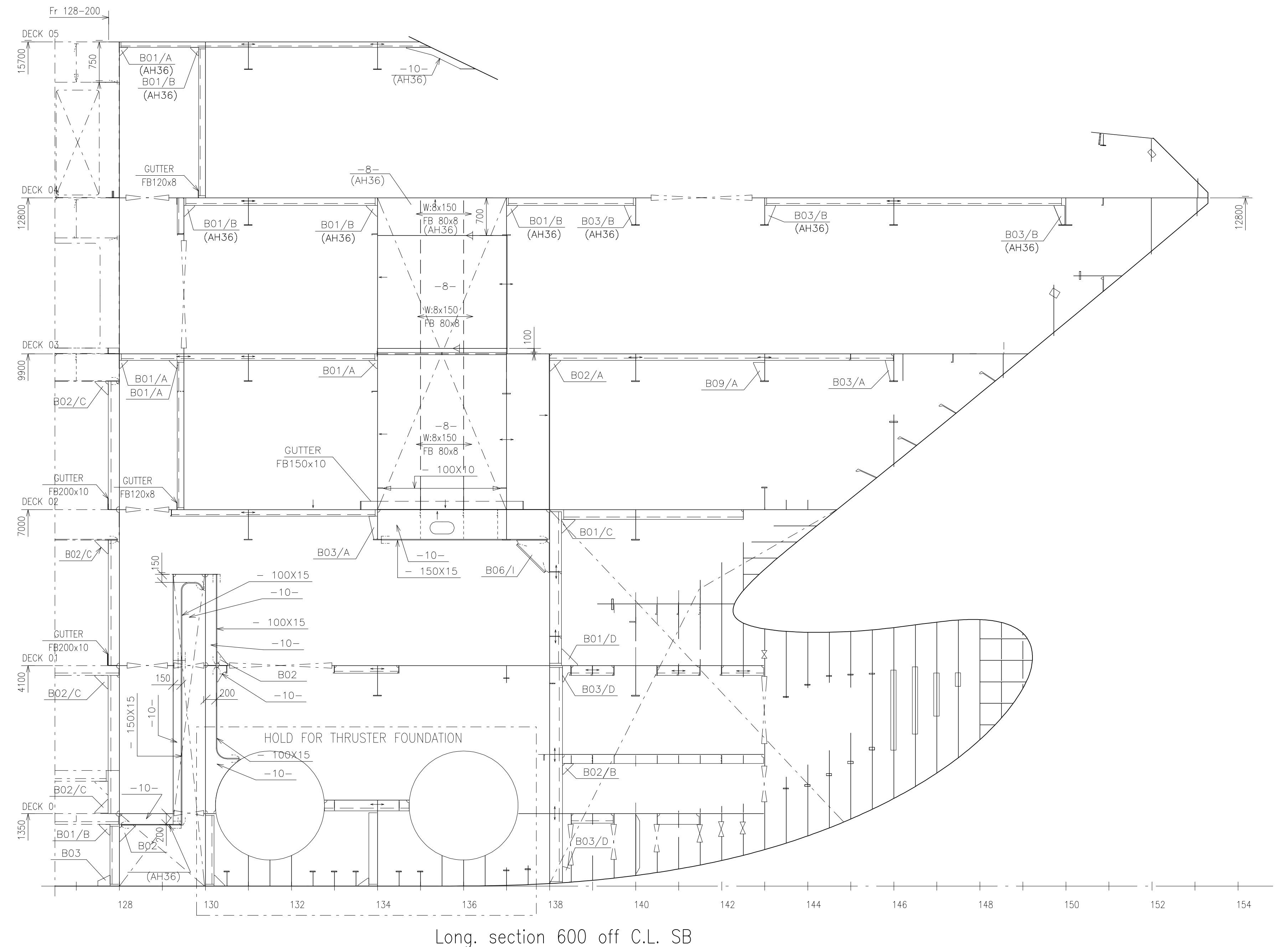
Long. section 600 off C.L. PS



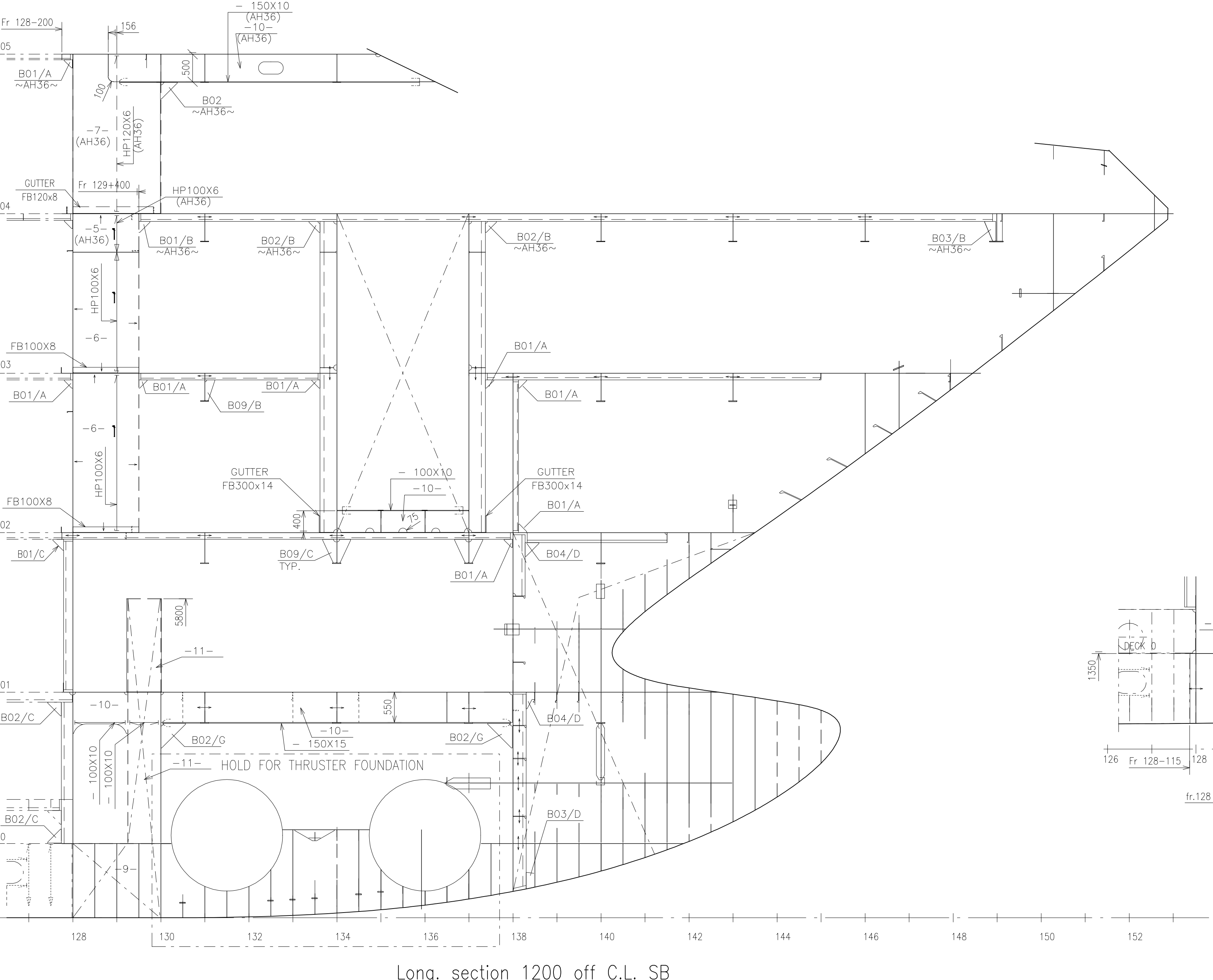
Section at C.L.

E	D	C	B	A
ISSUED FOR YARD COMMENTS	11.07.2018	MIDCON	SNL	PEMA
REV. TEXT				
THIS DRAWING IS THE PROPERTY OF LMG MARIN AS. THE DRAWING SHALL NOT BE DISCLOSED TO ANY THIRD PARTY WITHOUT THE WRITTEN PRIOR CONSENT OF LMG MARIN AS.				
DESIGNER	LMG MARIN AS	LGD DRAWINGS INC		
OWNER	Quark Expeditions*	Brodosplit		
YARD DWG. NO.	369005-DW-240-N-LMG-0001	PROJECT TYPE	SHIP	SHIP TYPE
REPLACEMENT DWG.	369005-DW-240-300 / 318072	ORDINATOR	SEVENTEEN	
REPLACEMENT DATE				
DOC TOOL	ACAD 2010	PRIMARY SCALE	1:50	SHEET SIZE
ACAD 2010				Sheet 4 of 8

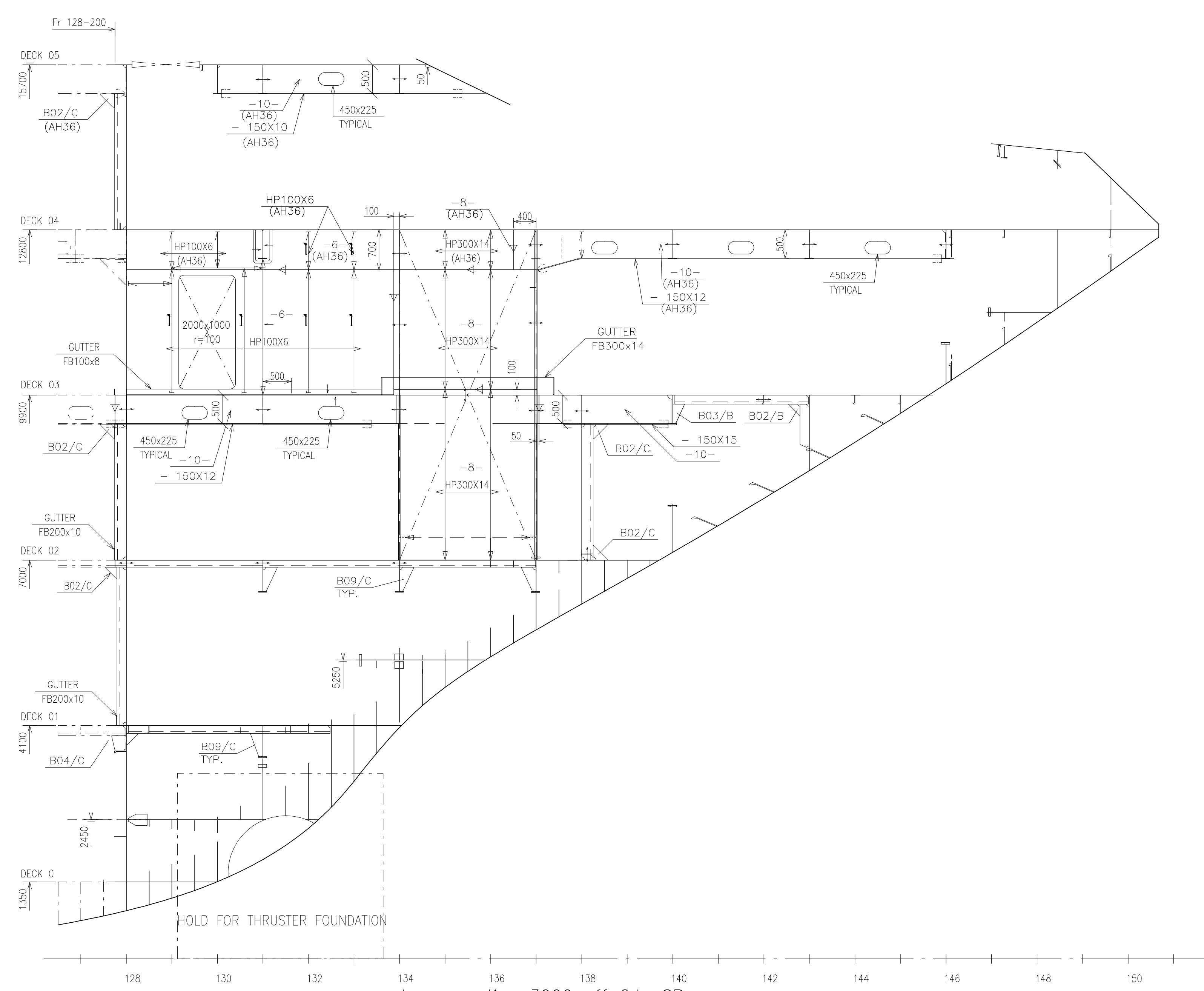
FORE SHIP



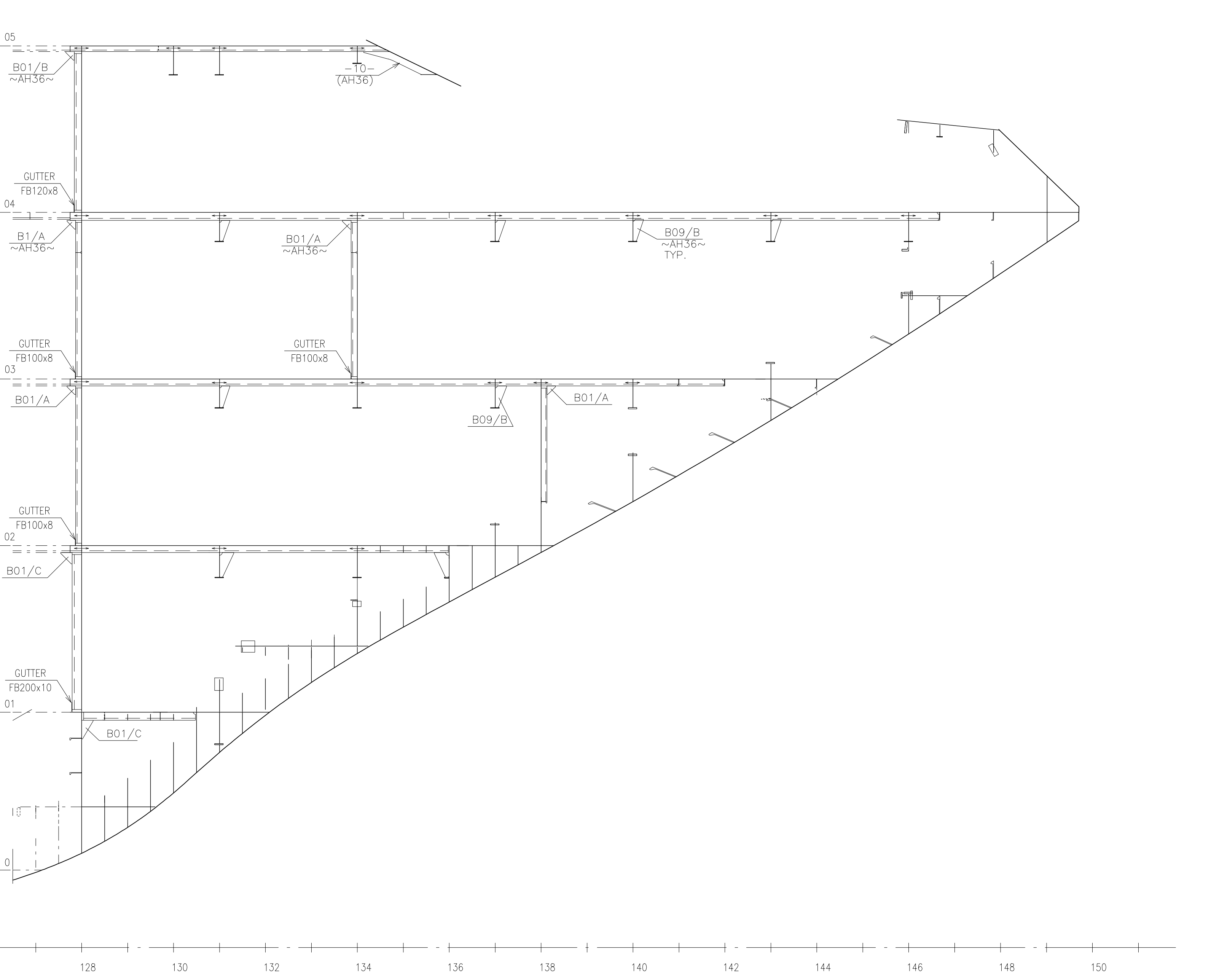
Long. section 600 off C.L. SB



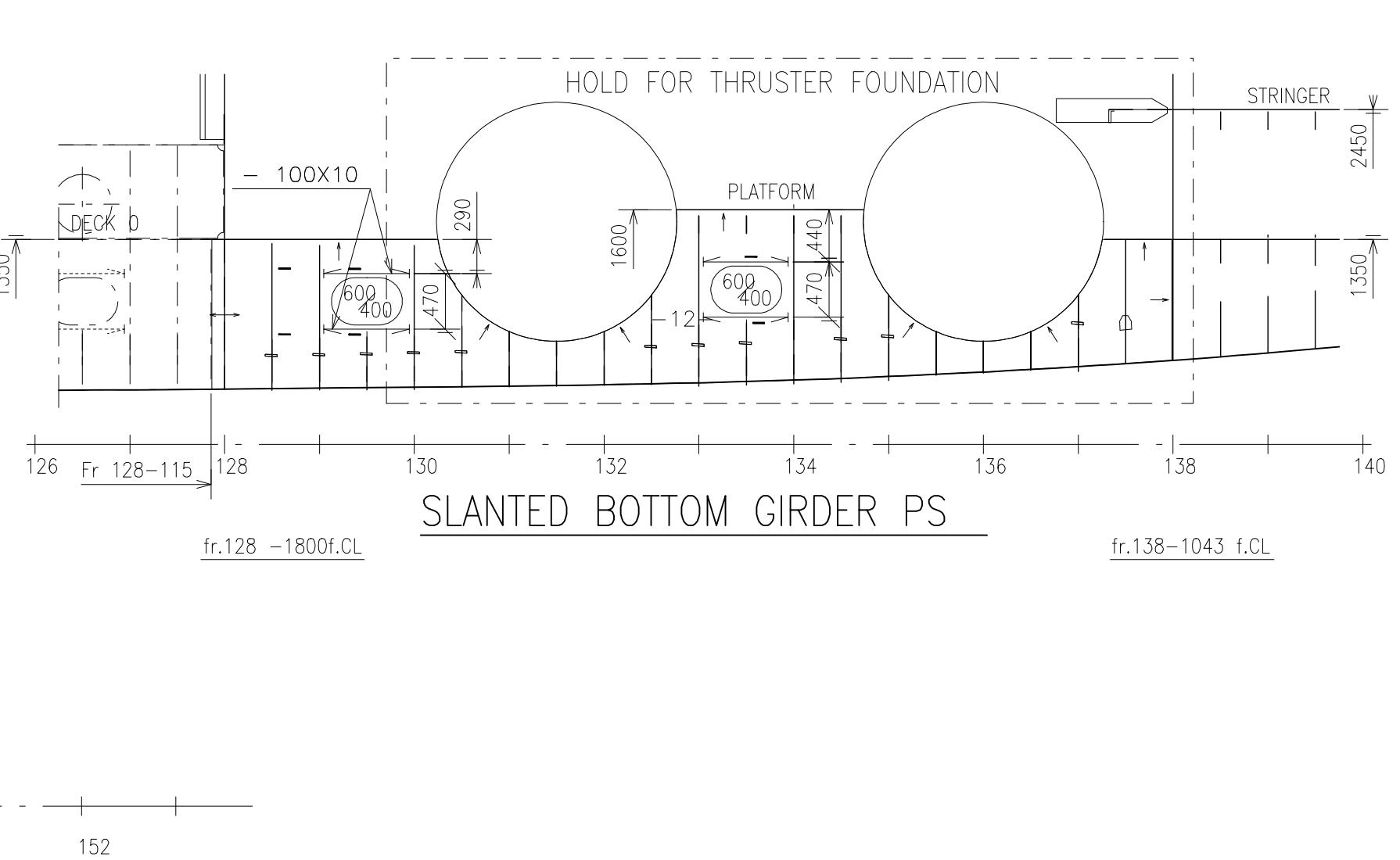
Long. section 1200 off C.L. SB



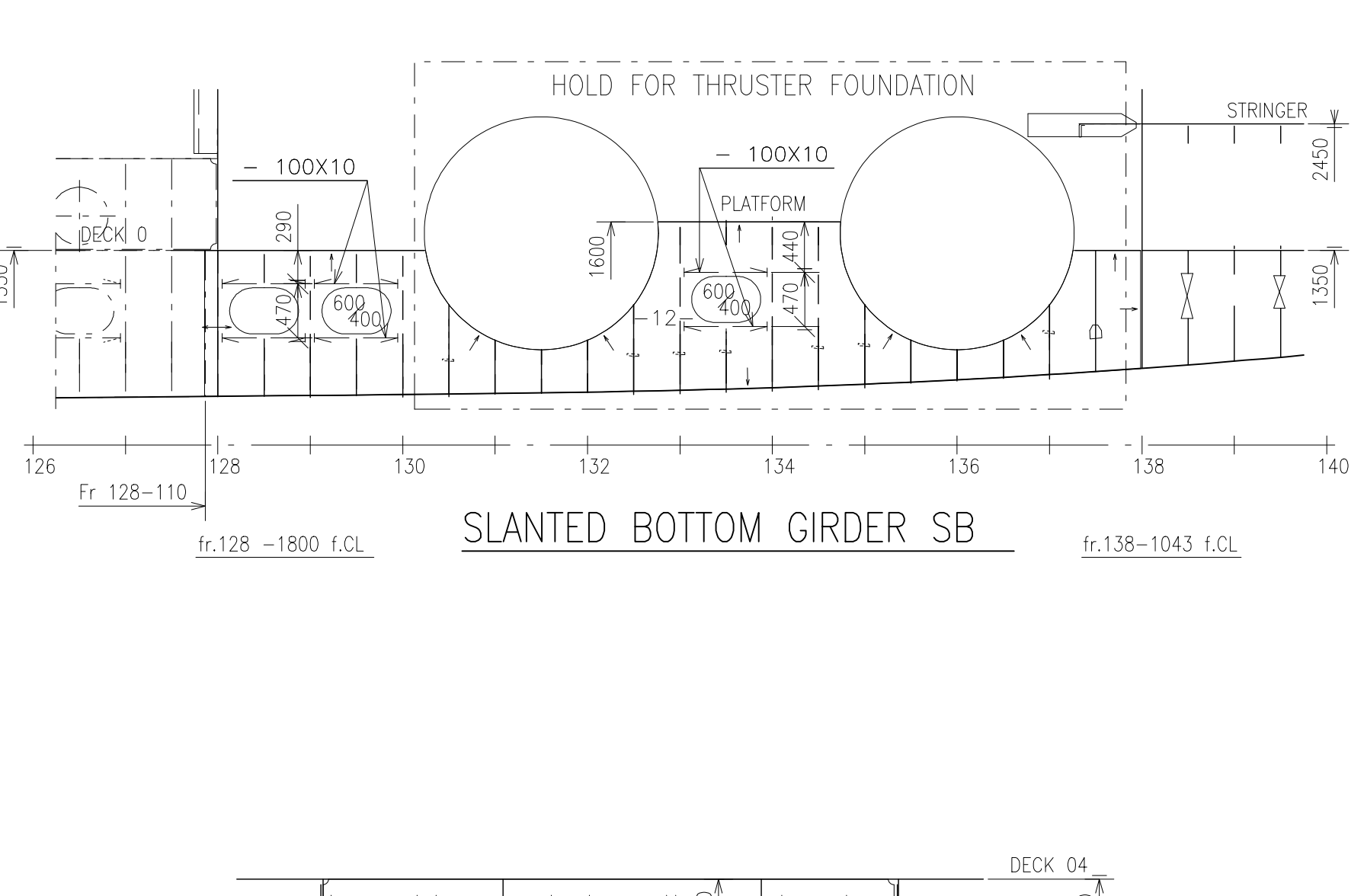
Long. section 3000 off C.L. SB



Long. section 3600 off C.L. SB/(PS)

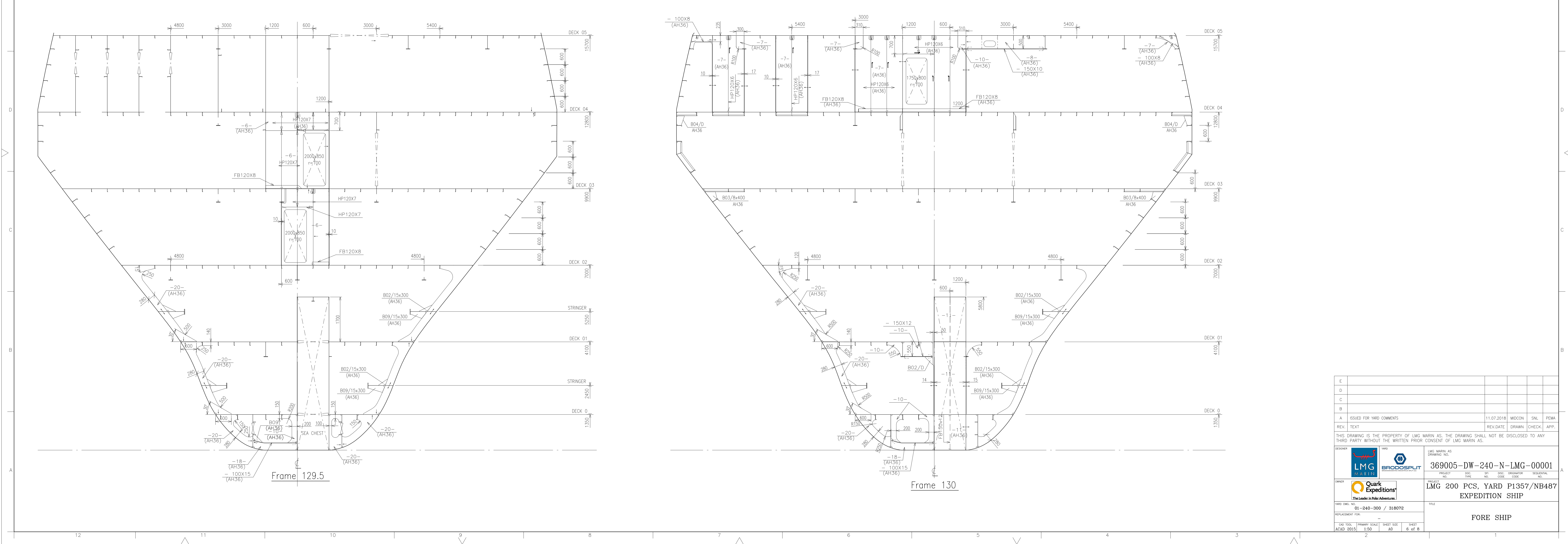
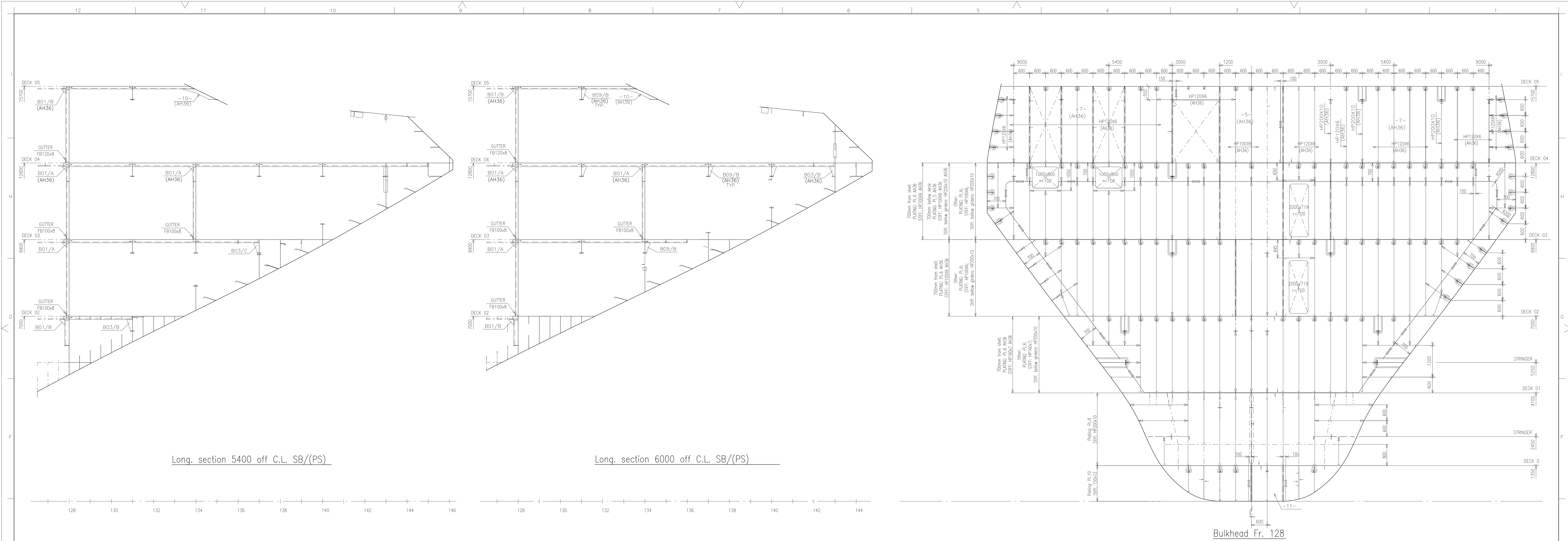


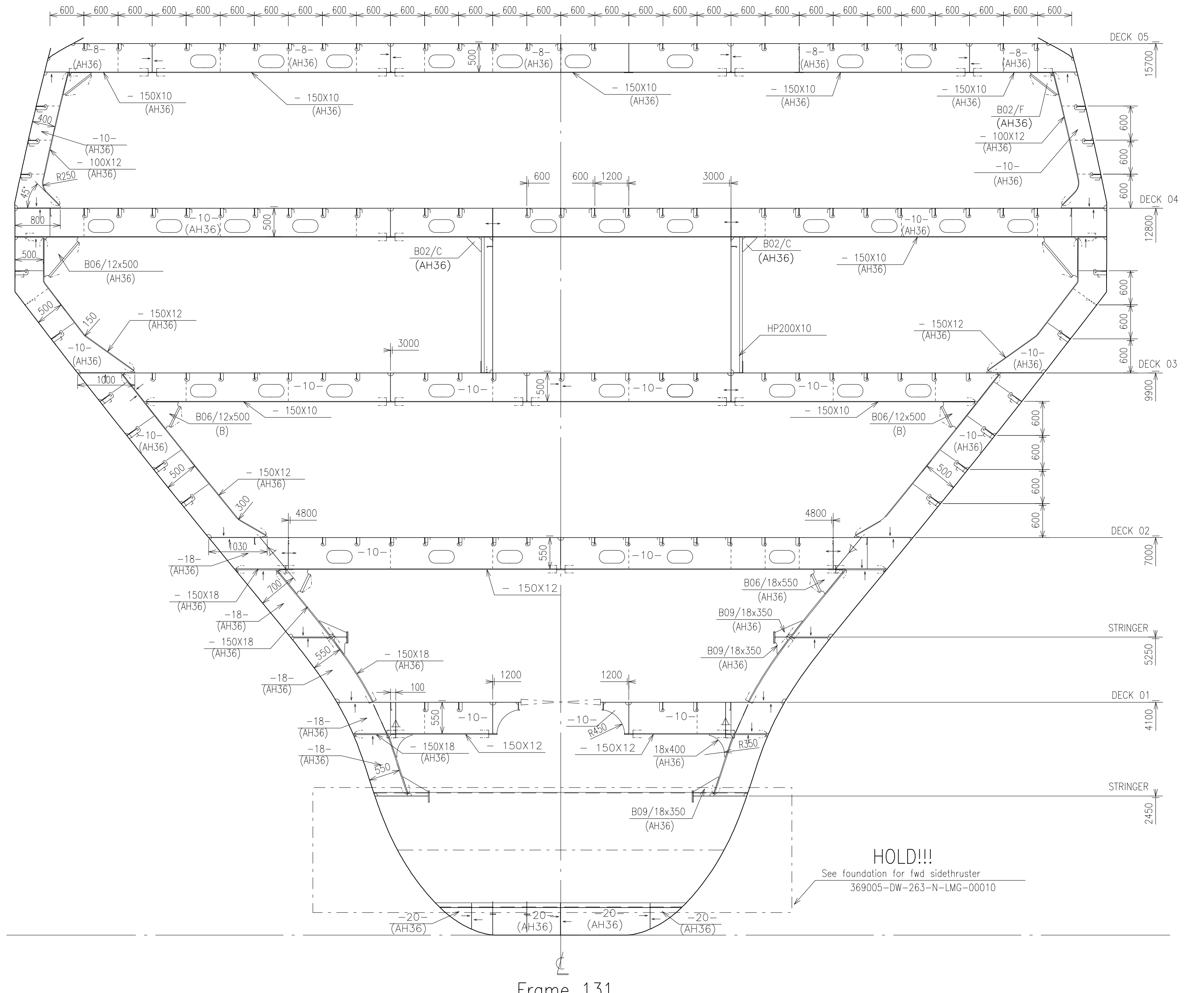
SLANTED BOTTOM GIRDER PS



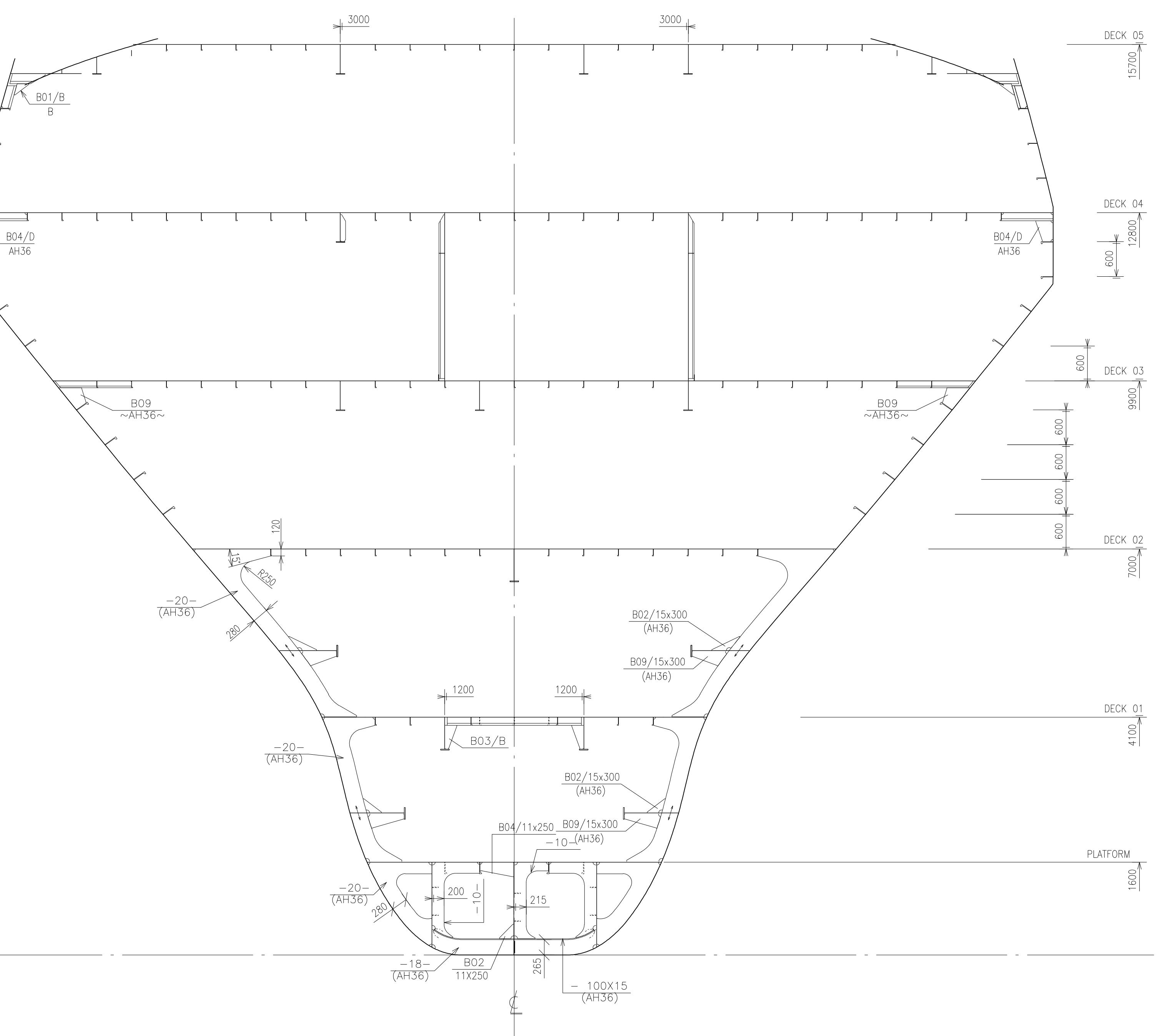
SLANTED DECK GIRDER SB/(PS)

F						
D						
C						
B						
A	ISSUED FOR YARD COMMENTS	REV. DATE	DRAWN	SNL	PEMA	
REV.	TEXT					11.07.2018
THIS DRAWING IS THE PROPERTY OF LMG MARIN AS. THE DRAWING SHALL NOT BE DISCLOSED TO ANY THIRD PARTY WITHOUT THE WRITTEN PRIOR CONSENT OF LMG MARIN AS.						
DESIGNER		YARD	PROJECT	DOC	SPL	
OWNER		YARD DWG. NO.	PROJECT NAME	SPR	DISC	SEQUENCING
12-240-300 / 318072						
REPLACEMENT FOR						
GAS TOOL	PRIMARY SCALE	SHEET SIZE				
ACAD	1:50	A0				
5 of 8						
FORE SHIP						

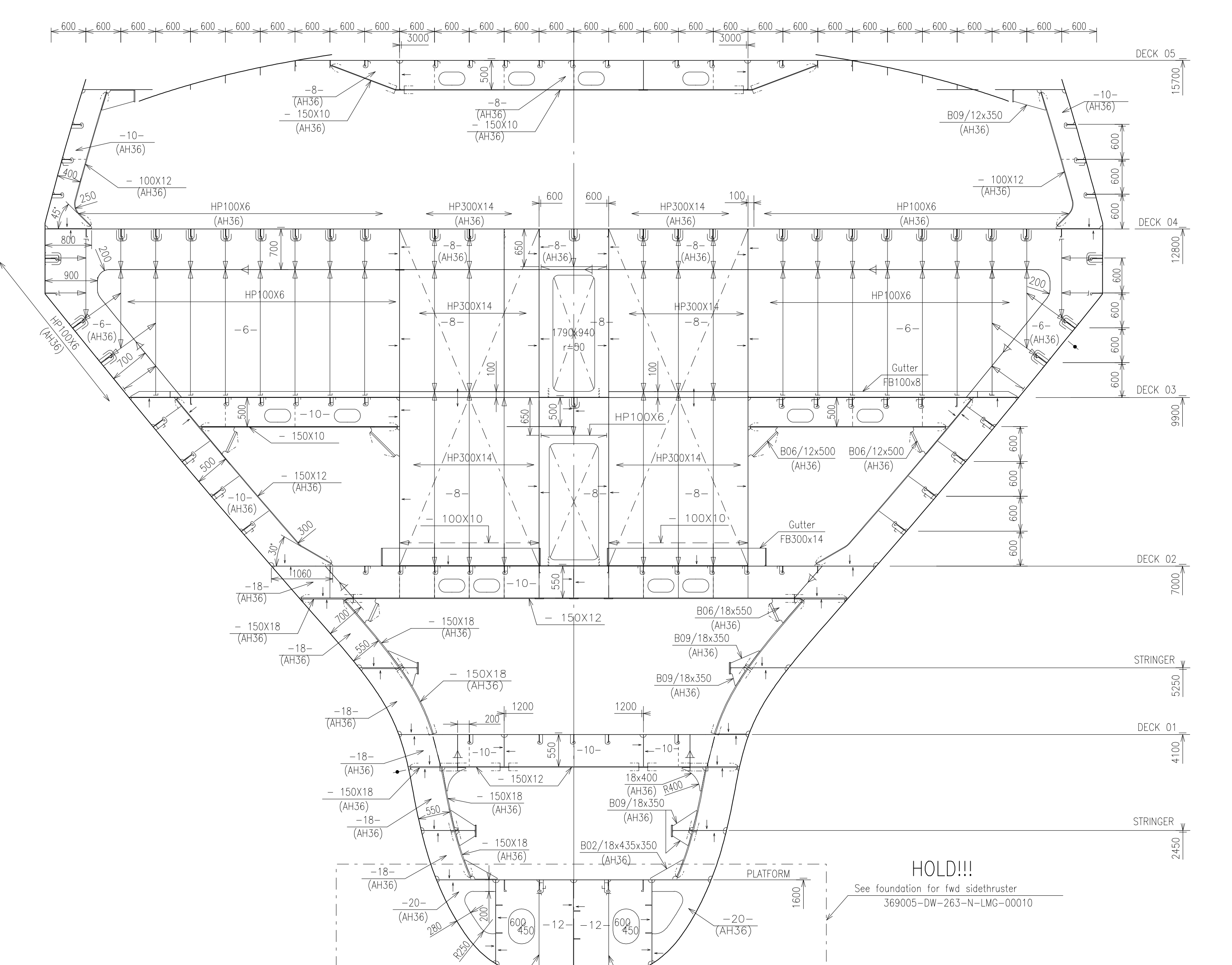




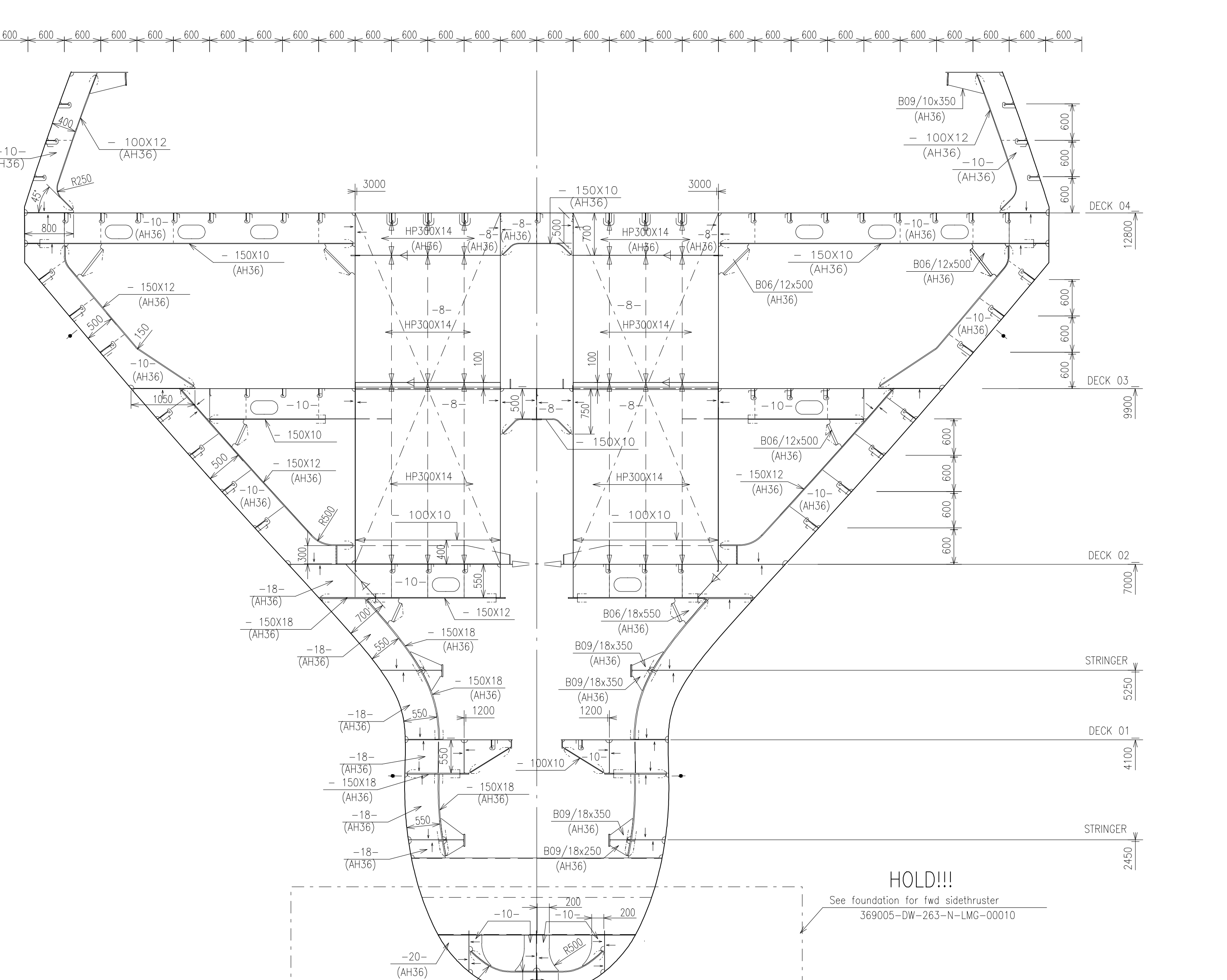
Frame 131



Frame 133

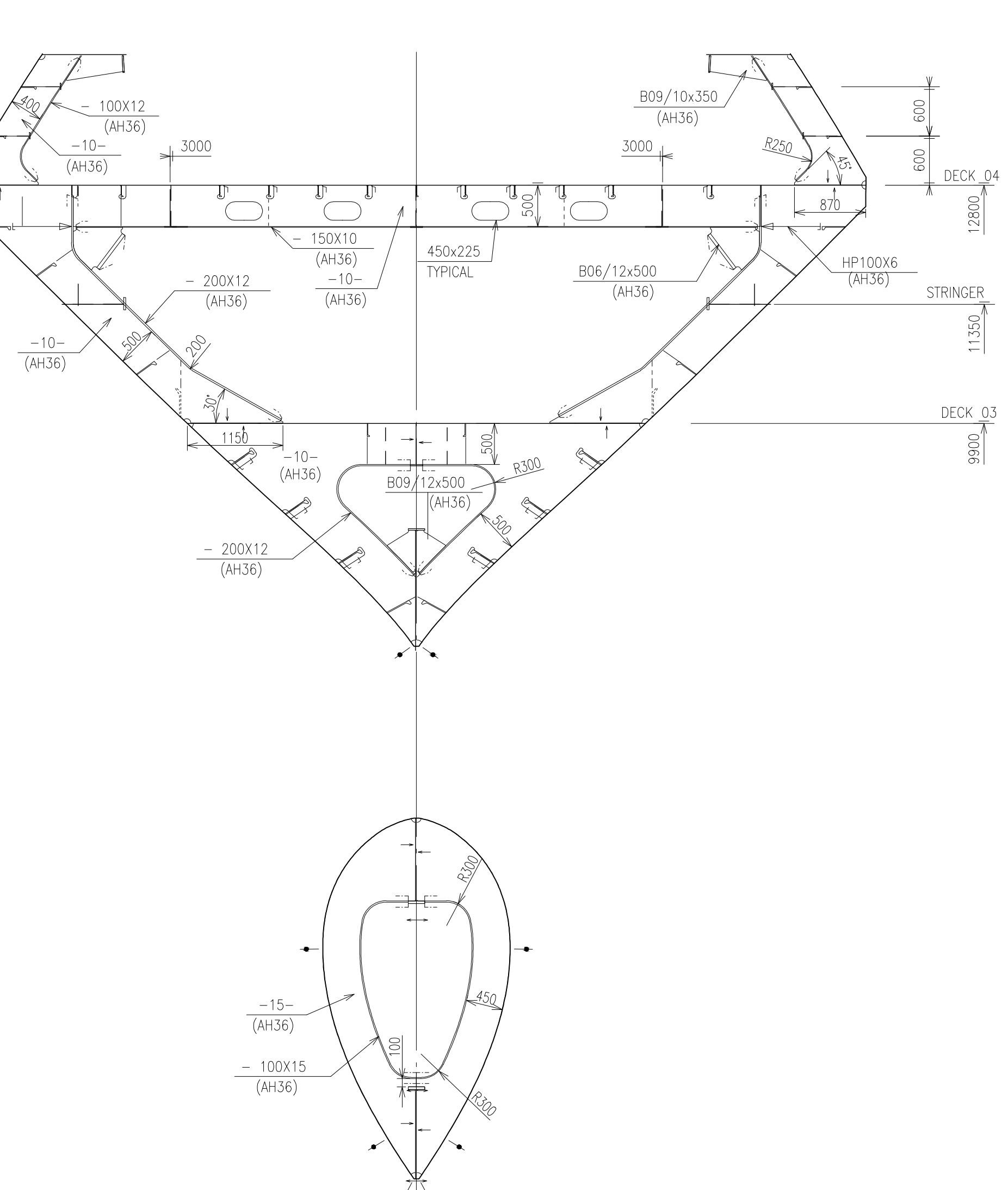
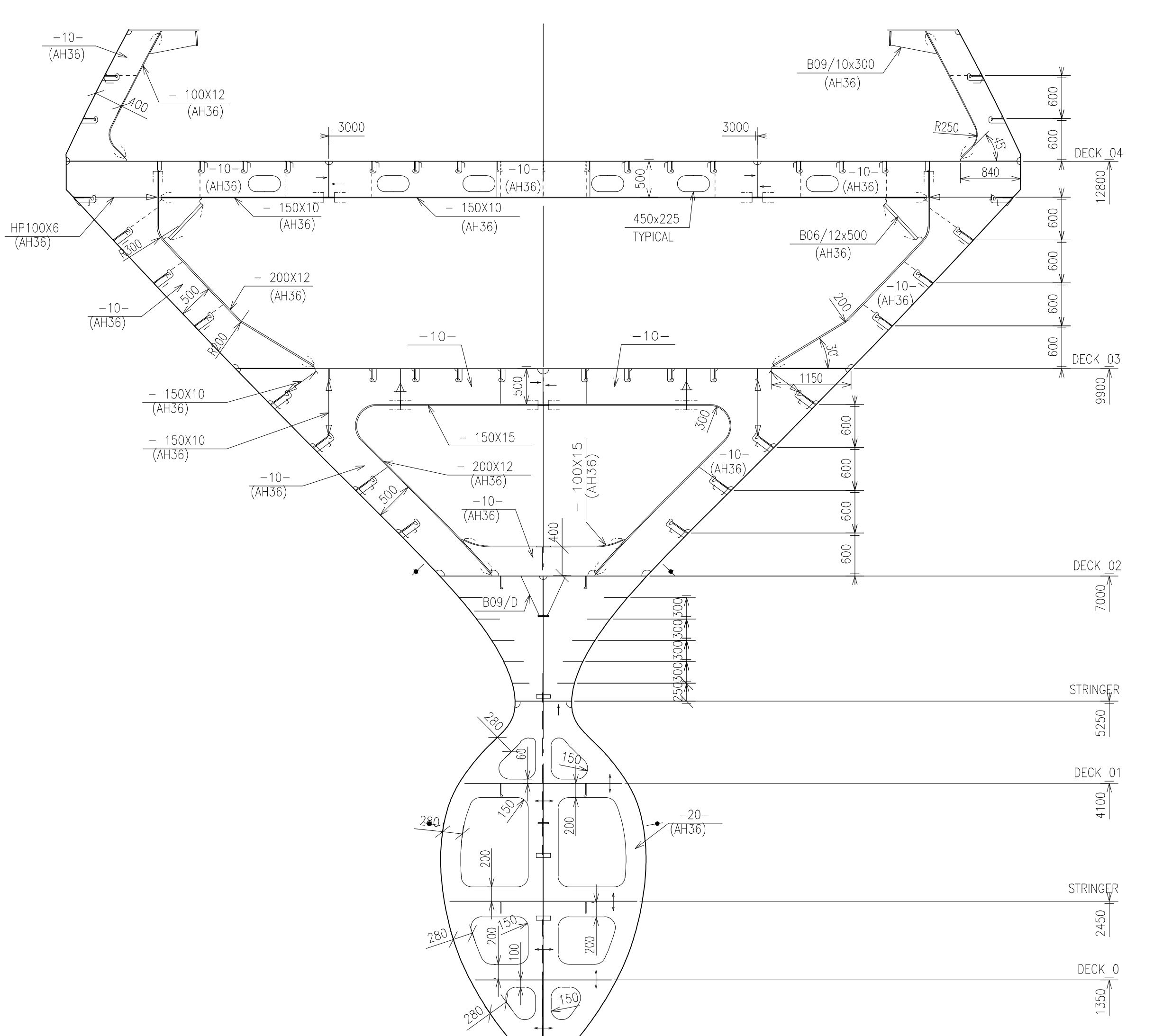
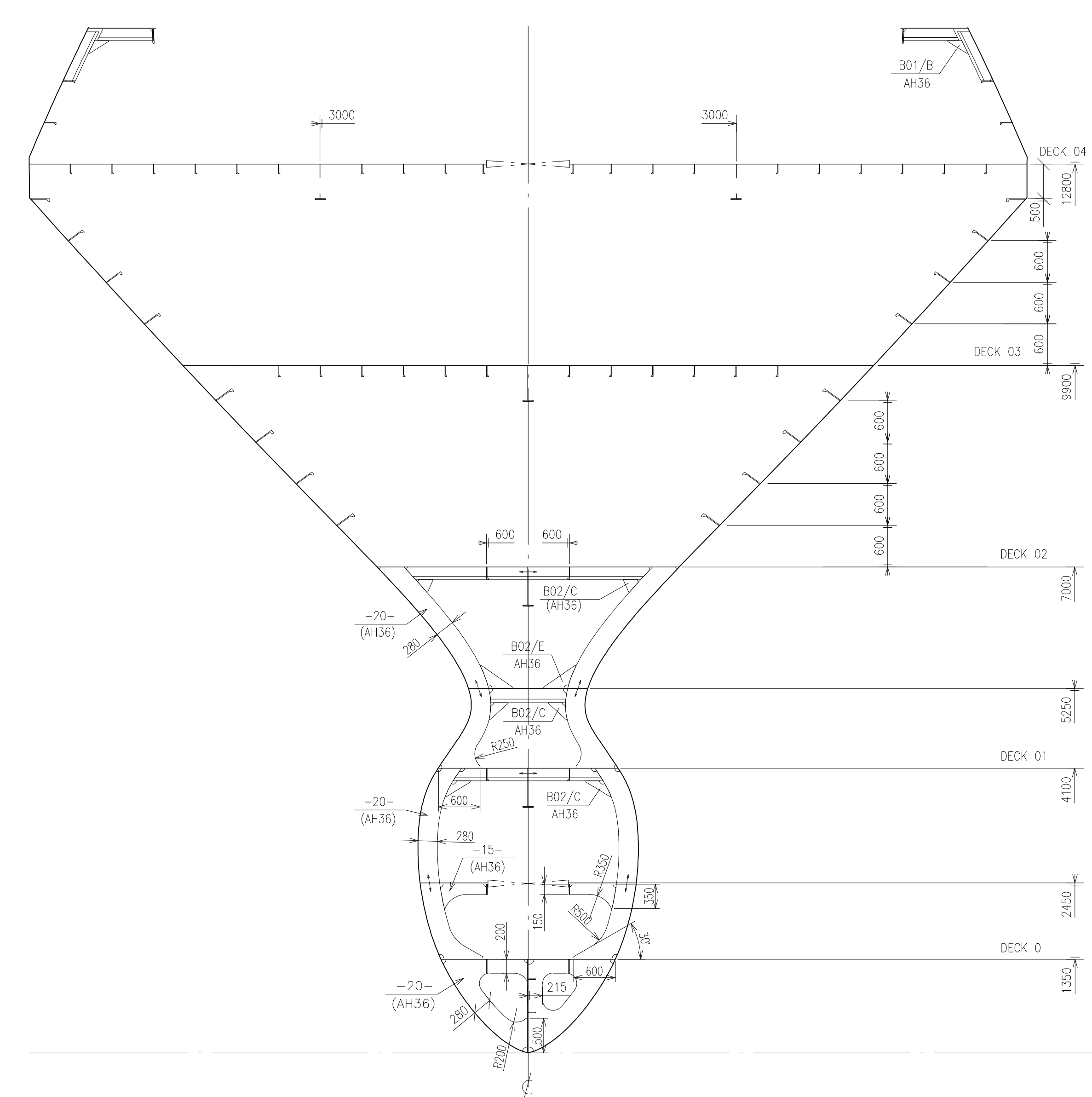
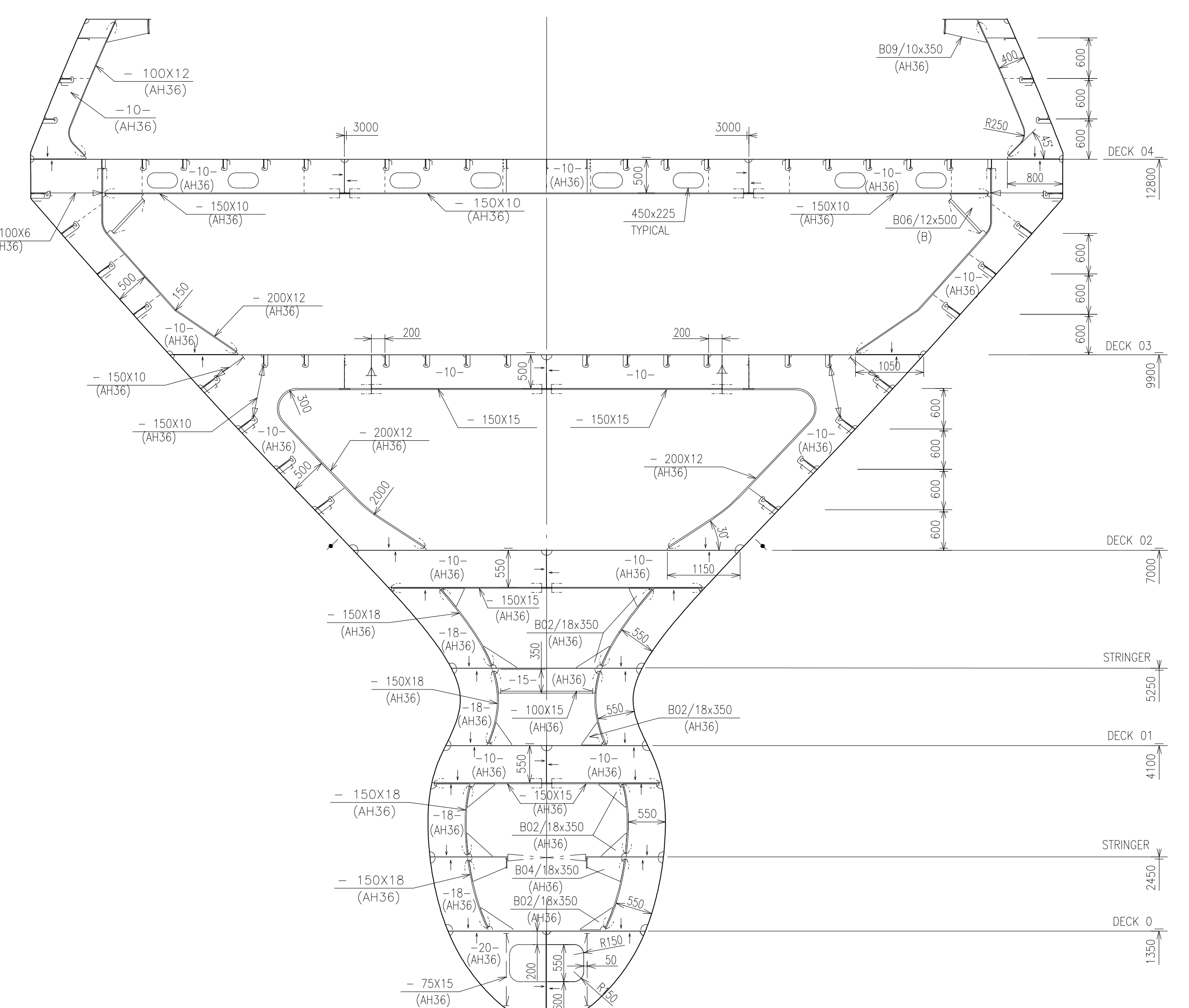
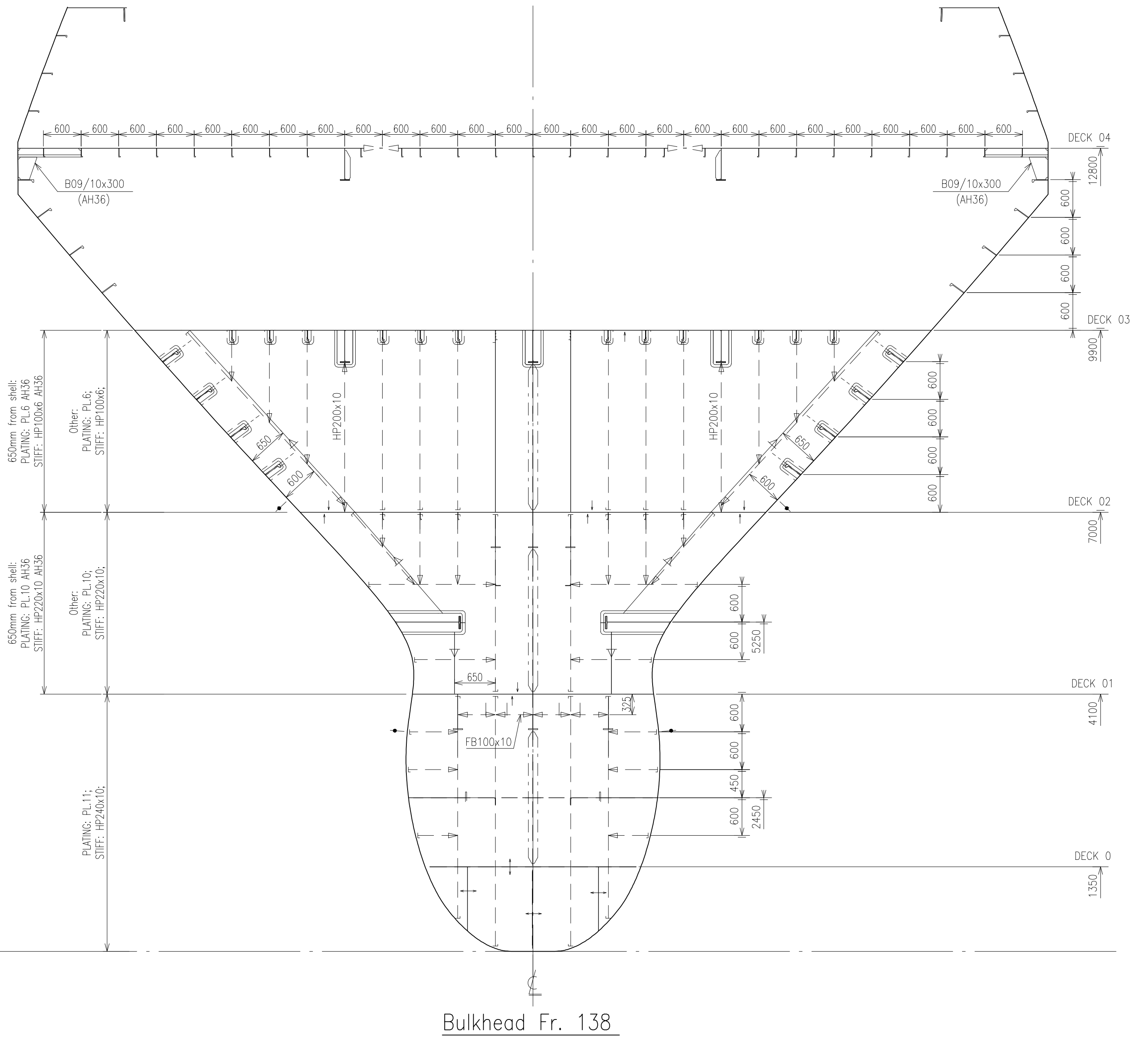


Frame 134

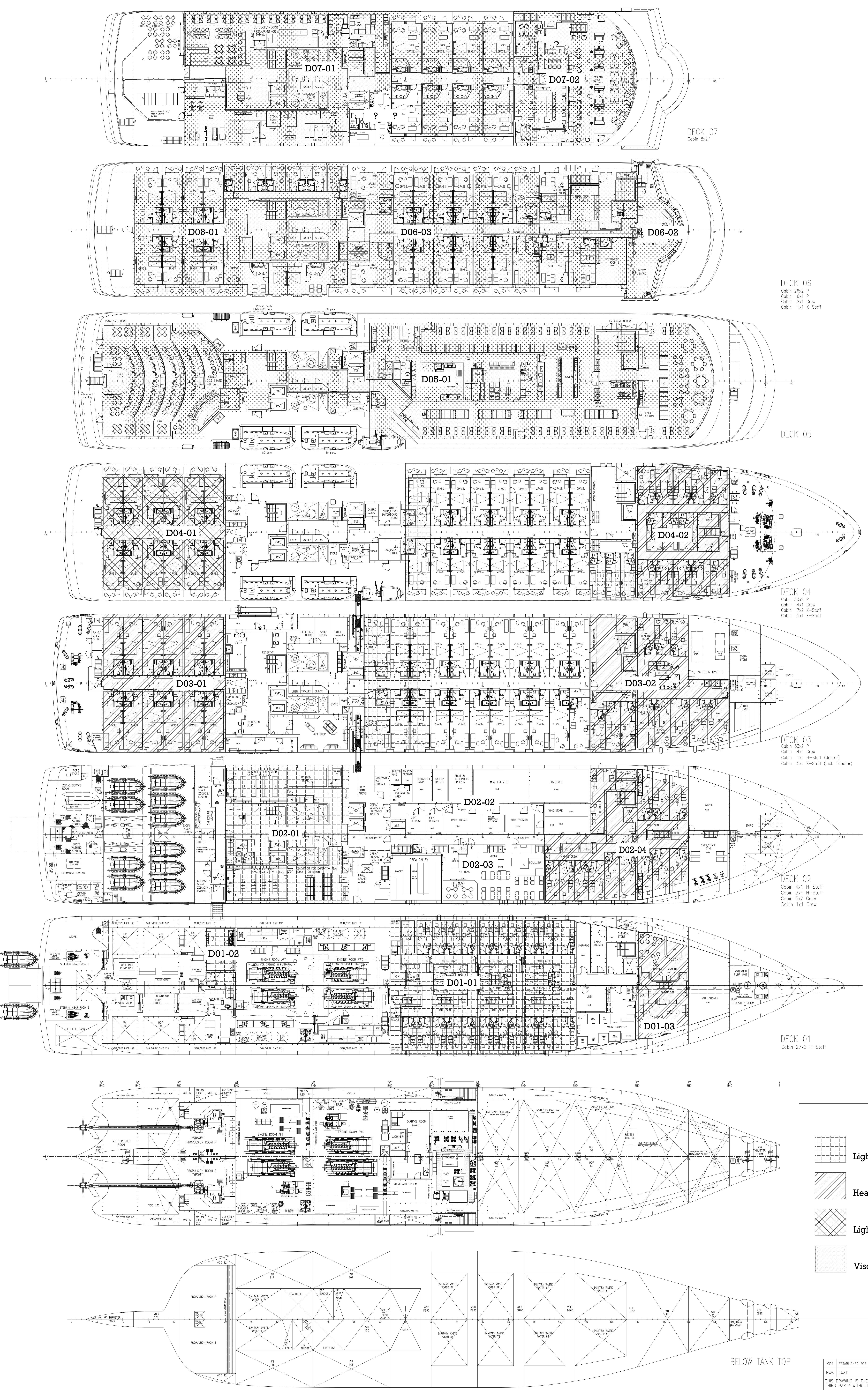


Frame 137

E								
D								
C								
B								
A	ISSUED FOR YARD COMMENTS				11.07.2018	MIDCON	SNL	PEMA
REV.	TEXT				REV.DATE	DRAWN	CHECK.	APP.
THIS DRAWING IS THE PROPERTY OF LMG MARIN AS. THE DRAWING SHALL NOT BE DISCLOSED TO ANY THIRD PARTY WITHOUT THE WRITTEN PRIOR CONSENT OF LMG MARIN AS.								
DESIGNER	 LMG MARIN	YARD	 BRODOSPLIT BRODOGRADJEVNA INDUSTRIJA SPLIT d.d.	LMG MARIN AS DRAWING NO. 369005-DW-240-N-LMG-00001				
OWNER	 Quark Expeditions® The Leader in Polar Adventures	PROJECT NO.	DOC. TYPE	SFI NO.	DISC. CODE	ORIGINATOR CODE	SEQUENTIAL NO.	
ARD DWG. NO.	01-240-300 / 318072				TITLE			
REPLACEMENT FOR: -					FORE SHIP			
CAD TOOL ACAD 2015	PRIMARY SCALE 1:50	SHEET SIZE A0	SHEET 7 of 8					



F				
D				
C				
B				
A				
A ISSUED FOR YARD COMMENTS REV. TEXT THIS DRAWING IS THE PROPERTY OF LMG MARIN AS. THE DRAWING SHALL NOT BE DISCLOSED TO ANY THIRD PARTY WITHOUT THE WRITTEN PRIOR CONSENT OF LMG MARIN AS.				
11.07.2018 MIDCON S/N PEMA REV. DATE DRAWN CHECK APP.				
DESIGNER LMG MARIN AS DRAWING NO. 369005-DW-240-N-LMG-00001 OWNER Quark Expeditions PROJECT NO. 11-240-300 / 318072 YARD DWG. NO. 11-240-300 / 318072 REPLACEMENT DWG. DRAWING DATE 11-2018 DWG. TOOL ACAD 2015 PRIMARY SCALE 1:50 SHEET SIZE A0 SHEET 8 of 8 TITLE FORE SHIP				



X01 ESTABLISHED FOR WEIGHT CALCULATION	04.05.2018	VOK/GAS
REV. TEXT		REV.DATE DRAWN CHECK APP.
THIS DRAWING IS THE PROPERTY OF LMG MARIN AS. THE DRAWING SHALL NOT BE DISCLOSED TO ANY THIRD PARTY WITHOUT THE WRITTEN PRIOR CONSENT OF LMG MARIN AS.		
NAVAL ARCHITECTS & ENGINEERS LMG MARIN AS BERGEN NORWAY		LMG MARIN AS DRAWING INC
Tel: +47 55 59 40 00 E-mail: office@lmgmarin.no Web: www.lmgmarin.no		L369005-DW-521-C-LMG-00001
CLIENT	PROJECT NO.	DOC. NO.
CLIENT'S DWG. NO.	DOC. TYPE	DOC. DATE
REPLACEMENT FOR	SEQUENT. NO.	DRAWN BY
DWG. NO. 369005-DW-521-C-LMG-00001		TITLE
PRIMARY SCALE 1:200		SHEET SIZE A0
DWG. DATE ACAD 2015		REVISIONS
1 of 1		1 of 1

FLOATING FLOOR